

**UNIVERSITATEA "POLITEHNICA" DIN TIMIȘOARA  
FACULTATEA DE MECANICA  
CATEDRA DE MASINI HIDRAULICE**

**ING. ILARE BORDEASU**

**EROZIUNEA CAVITATIONALĂ ASUPRA  
MATERIALELOR UTILIZATE ÎN CONSTRUCȚIA  
MASINILOR HIDRAULICE SI ELICELOR NAVALE.  
EFECTE DE SCARA.**

**TEZA DE DOCTORAT**

BIBLIOTECA CENTRALĂ  
UNIVERSITATEA "POLITEHNICA"  
TIMIȘOARA

**CODUCATOR ȘTIINȚIFIC  
ACAD. PROF.DR. DOC.ING. IOAN ANTON**

**TIMIȘOARA**

**1997**

650.474  
366

## CUVANT INAINTE

Eroziunea cavitationala continua sa fie o permanenta preocupare a oamenilor de stiinta si mai ales a producatorilor de echipamente hidromecanice, nave maritime si fluviale, datorita distrugerii organelor aflate in contact cu fluidul cavitant.

Acest fenomen este studiat de colectivul Catedrei de Masini Hidraulice, al Facultatii de Mecanica din Timisoara, de peste 35 ani, facand obiectul multor contracte de cercetare si teze de doctorat.

Data fiind complexitatea sa, prin dependenta de foarte multi factori caracteristici materialului si fluidului cavitant, obtinerea unor materiale nedestructibile prin eroziune cavitationala ramane, inca, de domeniul visului. De aceea, majoritatea studiilor sunt orientate spre stabilirea unor materiale cu rezistente la cavitatie cat mai mari, analiza si corelarea tuturor marimilor ce influenteaza aceste rezistente.

In cadrul acestei teze, ce constituie o continuitate a cercetarilor in domeniul eroziunii, se prezinta elemente noi si originale legate de comportarea materialului la distrugerea prin cavitatie creata in laborator, precum si o metoda originala de corelare a rezultatelor experimentale obtinute in diverse aparate vibratorii.

Pentru realizarea obiectivelor propuse s-a proiectat si executat un aparat vibrator cu cristale piezoceramice (T2), performant, ce respecta normele americane ASTM [120] si s-a uzat de unele rezultate obtinute, pe aparatul vibrator magnetostrictiv cu tub de nichel (T1), de domnii C.P.I. ing. I. Potencz si dr.ing. A.F. Kuzman.

In realizarea noului aparat am fost ajutat de dl. ing. Matiu Andrei, Directorul intreprinderii "S.C. STIMEL S.A.", sustinator permanent al Catedrei de Masini Hidraulice, prin sponsorizarea intregii lucrari practice.

De asemenea, de mare ajutor in realizarea si punerea in functiune a aparatului T2 mi-au fost: d-nii ing. A. SEST, ing. GH. CRACIUNESCU si familia LACATUSU de la "S.C. ELECTROTIMIS S.A.", d-nii ing. D. VIDRASCU, ing. I. AZUGA si M. ANGHEL de la "S.C. STIMEL S.A.", d-nul Conf. dr. ing. C. MUNTEANU.

In stabilirea naturii constituentilor structurali, indicatii pretioase am primit de la dl. Prof. dr. ing. I. MITELEA si colegii de la Catedra de Stiinta Materialelor.

Sfaturile, colaborarea placuta si sprijinul neconitenit oferit, pe intreaga perioada de elaborare a tezei, de dl. Prof. dr. ing. M. POPOVICIU, seful Catedrei de Masini Hidraulice, m-au facut sa simt putere si incredere in ceea ce fac.

Insă, cel mai mare merit in formarea mea ca dascal si cercetator, in gandirea intregii lucrari, proiectarea si realizarea aparatului, il are conducatorul acestei teze dl. Acad. Prof. Dr. Doc. Ing. IOAN ANTON.

Tuturor le multumesc si le raman recunascator.

Multumesc colegilor de catedra si tuturor celor care au fost alaturi de mine in aceasta perioada.

Sper ca aceasta lucrare sa fie de un real folos industriei romanesti, producatoare si exploatatoare de echipamente hidromecanice si elici navale, chiar daca viitorul ei, azi, pare cetsos.

Autorul

## CUPRINS

INTRODUCERE.....	7
<b>CAP.1. STADIUL ACTUAL AL INVESTIGATIILOR SI IDENTIFICARILOR EROZIUNII CAVITATIONALE PE MASIINILE INDUSTRIALE SI IN LABORATOR.....</b>	<b>8</b>
1.1 Investigatii si identificari ale eroziunii cavitationale la turbinele hidraulice.....	8
1.2 Investigatii si identificari ale eroziunii cavitationale la pompe.....	13
1.3 Investigatii si identificari ale eroziunii cavitationale la elicele navale.....	15
1.4 Investigarea eroziunii cavitationale in laborator.....	16
1.4.1 Obiective urmarite prin investigarea eroziunii cavitationale in laborator.....	16
1.4.2 Instalatii de laborator utilizate.....	18
1.4.3 Metode de evaluare a comportarii materialelor la eroziune cavitationala.....	29
1.4.4 Efecte de scara.....	30
1.5 Concluzii si definirea problemelor abordate si rezolvate in tema.....	37
<b>CAP.2. STUDIUL, PROIECTAREA SI REALIZAREA UNUI APARAT VIBRATOR CU CRISTALE PIEZOCERAMICE, DESTINAT DISTRUGERII MATERIALELOR PRIN EROZIUNE CAVITATIONALA.....</b>	<b>40</b>
2. 1 Consideratii generale.....	40
2.2 Elemente initiale de calcul si proiectare.....	42
2.3 Proiectarea si realizarea blocului ultrasonic.....	43
2.3.1 Alegerea transductorului piezoceramic.....	44
2.3.2 Calculul si realizarea concentratorului- amplificator de energie acustica.....	46
2.4 Dimensionarea si realizarea vasului pentru lichidul de lucru.....	58
2.5 Stabilirea formei si dimensiunilor probei de incercare.....	61
2.6 Stabilirea schemei de functionare a generatorului electronic de ultrasunete.....	62

<b>2.7 Schema instalatiei pneumatice de actionare a mecanismului de ghidare.....</b>	<b>67</b>
<b>2.8 Determinarea experimentală, controlul și verificarea amplitudinii vibratiilor.....</b>	<b>69</b>
<b>2.9 Descrierea și funcționarea aparatului vibrator.....</b>	<b>74</b>
<b>2.10 Defecțiuni și mod de remediere.....</b>	<b>78</b>

## **CAP.3. CERCETARI EXPERIMENTALE, REALIZATE IN LABORATORUL DE MASINI HIDRAULICE DIN FILIALA CARAS SEBEZI, ALEATORA UTILOR MATERIALE.....**

<b>3.1 Metoda de testare utilizată.....</b>	<b>80</b>
<b>3.2 Cercetari experimentale realizate in aparatul vibrator magnetostriativ cu tub de nichel (T1).....</b>	<b>81</b>
<b>3.2.1 Materiale testate.....</b>	<b>81</b>
<b>3.2.2 Rezultate experimentale.....</b>	<b>83</b>
<b>3.2.2.1 Curbe caracteristice.....</b>	<b>83</b>
<b>3.2.2.2 Parametrii caracteristici eroziunii cavitationale.....</b>	<b>99</b>
<b>3.2.3 Discutii si concluzii.....</b>	<b>103</b>
<b>3.3 Cercetari experimentale realizate in aparatul vibrator cu cristale piezoceramice (T2).....</b>	<b>109</b>
<b>3.3.1 Materiale testate.....</b>	<b>109</b>
<b>3.3.2 Rezultate experimentale.....</b>	<b>109</b>
<b>3.3.2.1 Curbe caracteristice.....</b>	<b>109</b>
<b>3.3.2.2 Parametrii caracteristici eroziunii cavitationale.....</b>	<b>110</b>
<b>3.3.3 Discutii si concluzii.....</b>	<b>118</b>

## **CAP.4. ANALIZA REZULTATELOR EXPERIMENTALE.....**

<b>4.1 Consideratii asupra distrugerii cavitationala a materialelor in cele doua aparate.....</b>	<b>122</b>
<b>4.2 Influenta elementelor chimice componente.....</b>	<b>125</b>
<b>4.3 Influenta constituentilor structurali.....</b>	<b>127</b>
<b>4.4 Influenta proprietatilor mecanice.....</b>	<b>129</b>
<b>4.5 Influenta calitatii materialului asupra corelatiilor Rm(v<sub>s</sub>), Rp0.2(v<sub>s</sub>) si HB(v<sub>s</sub>).....</b>	<b>144</b>
<b>4.6 O metoda de apreciere a comportarii materialelor la eroziune cavitationala.....</b>	<b>149</b>
<b>4.7 Concluzii.....</b>	<b>153</b>

## **CAP.5. COMPARAREA REZULTATELOR EXPERIMENTALE OBTINUTE IN CELE DOUA APARATE.....**

<b>5.1 Comparatii intre curbele caracteristice.....</b>	<b>154</b>
<b>5.2 Comparatii intre parametrii caracteristici eroziunii cavitationale.....</b>	<b>157</b>
<b>5.3 Aspecte ale suprafetelor probelor erodate cavitational.....</b>	<b>158</b>
<b>5.4 Concluzii.....</b>	<b>161</b>

<b>CAP.6. CERCETARI DE ERODURERE CAVITATIONALA ASUPRA UNOR MATERIALE SUPUSE TRATAMENTELOR DE DURIFICARE.....</b>	<b>162</b>
6.1 Eroziunea cavitationala a otelului 40Cr10 imbunatatit.....	162
6.2 Eroziunea cavitationala a otelului D 32-1 nitrurat ionic.....	164
6.3 Eroziunea cavitationala a otelului D 32-1 durificat prin metalizare si ecrusare.....	166
6.3.1 Eroziune cavitationala a otelului D 32-1 durificat prin metalizare.....	166
6.3.2 Eroziune cavitationala a otelului D 32-1 ecrusat.....	169
6.4 Concluzii.....	171
<b>CAP.7. STABILIREA EFECTULUI DE SCARA IN EROZIUNEA CAVITATIONALA.....</b>	<b>172</b>
7.1 Introducere.....	172
7.2 Prima etapa a rezolvării problemei efectului de scara in eroziunea cavitationala.....	173
7.3 A doua etapa a rezolvării problemei efectului de scara in eroziune cavitationala.....	175
7.4 A treia etapa a rezolvării problemei efectului de scara in eroziunea cavitationala.....	177
7.5 A patra etapa a rezolvării problemei efectului de scara in eroziunea cavitationala.....	178
7.6 Concluzii.....	189
<b>CAP.8. CONCLUZII.....</b>	<b>190</b>
8.1 Concluzii generale.....	190
8.2 Contributii personale si originale.....	192
8.3 Propuneri.....	194
<b>BIBLIOGRAFIE.....</b>	<b>195</b>
<b>ANEXA: Schema si programul de calcul al concentratorilor-amplificatori de unde sonice.....</b>	<b>205</b>

## INTRODUCERE

Froziunea cavitationala, numita si cancerul masinilor hidraulice, reprezinta efectul de distrugere a materialelor solide aflate in contact cu fluidul cavitant.

Practic, acest fenomen a intrat in vizorul oamenilor de stiinta si al cercetatorilor inca din anul 1875, cand italianul BARTELLO a observat primele distrugeri cavitationale pe elicele navelor Mauritania si Luisitania [43,53]. De atunci eforturile de investigare a cauzelor ce genereaza acest fenomen si stabilire a ponderii influentei tuturor factorilor ce contribuie la procesul hidrodinamic si mecanic, al eroziunii cavitationale a materialelor, se intensifica tot mai mult.

Astfel, se fac investigatii atat pe instalatiile industriale cat si in laborator. Nu exista tara, posesoare de centrale hidroelectrice sau alte echipamente hidromecanice si exploatatoare de nave maritime si fluviale, in care acest fenomen sa nu fie studiat de specialisti. Amintesc, aici, doar cateva din tarile cu traditie in cercetarea eroziunii cavitationale: S.U.A, Japonia, Rusia, Suedia, Germania, China, Franta, India, Polonia, Cehia.

In Romania aceasta problema ocupa un loc aparte. Potentialul hidroenergetic al tarii si dezvoltarea industriei constructoare de turbine hidraulice au determinat realizarea unor ample programe de cercetare a eroziunii cavitationale. Contributii insemnante au: Centru de Cercetare-Proiectare al U.C.M. Resita, ICEPRONAV Galati, U.P. Timisoara si U.P. Bucuresti.

Studiile efectuate arata ca cele mai afectate instalatii, de eroziunea cavitationala, sunt turbinele hidraulice, pompele, elicile navale si alte echipamente hidromecanice.

Majoritatea eforturilor sunt concentrate spre gasirea unor materiale care sa aibe rezistente la distrugere cavitationala cat mai mari si care sa asigure durate de exploatare indelungate. Din acest motiv se fac investigatii de stabilire a factorilor ce caracterizeaza materialul ( proprietati fizico-mecanice, structura, tehnologie de elaborare si prelucrare, etc.) si pot asigura acesta calitate. Pentru acest scop, in investigatiile realizate pe instalatiile industriale, in spuma pe turbinele hidraulice, mai toti cercetatorii au folosit diferite materiale in realizarea si repararea organelor distruse si metode de protectie a suprafetelor atacate cavitational. Ample rezultate in aceste domenii sunt oferite de rusi [34, 71, 72, 73] si japonezi [49, 61, 119]. Cunoasterea cat mai bine a comportarii materialului la atacul cavitational conceperea si realizarea diverselor tipuri de statiuni de laborator [32 33, 41, 52, 69, 10, 111]. Insa, majoritatea studiilor sunt raportate la comparatii intre materiale, dupa rezistenta la eroziune cavitationala [8-11, 15 - 20, 47, 48, 106].

In cadrul lucrarii se analizeaza factorii importanti ce determina tipul de material si rezistenta sa la distrugere cavitationala, se discuta unele rezultate oferite de literatura si se ofera, in acelasi timp, metode de apreciere si ordonare a materialelor dupa rezistenta la eroziune cavitationala si transpunere a rezultatelor de la o statiune la alta.

## CAP.1 STADIUL ACTUAL AL INVESTIGATIILOR SI IDENTIFICARILOR EROZIUNII CAVITATIONALE PE MASINILE INDUSTRIALE SI IN LABORATOR

Distrugerea organelor de masina, aflate in contact cu fluidul cavitant, prin eroziune cavitationala a dus la ample cercetari pe masinile hidraulice si echipamentele hidromecanice, unde functionarea fara cavitate este practic imposibila.

Cele mai multe rezultate, oferite de literatura de specialitate, se refera la eroziunea cavitationala a turbinelor hidraulice, pompelor si elicelor navale.

### 1.1 INVESTIGATII SI IDENTIFICARI ALE EROZIUNII CAVITATIONALE LA TURBINELE HIDRAULICE

Componenta turbinei hidraulice care se distrug cel mai rapede prin eroziune cavitationala, dupa 10-20(30) mii ore de functionare, este rotorul. Distrugerea acestuia se realizeaza indiferent de materialul folosit. Spre exemplificare in fig.1.1 si 1.2 se prezinta cate un rotor de turbina Kaplan si Francis erodate cavitational [3,4,51,65].

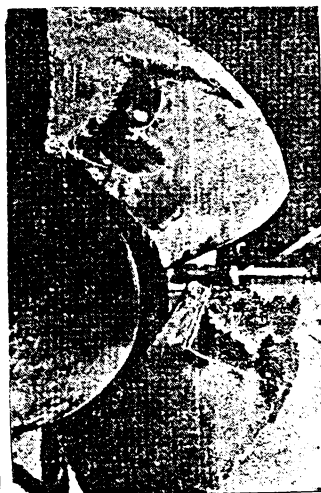


Fig. 1.1 Rotor de turbina Kaplan distrus prin eroziune cavitationala [51]



Fig. 1.2 Rotor de turbina Francis distrus prin eroziune cavitationala [71]

Stabilirea cauzelor ce duc la distrugerea turbinei hidraulice si a cailor de atenuare a efectului acestora a impus cercetarea eroziunii cavitationale prin observatii directe

si evaluarea distrugerilor ce apar. In aceste directii cele mai ample studii sunt efectuate de cercetatorii russi Edel si Palaev [4,72], Pernik [73], Orahelashvili [71].

La noi in tara o activitate intensa o are Colectivul de Cavitatie din cadrul Facultatii de Mecanica din Timisoara, condus de dl. academician I. Anton.

Dintre metodele folosite cele mai interesante rezultate au dat:

- a)- executia paletelor rotorice din diferite materiale,
- b)- folosirea unor probe standard, confectionate din diferite materiale, fixate in zonele supuse unor intense distrugeri cavitationale,
- c)- acoperirea zonelor, supuse eroziunii cavitationale, cu metale usor distractibile.

Prima metoda a fost aplicata de Edel si Palaev [72] turbinei Kaplan T4 de la C.H.E. V. I. Lenin de pe Volga, fig. 1.3a si turbinei Kaplan T2 de la Timleansk, fig. 1.3b.

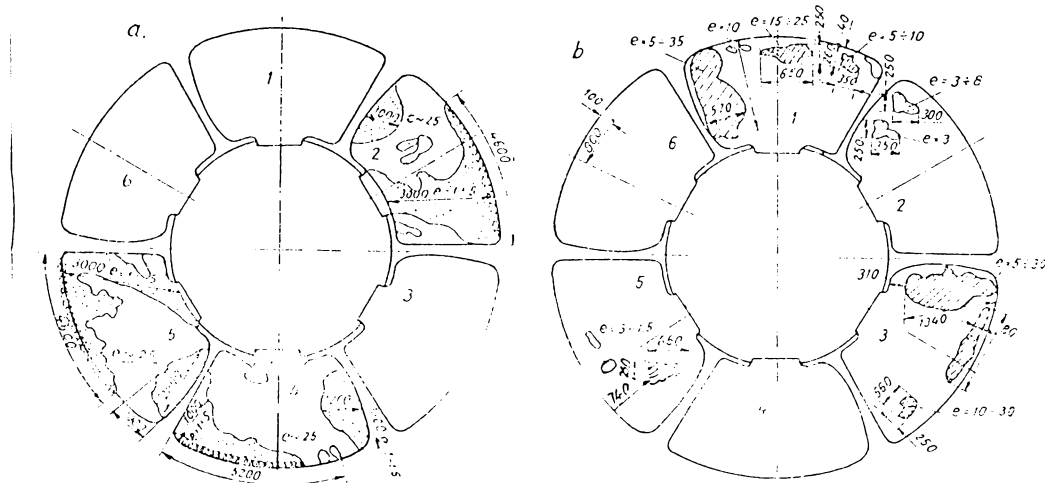


Fig. 1.3. Distrugeri prin eroziune cavitationala la paletele rotoarelor de turbina Kaplan [72]: a- C.H.E. V. I. Lenin; b- C.H.E. Timleansk

Rotorul din fig. 1.3a avea 3 palete(1,3,6) turnate din otel 20H13NL cu HB=180 daN/mm si 3 (2,4,5) din otel aliat 18DGSL cu HB =160 daN/mm . Dupa 18000 ore de functionare paletele din otel aliat prezintau, pe dosul paletei, suprafete erodate cu

adancimi pana la 20-25 mm, iar cele din otel inoxidabil nu prezintau distrugeri semnificative.

Rotorul din fig. 1.3b avea 2 palete (4,6) din otel inoxidabil martensitic 25H14NL cu HB=200 daN/mm, doua din otel carbon 30L (1,3) si doua din otel carbon 30L (2,5) placat cu otel inoxidabil 1H18 N9T cu HB=156 daN/mm.

Dupa 30000 ore de exploatare s-a constatat:

- paletetele din otel carbon 30L erau distruse pe suprafete mari cu adancimi pana la 30 mm,
- paletetele din otel carbon placate cu otel inoxidabil prezintau distrugeri pe adancimi pana la 15 mm,
- paletetele din otel inoxidabil martensitic nu prezintau distrugeri semnificative.

Constatarile de mai sus arata ca distrugerile paletelor depind de materialul folosit.

Cercetarile efectuate de Prof. dr. ing. M.Popoviciu [90], pe turbină Kaplan de la Portile de Fier I, arata ca unul si acelasi material (OH12NDL) poate avea o comportare cavitationala buna sau foarte buna, in functie de intensitatea procesului. Acest aspect este real intrucat turbină in exploatare funcționeaza la diferiti coeficienti de cavitatie, fig. 1.4, implicand distrugeri pe arii si in locuri diferite [90].

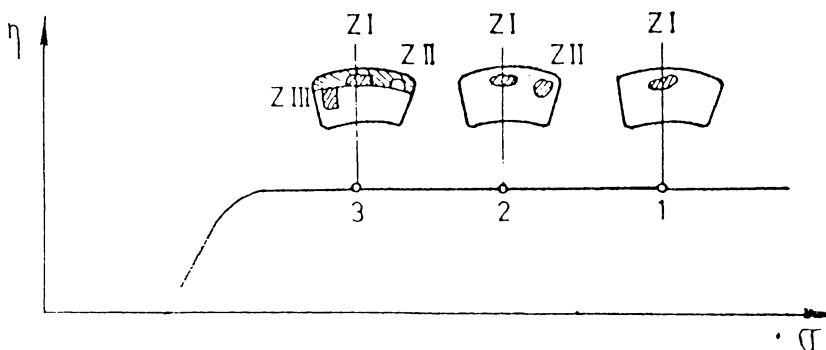


Fig. 1.4 Caracteristica primara de cavitatie  $\eta(\tau)$  si evolutia distrugerilor [90]

Prin urmare, otelul inoxidabil OH12NDL in zona 1 se comporta foarte bine, la atacul cavitational, in zona 2 se comporta bine, iar in zona 3 se comporta slab. De asamenea, se remarcă ca la același regim de funcționare, zona 3, cavitatia de rost Z1 este mai profunda decat cea de profil ZIII.

In cadrul metodei b) Edel si Palaev [72] au folosit probe cilindrice cu D=30 mm, realizate din otel carbon si inoxidabil, pe care le-au fixat in camera turbinei pe placi din otel 1H18N3G3D21. Plasarea s-a facut in locul de intensitate cavitationala maxima. Dupa 15000 ore de functionare probele din otel carbon au fost distruse complet, iar cele din inox prezintau usoare urme de eroziune cavitationala. Aceasta metoda ilustreaza dependenta distrugerilor, prin eroziune cavitationala, de calitatea materialului si intensitatea fenomenului cavitational.

Cea de-a treia metoda, folosita de Edel si Palaev [72] consta in acoperirea zonelor distruse cu foi de aluminiu de 1-2 mm grosime. Evaluarile eroziunii cavitationale efectuate, dupa fiecare regim de functionare, fara desprinderea placii de pe paleta, in functie de urmele lasate si raportul dintre suprafata erodata si suprafata totala a paletei, au aratat dependenta distrugerilor de parametrii tehnico-functionalii ai turbinei (H,P,Hs,Q,D).

Studiile efectuate de Edel si Palaev [72], pe turbinele Francis de la Dneprovsk, dupa diferiti timpi de exploatare, inaltime geometrice de aspiratie si puteri instalate arata ca zonele cu cea mai mare probabilitate de distrugere sunt:

- spatele bordului de atac inspre inelul rotorului,
- dintre bordul de fuga si inelul rotorului.

In fig. 1.5 se prezinta schita unui rotor de turina Francis de la Dneprovsk, dupa Edel [72].

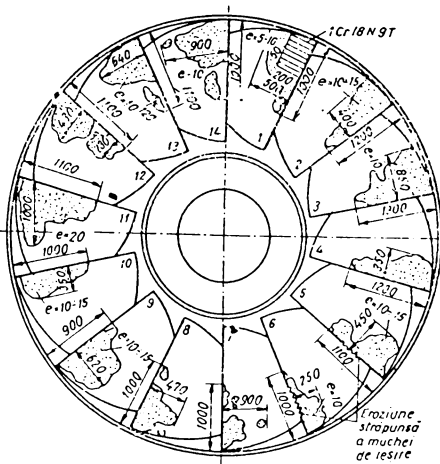


Fig. 1.5 Rotorul turbinei Francis erodat cavitational [72]

Evaluarea volumului de material erodat se realizeaza pe baza cunsumului de electrozi folositi la lucrările de reparatii [4,31,51,71,72,73]. Nivelul erorilor este de circa 200-300 %.

Metoda cea mai precisa, cu larga raspandire, o constituie determinarea ariei de distrugere si adancimii medii de patrundere [4,72,73]. Aria distrusa, prin eroziune, se imparte in arii elementare, se traseaza profilogramele eroziunilor, se determina adancimea medie pe fiecare aria elementara si in final se determina adancimea medie de patrundere  $e_m$  pentru intreaga suprafata.

In timpul eroziunii cavitationale, dupa un anumit timp, aria erodata se stabilizeaza, progrese realizand numai adancimea medie  $e_m$  [3,4,38,72,112,116].

Cunoasterea variatiei  $e_m(t)$  si a suprafetelor erodate permite construirea curbelor de pierdere volumica  $V(t)$ . Calculul volumului erodat serveste la aproximarea termenelor de reparatii capitale [4].

Pentru adancimea medie de patrundere  $e_m$ , Edel si Palaev [72] propun urmatoarea relatie de calcul:

$$e_m = A t^n \quad (1.1)$$

unde:

$A = (0,7 \div 3) \cdot 10^{-7}$  - coeficient ce caracterizeaza intensitatea eroziunii

$n = 1,6 \div 2$  - exponent ce caracterizeaza materialul

$t$  - durata de exploatare, in ore.

Modul de variație a adâncimii medii de patrundere  $e_m$  în funcție de timp, obținut de Edel și Palaev [4, 72] pentru diferite palete, realizate din diverse materiale, este prezentat în fig. 1.6

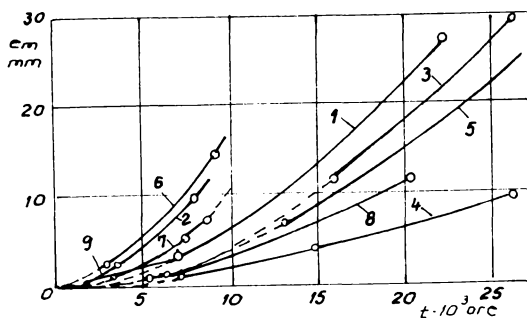


Fig. 1.6 Variatia adancimii medii de patrundere  
in functie de timp [4, 72]

Semnificatia cifrelor din fig. 1.6 este:

1- paleta rotorului turbinei Francis de la CHE Mingeceaursk (otel carbon 30L)

2- paleta rotorului turbinei Francis de la CHE Dneprovsk (otel carbon 25L)

3- paleta rotorului turbinei Kaplan de la CHE V.I. Lenin (otel aliat 18DGSL)

4- camera rotorului de turbină Kaplan de la CHE V.I. Lenin (otel MOL3)

5- paleta rotorului de turbină Kaplan de la CHE Timleansk (otel carbon 30L)

6- paleta rotorului turbinei Francis de la CHE Bratsk (otel aliat 20 GSL; H=78m)

7- paleta rotorului turbinei Francis de la CHE Bratsk (otel aliat 20GSL; H=84m)

8- paleta rotorului turbinei Francis de la CHE Bratsk (otel inoxidabil OH12NDL; H=103m)

9- paleta rotorului turbinei Kaplan de la CHE Verhne-Tulomsk (otel aliat 20HNL).

Fig. 1.6 arata dependenta distrugerilor cavitational de tipul turbinei, calitatea materialului si parametrii energetici functionali (H,P,Hs,n).

## 1.2 INVESTIGATII SI IDENTIFICARI ALE EROZIUNII CAVITATIONALE LA POMPE

In functie de destinatie pompele pot functiona in regim de supercavitate, cavitate avansata, cavitate industriala si fara cavitate [4,33,45,51,91,100].

Majoritatea pompelor folosite in industrie functioneaza in cavitate. Fară cavitate functioneaza numai pompele din domeniul alimentar, unde este interzisa prezența particulelor solide ce pot apărea în urma eroziunii cavitationale.

Zonile cu cea mai mare frecvență de distrugere, prin eroziune cavitatională, la diverse tipuri de pompe, sunt indicate în fig. 1.7 [4].

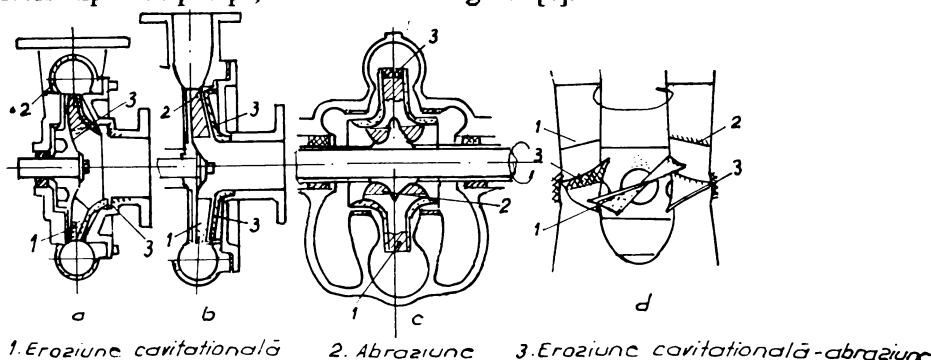


Fig. 1.7 Zone tipice distruse prin cavitate si prin abraziune [4]

Se observă că elementul cel mai distrus este rotorul, respectiv paleta rotorică.

În fig. 1.8 este prezentat un rotor de pompa centrifuga distrus prin cavitate [4].

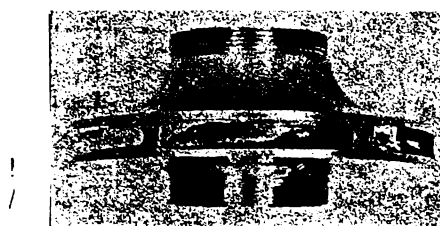


Fig. 1.8 Rotor de pompa centrifuga erodat cavitational [4]

Experiențele au arătat că eroziunea cavitatională se manifestă intens când pompele functionează la turări ridicate [4,37,45,51,100]. La aceste pompe eroziunea cavitatională reduce secțiunea paletelor și duce la ruperea sa datorită solicitărilor mecanice ridicate, determinate de varfurile mari de presiune ce apar în timpul cavității [21,73]. Astfel de distrugeri apar, așa cum se observă și în fig. 1.8, pe fața sau dosul paletelor în apropierea bordului de atac, dacă durata de funcționare este maximă la debitul partiale sau mai mic decât cel optim [4,37,56,73].

Analizele tehnico-economice efectuate pe numeroase pompe si statii de pompare au determinat CEGB-ul sa afirme [4]: "viata rotorului de pompa trebuie sa fie de cel putin 4500 ore cand functioneaza la debitul optim; deci circa 80% din timpul de exploatare".

Grist [37], Kasai [49] si Kuzman [54] arata ca distrugerea cavitationala a pompelor depinde de lichidul vehiculat, materialul folosit pentru rotor si regimul de functionare. De asemenea, Grist arata ca maximul intensitatii erozionale apare la alta valoare a coeficientului de cavitatie al instalatiei  $\sigma$  decat cea la care apare scaderea randamentului energetic, fig. 1.9 [4,37].

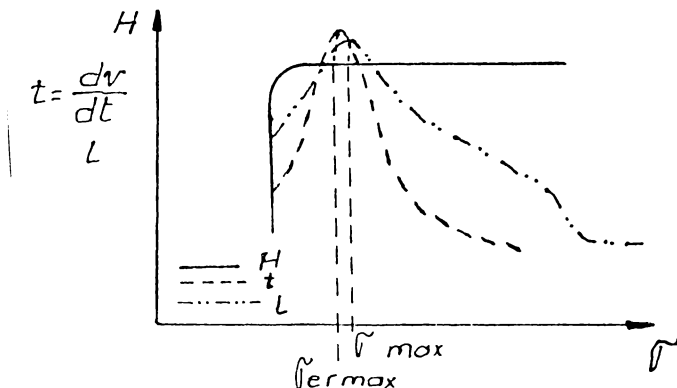


Fig. 1.9 Asocierea curbei primare de cavitatie cu curbele de intensitate erozionala la cavitatie [37]

Pentru eliminarea completa a distrugerilor principale de cavitatie, la pompele cu  $n < 3000$  rot/min, Grist [37] propune functionarea la o cadere dinamica de presiune [4,37]:

$$NPSHc \min = 1,05 NPSHi \text{ viz} \quad (1.2)$$

sau pentru  $n > 3000$  rot/min [4,37]:

$$NPSHc \ min = \left(1 + \frac{n}{60000}\right) NPSHi \text{ viz} \quad (1.3)$$

Majoritatea cercetarilor experimentale, legate de determinarea caracteristicilor de cavitatie si corelarea lor cu intensitatea eroziunii, au dus la aproximatiile [4,37,60]:

$$NPSHac \ max = NPSHviz = NPSHer \ max \quad (1.4)$$

Desi s-au realizat ample studii in domeniul eroziunii cavitationale a pompelor, problema determinarii cantitatii de material erodat, cand pompa functioneaza la un anumit stadiu cavitational este, deocamdata, nerezolvata. Evident dificultatile sunt le-

gate atat de diversitatea materialelor in fabricarea pompelor (in special a rotoarelor) cat si a lichidelor vehiculate si a conditiilor de exploatare.

### 1.3 INVESTIGATII SI IDENTIFICARI ALE EROZIUNII CAVITATIONALE LA ELICELE NAVALE

Cu toate ca primele observatii de eroziune cavitationala s-au facut asupra navelor maritime [57,100], literatura de specialitate ofera prea putine date despre distrugerea elicelor navale, in raport cu cele referitoare la turbinele hidraulice si pompe.

De asemenea, functionarea elicei in curent neuniform si nestationar pune mari probleme specialistilor in pronosticarea nivelului distrugerii cavitationale [4,26,41, 45,57,117].

Cele mai multe studii sunt realizate in laboratoare prin masuratori si observatii vizuale, utilizand elici confectionate din materiale usor distructibile, asa cum a procedat Van der Meulen [117], folosind o elice de aluminiu erodata dupa 40 ore de functionare. Transpunerea rezultatelor din laborator pe elica industriala este anevoieasa datorita efectului de scara nefinalizat [4,117].

In functie de modul de exploatare al navelor, elica navală poate fi distrusa intr-un timp mai lung sau mai scurt. Bjorne arata ca cele mai frecvente distrugeri apar la elicele cargourilor si tancurilor petroliere de mare tonaj [26]. In fig. 1.10 se prezinta o elice din bronz, avand  $D = 6,7\text{m}$  si  $Z = 5$  palete, folosita la propulsarea unui vapor maritim si distrusa prin eroziune cavitationala [3]. Elica a functionat la 100 rot/min.



Fig. 1.10 Elice de vapor distrusa prin eroziune cavitationala [3]

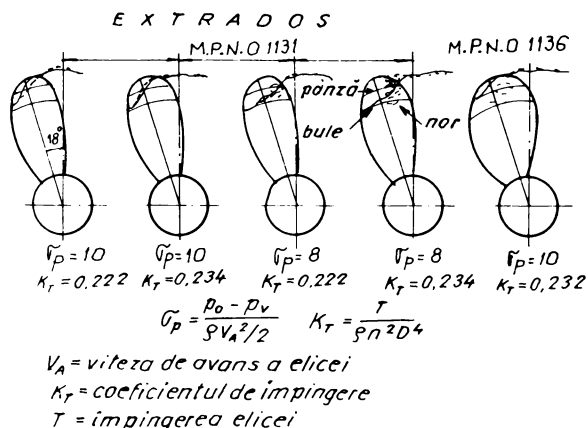


Fig. 1.11 Distrugeri prin eroziune cavitationala la paletele de elici navale [45]

Cercetarile realizate de Ito [45] arata ca zona cu frecventa cea mai mare de distrugere apare pe dosul paletei langa bordul de atac, la  $(0,7 - 0,8)R$  si depinde de coeficientul de cavitatie  $\sqrt{P} = 2(p - p_0)/\rho v_A^2$  ( $v_A$  - viteza de avans a elicei) si coeficientul de impingere  $K_T = T/f_D n^2 D^4$  ( $T$ - impingerea elicei), fig. 1.11.

Dependenta distrugerii elicelor de o serie de factori ce intervin in exploatarea navelor (dimensiunea elicei, forma geometrica a palei, incarcarea vasului, distributia circulatiei, tipul cavitatiei, etc.) si imposibilitatea evitarii acestui fenomen a dus la cautarea unor materiale care sa le mareasca durata de viata [26,45,117,128].

In momentul de fata cele mai bune rezultate sunt oferite de bronzurile navale, ce contin elemente de aliere ca Ni, Al, Mn [11,14,18,26,45]. Insa, pretul de cost ridicat impune gasirea unor materiale inlocuitoare, care sa fie accesibile financiar si sa prezinte comportari cavitationale bune. Asta implica realizarea unor ample studii de eroziune cavitationala, pe probe, in laboratoare.

## 1.4 INVESTIGAREA EROZIUNII CAVITATIONALE IN LABORATOR

Depistarea unor materiale care sa aibe un pret de cost scazut si rezistenta mare la eroziune cavitationala, a dus la realizarea instalatiilor de laborator, ce permit o analiza mai sistematica a comportarii materialelor la atacul cavitational.

Folosirea instalatiilor de laborator prezinta o serie de avantaje [3,41,42,106,120]:

- crearea unor fenomene cavitationale, de intensitatii diferite, ce pot fi controlate si mentinute un timp indelungat,
- folosirea diferitelor lichide de lucru la temperaturi si presiuni variabile,
- probele pot fi montate si demontate cu usurinta, in vederea determinarii cantitatii de material erodat si studierii suprafetei distruse,
- durata de distrugere a probelor este cu mult mai mica decat cea intalnita in situatiile reale la masinile hidraulice, elicele navale si aparatele hidraulice de comanda si reglare,
- camerele de lucru permit vizualizarea, filmarea si fotografarea atacului cavitational.

Aprecierea comportarii cavitationale a materialelor se face pe baza curbelor caracteristice, valorii parametrilor caracteristici eroziunii cavitationale si fotografiilor obtinute la microscopale optice sau electronice.

### 1.4.1 Obiective urmarite prin investigarea eroziunii cavitationale in laborator

Principalele obiective urmarite prin cercetarile de eroziune cavitationala, realizate in laborator, sunt:

1- identificarea materialelor cu rezistenta la eroziune cavitationala, suficient de mare, astfel incat sa aigure, pieselor ce functioneaza in fluid cavitant, o durata de exploatare cat mai mare,

2- stabilirea, de fiecare laborator, a unui criteriu de ordonare a materialelor dupa rezistenta la cavitatie,

3- stabilirea unui material etalon, cu buna rezistenta la eroziune cavitationala, pentru fiecare statiune,

4- stabilirea tendintelor de influenta a comportarii cavitationale, a materialelor, de:

- tipul structurii si natura constituentilor structurali,

- elementele chimice componente,

- proprietatile fizico-mecanice, tehnologia de elaborare (turnare, laminare, matri-tare,etc.), a materialului,

- forma semifabricatului (rotund, patrat, tabla, tagle,etc.).

- natura si temperatura lichidului de incercare,

- parametrii tehnico-functionalii ai statiunii de incecare,

- tratamentul aplicat,

- etc.

5- stabilirea unor relatii de legatura intre rezultatele experimentale, obtinute in statiuni de acelasi tip,

6- stabilirea unor criterii de similitudine in eroziunea cavitationala,

7- stabilirea parametrului ce reflecta cel mai bine rezistenta materialului la eroziune cavitationala.

Cercetatorii si-au adus contributii, in realizarea acestor obiective, sub diverse forme. Astfel, Garcia, in teza sa de doctorat [33], studiaza tendinta de influenta a tipului si temperaturii lichidului de lucru (apa distilata, bismut,mercur) precum si a proprietatilor fizico-mecanice pentru diverse materiale (oteluri carbon, oteluri aliate, inoxuri, aliaje neferoase),asupra vitezei de eroziune cavitationala si adancimii medii si maxime de patrundere MDPR, respectiv MDPRmax. Studiul este realizat global, in tunel cavitant si aparat vibrator, si se incheie cu relatii empirice de legatura intre marimile analizate si parametrii de referinta, caracteristici eroziunii cavitationale.

Gradul de aplicabilitate al relatiilor, astfel stabilite, este limitat. El poate creste daca analiza se realizeaza separat, pe grupe de materiale: oteluri carbon, oteluri aliate pentru constructii, oteluri inoxidabile, aliaje ale cuprului si aluminiului, etc.

Astfel de studii sunt efectuate si de Thiruvengadam [111], Steller [104], Hobbs [41,42] si Hammitt s.a. [39].

Influenta tipului de structura si a constituentilor structurali este prea putin studiata. Contributii, in aceasta directie, au Hrelescu [44], Karimi [47,48] si Thiruvengadam [111].

Influenta parametrilor tehnico-functionalii ai statiunii de incercare, in particular ai apparatului vibrator, este analizata de Hobbs [41], Hammitt-Okada [40], Thiruvengadam [113] si Garcia [33], si prezinta relatii de dependenta sub forma grafica sau analitica. Thiruvengadam stabileste si o curba tip pentru viteză de eroziune cavitationala [113], fig.1.12, si recomanda ordonarea materialelor dupa viteză de eroziune cavitationala din zona de stabilizare  $v_s$  (zona 4).

6,8 474  
366 A

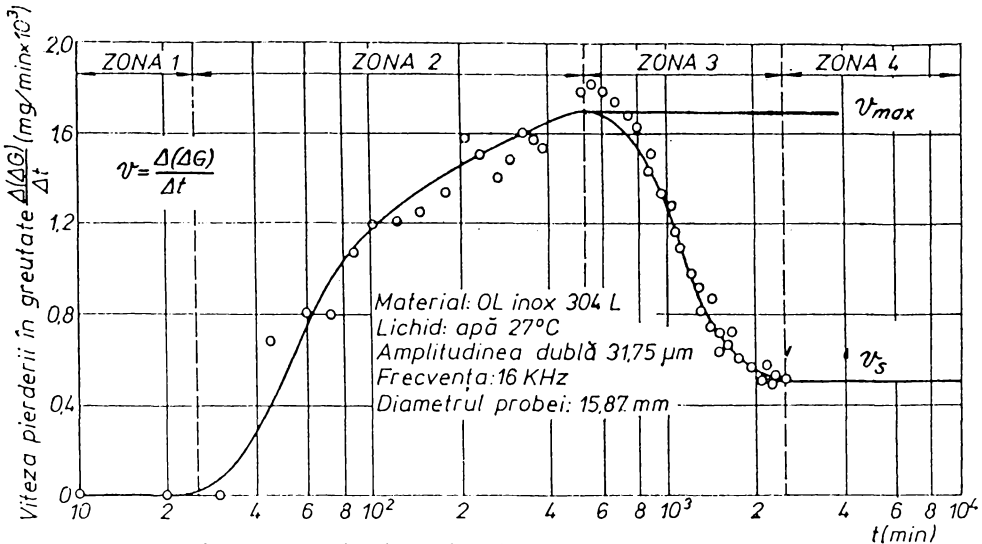


Fig. 1.12 Curba tip a vitezei de eroziune cavitationala stabilita de Thiruvengadam [3,113].

Preocupari in stabilirea unor relatii de efect de scara, de similitudine si modelare matematica a vitezei de eroziune cavitationala au: Hammitt [40], Thiruvengadam [113], Steller [101,102], Sakai-Shima [95a], Shalnev [97], Heymann [3] si Noskiewici [67,68]. Insa, numai Thiruvengadam ofera corelari ale intensitatilor distructive din diferite instalatii [113].

In concluzie se remarcă faptul ca, cu toate eforturile depuse, pana in prezent nu s-a finalizat nici unul din obiectivele importante, cum sunt cele de la punctele: 1, 4, 5, 6 si 7.

#### 1.4.2 Instalatii de laborator utilizate

Exista trei tipuri de instalatii de laborator folosite in studiul eroziunii cavitationale a materialelor:

- 1- tunele hidrodinamice cu camera de lucru strangulata,
- 2- aparate cu disc rotitor imersat in lichid,
- 3- aparate vibratorii

##### 1- Tunele hidrodinamice

Tunele hidrodinamice sunt astfel realizate si concepute incat permit generarea unor fenomene cavitationale similare celor din masinile hidraulice [3,7,33,39,40,99,111]. Peretiile camerelor de lucru sunt transparenti si permit vizualizarea, fotografierea, filmarea si inregistrarea evolutiei procesului de distrugere cavitationala. In

fig.1.13 se prezinta tunelul hidrodinamic realizat de Knapp si forme ale camerelor de lucru [3,35,40,42].

In tabelul 1.1 sunt afisate cele mai semnificative date despre tunele hidrodinamice folosite in lume [106].

Tab.1.1 Tunele hidrodinamice [106]

Laborator	Tunel cavitant						
	Putere pompă KW	Cavi- tator	Aria probet mm <sup>2</sup>	Parametrii		Presiune $P_\infty$ Pa	Temp. °C
				V m/s	V <sub>surf.</sub> m/s		
CITY University Anglia	20	bolt	897	21	45	8900	40
CSSRC, WUXI China	100	ic	3096	14	28	10297	20
HIROschima University	11	Sist. obs.	259	30	300	4052	40
VK -AK PEITZ Germania	?	bolt	986,3	30	41,5	9300	10

Avantajul folosirii unei astfel de statiuni o constituie posibilitatea determinarii distributiei de presiuni, din camera de lucru, pentru diferite stadii cavitationale si construirii curbelor  $\Gamma=f(Re)$ , fig. 1.14

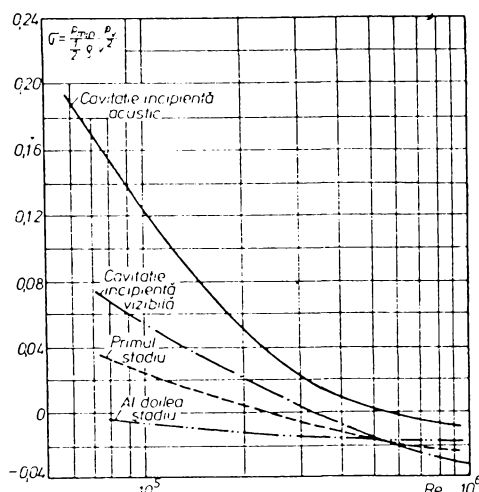


Fig.1.14 Variatia coeficientului de de cavitatie cu numarul Re pentru diferite stadii cavitationale [4].

Dezavantajul instalatiei il constituie gabaritul ridicat si timpul indelungat, necesar erodarii cavitationale a probelor (10 - 300) ore [3,33,39,106].

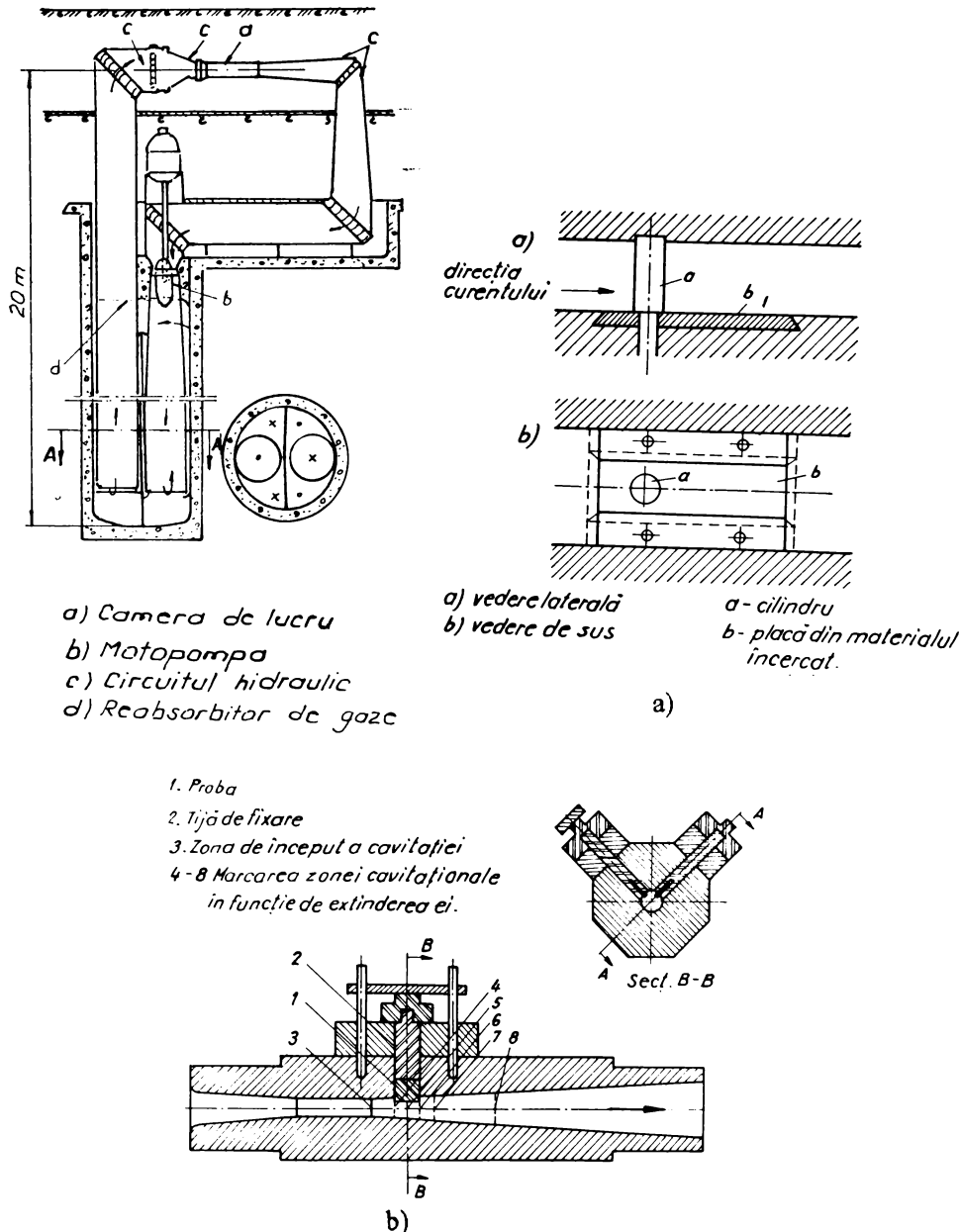


Fig. 1.13 Tunelul hidrodinamic pentru studiul cavitatiei (Knapp) [2, 4]  
 a) - cavitatie in camera cu obstacol  
 b) - cavitatie in tub venturi

## 2- Aparate cu disc rotitor imersat in lichid

Aparatele cu disc rotitor imersat in lichid simuleaza cel mai bine eroziunea cavitationala a masinilor hidraulice si elicelor navale [3, 39, 43, 106, 116]. Elementul de baza al acestor aparate il constituie discul rotitor imersat in lichid, a carui turatie poate fi modificata in functie de intensitatea fenomenului cavitational dorit. In acest disc sunt realizate orificii, cu geometrie variabila, dispuse dupa spirale logaritmice, care servesc la generarea cavitatiei [3]. In spatele orificiilor sunt montate probele de forma cilindrica a caror suprafata este distrusa prin eroziune cavitationala.

Camera de lucru, in care-i montat discul rotativ, este cu pereti transparenti permitand vizualizarea, filmarea si fotografarea fenomenului cavitational.

In fig.1.15 se prezinta un model de aparat cu disc rotitor, utilizat de Veerabhadra [116], iar in tabelul 1.2 marimile caracteristice ale unor astfel de aparate [106].

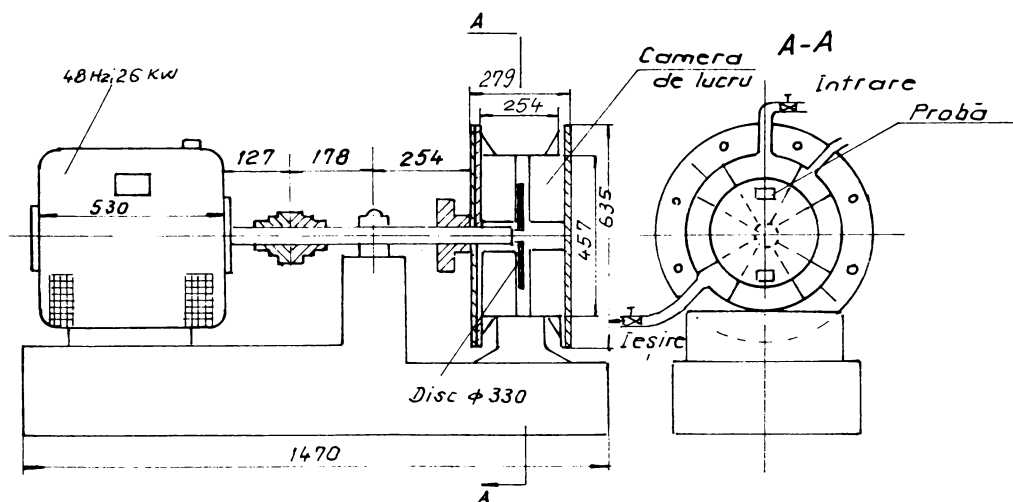


Fig.1.15 Aparat cu disc rotitor imersat in lichid [116]

Tab.1.2 Aparate cu disc rotativ [106]

Laborator	Parametrii							
	Putere motor P <sub>kW</sub>	Diam. disc D mm	Turatie rot/min	Cavitaror gaură nit	Supra- față mm <sup>2</sup>	Temperatură rotușo °C	Pres. mediu Pa	
CSSRC, Wuxi	30	350	2950	gaură	43	1256,6	20	1030
IMP PAN, Gdańsk	40	330	3000	nit	42,5	706,5	20	1550
KSB AG, Frankenthal	28	500	1537	nit	29,6	200	40	464
SIGMA VU, Olomouc	52,5	275	5000	gaură	60,2	2*491	40	700

Dezavantajele acestor aparate sunt coplexitatea campului de viteze si presiuni din camera de lucru, care fac imposibila crearea unui model matematic al fenomenului cavitational produs si durata ridicata a incercarilor (10 - 60 ore), crescand pentru materiale rezistente de tipul inoxurilor.

### 3 Aparate vibratorii

#### a) Generalitati

Aparatele vibratorii folosite in cercetarea eroziunii cavitationale a materialelor sunt de doua tipuri [1,3,40,52,99,106,111]:

- magnetostrictive
- piezoelectrice

Dintre aparatele magnetostrictive cele mai uzuale folosesc traductoare feritice si tuburi de nichel [33,40,69,106,120].

Azi, un accent tot mai ridicat se pune pe utilizarea aparatelor vibratorii cu cristale piezoceramice datorita [1,33,98,120]:

- elasticitatii ridicate si frecvențelor de lucru înalte,
- pierderii de căldură reduse,
- eficienței mari în conversia energiei.

La aceste aparate distrugerea materialului depinde de nivelul parametrilor tehnico-functionalii: puterea electrica de alimentare a generatorului electronic de ultrasunete, diametru probei, frecventa si amplitudinea oscilatiilor, temperatura si natura lichidului de lucru. Eroziunea cavitationala are loc ca urmare a miscarii vibratorii pe verticala ce genereaza, periodic, un nor de bule cavitationale prin a carui surpare se nasc presiuni ridicate pe suprafata probei, producand ruperi de material.

Conditia esentiala, ca eroziunea sa aiba loc, este ca norul sa adere pe suprafata probei. Aceasta este determinata de tensiunea superficiala la interfetele lichid-solid-vapori si interacciunea mecanica dintre bule si asperitatile suprafetei probei.

Probele supuse atacului cavitational pot fi stationare sau vibratoare (fixate de subansamblu transductor) [33,106,120].

La aparatele vibratorii cu tub de nichel nivelul amplitudinilor depinde de lungimea tubului, iar la cele cu transductor piezoceramic si feritic de forma concentratorului-amplificator (conic, exponential, cilindric in trepte, catenoidal, etc.) si raportul sectiunilor intrare-iesire [1,36,98].

Camerele de lucru sunt cu pereti transparenti si ofera aceleasi facilitati ca la tunelurile hidrodinamice si aparatele cu disc rotitor.

In tabelul 1.3 se prezinta marimile caracteristice ale celor mai semnificative aparate vibratorii folosite in eroziunea cavitationala [33,40a,52,76,106].

Desi procesul cavitational este total diferit de cel din instalatiile industriale aparatele vibratorii sunt tot mai des folosite datorita urmatoarelor avantaje [1,3,120]:

- durata de incercare foarte mica, maxim 2 - 4 ore,
- spatiul ocupat foarte redus,
- permit utilizarea oricarui tip de lichid,

- au cea mai mare intensitate de distrugere, fig. 1.16 [3,4],
- rezultatele obtinute sunt acoperitoare pentru situatiile reale.

Tab.1.3 Parametrii tehnico-functionalii ai unor aparate vibratorii

Nr. crt.	Laboratorul (țara) / Simbolul folosit)	Tip stătiune	Frecvență f (kHz)	Amplitudinea A ( $\mu\text{m}$ )	Diametrul probei d (mm)	Puterea electrică Pe (W)	Bibl.
1	LMH - Timișoara (T1)	magnetostrictivă	7	47	14	500	[52]
2	Universitatea Michigan (M)	piezoelectrică	$6,4 \div 22,5$	$12,5 \div 100$	$14,3 \div 22$	200	[33,40]
3	IMP, PAN, Gdańsk (IMP Gdańsk-Polenia)	magnetostrictivă	8,1	50	12,5	500	[106]
4	CISE, Milan (Italia)	piezoelectrică	20	50,8	15,8	1000	[106]
5	VSB Ostrava (Cehia)	piezoelectrică	20	40	16	250	[106]
6	Lab. Mec. Beograd (Beograd-Serbia)	piezoelectrică	20	50	?	?	[76]
7	CAPE Town University (Africa de Sud)	piezoelectrică	20	60	10	500	[106]
8	CSSR, Wuxi (China)	piezoelectrică	20	32	16	250	[106]
9	HIROSHIMA (Japonia)	piezoelectrică	19,9	24	16	100	[106]
10	HULL University (Michigan)	piezoelectrică	20	117	18	200	[106]

w - aparat vibrator

T - aparat cu disc

U - aparat cu jet

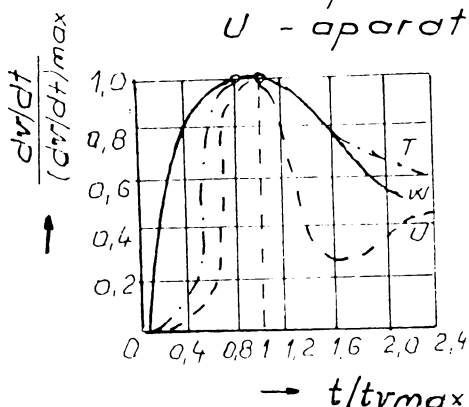


Fig. 1.16 Dependența intensității distrugerii cavitatională relative de aparatul generator de cavitare [3,4]

Dezavantajele acestor aparate sunt necesitatea unei bune izolari fonice si dificultatea stabilirii unor relatii care sa permita transpunerea rezultatelor la masina industriala, datorita modului diferit de realizare a fenomenului cavitational [3,30a, 40a]. Insa, datorita numarului mare de statiuni existente este absolut necesara crearea unei relatii de efect de scara care sa permita transpunerea rezultatelor de la o statiune la alta.

**b) Aparatul vibrator magnetostriictiv  
cu tub de nichel T1**

**b1) Principiu de functionare. Parti componente**

Magnetostriictiona este proprietatea unor materiale de a se contracta si dilata cand sunt plasate intr-un camp magnetic de intensitate ridicata [1,24].

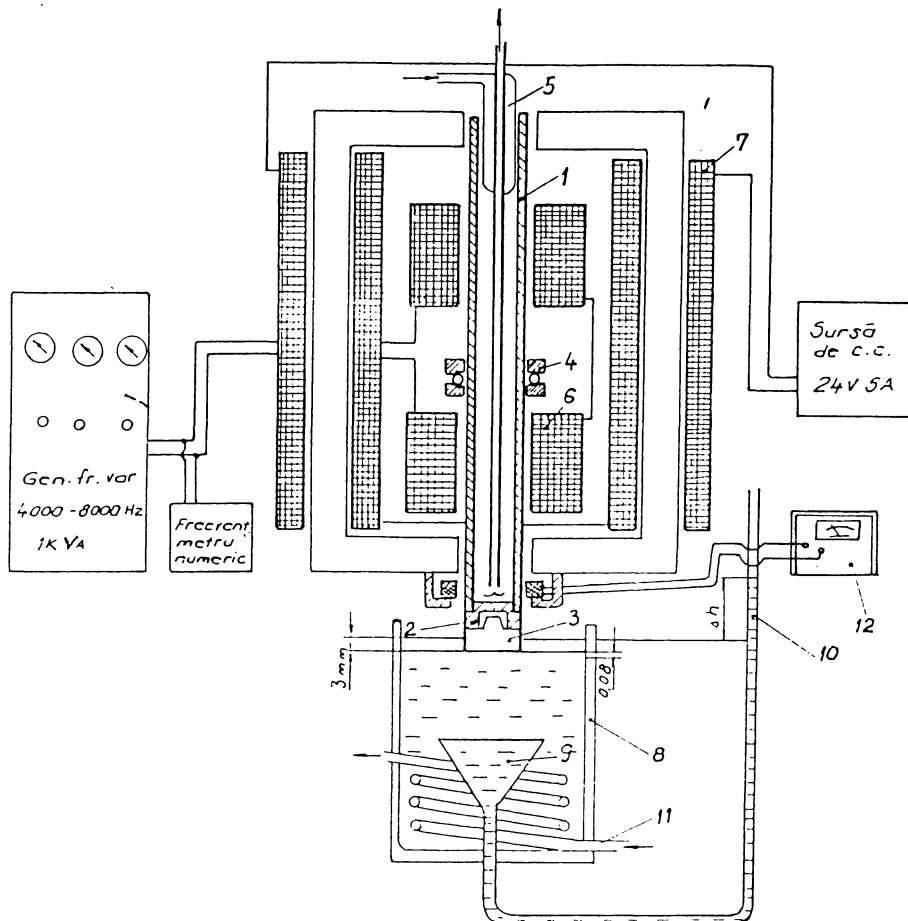
Dintre materialele cu magnetostriictione ridicata se remarcă nichelul pur si anumite tipuri de ferite [1,24,36,98]. Pe baza acestei proprietati s-a construit intre anii 1958-1962, de catre C.P.I. ing. I. Potencz [52], aparatul magnetostriictiv cu tub de nichel T1, fig.1.17 si 1.18 aflat in Laboratorul de Masini Hidraulice al Universitatii Politehnica din Timisoara, destinat studiului distrugerii cavitationale a materialelor. Este compus dintr-un generator de inalta frecventa, cu putere maxima de iesire de 500W a curentului alternativ produs, cu frecventa de iesire reglabilă intre 4000 - 8000 Hz si un vibrator magnetostriictiv format dintr-un tub de nichel (1), de lungime l=305 mm, fixat pe un suport in campul magnetic pulsator. Tubul de nichel are la un capat sudat capul de prindere filetat (2) pentru fixarea probei (3). Frecventa proprie de oscilatie a tubului este functie de lungimea sa si viteza sunetului din metal [1,24,36,54]. Tubul este fixat in nodul de oscilatie printr-un sistem de prindere inelar (4). In jurul tubului de nichel sunt plasate 2 bobine (6), alimentate de la generatorul de frecventa variabila, care induc, in tub, un camp magnetic alternativ puternic (tensiunea de iesire 70V si puterea 1KVA). Peste acest camp se suprapune un camp continu realizat cu ajutorul unor bobine si un jug magnetic (7), alimentate de la o sursa de curent continuu de 24 V si 5 A [44]. Prin insumarea celor doua campuri rezulta un camp magnetic pulsator de amplitudine dubla. Datorita acestui camp tubul de nichel se contracta in ritmul frecventei campului alternativ, proba (3), executand o miscare vibratorie pe verticala.

De asemenea, datorita intensitatii ridicate a campului magnetic pulsatoriu, in tubul de nichel se induc curenti Foucault care-l incalzesc foarte puternic. Aceasta caldura se compenseaza cu un sistem de racire adevarat, pentru a nu se transmite probei, efectuarea in cercarilor in conditii de temperatura incerte, si evitarea pierderii proprietatilor magnetostriuctive ale tubului de nichel, care are loc la 400 C si care conduce la reducerea pronuntata pana la incetarea miscarilor vibratori [1,24,36,44, 54].

Prin recordarea frecventei curentului de alimentare a bobinelor cu frecventa de oscilatie mecanica, proprie, a tubului de nichel, se obtin, datorita fenomenului de rezonanta mecanica, oscilatii mari ale probei, care ajung la amplitudinea de 94 m [44], [52].

Proba (3), figl.19, este scufundata in vasul cu lichidul de incercare la o adancime de imersare 3 mm. Datorita vitezelor mari ale suprafetei probei si aderentei fluidului, la miscarea de urcare apar depresiuni mari ce duc la aparitia unui nor de bule cavitationale, care, la miscarea de coborare se surpe pe aceasta suprafata distrugand-o. Uzual, procesul se realizeaza cu o frecventa de  $7000 \pm 3\% \text{ Hz}$ .

Modul de formare a norului de bule cavitational pe suprafata probei este prezentat in fig.1.19 [54].



- 1 - tub de nichel ; 2 - piesă fixare probă ;
- 3 - probă ; 4 - sistem inelar fixare tub nichel ;
- 5 - sistem răcire tub ; 6 - bobine curenț alternativ ;
- 7 - bobine curenț continuu ; 8 - vas cu lichid de lucru ;
- 9 - părnic captare unde sonice , 10 - piezometru ;
- 11 - serpentină răcire ; 12 - aparat electric

Fig. 1.17 Aparatul vibrator magnetostriktiv  
cu tub de nichel T1

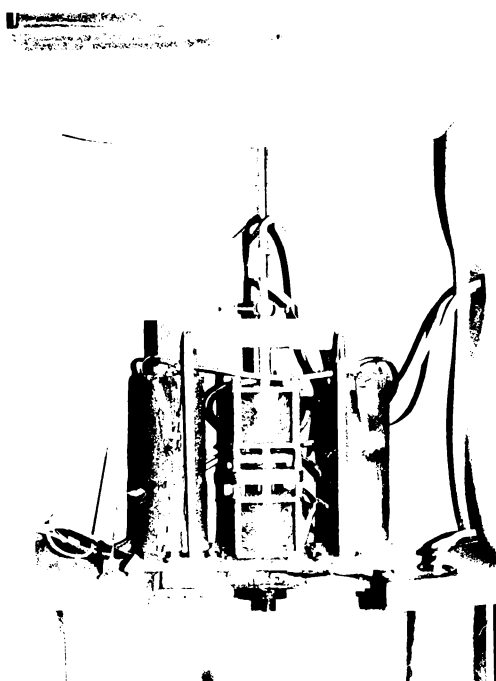


Fig. 1.18 Aparat vibrator magnetostrictiv  
cu tub de nichel T1 (I. Potencz [52])

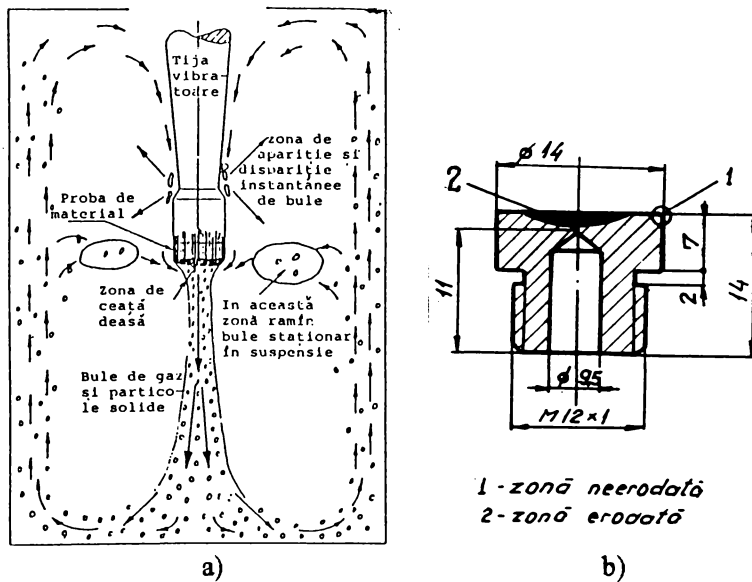


Fig. 1.19 Miscarea in vasul cu lichid la cavitatia  
vibratorie, după Piltz [54]

- a) - formarea norului de bule cavitationale  
b) - forma geometrica a probei

Undele sonice de presiune, datorate miscarii vibratorii a probei, sunt captate de palnia (9) si ridică colană de lichid din piezometru (10) cu denivelarea  $\Delta h$  proporțională cu amplitudinea oscilațiilor (pentru  $A = 94 \mu\text{m} \Rightarrow h \approx 20 \text{ mm}$ ).

Mentinerea constantă a amplitudinii se obține prin reglarea fină a tensiunii de ieșire a generatorului cu ajutorul unui autotransformator ce acionează asupra intensității curentului alternativ și implicit asupra intensității campului magnetic pulsatoriu [44, 54].

Deoarece, aparatul permite și încercarea probelor acoperite prin diferite procedee tehnologice, care, uneori, duc la suprafete supuse atacului cavitational denivelate, pentru citirea corectă a amplitudinii s-a realizat un sistem electric de masurare (12), realizat dintr-o bobină și un voltmetru cu rezistență de intrare mare (12), fig. 1.20 [54].

Mentinerea constantă a temperaturii lichidului din vas se realizează cu o serpentine din cupru prin care circula apă de racire de la rețea.

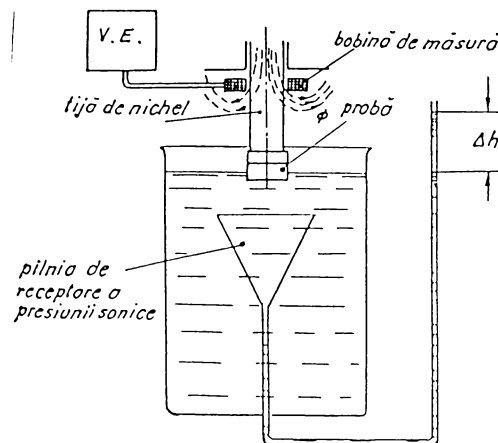


Fig. 1.20 Masurarea amplitudinii cu aparatul electric [54]

### b) Caracteristicile fizice ale aparatului vibrator

Din frecvența reală de 7000 Hz rezulta perioada unei vibratii [1, 24]:

$$T = \frac{1}{f} = 14,28 \cdot 10^{-5} \text{ s} \quad (1.5)$$

Pulsatia oscilațiilor este:

$$\omega = \frac{2\pi f}{T} = 2\pi f = 43,98 \cdot 10^3 \text{ (s}^{-1}\text{)} \quad (1.6)$$

Viteza de oscilatie a probei este:

$$v = \omega A \sin(\omega t + \varphi) \quad (1.7)$$

Viteza maxima are valoarea:

$$v_{\max} = \omega A \quad , \quad (1.8)$$

Viteza medie are valoarea :

$$\bar{v} = \frac{v_{\max}}{2} \quad (1.9)$$

Acceleratia tijei de nichel este data de relatie:

$$a = \omega^2 A \cos(\omega t + \varphi) \quad (1.10)$$

Acceleratia maxima are valoarea:

$$a_{\max} = \omega^2 A \quad (1.11)$$

Se constata ca desi viteza, cu care se misca tija de nichel, este relativ mica, acceleratia este foarte mare:

$$a_{\max} \approx 9268 \text{ g} \quad (\text{g} = \text{acceleratia gravitationala})$$

Presiunea sonica este [1,24,36]:

$$p_s = x \omega \rho c \cos \omega \left( t - \frac{m}{c} \right) \quad (1.12)$$

unde:

$p_s$  - presiunea sonica

$x$  - elongatia

$\rho$  - densitatea lichidului (pentru apa = 1000 Kg/mm)

$c$  - viteza sunetului in lichidul de lucru (pentru apa  $c = 1412 \text{ m}$  [110])

$\omega$  - pulsatia miscarii vibratoriilor

$t$  - timpul

$m$  - masa care vibreaza

Presiunea sonica maxima are expresia [1,24,36,54]:

$$p_{s \max} = A \omega \rho c = 47 \cdot 10^{-6} \cdot 43,98 \cdot 10^3 \cdot 10^3 \cdot 1142 = 2918688,7 \text{ Pa} \quad (1.13)$$

Deci :  $p_{s\max} = 2918688,7 \text{ Pa} = 29,187 \text{ bar}$

Relatiile (1.12) si (1.13) sunt valabile numai pentru unde plane cu lungime de unda mica, propagate in medii omogene [1, 24, 98]. Ultima conditie nu poate fi respectata deoarece in vasul cu lichid se afla in permanenta mediu bifazic lichid-bule.

Cum  $p_{stat} \approx p_{at}$  si  $p_v = 2338 \text{ Pa}$  (pentru  $t = 20^\circ\text{C}$  [30a]) rezulta ca conditia de aparitie a cavitatiei in apparatul vibrator magnetostriativ [24, 30a, 54, 120], este indeplinita :

$$p_{stat} - p_{s\max} = -2817363,7 \text{ Pa} \ll p_v \quad , \quad (1.14)$$

De altfel, practica a dovedit ca eroziunea cavitationala are loc la amplitudini mult mai mici decat  $A = 47 \mu\text{m}$  [40].

#### 1.4.3 Metode de evaluare a comportarii materialelor la eroziune cavitationala

Ordonarea si evaluarea rezistentei materialelor la eroziune cavitationala se face dupa unul din criteriile:

- 1- pantă curbelor de pierdere masică  $m(t)$  sau volumică  $V(t)$ ,  $\text{tg}$  , in zona de stabilizare [3,9 - 18, 50 - 67, 71 - 78, 91 - 98, 102, 113],
- 2- viteza de stationare a eroziunii (de stabilizare, finala de palier)  $V_5$  [9 - 18, 50 - 56, 61 - 63, 71 - 78, 87, 88, 102, 111],
- 3- viteza maxima a eroziunii  $V_{max}$  [31,40, 48, 49, 65, 91, 102, 133],
- 4- rezistenta normalizata la cavitatie  $R_n$  [40, 79, 111,120],
- 5- viteza adancimii medii sau maxime de patrundere a eroziunii, MDPR respectiv MDPR<sub>max</sub>, sau inversul acestora,  $1/\text{MDPR}$  respectiv  $1/\text{MDPR}_{max}$ , [30, 33, 39, 40, 87a],
- 6- timpul de incubatie [3,30a, 39,40a,116,120],
- 7- durata necesara obtinerii unei pierderi volumice sau masice date [3,35,39,74,99],
- 8- durata necesara realizarii unei anumite adancimi de patrundere [3, 33,91].

Deoarece rezultatele experimentale sunt influentate de parametrii tehnico-functionali ai statiunii, permitand un grad de subiectivitate, nici unul din parametrii mentionati nu este acceptat, ca unic, de catre cercetatori.

Dintre acesti parametrii, timpul de incubatie este folosit cu precadere la aprecierea materialelor testate in tunele hidrodinamice si aparate cu disc rotitor [39,116].

Normele ASTM [120] recomanda parametrii 1, 2, 3 si 4, iar Thiruvengadam [113] viteza de stabilizare a eroziunii  $V_5$ . Pentru viteza de eroziune cavitationala maxima normele ASTM [120] recomanda acea valoare dupa care viteza devine descrescatoare. Se face aceasta recomandare, deoarece valorile ridicate din primele minute ale atacului cavitational (obtinute cu precadere in aparatele vibratoare) sunt puternic afectate de praful abraziv si nivelul rugozitatii din suprafata atacata [81, 106].

Azi, majoritatea cercetatorilor utilizeaza, pentru ordonarea materialelor dupa rezistenta la distrugere cavitationala, parametrii 1 si 2 [9-17, 30, 46, 69, 70, 99, 104].

In cadrul acestei lucrari ca parametrii caracteristici se folosesc cei de la punctele 2, 3, 4 si 5.

#### 1.4.4 Efecte de scara

O problema importanta, aflata de multi ani in atentia cercetatorilor, este realizarea unui model matematic care sa coreleze proprietatile cavitationale ale materialelor cu caracteristicile lor fizico-mecanice si parametrii tehnico-functionalii ai statiunii de incercare [3].

Contributii insemnate, in aceasta directie au: Shalnev s.a. [97], Thiruvengadam s.a [3, 111], K. Steller [3, 4, 101, 103] si Sakai-Shima [95a]. Dintre acestia K. Steller si Sakai - Shima au elaborat cele mai avansate si interesante modele.

##### 1.4.4.1 Modelul K. Steller [3, 101, 102]

Analizand rezultatele experimentale obtinute in Laboratorul Institutului de Masini cu Curent de Fluid din cadrul Academiei de Stiinte Poloneze din Gdansk [101, 102], K. Steller formuleaza ipotezele, legate de natura solicitarilor in timpul distrugerii cavitationale si natura si structura materialului, care stau la baza modelului.

Elementul fundamental al modelului il constituie admiterea evolutiei similari a rezistentei la cavitate cu rezistenta la oboseala, data de Wohler, fig 1.21.

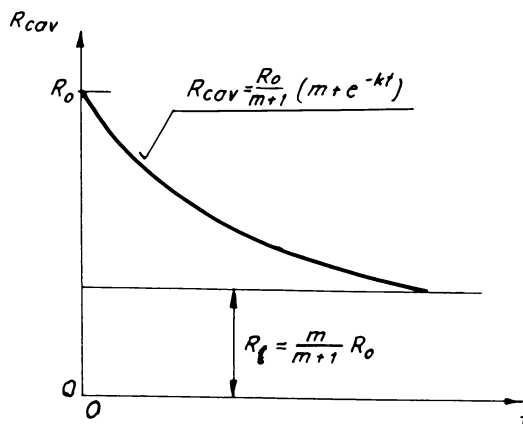


Fig. 1.21 Variatia rezistentei materialului la eroziune cavitationala cu timpul de atac [1, 101]

Cu aceasta ipoteza autorul stăbleste legea de variație a rezistenței la oboseala:

$$R_{cav} = \frac{R_0}{m+e^{-kt}} \quad (m + e^{-kt}) \quad (1.15)$$

unde

$$R_0 = UR = \frac{R_m^2}{2E} - rezilienta\ finala \quad (1.16)$$

$m > 0$  - definește rezistența minima RI a materialului în raport cu rezistența initială  $R_0$ ,

$k$  - constantă ce depinde de material, durată atacului cavitational și condițiile de distrugere.

Scriind egalitatea dintre energia absorbită de material, pentru dislocarea unui volum  $V$  și energia furnizată în acest scop ( $P.t = R_{cav} V$ ), autorul stabilește relațiile de bază ale modelului:

- variația volumului erodat cu timpul de atac cavitational:

$$V = \frac{V_z}{\zeta} (m + e^{-k\zeta}) \frac{t}{m + e^{-kt}} \quad (1.17)$$

- variația rezistenței cavitationale momentane cu timpul de atac cavitational:

$$R_{cav} = \frac{\zeta \cdot P}{V_z} \left[ \frac{m + e^{-kt}}{m + e^{-k\zeta}} \right] \quad (1.18)$$

- rezistența initială:

$$R_0 = \frac{\zeta \cdot P}{\zeta} \left[ \frac{1+m}{m + e^{-k\zeta}} \right] \quad (1.19)$$

- rezistența limită la cavitatie:

$$R_l = \frac{\zeta \cdot m \cdot P}{V_z (m + e^{-k\zeta})} \quad (1.20)$$

- durabilitatea cavitatională momentană:

$$\delta_{cav} = \frac{R_{cav}}{P} = \frac{\zeta (m + e^{-kt})}{V_z (m + e^{-k\zeta})} \quad (1.21)$$

Marimile necunoscute din aceste relații au semnificațiiile:

$P$  - puterea furnizată materialului în timpul distrugerii, în W,

$\zeta$  - durata totală a atacului cavitational, în min,

$V_z$  - volumul erodat în timpul  $\zeta$ , în  $\text{mm}^3$ .

Determinarea experimentală a puterii  $P$  nu este, încă, pusă la punct. Pentru aparatelor vibratorii, unii autori consideră că aceasta este constantă, ca urmare a invariabilității valorilor parametrilor tehnico - funcționali în timpul distrugerii [33, 39, 24, 47, 95, 101, 111]. În acest mod marimile  $R_0$  și  $R_l$  sunt constante.

Pentru aparatele vibratorii puterea P depinde de calitatea imbinarilor mecanice dintre proba - amplificator - cuncentrator si transductor [1, 24, 98], fiabilitatea elementelor electronice, calitatea prelucrarilor mecanice, omogenitatea structurala a materialului, etc. Determinare experimentală si stabilirea unor relații de calcul este în faza de cecetare [30a, 40a].

Ca urmare a acestui neajuns, pentru aplicatii practice, K. Steller recomanda utilizarea durabilitatii cavitationale medii:

$$\bar{\delta}_{\text{cav}} = \frac{\bar{R}_{\text{cav}}}{P} = \frac{1 + m k \zeta - e^{-k \zeta}}{k \cdot V_{\zeta} (m + e^{-k \zeta})} \quad (1.22)$$

Recomandarea este argumentata de faptul ca acest parametru caracterizeaza transformarile interne si superficiale suferite de material in timpul distrugerii, efectele cavitatiei si lichidului in timpul eroziunii.

Cum lichidele, in care functioneaza majoritatea masinilor hidraulice, sunt si corozive rezulta ca rezistenta la cavitate nu prezinta un palier ca in fig.1.21, ci o scadere monotonă, deci  $m \rightarrow 0$ .

In acest caz volumul erodat, rel. (1.17) capata forma:

$$V = \frac{V_{\zeta}}{\zeta} t e^{-k(\zeta-t)} \quad (1.22)$$

Integrarea acestei relații permite definirea constantei k:

$$k = \frac{3}{\zeta} \cdot \frac{V_{\zeta} \cdot \zeta - \zeta \int_0^{\zeta} V dt}{V_{\zeta} \cdot \zeta} \quad (1.23)$$

Cum rezultatele de laborator sunt prezentate sub forma curbelor de pierdere volumica  $V(t)$  [3,9,16,17,18,67,70,103,113], atunci k se poate determina empiric astfel:

$$k \cong \frac{3}{\zeta} \cdot \frac{F_1 - F_2}{F_1 + F_2} = \frac{3\alpha}{\zeta} \quad (1.24)$$

unde  $F_1$  si  $F_2$  sunt arile definite in fig. 1.22.

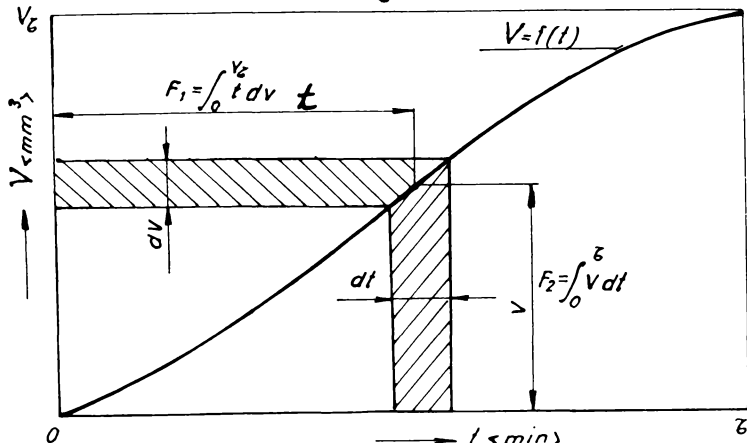


Fig. 1.22 Delimitarea arilor  $F_1$  si  $F_2$  de curba  $V(t)$  [102]

Se observa ca nici una din relatiile stabilite de K. Steller nu contine, in mod explicit, influenta factorilor cu pondere importanta pentru rezistenta materialului la eroziune cavitationala:

- constituenti structurali,
- proprietati mecanice (altele decat rezilienta finala),
- elemente chimice componente,
- tehnologie de elaborare si prelucrare,
- parametrii tehnico - functionali ai statuiunii de incercare, etc.

Introducerea acestor factori, ce influenteaza procesul hidrodinamic si mecanic al distrugerii prin cavitatie, in parametrii k si m fara a cunoaste ponderea, poate duce in unele cazuri, la neconcordante intre calculele empirice si rezultatele experimentale. De asemenea, rezistenta la oboseala, definita de Wohler, se refera la solicitarea intregii sectiuni a materialului, pe cand cea cavitationala este de natura locala, punctiforma, semanand mai mult cu oboseala de contact, specifica rotilor dintate si rulmentilor cu bile [23a].

#### 1.4.4.2 Modelul Sakai - Shima [95a]

Sakai si Shima, pornind de la relatiile empirice stabilite de Rao, Garcia si Byrnside, definesc un parametru relativ  $\psi_n$  de forma:

$$\psi_n = U_n H_n E_n / Y_n = T_n^2 H_n / Y_n \quad (1.25)$$

unde:

$$U_n = U_R / U_{Rst}; \quad U_R = T^2 / 2E; \quad E_n = E / E_{st};$$
$$H_n = B_H N / B_{Hst}; \quad Y_n = Y / Y_{st}; \quad T_n = T / T_{st} \quad (1.26)$$

Semnificatia marimilor din rel. (1.25) si (1.26) este urmatoarea:

UR - rezilienta finala,

BHN - duritatea Brinell (notatia romaneasca HB),

E - modulul de elasticitate longitudinal (modulul lui Young),

Y - limita de curgere (notatia romaneasca Rp0,2),

T - rezistenta mecanica la rupere (notatia romaneasca Rm),

Marimile notate cu indicele st se refera la otelul inoxidabil 304 SS, etalon pentru aparaturul vibrator de la Universitatea din Michigan.

Gruparea proprietatilor mecanice sub aceasta forma este motivata de urmatoarele argumente:

- distrugerea cavitationala depinde puternic de rezilienta finala UR, idee sustinuta si de Hobbs [41], K. Steller [101,102], Anton [2,3,4].

- inversul vitezei adancimii medii de patrundere  $1/MDPR$  este proportional cu duritatea Brinell ( $1/MDPR \sim (BHN)^{1/8}$ ), asa cum arata Hammitt [3,40] si Garcia [33].

- cauza producerii craterelor cavitationale este forta de impuls mecanic creata prin implozia bulelor cavitationale si care, dupa Byrnside, este cel mai bine reflectata de limita de curgere  $R_{p0.2}$ .

Grupand unele materiale pe clase de calitate (rezultatele lui Garcia [33]), altele nu (rezultatele lui Rao), autorii coreleaza efectul de distrugere cavitationala cu proprietatile mecanice ale materialului, printr-o relatia empirica de tipul:

$$\frac{1}{MDPR} = A \left[ 1 - e^{-B\psi_n} \right] \quad (1.27)$$

Coefficientii A si B difera de la o grupare la alta (oteluri, aliaje metalice neferoase, materiale nemetalice, etc) si de la mediu la altul (apa la diferite temperaturi, bismut, metal lichid, etc.)

In fig. 1.23 se prezinta dependenta  $\frac{1}{MDPR}$  ( $\psi_n$ ) obtinuta de Sakai si Shima pentru otelurile inoxidabile si aliate Tab. 1.4. Valorile obtinute in acest caz sunt: A = 492 si B = 1,887.

Tab.1.4 Proprietati mecanice si cavitationale [33]

Material	$R_m$ $N/mm^2$	$R_{p0.2}$ $N/mm^2$	$HB$ $daN/mm^2$	$\frac{1}{MDPR}$ $hr/mm$
Otel carbon	312,11	286,6	172	171,19
304 SS (etalon)	651,1	445,8	211,3	393,7
316 SS	600,8	438,2	202,4	437,44
Mo - $\frac{1}{2}$ Ti	1142,4	1036,3	263	437,44
Cb - I Zr	408	406,5	134,6	269,54
Cb - I Zr (A)	250,1	132,3	88,3	218,72

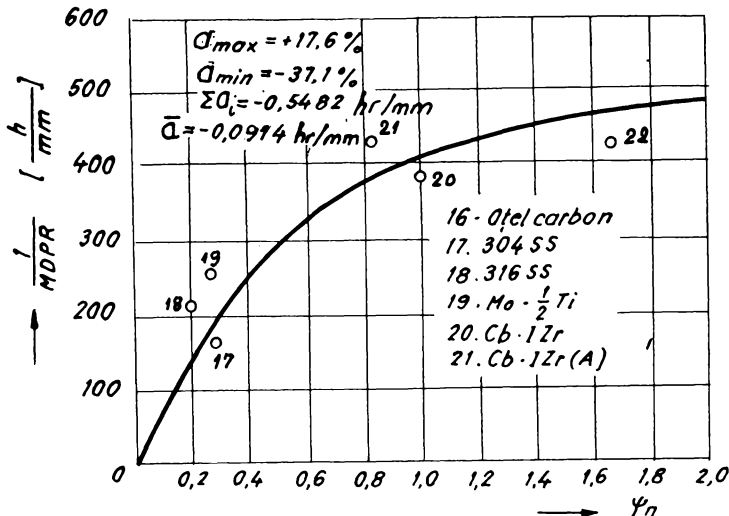


Fig.1.23 Rezistenta la eroziune cavitationala dupa parametru relativ  $\psi_n$  [95a]

Analizand expresia parametrului relativ  $\psi_n$  se constata ca numai rezilienta finala  $UR = R_m/2E$  este introdusa in forma initiala, acceptata de toti specialistii, iar limita de curgere  $R_{p0,2}$ , duritatea BHN sunt introduse de asa natura incat sa asigure lui  $\psi_n$  valori ce permit o anume distributie a punctelor  $(1/MDPR, \psi_n)$  fata de curba definita de ecuatie (1.27).

Calculand nivelul erorilor obtinute la aproximarea rezultatelor lui Garcia de curba (1.27), a lui Sakai - Shima, se obtine:

$$\begin{aligned} a_{\max} &= +17.6 \% \\ a_{\min} &= -37.1 \% \\ \sum a_i &= -0.5482 \text{ hr/mm} \\ \bar{a} &= -0.0914 \text{ hr/mm} \end{aligned} \quad (1.28)$$

Din conditia obtinerii unei precizii ridicate ( $a_{\max} = \min$ ,  $a_{\min} = \max$ ) si unei distributii cat mai uniforme a punctelor experimentale fata de curba ( $\sum a_i = \min$ ,  $\bar{a} = \min$ ), utilizand calculatorul, se obtine o curba de ecuatie cu forma identica cu (1.27) dar cu coeficienti diferiti.

$$\frac{1}{MDPR} = 409,6 \left[ 1 - e^{-3\psi_n} \right] \quad (1.29)$$

Valorile obtinute prin aproximarea punctelor experimentale de noua curba sunt:

$$\begin{aligned} a_{\max} &= +28,2 \% \\ a_{\min} &= -17,3 \% \\ \sum a_i &= -0,295 \text{ hr/mm} \\ \bar{a} &= -0,049 \text{ hr/mm} \end{aligned} \tag{1.29}$$

Dupa valorile lui  $\bar{a}$  si  $\bar{a}$  rezulta ca fidelitatea aproximarii punctelor experimentale creste de aproape 2 ori.

Prin urmare, relatia propusa de Sakai - Shima, aplicabila numai pentru rezultatele lui Rao si Garcia, poate suferi modificari in structura.

Pentru extinderea si la rezultatele obtinute in alte laboratoare este necesara modificarea exponentilor marimilor din expresia parametrului relativ  $\gamma^n$  si stabilirea altor valori pentru coeficientii A si B. In acest mod se poate stabili, o relatie de legatura intre rezultatele obtinute in diverse aparate vibratorii, corelate cu caracteristicile mecanice ale materialelor si parametrii functionali ai aparatelor.

Necesitatea modificarii exponentilor este justificata si de faptul ca solicitarea cavitationala are un caracter de oboseala locala, punctiforma, aspect omis de autori. Aceasta solicitare poate fi caracterizata de rezistenta de oboseala de contact Rak, specifica rotilor dintate si rulmentilor cu bile, care pentru materialele cu duritate  $< 40$  HRC ( $\approx 373$  HB) are valoarea [51a]:

$$Rak \approx 0,24 \text{ HRC respectiv } Rak \approx 2,24 \text{ HB} \tag{1.30}$$

Relatia (1.30) dovedeste ca duritatea din relatia (1.27) poate avea si alt exponent, diferit de unitate.

De asemenea, in timpul distrugerii cavitationale largirea si adancirea craterelor depinde foarte mult de dimensiunile ocluziunilor din material si nivelul temperaturilor dezvoltate prin implozia buzelor cavitationale, care influenteaza limita de curgere si chiar rezistenta mecanica la rupere [34a, 95b]. Acest aspect nu a fost luat in considerare de Byrnside cand a stabilit dependenta distrugerilor cavitationale de limita de curgere. Ipoteza sa se refera la materiale omogene structurale si fara defecte. Din acest considerent se pot cauta, pentru obtinerea unor relatii de corelare a rezultatelor experimentale din diverse aparate vibratorii, alti exponenti pentru limita de curgere si rezistenta mecanica la rupere.

In concluzie, modelele Steller si Sakai - Shima, sub formele prezentate nu pot servi la transpunerea rezultatelor experimentale de la un aparat la altul. Obtinerea unei relatii care sa permita realizarea acestei dorinte este posibila numai daca se ia in considerare si influenta parametrilor tehnico - functionali ai aparatului.

## **1.5 CONCLUZII SI DEFINIREA PROBLEMELOR ABORDATE SI REZOLVATE IN LUCRARE**

Din cele prezentate mai sus se desprind urmatoarele concluzii:

a1) - Investigarea eroziunii cavitationale pe masina industriala, este costisitoare si necesita un timp mai mare ca urmare a operatiilor de montare si demontare. De asemenea, erorile ce pot apare sunt foarte mari, circa 100 - 200 % [4, 72, 90].

a2) - Utilizarea probelor din diferite materiale, plasate in locurile supuse atacului distructiv, arata dependenta gradului de distrugere de intensitatea fenomenului cavitational si calitatea materialului [4, 71, 72, 90]. Astfel, unul si acelasi material poate avea comportari cavitationale diferite (vezi otelul inoxidabil OH12NDL [90]).

Studiile lui Edel si Palaev dovedesc existenta unor materiale din clase diferite (oteluri luate si inoxidabile) care la anumite intensitati ale fenomenului cavitational sunt distruse in aceasi masura [72].

a3) - Acoperirea rotoarelor de masina hidraulica si elicelor navale cu lacuri, vopsele, chituri, rasini epoxidice, etc, serveste numai la identificarea zonelor supuse eroziunii cavitationale, fara a mari gradul de protectie [4, 70, 128]. Aceste metode pot fi utilizate pentru protectie impotriva coroziunii elicelor navelor maritime de cursa lunga, confectionate din materiale cu rezistenta cavitationala medie [128].

a4) - Distrugerea pieselor reparate prin sudura se realizeaza in zona de granita dintre metalul depus si metalul de baza, continuand spre metalul de baza [62, 90].

Acest fenomen implica o analiza mai profunda a cauzelor si gasirea unor solutii adecate care sa asigure o uniformizare a caracteristicilor fizico-mecanice, structurale si chimice ce pot atenua distrugerea acestei zone, prin eroziune cavitationala.

Din punct de vedere al eroziunii cavitationale se impun urmatoarele masuri:

b1) - Continuarea studierii distrugerii materialelor prin eroziune cavitationala si stabilirea cailor de crestere a rezistentei, pe baza rezultatelor de laborator, ca urmare a impedimentelor intalnite in urmarirea fenomenului pe masina industriala si nivelului ridicat al erorilor ce pot aparea.

b2) - Realizarea cercetarilor pe cel putin doua instalatii de laborator, de acelasi tip, in conditii similare si pe materiale identice, provenite din acelasi semifabricat si sarja. In acest mod, se pot stabili relatii de legatura intre parametrii tehnico-functionali ai instalatiei si parametrii caracteristici eroziunii cavitationale, care sa contribue la transpunerea rezultatelor de la o instalatie la alta.

b3) - Efectuarea unor analize, mai profunde, asupra modului in care principaliii factori:

- tehnologia de elaborare,
- structura si constituentii structurali,
- proprietatile mecanice,

- elementele chimice componente,
- tratamentele de durificare (temochimice, mecanice),  
influentea rezistenta materialului la eroziune cavitationala.

Pentru obtinerea unor informatii mai precise, se impune efectuarea acestei analize pe grupe de materiale (oteluri carbon aliate si nealiate, inoxuri, aliaje neferoase, etc.), deoarece, asa cum arata cercetarile lui Edel si Palaev [72], in fiecare grupa pot exista marci cu comportari cavitationale slabe, bune si foarte bune; dictate de factorii mentionati.

b4) - Stabilirea factorilor ce determina alura curbelor vitezelor de eroziune cavitationala si modul de distributie al punctelor experimentale fata de curbele de aproxi-matie. Definirea marimilor caracteristice acestor curbe si semnificatiei lor, din punct de vedere al rezistentei la cavitate.

b5) - Continuarea investigatiilor pentru stabilirea unor dependente, grafice sau analitice, ce pot permite aproximarea rezistentei materialelor la eroziune cavitationala intr-o statiune data, cunoscand toti factorii de care depinde aceasta rezistenta ( proprietati, structura, compozitie chimica, etc.)

In cadrul tezei sunt abordate si rezolvate urmatoarele probleme:

1 - Proiectarea si realizarea unui aparat vibrator cu cristale piezoceramice, desti-nat distrugerii materialelor prin eroziune cavitationala, care respecta normele ameri-cane ASTM [120]. Acesta este cel de-al doilea aparat vibrator, aflat in dotarea Laboratorului de Masini Hidraulice din Timisoara (LMHT), alaturi de aparatul vibra-tor magnetostriictiv cu tub de nichel, realizat de I. Potencz [52]. Necesitatea realizarii acestui aparat a fost dictata de gasirea unei relatii care sa permita transpunerea rezul-tatelor experimentale de la un aparat la altul. Acest deziderat s-a putut realiza datorita incercarii unui numar mare de materiale, din clase diferite, pe ambele aparate.

Avantajul il constituie incercarea probelor provenite din aceleasi semifabricate si sar-je, ceea ce elimina variatiile mari ale proprietatilor fizico-mecanice, structurii, rapor-tului constituentilor structurali si concentratiilor de elemente chimice [35a].

2 - Se analizeaza comportarea cavitationala a 20 materiale, de calitatii diferite, folosite in fabricarea turbinelor hidraulice, pompelor, elicilor navale, evacuatoarelor de condens termodinamic si aparatelor hidraulice de distributie, comanda si reglare. Toate materialele sunt testate, la eroziune cavitationala, in aparatul vibrator magneto-striictiv cu tub de nichel, T1, iar 14 dintre ele sunt testate in noul aparat vibrator, T2. Analiza se realizeaza pe baza curbelor caracteristice de cavitate, ce definesc varia-tia vitezei de eroziune cavitationala in functie de timp  $v(t)$ , si a principalilor parametrii caracteristici eroziunii. Diferenta substantiala fata de analizele efectuate de majorita-tea cercetatorilor amintiti [6, 29, 30, 32, 33, 39, 40, 41 - 61, 66 - 70, 75, 76, 90, 95, 101 - 108, 11, 113, 118, 127, 129, 133] consta in efectuarea sa pe grupe de materiale: oteluri carbon, fonte, oteluri aliate pentru constructii, inoxuri, bronzuri si alame navale. In acest mod se ofera concluzii noi cu privire la influenta factorilor ce carac-terizeaza marca de material: elemente chimice componente, structura si constituentii struc-turali, tehnologie de elaborare, proprietati mecanice, tratament de durificare super-ficiala; asupra rezistentei cavitationale a materialului, si cauzelor ce determina o anumita distributie a punctelor experimentale fata de curba  $v(t)$ . Pe baza curbelor  $v(t)$  se stabilesc timpi caracteristici maximului vitezei de eroziune,  $t_1$  si inceputului

stabilizarii vitezei,  $t_2$ , care evidențiază o alta latură a comportării cavitatională a materialelor, neabordată de specialisti până în prezent.

3 - Se analizează tendința de influență, pe grupe de materiale, a principalelor proprietăți mecanice ( $R_m$ ,  $HB$ ,  $R_{p0.2}$ ), de care depinde alegerea materialului din punct de vedere al solicitărilor mecanice [3, 4, 30a, 35, 64, 40a], asupra comportării cavitatională a materialului. De asemenea, se discută și tendința de influență a unei grupe în raport cu celelalte. Aceasta investigare aduce elemente noi față de cele prezentate de Garcia [32,33], Hammitt [39, 40, 40a] și Hobbs [41].

4 - Se concepe o metodă cantitativă de apreciere a rezistenței materialelor la eroziune cavitatională (slabă, bună, foarte bună, excelentă), valabilă pentru apărătele vibratoare. Este prima metodă, de acest fel, ce poate fi utilizată în aprecierea calității cavitatională a unui material. În cadrul ei se prezintă limitele ce definesc domeniile de comportare cavitatională ale materialelor. Aceste limite sunt stabilite de rezistența normalizată la cavitare  $R_{ns}$  sau  $R_n$  max.

Până în prezent, aprecierea rezistenței cavitatională a materialelor s-a facut prin compararea curbelor caracteristice sau valorilor parametrilor caracteristici eroziunii, cu ai unui material etalon, considerat cu buna rezistență la eroziune cavitatională.

5 - Pornind de la rezultatele obținute de Garcia [33] și Sakai - Shima [95a], considerand ca aparat vibrator etalon pe cel de la Universitatea din Michigan, recunoscut internațional pentru performanțele sale [33, 40, 40a], se stabilește o nouă relație de efect de scara, ce permite transpunerea rezultatelor de la un aparat vibrator la altul. Relația este o imbinare armonioasă a expresiilor stabilite de Sakai - Shima [95a] și Steller [106].

Modul original în care se realizează această imbinare și corectiile efectuate, conduc la creșterea gradului de precizie în transpunerea rezultatelor de la un aparat la altul, cu aproximativ 13 %.

## CAP. 2 STUDIUL, PROIECTAREA SI REALIZAREA UNUI APARAT VIBRATOR CU CRISTALE PIEZOCERAMICE, DESTINAT DISTRUGERII MATERIALELOR PRIN EROZIUNE CAVITATIONALA

### 2.1 CONSIDERATII GENERALE

Aparatele vibratoare, utilizate in distrugerea materialelor prin eroziune cavitationala, sunt sisteme acustice, respectiv ultraacustice, deschise, cu aplicatii tehnologice active, care folosesc energia sonora, respectiv ultrasonora, pentru producerea de modificari in structura mediului prin care se propaga [1, 24, 36, 98].

Azi, majoritatea aparatelor, cu aceasta destinatie, se construiesc pentru functio-narea in domeniul ultrasonic [30a].

Pentru distrugerea materialului, prin cavitatie, este necesar sa functioneze in regim de rezonanta, cu unde longitudinale plane, la amplitudini de vibratie  $A \geq 8$  m [1, 24, 30a, 36, 40a, 69, 120]. La aceste amplitudini cea mai mare parte din energia acustica este absorbta de material, restul disipandu-se sub forma de caldura in mediul inconjurator [1].

Proba supusa atacului cavitational este plasata in maximul amplitudinii de vibra-tie [1, 24, 40a, 52, 120].

Principalele componente ale aparatelor vibratoare, si in general ale sistemelor cu ultrasunete, sunt [1, 24, 30a, 40a, 36, 98,]:

1. - Sursa de energie - constituuta din generatoare electronice de frecventa, numite in mod curent generatoare electronice de ultrasunete.

2. - Transductoare ultrasonore - care transforma cu un anumit randament, ener-gia electrica primita de la sursa, in energie acustica.

3. - Concentratoare si amplificatoare de energie acustica - care concentreaza energia acustica intr-un volum mic pentru obtinerea undei ultrasonice de intensitate ridicata (in unele aplicatii sunt denumite ghiduri de unda [31]).

4. - Elemente de transfer a energiei acustice si transformatori de unde - fac legatura dintre concentratori - amplificatori si obiectul asupra caruia se exercita actiunea ultrasunetelor, respectiv transforma un tip de unda in alt tip de unda.

5. - Elemente de adaptare si cuplaj acustic - realizeaza o legatura mecano- acustica eficienta, in vederea unui transfer optim de energie intre elementele instalatiei.

6. - sisteme de fixare mecanica si izolare acustica - fixeaza elementele instalatiei acustice in structura sa de rezistenta si o izoleaza fonic de mediu exterior.

Elementul principal al sistemului ultrasonic il constituie blocul ultrasonic, compus din transductorul ultrasonic, concentrator - amplificator si elementele de cuplare, prin ale caror functionari corelate se pot emite si recepta vibratiile a caror frec-venta este situata in domeniul ultrasonic.

Elementul activ al aparatului (instalației) îl constituie transductorul electromechanic, care pe baza unui efect specific (electromagnetic, electrodinamic, magnetostatic, piezoelectric) converteste oscilațiile electrice aplicate de generatorul electronic în oscilații elastice. Aceste oscilații sunt transmise, concentrate și localizate, prin intermediul transformatorului acustic, în mediu de prelucrare.

Buna funcționare a instalației cu ultrasunete depinde de respectarea condițiilor tehnologice, impuse blocului ultrasonic și mai ales partii finale a acestuia (concentratorul-amplificator) și condițiilor acustice, impuse de crearea în întregul sistem oscillator a unui regim de vibrație care să asigure transmiterea energiei ultrasonore de la transductor la mediu (proba).

Condițiile tehnologice sunt legate de [1, 24]:

- precizia de calcul și confectionare,
- rezistența la uzură și oboseală,
- rigiditatea sistemului,
- stabilitatea în funcționare,
- calitatea imbinării elementelor (strângere puternică și lipire perfectă),
- calitatea suprafețelor prelucrate (plane și lustruite) cu abăteri strânse de formă și poziție,

Condițiile acustice ce trebuie indeplinite, după [1, 98] sunt:

- pierderi minime de energie în transductor și transformator,
- concentrare maxima a energiei ultrasonore,
- stabilitatea regimului de rezonanță a sistemului oscillator în timp,
- uniformitatea radiatiei energiei acustice pe toată aria de utilizare,
- adaptare optimă a blocului ultrasonic cu generatorul de oscilații electrice,
- fiabilitate sporită,
- posibilitatea controlului principalelor parametrii de funcționare.

Crescerea duratei de funcționare neintreruptă și pierderi minime de energie acustica se obtin cand sistemul oscillator lucreaza in regim de rezonanta si depind in principal de materialele din care-s confectionate elementele blocului ultrasonic, calitatea suprafețelor si forma geometrica ale acestor elemente si fiabilitatea componentelor electronice din generatorul electronic de ultrasunete [98].

Reducerea pierderilor de energie este puternic influențată de calitatea imbinărilor dintre elementele blocului ultrasonic, care trebuie să asigure un cuplaj acustic bun, sigur și o legătura fixă și elastică. Din acest motiv suprafețele de imbinare trebuie să fie plane și lustruite [1, 24].

Reducerea pierderilor de energie depinde și de modul de fixare sau rezemare a blocului ultrasonic. În general, rezemarea se face pe garnituri de cauciuc, iar locurile de fixare sunt noduri de oscilație (de deplasare).

Concentrarea energiei în focar (pe suprafața probei supusă atacului cavitational) depinde de alegerea corespunzătoare a dimensiunilor de rezonanță și formei transformatorului acustic. Stabilitatea regimului de rezonanță al sistemului oscillator, se asigură prin calculul corect și alegerea corespunzătoare a dimensiunilor de rezonanță a elementelor, buna izolare acustică, stabilitatea variației rezistenței sarcinii și funcționării generatorului electronic de ultrasunete [1, 24, 36, 98].

Materialele destinate constructiei blocului ultrasonic trebuie sa aibe o buna elasticitate, decrement scazut de amortizare si o mare rezistenta la oboseala [28].

Materialele utilizate in constructia concentratorilor si amplificatorilor sunt [1, 24, 98]: aliaje de titan, duraluminiu, oteluri carbon, oteluri aliate; oteluri de scule.

## 2.2 ELEMENTE INITIALE DE CALCUL SI PROIECTARE

La baza conceperii si realizarii noului aparat vibrator T2 a stat ideea folosirii transductoarelor cu cristale piezoceramice si obtinerii unor parametrii tehnico-functionalii cu nivel cuprins in intervalul parametrilor statiunilor, de acest fel, existente in lume la ora actuala (vezi tab.3, Cap.1). De asemenea, s-a avut in vedere utilizarea probelor cu dimensiuni si forma geometrica identice cu ale celor testate in aparatul vibrator magnetostrictiv cu tub de nichel T1.

Datele si conditiile care au stat la baza calcului, proiectarii si alegerii elementelor de baza sunt:

1.- puterea electrica de alimentare a generatorului electronic de ultrasunete:

$$P_{el} = \text{max } 500 \text{ W}$$

2. - frecventa vibratiilor:  $f = 20 \pm 0,3\% \text{ KHz}$  [120],

3. - amplitudinea vibratiilor:  $A = 24 \div 51 \mu\text{m}$ , (tab. 1.3, Cap.1) [33, 106],

4. - capacitatea vasului pentru lichidul de lucru:  $V_{vas} = 800 \div 1200 \text{ ml}$  [120],

5. - durata maxima a unei perioade de testare:  $\Delta t = 15 \text{ min}$  [42, 44, 54, 120 ],

6. - mentinerea constanta a temperaturii lichidului de lucru, pe toata durata incercarilor.

7. - usurinta si rapiditate in montarea si demontarea probelor,

8. - posibilitatea de reglare a frecventei de rezonanta,

9. - mentinerea constanta a parametrilor tehnico- functionali: A, f, Pel.

10. - posibilitatea modificarii amplitudinii vibratiilor, cu mentinerea constanta a frecventei oscilatiilor,

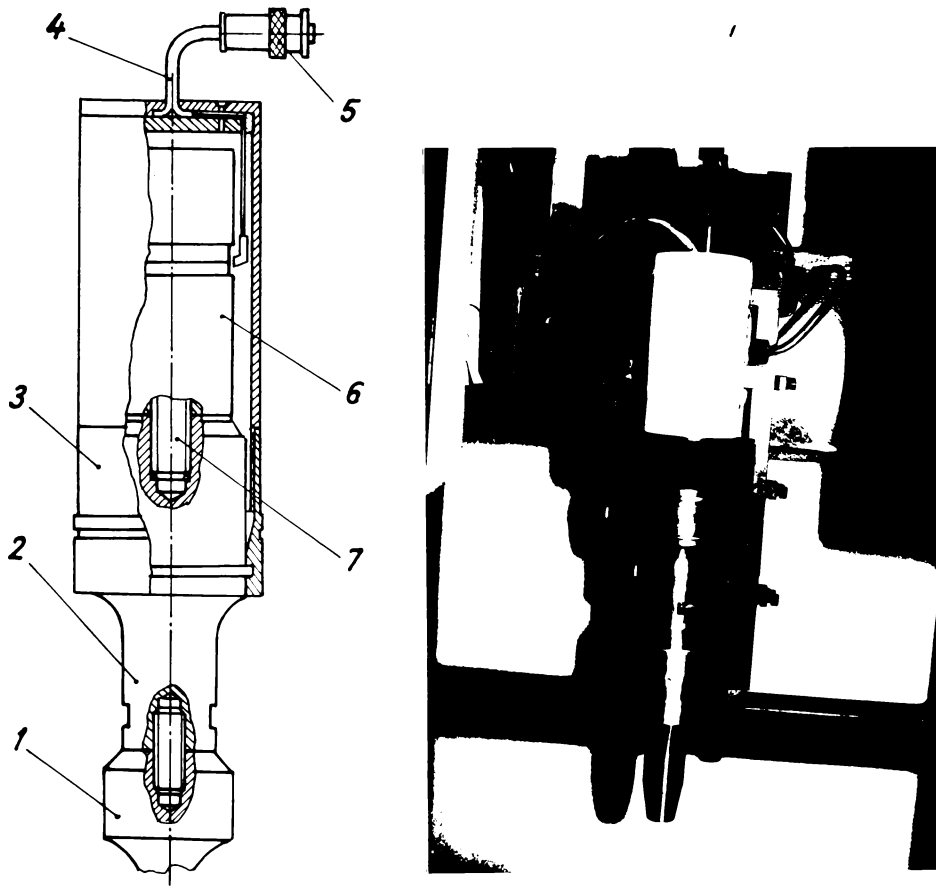
11. - reducerea la maxim a timpilor morti (introducerea si scoaterea probelor din vasul cu lichid),

12. - izolare fonica fata de mediul exterior.

Dimensiunile ce definesc gabaritul si rigidizarea aparatului s-au stabilit constructiv.

### 2.3 PROIECTAREA SI REALIZAREA BLOCULUI ULTRASONIC

Blocul ultrasonic, fig. 2.1, este unul din elementele de baza ale aparatului vibrator, care, la rezonanta, in conditii de eficienta maxima, asigura transformarea energiei electrice in energie acustica. Este compus din transductorul piezoceramic si concentratorul-amplificator de energie acustica.



1. amplificator; 2. concentrator; 3. copac protecție; 4. cablu electric, 5. mufă BNC;  
6. transductor TGUS 500/20, 7. prezon M12

a) schita

b) fotografie

Fig. 2.1 Blocul ultrasonic

### 2.3.1 Alegerea transductorului piezoceramic

Transductorul piezoceramic este un sistem oscilant ce face parte din categoria transductoarelor electromecanice si care, pe baza efectului piezoelectric, converteste energia electrica in energie mecanica. Efectul piezoelectric a fost pus in evidenta de fratii Curie in anul 1880 [1,5, 24, 98] si consta in deformarea mecanica (dilatare sau comprimare) a unui corp cu proprietati piezoelectrice (cum sunt cristalele piezoceramice), sub actiunea unui camp electric alternativ.

Transductorul folosit in aparatul vibrator T2 este de constructie romaneasca, fabricat la "Institutul de Mecanica Solidelor Bucuresti" sub codul TGUS 500/20, fig.2.2a,b si este de tipul piezoceramic compus cu doua elemente pasive diferite, polarizate mecanic. Alegera sa s-a facut pe baza tipului de material folosit in constructia cristalului si urmatorilor doi parametrii: puterea electrica maxima de alimentare ( $P_{el} = 500 \text{ W}$ ) si frecventa de vibratie ( $f = 20 \pm 2 \text{ KHz}$ ). Pe langa cei doi parametrii mai prezinta urmatoarele caracteristici tehnice:

- amplitudinea vibratiilor la suprafata libera a elementului radiant:  $A \approx 17 \mu\text{m}$ ,
- diametrele elementelor radiant si reflector:  $D = 52 \text{ mm}$ ,
- inaltimea elementului reflector:  $d_1 = 40 \text{ mm}$ ,
- inaltimea elementului radiant:  $d_2 = 60 \text{ mm}$ ,
- grosimea cristalelor piezoceramice:  $2 d = 10 \text{ mm}$ .
- tensionarea mecanica se realizeaza cu un prezon M16.

Elementul reflector este realizat din otel, iar elementul radiant din duraluminiu.

Materialul cristalului piezoceramic este de tipul titano-zirconatilor de plumb PZT [98], denumit in unele literaturi PTZ [1]. Optiunea pentru acest tip de material este legata de valorile superioare ale factorului de cuplaj electromecanic  $k_p$ , in raport cu ale celorlalte materiale, tab. 2.1, [98] si constantei frecventei de vibratie. Aceste doi factori sunt cei mai importanți dintre toti factorii ce caracterizeaza calitatea unui cristal [1, 24], si prezinta constanta pana la temperaturi de  $100 \div 150 \text{ C}$ , fig.2.3 a,b [1]

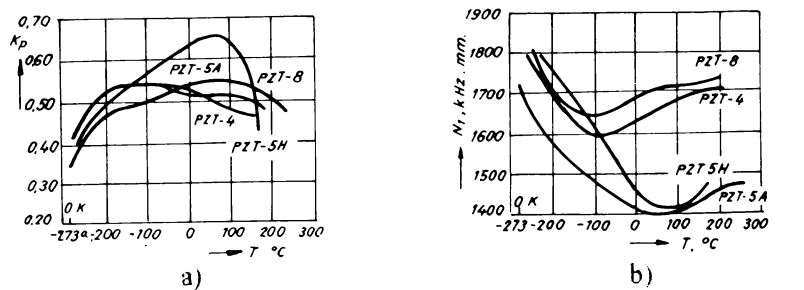
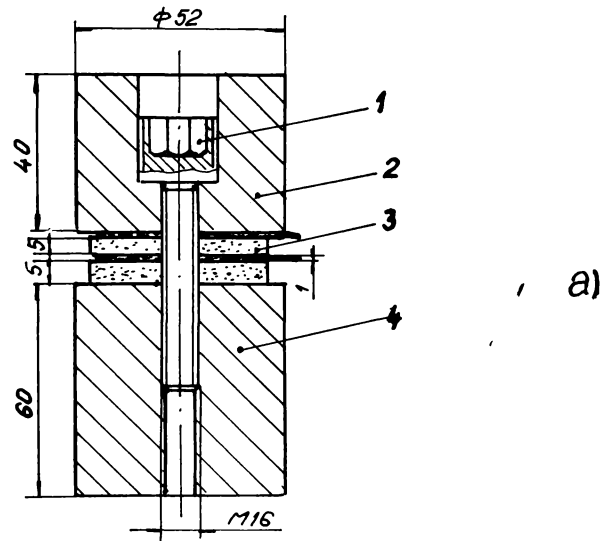


Fig. 2.3 Variatia constantelor caracteristice materialelor piezoceramice cu temperatura:  
a) - factorul de cuplaj electromecanic  
b) - constanta de frecventa



- a)
- 1 - Șurubul pentru tensionare mecanică
  - 2 - elementul reflector
  - 3 - cristale piezoceramice (PZT)
  - 4 - elementul radiant



a) schita

b) fotografie

Fig 2.2 Transductorul piezoceramic  
TGUS 500/20

Tab2.1 Tipuri de cristale piezoelectrice

Nr. crt.	Materialul	Temperat. Curie(°K)	Densitatea $\delta$ ( $10^3 \text{kg/m}^3$ )	Modulul lui Young $H(10^{10} \text{N/m}^2)$	Permitivitatea electrică $\epsilon(10^{-12} \text{F/m})$	Modulul piezoelectric $K(10^{-12} \text{C/N})$	Factorul de cuplaj electro-mecanic $k_p\%$
1	Cuarț (tăietura x)	843	2,65	8,6	45	2,2	0,10
2	Sare Rochelle (tăietura 45°x)	327	1,77	1,49	4440	435,0	0,78
3	Titanat de bariu	393	5,50	11,80	12,500	190,0	0,4
4	Niobat de plumb	523	6,00	2,90	2400	90,0	0,31
5	PTZ 1	548	—	7,50	5200	180,0	0,43
6	PTZ 3	453	—	8,00	10090	400,0	0,43
7	PTZ 4	601	7,5	8,10	8750	235,0	0,63
8	PTZ 5	638	7,7	8,70	12000	320,0	0,70
9	PTZ 21	683	—	9,00	10180	67,0	0,20
10	PTZ 23	558	—	0,75	20300	200,0	0,43

Marele dezavantaj al acestui transductor il constituie fragilitatea ridicată a cristalului și capacitatea scăzuta de înmagazinare a energiei [1, 24]. De altfel, aceste dezavantaje sunt caracteristice tuturor cristalelor. Din acest motiv functionarea în aer este de scurta durată. Pentru transductorul piezoceramic TGUS 500/20 durata maxima de functionare în aer, determinata pe masinile de sudat ultrasonic la "S.C. Electotimis S.A.", este de 20 secunde. Experientele realizate pe aparatul vibrator piezoceramic T2 au aratat ca durata de functionare în mediul lichid creste enorm, datorita descarcarii energiei din cristale prin sistemul concentrator-amplificator-proba-mediul lichid, și depinde de fiabilitatea componentelor electronice din generatorul electronic de ultrasunete. Un alt dezavantaj al acestor transductoare îl constituie pierderea fiabilității prin imbatranire naturală [1,4, 24, 98], motiv pentru care după 14 - 16 luni de functionare se impune înlocuirea.

### 2.3.2 Calculul și realizarea concentratorului - amplificator de energie acustica

Concentratorul - amplificator are rolul de a transmite, amplifica și concentrează energia acustica la suprafața probei, supusă distrugerii prin eroziune cavitatională.

Concentratorul, fig.2.4, face legătura între transductorul piezoceramic și amplificator, iar amplificatorul, fig.2.5 a,b, leaga blocul ultrasonic de probă. Atât concentratorul cât și amplificatorul asigură concentrarea și amplificarea energiei acustice, respectiv amplitudinii vibratiilor. Cele două piese pot constitui și o singura componentă, astă cum este la aparatul vibrator de la Universitatea din Michigan [33]. S-a

preferat aceasta solutie cu scopul oferirii posibilitatii de realizare a mai multor grade de amplificare prin schimbarea partii finale a sistemului concentrator amplificator. In literatura, pentru cele doua componente se va intalni si denumirea de transformator acustic [1]

S-a convenit a se denumi concentrator prima piesa care asigura dirijarea si amplificare unidirectionala a energiei acustice dezvoltate de transductor.

Realizarea celor doua componente se poate face din materiale identice sau distincte [1,24, 28, 98]. Principalele materiale, recomandate de literatura [1], pentru fabricarea concentratorului si amplificatorului acustic sunt prezentate in tab. 2.2

Tab.2.2 Proprietatile fizice ale materialelor utilizate in constructia transformatoarelor acustice si elementelor reflector si radiant ale transductorului[1]

Mărimea	Unitatea	Material					
		Otel de scule	Bronz cu Al	Alamă	Aliaj de titan (1)	Duraluminiu (2)	Aliaj de Mg(3)
$\rho$	$10^3 \text{ kg/m}^3$	7,85	8,50	8,37	4,42	2,79	1,74
$v_{\text{long}}$	$\text{m/s}$	5250	4070	3320	4900	5130	4800
$Z$	$10^6 \text{ kg/m}^2\text{s}$	41,2	34,6	27,8	21,7	14,3	8,35
$y$	$10^{-12} \text{ m/N}$	4,6	7,0	10,8	9,4	13,5	23,8
$\sigma$		0,29	-	0,35	0,36	0,34	0,28
$T_f$	$10^6 \text{ Pa}$	550	370	150	720	190	123
$S_f$	$10^{-3}$	2,52	2,59	1,69	6,80	2,57	2,93
$E$	$10^{11} \text{ Pa}$	2,1					
(1)	90 % Ti, 6 % Al, 4 % V						
(2)	tip BS L 65						
(3)	93 % Mg, 6 % Al, 1 % Zn						

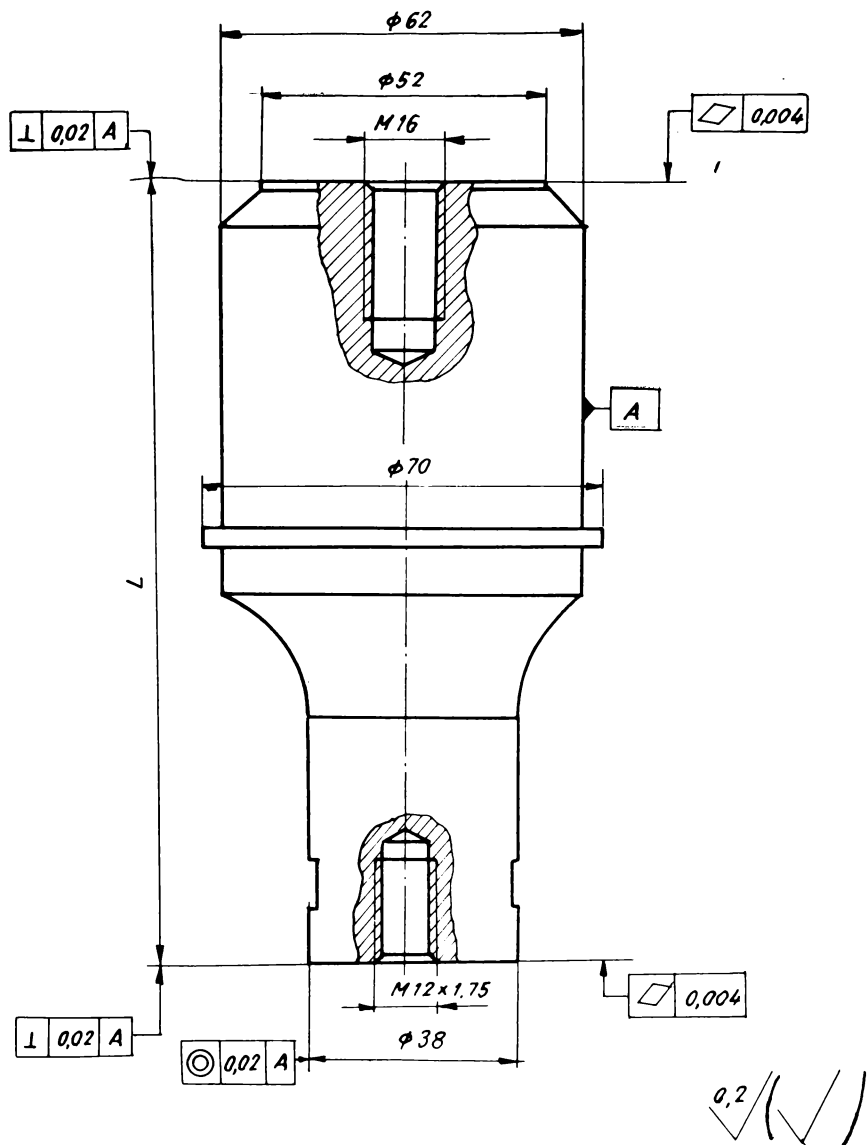


Fig. 2.4 Concentratorul acustic

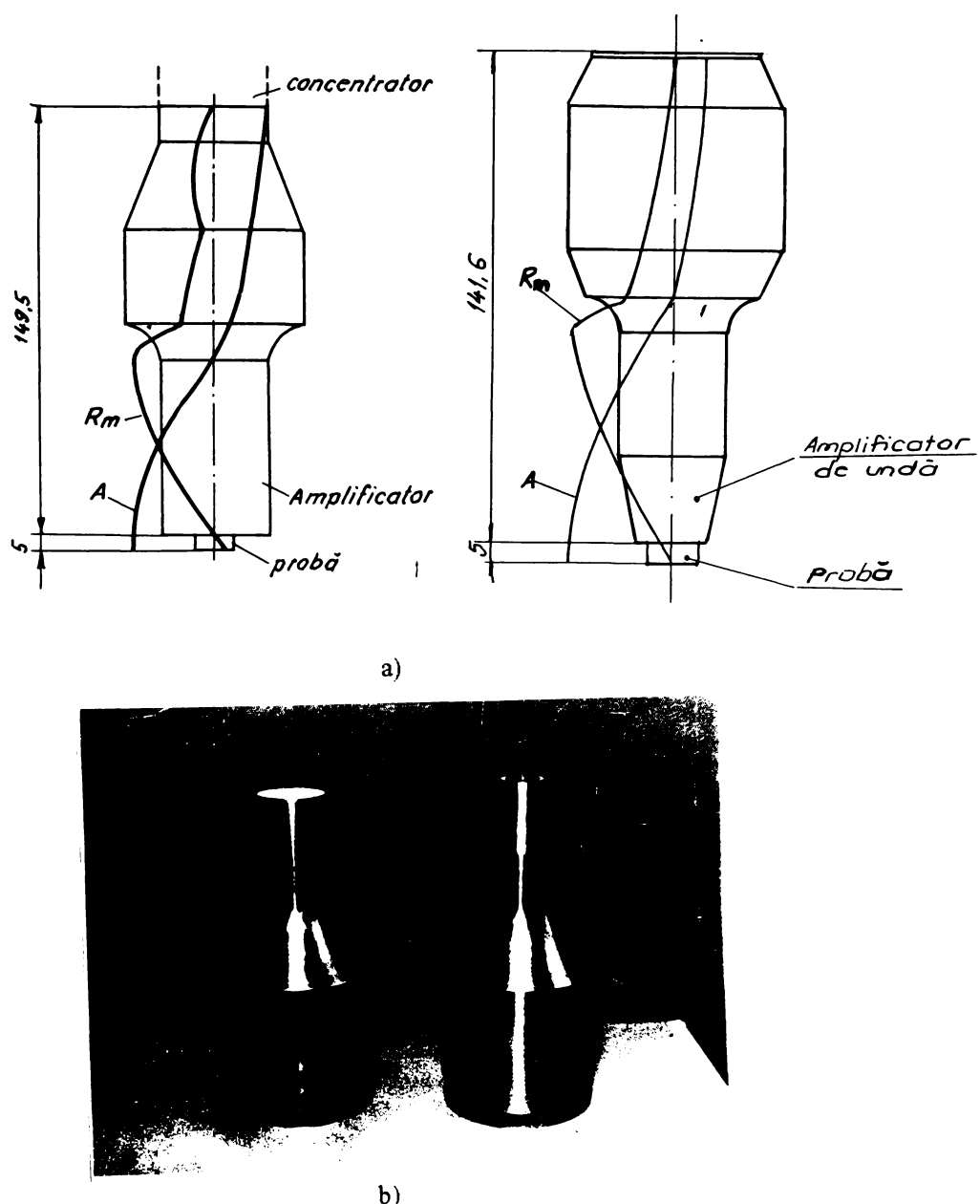


Fig.2.5 Amplificatorul acustic  
a) schita; b) fotografie

### a) - Parametrii principali

Principalii parametrii ce caracterizeaza transformatorul acustic (concentratorul-amplificator) sunt [1, 4, 24, 36, 98]:

1. - factorul de multiplicare N respectiv Nr,
2. - lungimea transformatorului L,
3. - profilul transformatorului ( legea de variație a secțiunii transversale): exponential, conic, catenoidal, cilindric în trepte, etc.
4. - poziția punctului nodal  $X_{nod}$ .

În tab 2.3 sunt prezentate cele mai uzuale tipuri de transformatoare acustice și relațiile de calcul al parametrilor principali [1, 98].

Dintre cei patru parametrii, profilul transformatorului se impune de proiectant, în funcție de posibilitățile tehnologice de execuție, iar ceilalți trei se calculează. Pentru aparatelor vibratorii, utilizate în distrugerea materialelor prin eroziune cavitatională, parametrul cel mai important îl constituie factorul de amplificare Nr, datorită influenței pe care o are asupra intensității distuctive.

Experiențele realizate pe mai multe tipuri de concentratoare [1], arată că cu creșterea factorului de amplificare Nr și dimensiunilor liniare cresc amplitudinile vibratiilor torsionale  $A_\theta$  și radiale  $A_r$ , fig. 2.6, disipându-se o bună parte din energia acustică. Excepție de la acest fenomen face cazul în care dimensiunile liniare ale celei mai mari secțiuni depășesc jumătate din lungimea de undă [1]. Evitarea acestui fenomen

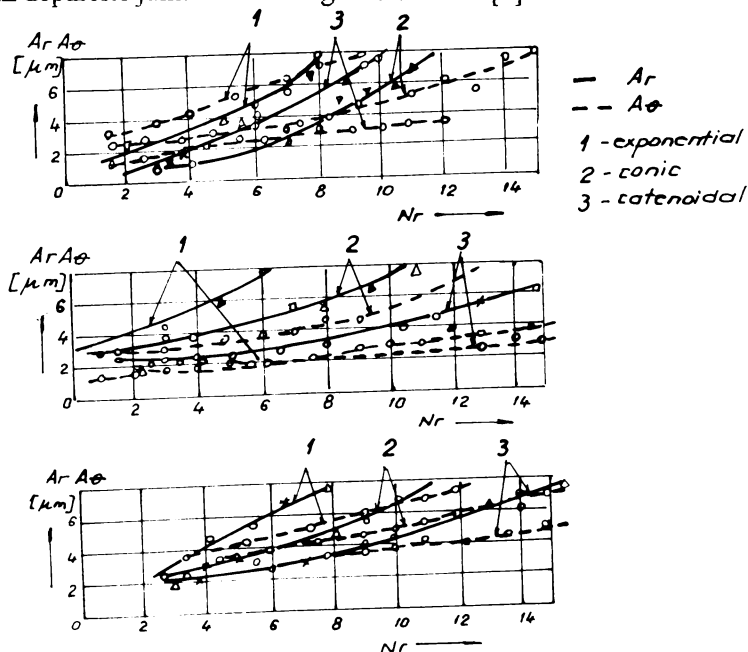


Fig. 2.6. Influenta factorului de amplificare Nr asupra amplitudinii vibratiilor torsionale  $A_\theta$  și radiale  $A_r$  [1]

Tab 2.3 Tipuri de transformatoare acustice (concentratoare și amplificatoare) [1, 98]

Nr crt	Tipul amplificatorului (concentratoare)	Legea de variație a secțiunii	Factorul teoretic de amplificare cu amplitudinii	Lungimea amplificătorului	Coordonatele punctului nodal
1	Exponentiel	$D_x = D_o e^{\frac{\alpha}{C}x}$ $\alpha = \frac{\omega}{C} \sqrt{\frac{L}{\pi} + (\ln N)^2}$	$N = \frac{D_o}{D_f}$ $N_r = \frac{D_o}{D_f} = N$	$l = \frac{C}{2f} \sqrt{1 + \left(\frac{\ln N}{\pi}\right)^2}$	$x_{nod} = \frac{l}{\pi} \arctg \frac{\ln N}{\pi}$
2	Conic	$D_x = D_o (1 - \alpha x)$ $\alpha = \frac{D_o - D_f}{D_o L}$	$N_r = \sqrt{1 + \left(\frac{2\pi l}{\lambda}\right)^2}$ $N_r < N$	$l = \frac{1}{2} \left( \frac{\alpha' k}{\pi} \right) \text{unde } (\alpha' k) \text{ este rădăcina ecuației } g(\alpha' k) = \frac{(\alpha' k)}{\left(\alpha' k\right)^2 N + 1}$	$x_{nod} = \frac{l}{\alpha' k} \arctg \left( \frac{\alpha' k}{\alpha} \right)$ $\alpha = \frac{\omega}{C} \quad \alpha' = \frac{\omega}{C'}$
3	Catenoidal	$D_x = D_o \operatorname{ch} \beta (L - x)$ $\beta = \frac{1}{L} \operatorname{arctg} N$	$N_r = \frac{N}{\cos(\beta L)}$ $N_r > N$	$l = \frac{1}{2\pi} \sqrt{k L^2 (\operatorname{arctg} ch N)^2}$ $(kL) \text{ este rădăcina ecuației } (kL) + \operatorname{tg}(kL) = \sqrt{1 - \frac{1}{N^2} \operatorname{arcgh} N}$	$x_{nod} = \frac{l}{\pi} \operatorname{arctg} \frac{k}{\operatorname{tg}(kL)}$ $k = \sqrt{\alpha^2 r^2}$
4	cilindric în trapez	$D_x = D_o \text{ pt } 0 \leq x \leq \frac{1}{2}$ $D_x = D_f \text{ pt } \frac{1}{2} \leq x \leq 1$	$N_r = \left( \frac{D_o}{D_f} \right)^2 = N^2$	$l = \frac{\lambda}{2} = \frac{C}{2f}$	$x_{nod} = \frac{l}{2} = \frac{C}{4f}$
5	cilindric în trepte cu roardare exponentială	$D_x = D_o l - \frac{\alpha}{4} x$ $\alpha = \frac{\omega}{C}$	$N_r = \sqrt{1 + 4 \ln N}$	$l = \frac{\lambda}{2} \left[ \frac{2 \sqrt{\ln N}}{\pi} + \frac{1}{2} + \frac{\operatorname{arctg} \left[ 2 \sqrt{\ln N} \right]}{\pi} \right]$	$x_{nod} = \frac{l}{\pi} \arctg \frac{2 \sqrt{\ln N}}{\pi}$

se realizeaza prin limitarea factorului de amplificare la  $N_r < 4$  si introducerea conditiilor de rezistenta mecanica in dimensionarea transformatorului [1, 28].

In calculul de dimensionare al sistemului concentrator- amplificator, ce intra in componenta blocului ultrasonic al aparatului vibrator T2, s-a tinut cont de aceste recomandari, datorita rolului important pe care il are energia acustica in capacitatea distructiva a aparatului [40a] si faptul ca vibratii radiale si torsionale duc la ruperea aderenetei norului de bule cavitationale pe suprafata probei (conditie esentiala pentru producerea distrugerii materialului).

### b) - Calculul de dimensionare al concentratorului si amplificatorului de energie acustica

Calculul de dimensionare al concentratorului si amplificatorului este realizat pe baza unui program scris in "TURBO- PASCAL", prezentat in ANEXA. Programul de calcul conceput permite realizarea a patru tipuri de concentratori - amplificatori (cilindric, conic, exponential si cu raza de racordare) si combinatii intre acestea, precum si afisarea grafica a formelor geometrice cu variația amplitudinii A si rezistenței mecanice la rupere  $R_m$  in lungul axei transformatorului acustic. In ANEXA este prezentata si schema dupa care s-a realizat programul de calcul.

La baza conceperii programului de calcul sta ecuatia lui Webster [28, 31], de propagare a undelor acustice in bare elastice, care cuprinde conditia de rezistenta mecanica la rupere:

$$\frac{\partial^2 \xi}{\partial x^2} + \frac{1}{S(x)} \frac{dS(x)}{dx} \frac{\partial \xi}{\partial x} + k^2 \xi = 0 \quad (2.1)$$

unde:

$\xi(x)$  - deplasarea elementului de masa (amplitudinea vibratiei  $A(x)$ ),

$S(x)$  - sectiunea transversala a barei,

$k = \frac{2\pi f}{c}$  - numarul de unda,

$f$  - frecventa de oscilatie,

$c$  - viteza de propagare a undei acustice prin materialul respectiv.

Rezolvarea ecuatiei este realizata prin metoda aproximatiilor finite. In acest sens lungimea concentratorului (respectiv amplificatorului), s-a discretizat in elemente de lungime  $\Delta x$ .

Pentru elementul  $x_n$  ecuatia (2.1) devine:

$$\xi''(x_n) + F(x_n) \xi'(x_n) + k^2 \xi(x_n) = 0 \quad (2.2)$$

unde

$$F(x_n) = \frac{1}{S(x_n)} - \frac{dS(x)}{dx} \quad (2.3)$$

Derivatele de ordinul 1 si 2 ale functiei  $\xi(x_n)$  pot fi puse sub forma :

$$\xi'(x_n) = \frac{1}{\Delta x} \left[ \xi(x_{n+1}) - \xi(x_n) \right] \quad (2.4)$$

$$\xi''(x_n) = \frac{1}{\Delta^2 x} \left[ \xi(x_{n+2}) - 2\xi(x_{n+1}) + \xi(x_n) \right] \quad (2.5)$$

Prin inlocuire succesive se obtine:

$$\begin{aligned} \xi(x_{n+2}) &= \left[ 2 - \Delta x \cdot F(x_n) \right] \xi(x_{n+1}) - \left[ 1 - \Delta x \cdot F(x_n) + \right. \\ &\quad \left. + \Delta^2 x \cdot K^2 \right] \cdot \xi(x_n) \end{aligned} \quad (2.6)$$

Pentru  $n=0$  se obtine:

$$\begin{aligned} \xi(x_2) &= \left[ 2 - \Delta x \cdot F(x_0) \right] \xi(x_1) - \left[ 1 - \Delta x \cdot F(x_0) + \right. \\ &\quad \left. + \Delta^2 x \cdot K^2 \right] \cdot \xi(x_0) \end{aligned} \quad (2.7)$$

respectiv

$$\xi(x_1) = \xi(x_0) + \Delta x \cdot \xi'(x_0) \quad (2.8)$$

Necunoscutele din aceste ecuatii sunt  $\xi(x_2)$  si  $\xi(x_1)$ , iar marimile  $\xi(x_0)$  si  $\xi'(x_0)$  sunt determinate din conditiile initiale.

Metoda se bazeaza pe calculul, punct cu punct, al functiilor  $\xi(x_n)$  si  $\xi'(x_n)$  pornind de la ecuatiiile (2.7) si (2.8) cu ajutorul relatiei iterative (2.6).

Parametrii de initializare a programului de calcul sunt:

- frecventa de rezonanta
- viteza de propagare a sunetului in material
- profilul pe baza caruia se calculeaza functia de variatie a sectiunii  $F(x_n)$ : cilindric, conic, exponential, racordare cu o raza.
- amplitudinea de excitatie  $\xi(x_0)$  (respectiv  $A(x_0)$ )
- tensiunea mecanica  $\xi'(x_0)$  (respectiv  $R_m(x_0)$ )

Programul conceput, pe baza datelor de iterare, calculeaza  $\xi(x_1)$  cu relatia (2.8) si  $\xi(x_2)$  cu relatia (2.7) si apoi iterativ cu relatia (2.6).

In punctul in care se doreste schimbarea profilului (exista comanda in program) se conserva amplitudinea vibratiilor si forta in punctul respectiv, ele constituind

conditii initiale pentru noul tronson.

Lungimea de rezonanta a concentratorului (amplificatorului) este data de cea la care se obtine valoare maxima pentru amplitudinea vibratiilor si nula pentru tensiunea mecanica.

### c) Calculul factorului teoretic de amplificare a amplitudinii

Calculul amplificarii concentratorului se realizeaza pe considerentul definirii sale de trei tipuri de profile, fig. 2.4:

- un cilindru de diametru  $D_1 = 62$  mm,
- o racordare exponentiala de la  $D_1 = 62$  mm la  $D_2 = 38$  mm,
- un cilindru de diametru  $D_2 = 38$  mm

Factorul teoretic de amplificare este definit de relatia corespunzatoare concentratorului cilindric in trepte, cu racordare, din Tab. 2.3 (cazul 5):

$$N_{r_t} = \sqrt{1 + \ln \frac{D_1}{D_2}} \quad (2.9)$$

Pentru  $D_1 = 62$  mm si  $D_2 = 38$  mm obtinem:

$$N_{r_t} = \sqrt{1 + \ln \frac{62}{38}} \approx 1,22 \quad (2.10)$$

Pentru realizarea acestei amplificari este necesara o lungime, a concentratorului, data de relatia (Tab. 2.3, cazul 5):

$$L_1 = \frac{\lambda}{2} \left( \frac{2\sqrt{\ln N}}{\pi} + \frac{1}{2} + \frac{\arccos(2\sqrt{\ln N})}{\pi} \right) \quad (2.11)$$

unde lungimea de unda  $\lambda$ , este:

$$\lambda = \frac{c}{f} \quad (2.12)$$

Pentru  $c = 5130$  m/s (viteza de propagare a undei plane in duraluminiu, Tab. 2.2) si  $f = 20000$  Hz se obtine:

$$\lambda = 256,5 \text{ mm} \quad \text{si} \quad L_1 = 121,3 \text{ mm} < L_1 \text{ real} = 123 \text{ mm} \quad (2.13)$$

Calculul amplificarii realizate de amplificator se face pe considerentul compunerii sale din doi cilindri si un con, fig. 2.5. Racordarea este facuta prin profil exponential. Dimensiunile de calcul ale cilindrilor sunt:

- cilindru de legatura cu concentratorul are diametru:  $D_3 = 62 \text{ mm}$ ,
- cilindru de treapta mai mica are diametru:  $D_4 = 30 \text{ mm}$ ,
- conul are dimensiunile:
  - diametru mare:  $D_4 = 30 \text{ mm}$ ,
  - diametru mic, pe care se fixeaza proba supusa testului de eroziune cavitationala:  $D_5 = 20 \text{ mm}$ ,
  - lungimea conului:  $L_3 = 32 \text{ mm}$ .

Factorul teoretic de amplificare, in acest caz, este produsul dintre:

a) - factorul teoretic realizat de amplificatorul cilindric in trepte, de la  $D_3 = 62 \text{ mm}$  la  $D_4 = 30 \text{ mm}$ , prin relatia (Tab. 2.3, cazul 5):

$$Nr_2 = \sqrt{1 + \ln \frac{D_3}{D_4}} = 1,314 \quad (2.14)$$

Lungimea necesara obtinerii acestei amplificari este (Tab. 2.3, cazul 5):

$$L_2 = \frac{\lambda}{2} \left[ \frac{2\sqrt{\ln N}}{\pi} + \frac{1}{2} + \frac{\arccos(\frac{2\sqrt{\ln N}}{\pi})}{\pi} \right] = 134,4 \text{ mm} \quad (2.15)$$

$$L = 134,4 \text{ mm} < L_{\text{real}} = 135,5$$

b) - factorul teoretic de amplificare realizat de amplificatorul conic, definit de relatia (Tab. 2.3, cazul 2):

$$Nr_3 = \sqrt{1 + \left( \frac{2\tilde{\pi}L_3}{\lambda} \right)^2} = \sqrt{1 + \left( \frac{2\tilde{\pi}L_3}{c} \right)^2} \quad (2.16)$$

Pentru  $c = 5130 \text{ m/s}$ ,  $f = 20000 \text{ Hz}$  si  $L_3 = 32 \text{ mm}$  (realizata practic) se obtine:

$$Nr_3 = 1,271 \quad (2.17)$$

Factorul teoretic de amplificare realizat de amplificator este:

$$Nr_4 = Nr_2 \cdot Nr_3 = 1,314 \cdot 1,271 = 1,67 \quad (2.18)$$

De amplificator este fixata proba, de diametru  $D_6 = 14 \text{ mm}$ .

Intre amplificator si proba se realizeaza inca o treapta de amplificare de tip cilindric, fig.2.5. Factorul teoretic de amplificare realizat de aceasta treapta este (Tab.2.3, cazul 4):

$$N_{r_5} = \left( \frac{D_5}{D_6} \right)^2 = \left( \frac{20}{14} \right)^2 = 2,041 \quad (2.19)$$

Pentru obtinerea acestei amplificari este necesara o lungime (Tab.2.3, cazul 4):

$$L_5 = \frac{C}{f} = 256,5 \text{ mm} \quad (2.20)$$

Realizarea acestei amplificari, in realitate, nu este posibila datorita lungimii foarte mici a treptei cilindrice formata de proba ( $L = 5 \text{ mm} \ll L/2$ ). Din aceasta cauza amplificarea realizata de aceasta treapta nu se ia in calcul.

Factorul teoretic de amplificare realizat de etajul "concentrator - amplificator - proba" este:

$$N_r = N_{r_1} \cdot N_{r_4} = 1,22 \cdot 1,67 = 2,04 \quad (2.21)$$

Din caracteristicile tehnice ale transductorului piezoceramic TGUS 500/20 rezulta ca amplitudinea la capatul elementului radiant, de care se fixeaza concentratorul, este  $A \approx 17 \mu\text{m}$ .

Deci, teoretic, amplitudinea la suprafata de atac a probei are valoarea:

$$A \approx 17 \cdot 2,04 = 34,68 \mu\text{m} \quad (2.22)$$

#### d) Probleme privind fabricarea concentratoarelor si amplificatoarelor acustice

Problemele ivite in timpul fabricarii concentratorului si amplificatorului, racordarrii lor la frecventa de rezonanta si functionarii blocului ultrasonic in timpul probelor de reglare si anduranta, au dus la concluziile prezentate mai jos; unele fiind descrise si in literatura [1, 5, 24, 28, 36, 98].

De materialul folosit in fabricarea concentratorului - amplificator depinde canti-

tatea de energie acustica transmisa spre suprafața activă a probei. Din acest motiv, înainte de începerea prelucrării, semifabricatul, din care se prelucrează concentratorul (respectiv amplificatorul), trebuie supus testelor de verificare a omogenității structurale și detectare a defectelor de tip fisuri, retasuri, etc. Aceste verificări elimină problemele ce pot apărea în timpul funcționării: scaderea amplitudinii vibratiilor, instabilitatea frecvenței de rezonanță, randament electro-acustic scăzut, creșterea duratăi de atac cavitational pentru distrugerea materialului cu mult peste timpul minim acceptat la aparatele vibratorii (minim 5 min. [33, 75, 120, 128]), și chiar fisurarea piesei în timpul funcționării aparatului. Indiferent de marca, materialul ales pentru fabricarea concentratorului sau transformatorului trebuie să provină din semi-fabricat laminat, datorita omogenității structurale mai ridicate fata de a celui turnat.

Fata de lungimea de rezonanță obținută prin calcul se lasă un adăos de prelucrare de 5 - 8 mm, care se îndepărtează la racordarea transformatorului pe frecvența de rezonanță. Practica a dovedit necesitatea acestui adăos de prelucrare datorită următoarelor impiedicări:

1. - relațiile teoretice stabilite de Webster [28,31] nu permit determinare perfectă a dimensiunilor de rezonanță, deoarece nu tin cont de structura internă a materialului.

2. - viteza sunetului în material determinată experimental prezintă diferențe fata de cea reală.

Suprafetele de imbinare: transductor-concentrator, concentrator - amplificator și amplificator - probă; trebuie lustruite și strânse cat mai bine pentru obținerea unui contact perfect pe toată suprafața de imbinare. Dacă aceasta condiție nu este satisfăcută sistemul nu vibrează datorită stratului de aer ce se interpune între suprafetele aflate în contact. Abaterile de la forma dată a suprafetei și de poziție trebuie să fie strânse (clasele VII-VIII) și riguroz respectate. Prin aceste condiții se elimină riscul apariției vibratiilor torsionale și radiale, deci a ruperii aderenței norului de bule cavitationale de suprafața probei. De asemenea, practica a dovedit ca pentru rugozități mai mari de  $R_a = 6.5 \mu m$ , ale suprafetelor cilindrice exterioare, și pentru filetele cu fund nerontujit crește pericolul fisurării transformatorului acustic [1].

OBS. Materialele utilizate de autor în execuția concentratorului și amplificatorului provin din bară rotundă de duraluminiu tip BS L65. Racordarea pe frecvența de rezonanță s-a facut cu ajutorul a două instrumente:

- un versatest tip E0502,
- un osciloscop tip C8 - 17, de producție rusească

## 2.4 DMENSIONAREA SI REALIZAREA VASULUI PENTRU LICHIDUL DE LUCRU

Vasul pentru lichidul de lucru are rolul de a mentine, pe tot parcursul incercarilor, aceeasi cantitate de lichid, la temperatura constanta  $t = 20 \pm 1^\circ\text{C}$ .

Vasul conceput si realizat este de forma cilindrica, confectionat dintr-un tub de plexiglas cu dimensiunile  $\varnothing 126/\varnothing 120$  mm.

Mentinerea temperaturii lichidului la valoarea  $t = 20 \pm 1^\circ\text{C}$  este asigurata printr-o serpentina de cupru, de diametru nominal  $D_n = 4$  mm si diametru exterior  $D_e = 6$  mm, racordata , printr-un ventil si furtun de cauciuc, la reteaua de apa potabila. In interiorul vasului se afla o palnie din sticla ce are rolul de a capta undele sonice de presiune si a le dirija spre tubul piezometric de urmarire a amplitudinii vibratiilor.

Dimensiunile vasului, fig.2.7 sunt determinate de conditiile functionale impuse de normele americane ASTM [120]:

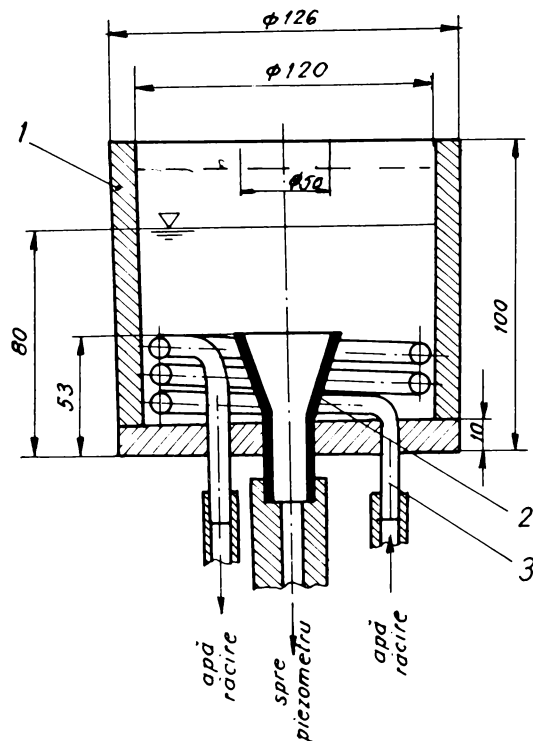


Fig. 2.7 Vasul pentru lichidul de lucru  
1-vas; 2- palnie; 3- serpentina de racire

- capacitatea vasului:  $800 \div 1200 \text{ ml}$ ,
- volumul ocupat de lichid in vas:  $600 \div 900 \text{ ml}$ .

Capacitatea vasului realizat este:

$$V_{\text{vas}} = \frac{\pi \cdot 120^2}{4} \cdot 90 \cdot 10^{-3} = 1017,876 \text{ ml} \quad (2.23)$$

Volumul ocupat de lichid este:

$$V_{\text{l1}} = V_{\text{l}} - V_{\text{c}} - V_{\text{p}} \quad (2.24)$$

unde:

- $V_{\text{l1}}$  - volumul ocupat de lichid, in ml,
- $V_{\text{l}}$  - volumul ocupat de lichid in prezenta serpentinei de cupru, in ml,
- $V_{\text{c}}$  - volumul ocupat de serpentina de cupru, in ml,
- $V_{\text{p}}$  - volumul ocupat de palnia de captare a undelor sonice, in ml.

Volumul ocupat de lichid in prezenta conductei de cupru si palniei de captare a undelor sonice este:

$$V_{\text{l}} = \frac{\pi \cdot 120^2}{4} \cdot 70 \cdot 10^{-3} = 791,68135 \text{ ml} \quad (2.25)$$

Diferenta de 20 mm intre suprafata libera a lichidului si planul superior al vasului este necesara evitarii aruncarii lichidului in afara vasului in timpul atacului cavitational. De altfel, partea superioara a vasului este prevazuta cu un capac cu gaura centrala de  $\varnothing 50$ , fig. 2.7, prin care trece amplificatorul si proba. Rolul sau este de a bloca aruncarea stropilor de apa in afara vasului, ca urmare a aderantei fluidului pe suprafata cilindrica a probei.

Lungimea conductei de cupru, din interiorul vasului, este  $L = 1190 \text{ mm}$ . Cu aceasta lungime s-au realizat trei spire. Volumul ocupat de aceasta conducta este:

$$V = \frac{\pi \cdot 6^2}{4} \cdot 1190 \cdot 10^{-3} = 33,646457 \text{ mm} \quad (2.26)$$

Dimensiunile palniei, aflata in interiorul vasului, sunt prezentate pe schita din fig. 2.8. Volumul ocupat de palnie este:

$$V = V_{\text{c1}} + V_{\text{c2}} + V_{\text{c3}} \quad (2.27)$$

unde:

$$V_{c1} = \frac{\pi \cdot 140}{12} (55^2 + 12^2 + 12.55) \cdot 10^{-3} = 40,097194 \text{ ml}$$
 (2.28)

$$V_{c2} = \frac{\pi \cdot 40}{12} (53^2 + 6^2 + 6.53) \cdot 10^{-3} = 33,122859 \text{ ml}$$
 (2.29)

$$V_{cil} = \frac{\pi}{4} (12^2 - 6^2) \cdot 3 \cdot 10^{-3} = 0,254469 \text{ ml}$$
 (2.30)

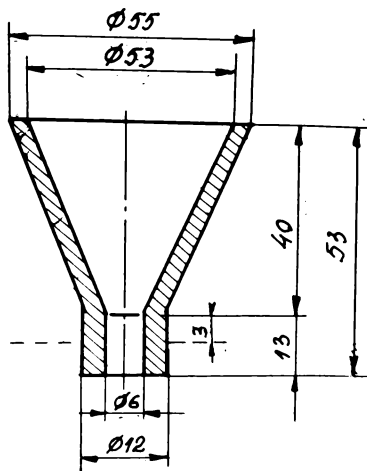


Fig. 2.8 Palnia de captare a undelor sonice de presiune

Deci, volumul ocupat de palnie este:

$$V_p = 6,719866 \text{ ml}$$
 (2.31)

Volumul ocupat de lichid in vas este:

$$V_l1 = 751,31503 \text{ ml}$$
 (2.32)

Prin urmare volumul ocupat de lichid in vas se incadreaza in normele ASTM [120].

## 2.5 STABILIREA FORMEI SI DIMENSIUNILOR PROBEI DE INCERCARE

Probele supuse atacului cavitational in aparatul vibrator T2 au aceeasi forma geometrica si dimensiuni cu cele utilizate la aparatul vibrator magnetostrictiv cu tub de nichel T2, fig.2.9

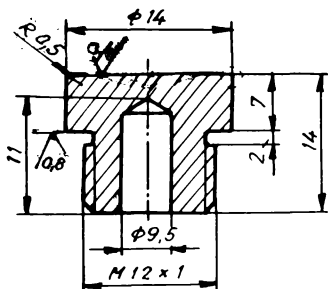


Fig. 2.9 Proba pentru eroziune  
cavitațională

Pentru evitarea fisurarii probei in timpul atacului cavitational filetul este cu varful si fundul usor rotunjite. Pentru obtinerea unui contact perfect intre suprafetele frontale, ale probei si amplificatorului acustic, este obligatorie realizarea rugozitatii de  $0,8 \mu\text{m}$ . De acest contact depinde valoarea parametrilor functionali ( $A, f$ ) si eficienta transmiterii energiei acustice la suprafata de atac a probei.

Testele preliminarii au aratat ca pentru obtinerea unei frecvențe de vibrație  $f = 20 \pm 0,2 \text{ kHz}$  și amplitudini  $A = 32 \mu\text{m}$ , masa probelor trebuie să fie  $m = 6,1; 7,8 \text{ g}$ . Aceasta condiție este realizabilă prin modificarea lungimii  $L = 14 \text{ mm}$ , respectiv a cotei de 7 mm.

## 2.6 STABILIREA SCHEMEI DE FUNCTIONARE A GENERATORULUI ELECTRONIC DE ULTRASUNETE

Generatorul electronic de inalta frecventa are rolul de a transforma curentul electric de frecventa industriala in curent de inalta frecventa pentru alimentarea transductoarelor industriale [1,24,36,98].

Caracteristicile generatorului electronic de ultrasunete depinde de urmatorii parametri [1, 24, 36]:

1.- electrici:

- frecventa de lucru sau gama de frecvente,
- puterea de iesire (determinata de tipul si capacitatea transductorului feritic, cu tub de nichel, piezoceramic),
- randamentul generatorului:  $\eta = 0,3 \div 0,7$
- stabilitatea si precizia de reglare a frecventei,
- stabilitatea amplitudinii oscilatiilor :  $K = \frac{A_s}{A_0} = 0,6 \div 0,8$  unde:

As - amplitudinea oscilatiilor transductorului la frecventa de rezonanta,

A0 - valoarea admisibila a amplitudinii.

2. - neelectrici:

- gabaritul si masa generatorului,
- modul de racire a elementelor electrice,
- durata maxima de functionare continua
- fiabilitate,
- mediu in care se emit ultrasunetele,
- costul.

Scaderea masei probei, in timpul atacului cavitational, face ca frecventa de rezonanta sa se modifice ducand la scaderea amplitudinii maxime de vibratie, la capatul probei. Prevenirea acestui fenomen se realizeaza prin folosirea unor montaje de functionare, pentru generatoarele electronice de ultrasunete, care sa asigure mentinerea frecventei de rezonanta in limitele admisibile :  $f \pm 0,3 \% \text{ kHz}$  pentru aparatele vibratoare cu cristale piezoceramice, si  $f \pm 3 \% \text{ Hz}$  pentru aparatele vibratoare magnetostrictive [33, 52, 69, 107, 120]. Astfel, s-au conceput montaje in varianta cu reactie [98], care permit racordarea automata a frecventei generatorului electronic la frecventa de rezonanta a transductorului.

Majoritatea aparatelor vibratorii, folosite in studiul eroziunii cavitationale, sunt dotate cu generatoare electronice ce functioneaza in regim continuu sau de modulatie in amplitudine [33, 98]. In ultimul timp, cresterea duratei de functionare si intensitatii de distrugere s-a realizat prin regimul de modulatie in amplitudine [28, 98]. Progresul realizat in domeniul electronicii a impus construirea generatoarelor electronice

de ultrasunete pe baza circuitelor integrate si tranzistorilor de mare putere [1, 98]. Folosirea acestora ofera o serie de avantaje ca [28, 98]:

- randament ridicat,
- dimensiuni de gabarit reduse,
- durata mare de functionare,
- pret de cost scuzat.

Din analiza mai multor scheme electronice, prezentate in literatura [98] pentru generatoarele electronice de ultrasunete, si avantajelor si dezavantajelor oferite de fiecare varianta, s-a conceput si realizat generatorul aparaturii vibrator T2. Pentru generatorul electronic de ultrasunete conceput se prezinta urmatoarele scheme:

- schema bloc a generatorului, fig.2.10,
- schema structurii interne a circuitului integrat C-MOS de tip MMC 4047, pe care este implementat etajul formare impuls si circuitul pentru obtinerea impulsurilor in contratimp, fig.2.11,
- schema electronica a generatorului de ultrasunete, fig. 2.12,

Circuitul prezentat este folosit in regim de astabil, la iesirea circuitului, pe iesirea directa, obtinandu-se frecventa de 40 KHz. Aceasta frecventa se obtine prin dimensionarea grupului extern RC.

Perioada acestui semnal este data de relatia:

$$t_A = 2,2 \text{ RC} \quad (2.33)$$

Pentru valoarea  $470 \text{ pF}$  alesa pentru condensatorul C, la frecventa de  $40 \text{ KHz}$  respectiv  $t_A = (1/40) 10^3 \text{ s}$  se obtine o rezistenta de valoare  $R = 24,2 \text{ k}\Omega$ .

Pentru acordarea generatorului cu transductorul de ultrasunete, rezistenta este divizata in doua, o parte fixa R1 si una reglabilă (potentiometru) cu valoarea de  $5 \text{ k}\Omega$ .

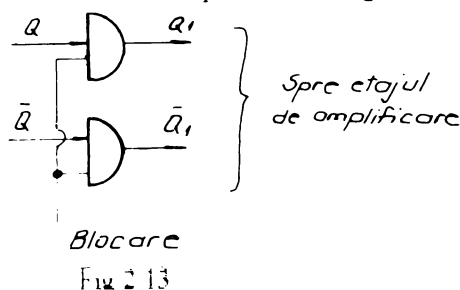
In conditiile in care se alege R1 la valoarea pentru care la mijlocul potentiometrului valoarea rezistentei echivalente este de  $24,2 \text{ k}\Omega$ , reglajul frecventei se va face cu  $+ 4 \text{ KHz}$  in jurul frecventei de  $40 \text{ kHz}$ .

Pentru a obtine frecventa de  $20 \pm 2 \text{ kHz}$ , necesara transductorului TGUS 500/20, semnalul de  $40 \text{ kHz}$  este divizat la 2 de bistabilul cu iesiri in contratimp Q si  $\bar{Q}$ . Restul blocurilor din circuitul integrat nu sunt folosite.

Circuitul pentru blocarea impulsurilor spre etajul final are un rol dublu:

- unul pentru START / STOP cu rol de generator cu comanda din exterior, sau prin blocarea impulsurilor din protectia lor supracurent,
- unul cu rol de transpunere a semnalelor de comanda al etajului final, pe pozitia blocat, in "O"

Aceasta functie este realizata de doua porti "SI", fig. 2.13.



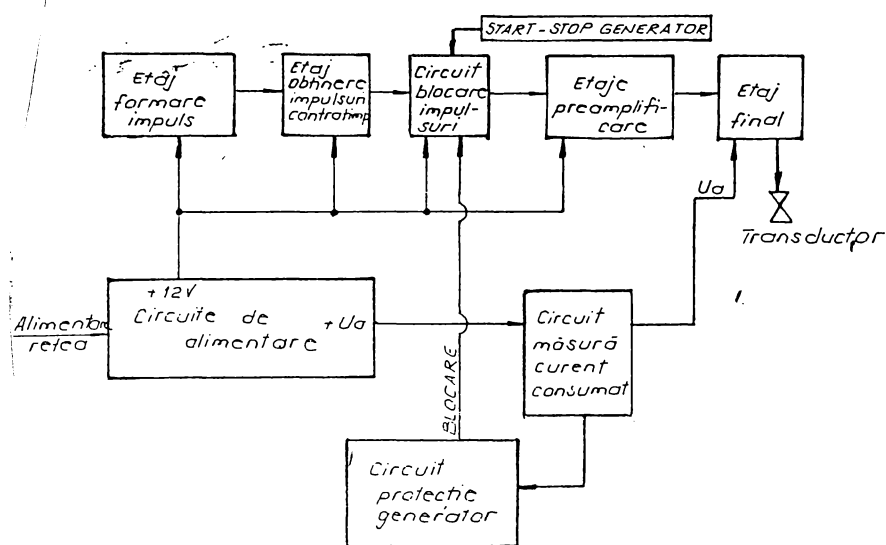


Fig. 2.10 Schema bloc generator electronic de ultrasunete

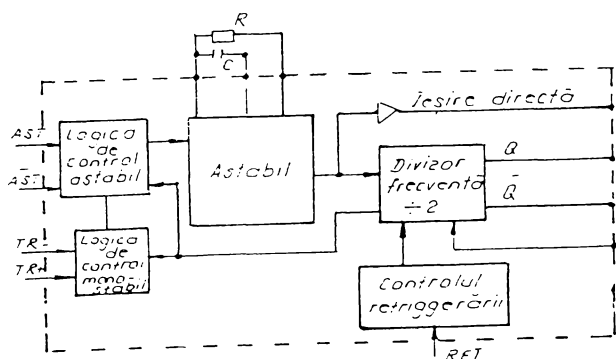


Fig. 2.11 Structura internă a circuitului integrat C - MOS tip MMC 4047 pentru formare impuls în contratimp

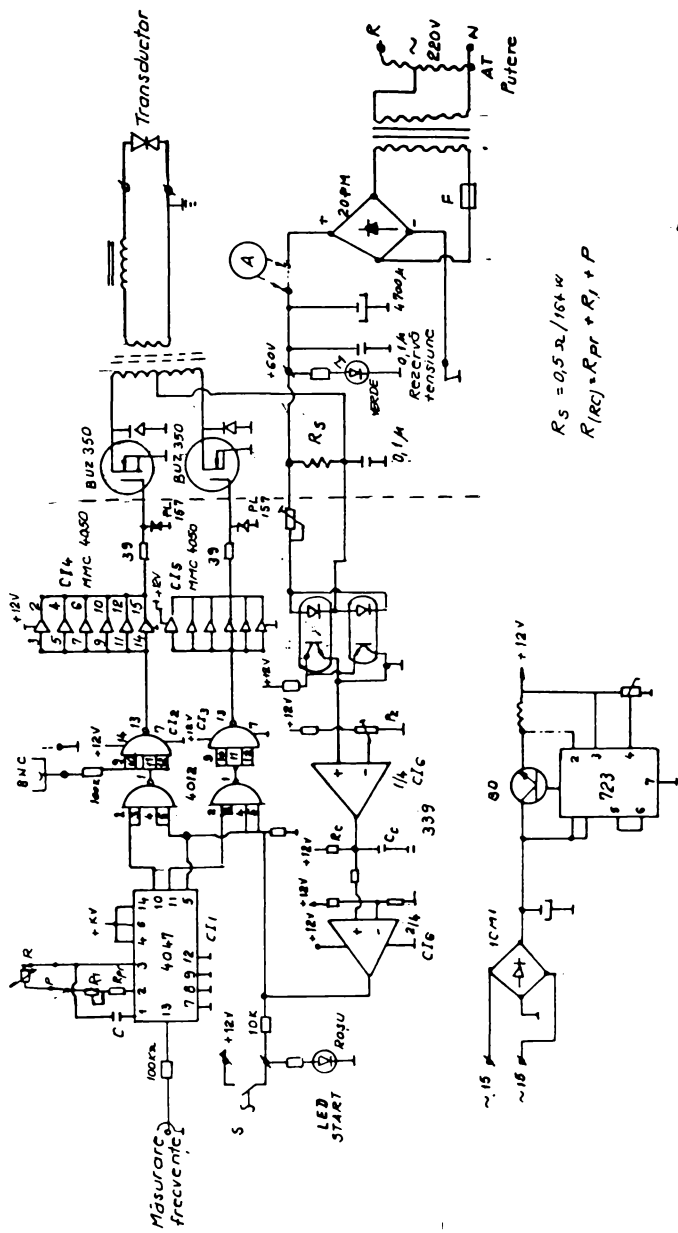


Fig. 2.12 Schema electronica a generatorului de ultrasunete

$$R_S = 0.5 \Omega / 164 \text{ uW}$$

$$R_{RC} = R_{PR} + R_I + P$$

Implementarea acestui etaj a fost facuta practic cu porti "SI - NU".

Etajul de preamplificare este conceput tot pe baza circuitelor C-MOS prin legarea in paralel a mai multor porti bufler, conferind iesirii o capacitate mai mare de incarcare/descarcare a capacitatiilor parazite, asigurand fronturi de comanda foarte bune.

Etajul final este conceput tot pe structura de tranzistoare MOS, de putere, ce debiteaza pe un transformator. Iesirea acestui transformator este cuplata la un circuit de adaptare a impedantei cu transductorul printr-o bobina semireglabila.

Circuitul de masura a curentului este constituit dintr-un sunt, de pe care se masoara caderea de tensiune.

Cu aceasta informatie, de curent, se face protectia etajului final, astfel incat se compara o tensiune de referinta reglabila, fin, prin P2. Blocarea se face instantaneu, iar testul disparitiei sarcinii se face cu o frecventa de repartitie data de  $R_c$ ,  $C_c$ .

Sursele de alimentare pentru circuitele de alimentare si de forta sunt distincte. Circuitele decomanda sunt alimentate dintr-o sursa stabilizata de 12 V. Circuitele de forta sunt alimentate printr-un autotransformator, care, practic, regleaza puterea de iesire.

Parametrii asigurati de generatorul electronic de ultrasunete sunt:

1.- frecventa de rezonanta, masurata pe iesirea directa, fig.2.12, cu un numarator electronic tip E-0202-A. Valoarea reala este jumata din valoarea indicata.

2.- curentul si tensiunea de alimentare a etajului final. Curentul se masoara cu ajutorul unui ampermetru de curent alternativ de 30 A, tip VAP 5 STAS 4640-61. Tensiunea se masoara cu un voltmetru de 300V, tip VAP 5 STAS 4640-61.

In timpul functionarii generatorul electronic de ultrasunete este racit fortat cu ajutorul unui ventilator axial.

Pe durata a 15 min. de functionare (durata maxima a unei perioade de atac cavitational) s-a constatat ca singurele elemente care se incalzesc (in lipsa racirii forteata) sunt grupul de rezistente  $R_s$  si cele doua bobine.

Cunoscand tensiunea si curentul de alimentare ale etajului final s-a calculat puterea electrica consumata de acest etaj si transductor,  $P_{el}$ , a carei variatie cu curentul este prezentata in fig. 2.14. Valorile optime de exploatare stabilite in urma probelor de reglaj si anduranta sunt :  $I = 5,6 \text{ A}$  ;  $U = 49 \text{ V}$ ;  $P_{el} = 274,4 \text{ W}$ .

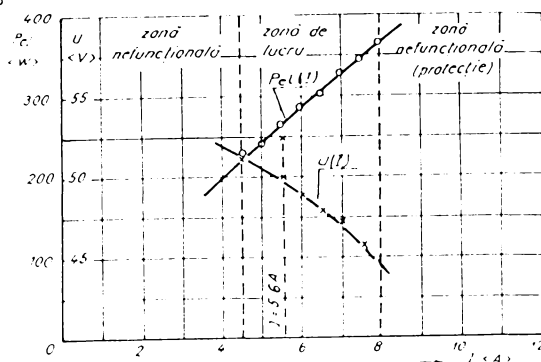
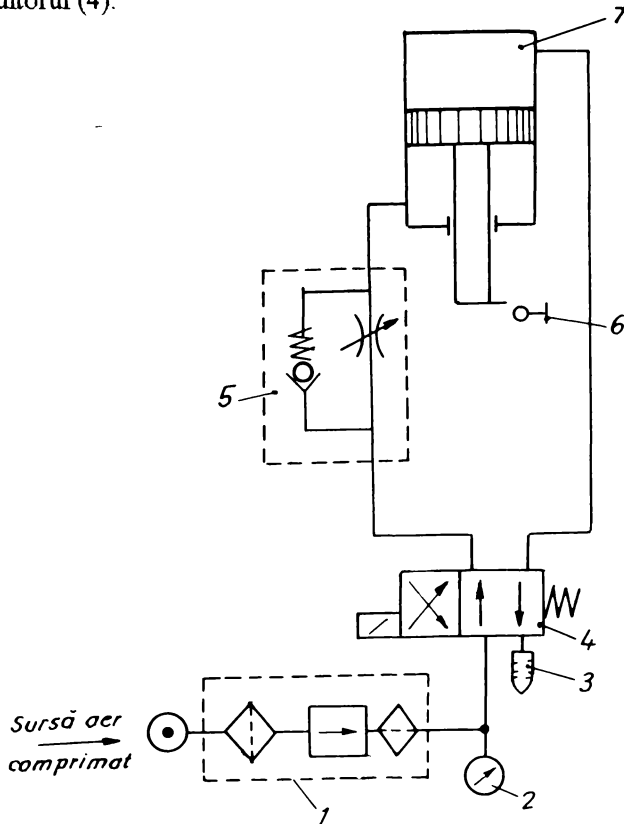


Fig 2.14 Variatia parametrilor caracteristici etajului final al generatorului electronic de ultrasunete

## 2.7 SCHEMA INSTALATIEI PNEUMATICE DE ACTIONARE A MECANISMULUI DE GHIDARE

Mecanismul de ghidare este destinat sustinerii blocului ultrasonic si realizarii miscarilor de introducere si scoatere proba din lichid, la inceputul si sfarsitul perioadelor de testare.

Instalatia pneumatica, a carei schema este prezentata in fig. 2.15, asigura realizarea acestor miscari, in regim automat, cu ajutorul cilindrului pneumatic (7), comandat de distribuitorul (4).



1. grup FRU ; 2 - manometru  $\phi 60$  (0-10) bar ; 3 - amortizor zgomot ; 4 - distribuitor pneumatic 0/2/4 ; 5 - droset de cale ; 6 - limitator cursa ; 7 - cilindru pneumatic.

Fig. 2.15 Schema instalatiei pneumatice de actionare a mecanismului de ghidare

Imersia probei ( $h = 3 \div 5$  mm) este reglata prin pozitia limitatorului de cursa (6).

Deplasarea blocului ultrasonic pe verticala (cotorare) se face cu viteza reglabilă, prin droselul de cale (5).

Revenirea in pozitie superioara se face rapid.

Pentru functionare, instalatia conceputa se poate racorda la o sursa de aer comprimat cu presiunea intre  $2 \div 6$  bar. Pregatirea aerului comprimat, furnizat de sursa, inainte de intrare in instalatia de actionare, este realizata prin grupul FRU (1).

Toate elementele de comanda, distributie si reglare sunt Dn6. Alegerea lor s-a facut constructiv, cu scop functional, fara un calcul prealabil, intrucat singura forta ce trebuie invinsa este cea de frecare din ghidaje, a carei valoare este foarte mica [5a], datorita dimensiunilor reduse ale elementelor de executie.

Alegerea cilindrului pneumatic s-a facut pe considerente de gabarit si lungimea cursei.

Elementele instalatiei pneumatice, prezентate in fig. 2.15 sunt de productie romaneasca, fabricate sub urmatoarele coduri:

- Grup preparare aer Dn6: FRU - 06 - 1, producator S.C. Mecanica S.A. Bistrita, poz.1,

- Manometru:  $\varnothing 60$ , 0 - 10 bar, producator S.C. F.A.M.C. S.A. Vaslui, poz.2,

- Amortizor zgromot Dn6: 10.1- 06.5 - 0, producator S.C. Mecanica S.A. Bistrita, poz.4.

- Drosel de cale Dn6: 16.1 - 3.06, producator S.C. Mecanica S.A. Bistrita, poz. 5,

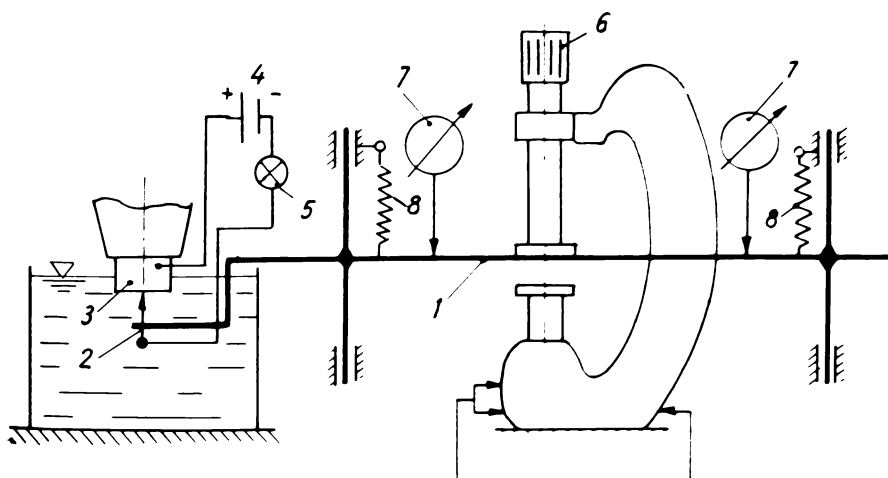
- Cilindru pneumatic  $\varnothing 50 / 70$ : 11.10.05.0.07, producator S.C. Mecanica S.A. Bistrita, poz.7

## 2.8 DETERMINAREA EXPERIMENTALA, CONTROLUL SI VERIFICAREA AMPLITUDINII VIBRATIILOR. DOMENIUL DE VARIATIE AL FRECVENTEI VIBRATIILOR

### a) Masurarea amplitudinii vibratiilor la suprafata de atac a probei

Masurare amplitudinii vibratiilor a avut drept scop stabilirea deplasarii coloanei de lichid ( $\Delta h$ ), din piezometru vertical, corespunzatoare amplitudinii maxime de vibratie si determinarea erorii fata de valoarea calculata.

Masurarea nivelului amplitudinii maxime de vibratie s-a facut cu dispozitivul electromecanic prezentat in fig. 2.16.



1. braț mobil; 2. oc.; 3. probă; 4. baterie 1,5V; 5. led; 6. pasometru precizie  $1\mu\text{m}$ ; 7. comparotor cu cadrон de precizie  $0,1\mu\text{m}$ ; 8. pompa

Fig. 2.16 Dispozitiv pentru masurarea amplitudinii vibratiilor

Principiul masurarii constă în determinarea distanței dintre poziția suprafetei probei (3), supusă atacului cavitational, în stare de repaus și cea din timpul vibratiei cu amplitudine maxima, în apa dublu distilată.

Contactul cu aceasta suprafata este realizat punctiform cu acul (2) și semnalizat luminos cu ledul (5), alimentat de la o baterie (4) de 1,5 V.

Deplasarea pe verticală este realizată și măsurată cu surubul micrometric al pasametrului (6), de precizie 0,001 mm.

Rotirea și inclinarea bratului (1) este anulată de arcurile (8). Cu comparatoarele (7), de precizie 0,001 mm, s-a verificat nivelul rotirii sau inclinării bratului (1) la o deplasare de 0,2mm. S-a constatat că, pentru soluția concepută și realizată, acestea sunt nule.

S-au realizat 10 măsurări pentru nivelul maxim al amplitudinii vibratiilor și o imersie a probelor  $h = 3$  mm, la frecvența  $f = 20 \pm 0,2$  kHz recomandată de normele ASTM [120]. Valorile măsurate sunt indicate în Tab. 2.4.

Tab.2.4 Parametrii funcționali ai aparatului vibrator T2 ( $I = 5,6$  A,  $U = 49$  V)

Nr. crt.	$m_{probă} = 6,10135\text{g}$			$m = 7,79541\text{g}$		
	$f$ Hz	$A$ $\mu\text{m}$	$\Delta h$ mm	$f$ Hz	$A$ $\mu\text{m}$	$\Delta h$ mm
1	19665	32	~12	20077	32	~11
2	19866	32	~12	20118	32	~11
3	19921	32	~12	20149	32	~11
4	19930	32	~12	20192	32	~11
5	19985	32	~12	20208	32	~11

Nu s-au putut măsura frecvențe mai mici de 19625 Hz și mai mari de 20212 Hz datorită sistemului de protecție existent în generatorul electronic de ultrasunete, ce decouplează sistemul circuitului oscilant.

Prin urmare se poate admite că la frecvența de rezonanță a aparatului vibrator  $f=20 \pm 0,2$  kHz amplitudinea maximă a vibratiilor este  $A_{max} = 32 \mu\text{m}$ . Eroarea făta de amplitudinea calculată  $A = 3,7\%$  se datorează:

- abaterilor de formă și dimensionale ale concentratorului, amplificatorului și probei,

- diferențelor de calitate de material dintre concentrator - amplificator (duraluminiu) și probă (40Cr10),

- diferențelor dintre vitezele de propagare a sunetelor în cele două medii,

- admitere ca valoare pentru viteză sunetului în duraluminiu  $c = 5130$  m/s, data în [98].

### b) Verificarea amplitudinii masurate

Verificarea amplitudinii masurate in aparatul T2,  $A = 32 \mu\text{m}$ , s-a realizat prin compararea volumelor de material erodate cu cele obtinute in alte aparate similare in lume. Astfel, s-au considerat aparatele vibratoare de la Institutul de Cercetari Stiintifice Wuxi din China [106] (Tab 1.:  $A = 32 \mu\text{m}$ ,  $f = 20 \text{ kHz}$ ,  $d = 16 \text{ mm}$  - valori apropiate de ale aparaturii T2), Universitatea Tehnica din Ostrava [106] ( $A = 40 \mu\text{m}$ ,  $f = 20 \text{ kHz}$ ,  $d = 16 \text{ mm}$ ) si Universitatea din Michigan [1,40] ( $A = 25,4 \mu\text{m}$ ,  $f = 20 \text{ kHz}$ ,  $d = 14,3 \text{ mm}$ ).

Pentru primele doua aparate s-a considerat alama (cu caracteristici mecanice apropiate de ale alamei navale testate in aparatul T2) iar pentru cel de-al treilea otelul carbon (cu caracteristici mecanice apropiate de ale otelului aliat 33MoCr11, testat in aparaturii T2).

Testele de eroziune cavitationala, in cele trei aparate, s-au realizat in apa distilata la temperaturi identice  $t = 20 \pm 1^\circ \text{C}$ . In Tab. 2.5 sunt afisate date despre materialele considerate si marimile caracteristice de comparatie la 165 minute de atac cavitational, iar in fig. 2.17 si 2.18 se compara, pentru alama, curbele vitezelor si volumelor de eroziune cavitationala.

Tab.2.5 Marimi caracteristice

<i>Simbol aparat (laborator - autor)</i>	<i>Material</i>	$R_m$ $\frac{N}{mm^2}$	$HB$ $\frac{daN}{mm^2}$	$V$ $mm^3$	$v_s$ $mm^3/min$	<i>Bibliograf.</i>
T2 (Timisoara - Bordeasu)	Alamă	345	80	7,79	0,56	-
T2 (Timisoara - Bordeasu)	33 Mo Cr 11	800	217	2,41	0,011	-
WUXI (W) (China - Ji Je Zhi)	Alamă	352	77	7	0,047	[106]
VSB (Ostrava - Noskiewic)	Alamă	352	77	6,5	0,05	[106]
M (Michigan - Hammit)	Otel carbon	719	183	2,28	-	[40]

Abaterile relative dintre marimile ce caracterizeaza eroziunea cavitationala in aparatele considerate au valorile:

- pentru alama:

$$\text{WUXI } \Delta V = \frac{V_{r2} - V_w}{V_{r2}} \cdot 100 = 10,1\%$$

$$\text{respectiv } \Delta V_s = \frac{V_{sr2} - V_{sw}}{V_{sr2}} \cdot 100 = 16,1\% \quad (2.33)$$

$$\text{OSTRAVA } \Delta V = \frac{V_{r2} - V_{vsb}}{V_{r2}} \cdot 100 = 16,6\%$$

$$\text{respectiv } \Delta V_s = \frac{V_{sr2} - V_{sw}}{V_{sr2}} \cdot 100 = 10,7\% \quad (2.34)$$

-pentru otel

$$\text{MICHIGAN } \Delta V = \frac{V_{r2} - V_n}{V_{r2}} \cdot 100 = 5,4\% \quad (2.35)$$

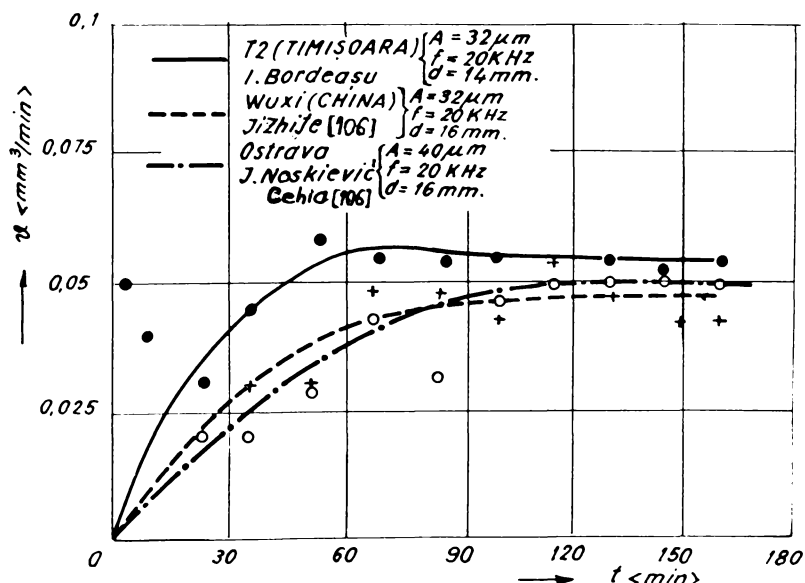


Fig. 2.17 Viteza de eroziune cavitationala a alamei in functie de timpul de atac cavitational

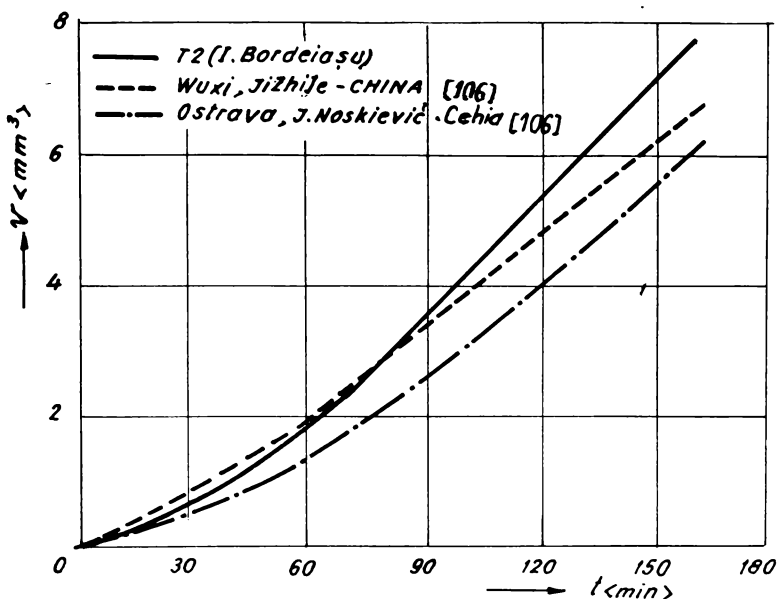


Fig. 2.18 Variatia volumului de alama erodat cu timpul de atac cavitational

Nivelul acestor abateri este firesc si se datoreaza caracteristicilor mecanice si structurii materialelor, considerate, diferite (Tab. 2.5) si differentelor dintre valorile parametrilor tehnico-functionalii ai aparaturilor vibratoare (Tab.1.3), luate spre comparatie. Valorile acestor abateri se incadreaza in limitele admisibile [120], sunt cu mult mai mici decat cele acceptate de Garcia [33] (peste 35 %), Sakai - Shima [95a] (pana la 37 %) si K. Steller [107] (pana la 31%) si confirmă determinarea corecta a amplitudinii vibratiilor produse de aparatul vibrator T2, proiectat si realizat de autor.

### c) Caracteristicile fizice ale aparatului

Caracteristicile fizice ale aparatului sunt determinate cu relatiiile prezentate la aparatul vibrator magnetostrictiv T1, Cap.1 - § 1.4.2.

Perioada unei vibratii:

$$T = \frac{1}{f} = \frac{1}{20000} = 5 \cdot 10^{-5} \text{ s} \quad (2.36)$$

Pulsatia vibratiilor:

$$\omega = \frac{2\pi}{T} = 125663,71 \text{ rad/s}$$
 (2.37)

Vitezele maxima si medie de vibratie a probei:

$$v_{max} = \omega A = 4,021 \text{ m/s}$$
 (2.38)

$$v = \frac{V_{max}}{2} \cong 2,011 \text{ m/s}$$
, (2.39)

Acceleratia maxima a probei:

$$a_{max} = \omega^2 A = 505323,74 \text{ m/s}^2 (= 51528,681 \text{ g})$$
 (2.40)

Presiunea sonica maxima dezvoltata in apa la 20 °C ( $c = 1412 \text{ m/s}$  [110]):

$$p_{s\ max} = A \omega \rho c = 5677988,9 \text{ Pa}$$
 (2.41)

Conditia de existenta a cavitatiei la 20 °C ( $p_v = 2338 \text{ Pa}$  [30a]) este indeplinita:

$$p_{stat} - p_{s\ max} < p_v = > 101325 - 5677988,9 = -547663,9 < 2338 \text{ Pa}$$
 (2.42)

## 2.9 DESCRIEREA SI FUNCTIONAREA APARATULUI VIBRATOR

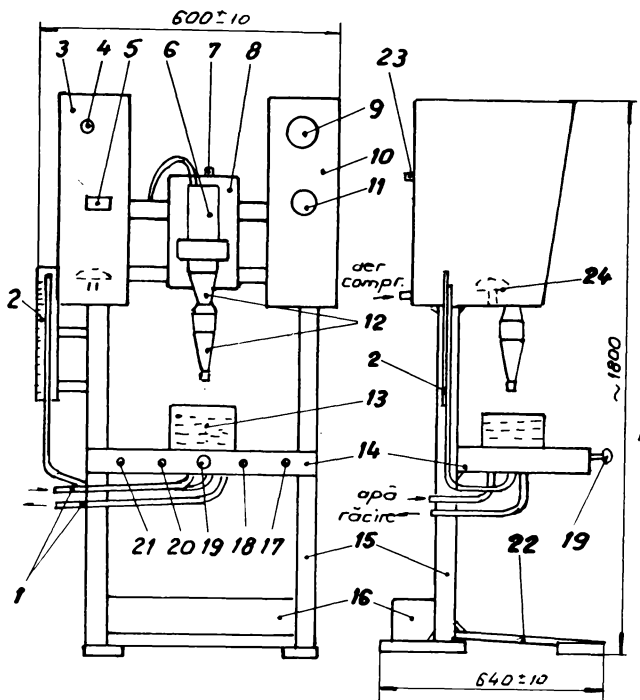
Aparatul vibrator cu cristale piezoceramice T2, prezentat in fig. 2.19 si 2.20, a fost proiectat si realizat pentru distrugerea materialelor solide prin cavitatie.

Se compune dintr-un cadru sudat pe care sunt fixate toate subansamblele componente:

- cassetă generatorului electronic de ultasunete,
- mecanismul de ghidare cu blocul ultrasonic,
- cassetă subansamblului pneumatic de actionare a mecanismului de ghidare,
- transformatorul electric,
- pupitru de comanda,
- masa suport a vasului ce contine lichidul in care se fac teste de eroziune cavitationala.

Caracteristicile functionale, tehnice si constructive ale aparaturii sunt:

1. - Frecventa de rezonanta:  $f = 20 \pm 0,2 \text{ KHz}$ ,
2. - Amplitudinea vibratiilor:  $A = 32 \mu\text{m}$ .



- 1 - Conducte răcire
- 2 - Piezometru control amplitudine
- 3 - Casetă instalatie electrică și electronică
- 4 - Buton cuplare generator electronic de ultrasunete
- 5 - Ampermtru
- 6 - Traductor TGUS 500/20
- 7 - Surub deplasare bloc ultrasonic
- 8 - Mecanism ghidare
- 9 - Manometru
- 10 - Casetă instalatie pneumatică
- 11 - Regulator de presiune
- 12 - Transformator acustic
- 13 - Vas pentru lichidul de încercare
- 14 - Masă
- 15 - Cadru suport
- 16 - Transformator electric
- 17 - Buton cuplare aparat la retea
- 18, 19, 20, 21 - Bucuri semnalizări protecție
- 22 - Tulpă echilibrare
- 23 - Contactor electric
- 24 - Ventilator

Fig 2.19 Aparatul vibrator cu cristale piezoceramice T2

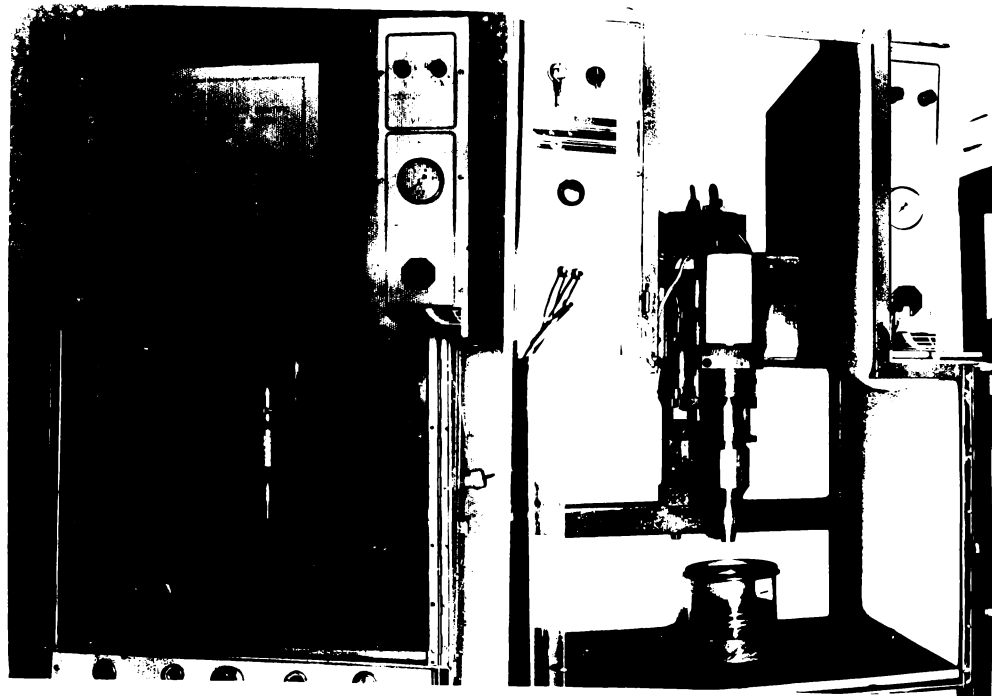


Fig. 2.20 Aparatul vibrator cu cristale piezoceramice T2

3. - Puterea electrica, de lucru, de alimentare a generatorului electronic de ultrasunete si transductorului piezoceramic:  $P_{el} = 274,4 \text{ W}$ ,
4. - Curentul electric de alimentare a generatorului electronic de ultrasunete:  
 $I = 5,6 \text{ A}$
5. - Puterea electrica absorbita de la retea:  $P_e = \text{max. } 800 \text{ VA}$ ,
6. - Tensiunea electrica de alimentare :  $220 \text{ Vca}^{+10\%}_{-15\%}$ , la  $50^{+2\%}_{-2\%} \text{ Hz}$ ,
7. - Diametrul probei:  $D = 14 \text{ mm}$ ,
8. - Dimensiunea filetului probei: M 12 x1,
9. - Cursa maxima de pozitionare in plan vertical a blocului ultrasonic:  
 $C = 310 + 5 \text{ mm}$ ,
10. - Dimensiunile de gabarit ( $L_1 \times l_1 \times H_1$ ):  $640 \times 600 \times 1800$ ,
11. - Dimensiunile camerei de lucru ( $L_2 \times l_2 \times H_2$ ):  $440 \times 560 \times 870$ ,
12. - Dimensiunile vasului pentru lichid:  $\varnothing 120 \times 90$ ,
13. - Volumul ocupat de lichidul de lucru:  $V_{l1} = 751,32 \text{ ml}$ ,
14. - Cilindru pneumatic:
  - diametru piston:  $D_p = 50 \text{ mm}$
  - diametru tija:  $d_t = 25 \text{ mm}$ ,
  - cursa:  $c = 145 \text{ mm}$ ,
15. - Presiunea aerului comprimat, maxima de lucru:  $p = \text{max. } 6 \text{ bar}$ .

Principiul de functionare al aparaturii se bazeaza pe capacitatea cristalelor piezoceramice, din cadrul transductorului TGUS 500/20 (6), de a se deforma

(contracta si dilata - generand unde stationare longitudinale plane) sub actiunea campului electric alternativ produs de generatorul electronic de ultrasunete. Deformatiile, respectiv undele longitudinale plane, sunt amplificate de transformatorul acustic (12), compus dintr-un concentrator, fig.2.4, si amplificator acustic, fig.2.5.

In punctul de amplificare maxima (capatul inferior al transformatorului acustic) este montata proba, fig.2. 8, ce urmeaza a fi solicitata cavitational, imersata in lichidul de lucru 3 mm.

Datorita aderentei fluidului la suprafata probei, in timpul oscilatiilor, la urcare, pe aceasta suprafata, apare norul de bule cavitational. La coborare acest nor se surpe generand unde de soc, microjeturi si cresterea temperaturii pe suprafata probei. Prin actiunea comună a celor trei factori are loc o distrugere rapida a suprafetei frontale a probei, diferentiat de la un material la altul.

Verificarea nivelului amplitudinii se face cu ajutorul piezometrului vertical simplu (2), a carui coloana se deplaseaza cu  $\Delta h = 11 \div 12$  mm, corespunzator amplitudinii  $A = 32 \mu\text{m}$ . Aceasta deplasare este determinata de undele de presiune sonica captate de palnia montata in vasul cu lichid (13), sub proba, racordata printr-un furtun la piezometru.

In timpul functionarii componentelete din generatorul electronic de ultrasunete se pot incalzi datorita valorii ridicate a curentului. Acest fenomen poate schimba valorile optime de functionare si protectie ale parametrilor tehnico-functiionali ( $A = 32 \mu\text{m}$ ,  $f = 20 \pm 0,2 \text{ KHz}$ ,  $I = 5,6 \text{ A}$ ,  $U = 49 \text{ V}$ ). Eliminarea acestui fenomen se face prin racire fortata cu aerul produs de un ventilator axial.

De asemenea, in timpul atacului cavitational temperatura lichidului de lucru creste. Menținerea la temperatura constanta se face cu o serpentina de cupru racordata, printr-un robinet, la reteaua de apa potabila.

Momentan, introducerea si scoaterea probei din lichid, la inceputul si sfarsitul perioadelor de atac cavitational, se face manual. Racordarea instalatiei pneumatice la o sursa de aer comprimat permite automatizarea acestor manevre.

Protectia operatorului de ultrasunete este asigurata prin izolarea sonica, cu burete, a camerei de lucru.

In caz de avarii sistemul se poate decupla rapid printr-un buton ciuperca de protectie.

Parametrii reglabilii si controlati sunt: curentul si tensiunea de alimentare a etajului final, al generatorului electronic de ultrasunete, amplitudinea si frecventa vibratiilor, temperatura lichidului de lucru. Reglarea se face la inceputul testarii pentru fiecare proba.

## 2.10 DEFECTIUNI SI MOD DE REMEDIERE

Defectiunile intampinate in timpul perioadelor de executie si probe precum si modul de remediere sunt sintetizate mai jos, sub forma tabelara.

Nr. crt.	Defectiune	Cauze	Defectiuni
I	II	III	IV
1	Blocul ultrasonic vibreaza, dar nu atinge frecventa de rezonanta sau amplitudinea maxima de vibratie	<ul style="list-style-type: none"> <li>- cristalele piezoceramice sunt fisurate</li> <li>- concentratorul este fisurat</li> <li>- amplificatorul de unda este fisurat</li> <li>- proba este fisurata</li> </ul>	<ul style="list-style-type: none"> <li>- se inlocuieste transdutorul</li> <li>- se inlocuieste concentratorul</li> <li>- se inlocuieste amplificatorul de unda</li> <li>- se inlocuieste proba</li> </ul>
2	Blocul ultrasonic nu vibreaza	<ul style="list-style-type: none"> <li>- diodele sunt strapunse</li> <li>- condensatorii sunt strapunsi</li> <li>- rezistentele sunt arse</li> <li>- tranzistori arsi</li> <li>- scurtcircuit in bobinile transformatoarelor</li> </ul>	<ul style="list-style-type: none"> <li>- se inlocuiesc diodele</li> <li>- se inlocuiesc condensatorii</li> <li>- se inlocuiesc rezistentele</li> <li>- se inlocuiesc tranzistorii</li> <li>- se reface bobinajul</li> </ul>
3	Radiatoarele se supraancalzesc	- ventilatorul defect	- se remediaza ventilatorul
4	Nu porneste ventilatorul	<ul style="list-style-type: none"> <li>- rotorul ars</li> <li>- statorul ars</li> <li>- siguranta la intrare arsa</li> </ul>	<ul style="list-style-type: none"> <li>- se rebobineaza rotorul</li> <li>- se rebobineaza statorul</li> <li>- se inlocuieste siguranta</li> </ul>
5	Nu se aprinde becul de punere statiune sub tensiune	<ul style="list-style-type: none"> <li>- becul ars</li> <li>- stecherul ars</li> <li>- siguranta de la intrare arsa</li> </ul>	<ul style="list-style-type: none"> <li>- se inlocuieste becul</li> <li>- se inlocuieste stecherul</li> <li>- se inlocuieste siguranta</li> </ul>
6	Nu se realizeaza avansul pneumatic al blocului ultrasonic	<ul style="list-style-type: none"> <li>- sertarul distribitorului pneumatic este blocat</li> <li>- mansetele de translatie sunt uzate</li> </ul>	<ul style="list-style-type: none"> <li>- se curata sertarul</li> <li>- se inlocuiesc mansetele</li> </ul>
7	Avansul manual, prin manevrarea surubului de la mecanismul de ghidare, se realizeaza greu	<ul style="list-style-type: none"> <li>- ghidajele sunt gripate</li> <li>- patrundere impuritati in elicea surubului sau a piulitei</li> </ul>	<ul style="list-style-type: none"> <li>- se rectifica, tuseaza si ung cu ulei ghidajele</li> <li>- se curata surubul si piulita si se ung cu ulei</li> </ul>
8	Functionare lenta si in trepte a regulatorului de presiune	<ul style="list-style-type: none"> <li>- arcul regulatorului si-a pierdut caracteristicile</li> <li>- ventilul regulatorului</li> </ul>	<ul style="list-style-type: none"> <li>- se schimba arcul regulatorului</li> <li>- se inlocuieste ventilul</li> </ul>

I	II	III	IV
8		<p>are urme de gripare - canalele sunt infundate</p>	<p>regulatorului - se schimba filtru si se curata canalele</p>
9	Nu se raceste lichidul de lucru din vasul de incercare	<p>- furtune infundate sau fisurate - serpentina de cupru infundata</p>	<p>- se inlocuiesc furtunile -se inlocuieste serpentina de cupru</p>
10	Creste nivelul lichidului de lucru in vasul de incercare	<p>- serpentina de racire fisurata</p>	<p>-se inlocuieste serpentina ,</p>

## CAP. 3 CERCETARI EXPERIMENTALE REALIZATE IN LABORATORUL DE MASINI HIDRAULICE DIN TIMISOARA (LMHT), ASUPRA UNOR MATERIALE

### 3.1 METODA DE TESTARE

In conformitate cu normele ASTM [120], din fiecare material (acelasi semifabricat si sarja) s-au incercat cel putin trei probe. La fiecare proba suprafata de atac cavitational a fost rectificata sau lustruita la o rugozitate  $R_a = 0,2 \pm 0,8 \mu\text{m}$ .

La inceputul si sfarsitul fiecarei perioade de incercare, probele au fost spalate in apa sub presiune (la robinetul de apa potabila de la retea), apa distilata, alcool si acetona, uscate in curent de aer cald si cantarite.

Durata totala a incercarii este de 165 minute, impartita in perioade de 5, 10, si 15 minute. Dupa normele ASTM [120] durata totala a incercarii este de 2  $\div$  3(5) ore. Aceasta durata depinde de material si aparat [30a, 33, 40a], si este functie de timpul la care se stabilizeaza viteza de eroziune cavitationala, astfel incat curba acestei viteze sa aibe o forma asemanatoare celei stabilita de Thiruvengadam [3, 111], considerata model, de specialisti. Cercetarile efectuate, de peste 35 ani, in LMHT, pe aparatul vibrator magnetostrictiv cu tub de nichel, de Potenz si Kuzman [52, 53], Sisak [133] si Hrelescu [44] au aratat ca durata maxima necesara obtinerii unei astfel de curbe este de 165 min.

**Obs.** Dupa Thiruvengadam, viteza de eroziune de stabilizare apare dupa ce in prealabil a fost atins un maxim. In aparatele vibratori apar unele diferente: pentru unele materiale apare un maxim pronuntat (fonte, oteluri carbon neahlate) [17, 52, 53], pentru altele un maxim prelungit (unele oteluri aliate) [133] sau viteza de eroziune cavitationala se stabilizeaza la valoarea maxima (inoxuri, bronzuri navale, unele oteluri aliate, oteluri tratate termic) [14, 15, 18, 33, 48.81, 103, 106].

Cantarirea probelor s-a efectuat cu o balanta analitica tip "ZAKLADY" ce permite citirea a sase cifre semnificative.

In timpul atacului cavitational temperatura lichidului s-a mentinut constanta, in jurul valorii de  $20 \pm 1^\circ\text{C}$ . Majoritatea incercarilor s-au realizat in apa distilata ( $\rho_l = 1000\text{Kg/m}^3$ ). Unele materiale, folosite in fabricarea elicelor navale, s-au testat in apa marina standard, realizata artificial, [15 - 20, 78, 79, 128] ( $\rho_l = 1020 \text{ Kg/m}^3$ ). Masa specifica a lichidului de lucru folosit este afisata in Tab.3.2. Datorita perioadelor scurte de incercare, in timpul eroziunii cavitationale efectul coroziv al apei marine este practic inexistent [84].

De asemenea, amplitudinea si frecventa vibratiilor s-au mentinut constante.

Dupa fiecare perioada de incercare suprafata activa a probei a fost examinata la microscopul optic, marire 6.3x, pentru urmarirea modului de evolutie al distrugerii produsa prin cavitate, si fotografata.

### 3.2 CERCETARI EXPERIMENTALE REALIZATE IN APARATUL VIBRATOR MAGNETOSTRICTIV CU TUB DE NICHEL (T1)

#### 3.2.1 Materiale testate

Materialele analizate, din punct de vedere al comportarii la eroziune cavitationala, fac parte din categoria aliajelor fier carbon (utilizate in realizarea pompelor si turbinelor hidraulice, elicelor navale si componentelor aparaturii hidraulice de comanda, distributie si reglare), alamelor si bronzurilor navale (folosite in fabricarea elicelor navale).

Intrucat, orice element de aliere modifica caracteristicile mecanice si structura materialelor [35, 35a, 64, 65, 115], pentru evaluarea rezultatelor obtinute si desprinderea modului in care eroziunea cavitationala este influentata de compozitia chimica, Tab. 3.1, proprietati mecanice, structura si tehnologia de elaborare, Tab.3.2, materialele s-au grupat pe clase de calitate, astfel:

- 1.- oteluri carbon laminate si turnate, fonte,
- 2.- oteluri aliate pentru constructii,
- 3.- oteluri inoxidabile laminate si turnate,
- 4.- bronzuri si alame navale.

Toate grupele s-au stabilit prin respectarea normelor standard, in care principalul criteriu de clasificare a materialelor, pe clase de calitate, il constituie compozitia chimica. Evident, in cadrul fiecarei clase exista subclase, standardizate, stabilite in functie de: gradul de dezoxidare, tehnologia de elaborare, cantitatea principalelor elemente de aliere si domeniul de utilizare [63 - 65, 114, 115, 121 - 126a].

Introducerea fontei Fgn 450-5 in prima grupa s-a facut numai din considerentele: existenta unor materiale cu care aceasta sa se poata compara cavitational si absenta principalelor elemente de aliere (Cr si Ni), cunoscute in literatura [30a, 40a, 44, 77] pentru efectele benefice asupra rezistentei cavitationale.

S-a optat pentru o grupare de aceasta forma intrucat standardele in vigoare nu contin o clasificare a materialelor dupa criteriul rezistentei cavitationale.

De asemenea, s-a preferat aceasta grupare deoarece studiile efectuate pana in prezent [3, 8, 9, 12, 32, 39, 40, 47, 53, 69, 76, 82, 101, 106] arata clar diferența substantiala intre comportarea cavitationala a materialelor din clase diferite, iar importanta prezinta modul in care este influentata rezistenta cavitationala de orice element de aliere, de proprietatile mecanice, de tipul structurii si natura constituentilor structurali. Aceasta investigare este posibila numai in cadrul aceleiasi clase (grupe), cu conditia ca incercarile sa fie realizate in acelasi aparat si materialele sa provina din acelasi semifabricat si acceasi sarja. Un astfel de studiu a fost realizat de Karimi si Heuze [48] pe bronzurile manganoase si concluziile au adus multe noutati fata de cele

Tab. 3.1 Compozitia chimica

Material	Elemente componente $i, < \%$										$A/\Sigma$ impuritati				
	C	Mn	Si	P	S	Cr	Ni	Fe	Ti	Mn	Cu	A/	Nb	Zn	Sn
Olc 15	0,15	0,5	0,12	0,04	0,03	-	-	99,16	-	-	-	-	-	-	-
* Olc 370-3K	0,17	0,47	0,22	0,06	0,06	-	-	99,02	-	-	-	-	-	-	-
Olt 500-3	0,36	0,7	0,32	-	-	-	-	98,62	-	-	-	-	-	-	-
* Fgn 450-5	3,1	0,8	3,1	-	0,018	-	-	86,124	-	-	-	-	-	-	6,79 [117]
* 33 Mn Cr 11	0,33	0,6	0,27	-	1,1	-	97,48	-	0,22	-	-	-	-	-	-
41 Mo Cr 11	0,41	0,6	0,27	-	1,1	-	97,4	-	0,22	-	-	-	-	-	-
* 40 Cr 12	0,445	0,561	0,28	-	0,009	0,94	-	97,765	-	-	-	-	-	-	-
* 18 Mn Cr Ni 13	0,18	0,772	0,2	-	1,14	1,23	96,248	0,23	-	-	-	-	-	-	-
* Carbon 1 RNR	0,4	1,1	0,6	-	0,04	0,6	0,14	96,77	-	0,15	0,3	-	-	-	-
* D-32-1	0,18	12,5	2,5	0,04	-	0,2	0,4	83,71	-	0,08	0,35	0,04	-	-	-
* Inox III RNR	0,12	1,0	0,6	-	1,5	2,0	79,58	-	0,2	1,5	-	-	-	-	-
* Tot curmormn Ni Cr 165-A	0,07	1,72	0,49	0,07	0,019	16,5	3,8	74,937	-	0,37	1,61	-	0,4	-	-
* Tot curmormn Ni Cr 185-TT	0,09	2,0	0,58	0,014	0,003	18,57	3,91	72,883	0,11	0,16	1,19	-	-	-	-
* 20 Cr 130	0,15	0,6	0,7	0,035	0,003	13	0,6	84,885	-	-	-	-	-	-	-
* 2 H 13	0,15	0,6	0,7	0,035	0,003	13	0,6	84,885	-	-	-	-	-	-	-
OH 12 NDL	0,1	0,4	0,3	0,085	0,024	12,77	1,25	83,35	-	0,9	-	-	-	-	-
Inox austi-ferit H442-15	0,1	3,45	0,32	0,024	0,07	19,77	3,4	70,996	-	1,89	-	-	-	-	-
* Cu Ni Al III RNR	-	3,5	-	-	-	4,5	4	-	-	77,87	9	-	1,0	0,1	0,0396 [18]
* Cu Ni Al I RNR	-	3,5	-	-	-	1,0	2	-	-	60	2,5	-	2,9	1,5	0,576 [18]
* Al omegă	-	-	-	-	-	-	-	-	-	70	-	-	3,0	-	-

obtinute prin compararea cu materialele din alte clase de calitate, asa cum procedeaza Garcia [33], Hammitt [40] si Hobbs [41].

Mentionez, ca pentru unele materiale rezistenta mecanica la rupere Rm, limita de curgere Rp,2 si compozitia chimica au fost extrase din STAS-urile sau literatura de specialitate indicate ca bibliografie. La toate materialele, duritatea s-a determinat cu microduriometrul Rockwel tip KMT3, cu sarcina de 509Kgf, in Laboratorul de Studiu Materialelor.

Pentru materialele notate cu "\*" compozitia chimica s-a determinat in Laboratorul de Analize Chimice al "S.C. Electrotimis S.A." Deoarece, otelul naval de inalta rezistenta D32 nu a prezentat compozitia chimica prescrisa de normele RNR [15], Tab.3.1, (cantitatea de Mn si Si sunt cu mult peste limitele admisibile: Mn = 0,9 ÷ 1,6 % si Si = 0,1 ÷ 0,5 % [121]) si cum interes prezinta comportarea sa cvitationala s-a denumit D 32-1, pentru diferentiere.

Pentru toate materialele masa specifica  $\rho$  s-a determinat analitic cu relatia:

$$\rho = \sum_{i=1}^n \rho_i c_i \quad \text{kg/dm}^3 \quad (3.1)$$

unde:

$\rho_i$  - masa specifica a componentei i, in kg/dm<sup>3</sup>, Tab.3.2,

$c_i$  - concentratia volumica a componentei i, in procente, Tab.3.1

Structura otelurilor inoxidabile s-a stabilit pe baza diagramei Schaffler [63] fig.3.1, in functie de cantitatea de nichel echivalent (Ni)e si crom echivalent (Cr)e, Tab.3.3. Echivalentul de nichel si crom s-a determinat cu relatiiile [63]:

$$(Ni)e = \%Ni + 30 \times \%C + 0,5 \times \%Mn \quad (3.2)$$

$$(Cr)e = \%Cr + \%Mo + 1,5 \times \%Si + 0,5 \times \%Nb + 2 \times \%Ti \quad (3.3)$$

Pentru nici unul din materialele prezentate nu s-a efectuat analiza metalografica pentru determinarea cantitatii constituentilor structurali, si defectoscopia, pentru determinarea defectelor interne, din lipsa aparaturii necesare.

### 3.2.2 Rezultate experimentale

#### 3.2.2.1 Curbe caracteristice

Toate incercarile s-au realizat la  $f = 7000 \pm 3\%$  Hz,  $A = 47 \mu m$  si  $t = 20 \pm 1^\circ C$  indiferent de natura lichidului.

Pentru fiecare proba, viteza de eroziune cavitationala, aferenta perioadelor de atac cavitational, s-a determinat cu relatia:

$$v_f = \frac{\Delta m}{\rho A t} \quad \text{kg/m}^3 \quad (3.4)$$

unde:

$j = 1 \dots 3$  (max5) - numarul de probe testate, prelevate din acelasi material (semifabricat, sarja, piesa),

$\Delta m_j$  - masa de material erodata in intervalul de timp  $\Delta t$ , in Kg,

$t$  = durata unei perioade de atac cavitational, in min,

$\rho$  - masa specifica a materialului, in Kg/mm<sup>3</sup>.

In fig.3.2 si 3.3 se prezinta curbele  $v_j(t)$  pentru otelurile D 32-1 si inox III-RNR, utilizate in constructia elicelor navale [15,16].

Deoarece, majoritatea cercetatorilor [21, 29, 30, 40, 43, 46, 52, 53, 67, 69, 88, 102] compara materialele pe baza valorilor medii ale parametrilor caracteristici eroziunii cavitationale, respectiv curbelor vitezelor de eroziune cavitationala medii, in

Tab.3.2 Proprietatile fizico-mecanice ale materialelor si lichideelor de lucru, tip semifabricat

Grupa	Material	$\rho_l$ Kg dm <sup>3</sup>	$\rho$ Kg dm <sup>3</sup>	Rm N mm <sup>2</sup>	HB daN mm <sup>2</sup>	$R_{p0.2}$ N mm <sup>2</sup>	Structura rezidua semifabri cat	Structura	Biblio grafie
Fante si oteluri cu construc. ptr. oteluri diluite	DLC 15	1	7,858	420	146	230	L	90%F+10%P	[64, 133 115, 126]
	OT 500 - 3	1	7,885	500	138	270	T	60%F+40%P	[64, 114, 76, 123]
	DL 370 - 3K	1	7,837	370	106	230	L	85%F+15%P	[64, 76, 14 115, 122]
	Fgn 450 - 5	1,02	7,2	450	190	-	T	70%F+ 30%(F+G)	[17, 63, 115 121]
	33 Mo Cr 11	1	7,835	800	217	780	L	F+P+B	[64, 20, 115, 125, 133]
	41 Mo Cr 11	1	7,831	1075	217	880	L	B+M	[20, 64, 115 125, 133]
	40 Cr 10	1	7,824	808	238	790	L	B+M	[64, 81, 114 115]
	18 Mo Cr Ni 13	1	7,861	890	233	820	L	F+P+B	[64, 80, 114 115]
	Carbon I RNR	1,02	7,829	500	156	280	L	B+M	[9, 114, 115, 121]
	D 32 - 1	1,02	7,713	530	159	315	L	A Austenit	[15, 63, 114, 121]
Oteluri inoxidabile	Inox III RNR	1,02	7,769	550	159	380	L	50% M+ 50% F	[16, 63, 121]
	T07CuMoMnNiCr165-4	1	7,786	830	204	600	T	40% A+60% M+ +20% F	[63, 127]
	T09CuMoMnNiCr165-T	1	7,761	775	190	630	T	60% A+10% M+ +30% F	[63, 127]
	20 Cr 130	1	7,66	600	170	300	L	34% A+66%	[63, 134]
	2H13K=>20Cr130	1	7,66	600	170	300	L	34% M+66% F	[63, 133]
	OH 12 NDL	1	7,81	650	225	400	T	74% M+26% F	[63, 134]
	Inox austenito-feritica H4142-15	1	7,783	610	185	338	T	45% A+5% M+ +50% F	[63, 134]
	CUNiAI II RNR	1,02	8,278	590	165,5	245	T	Sol. sol. Y	[18, 115, 121]
Baze aluminiu	CUNiAI I RNR	1,02	8,183	440	138	175	T	Sol. sol. Y	[18, 115, 121]
	Alumina	1,02	8,43	345	80	140	T	Sol. sol. G	[115, 121 128]

L - laminat, F - ferită ; P - perlită ; G - grafit ;

T - turnat ; M - martensită ; B - bainită ; A - austenită

Tab. 3.3 Cantitatile procentuale de (Ni)e si (Cr)e pentru oteluri inoxidabile

Material	(Ni)e	(Cr)e
Inox III RNR	6,1	16,1
T07CuMoMnNiCr165-Nb	6,76	18,4
T09CuMoMnNiCr185-Ti	7,61	19,81
20 Cr 130 ; 2H13	5,4	14,05
0H 12 NDL	4,45	13,2
H4142-15 Inox austenito-feritica	8,125	20,23

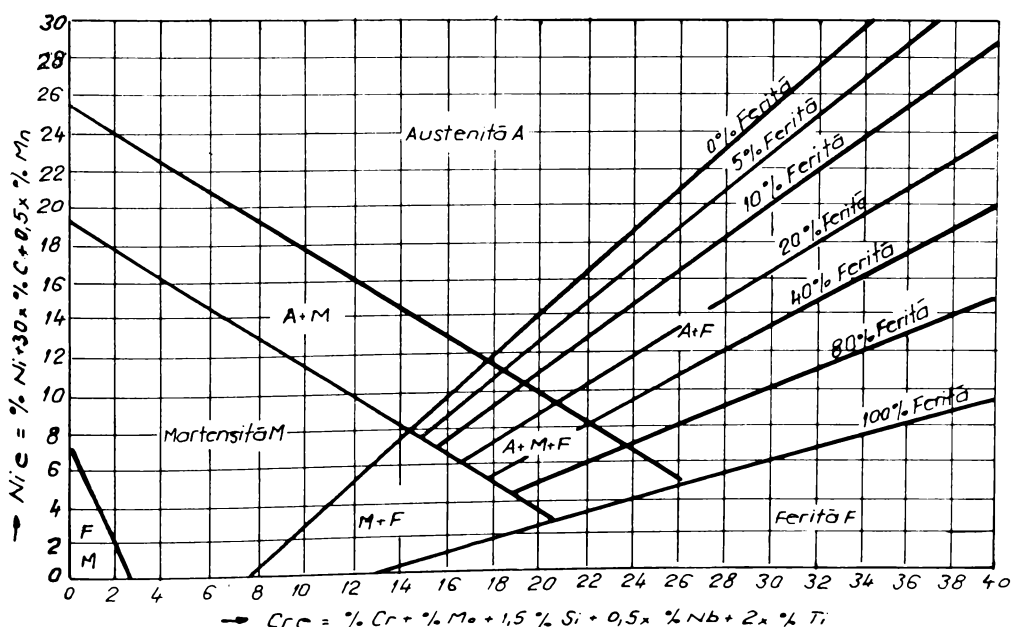


Fig. 3.1 Structura otelurilor inoxidabile  
Diagrama Schäffler [63]

figurile mentionate sunt construite si aceste curbe,  $v(t)$ . Valorile vitezelor de eroziune cavitationala medii, corespunzatoare perioadelor de atac cavitational, sunt determinate cu relatia:

$$v = \frac{\sum_{j=1}^n v_j}{n} \quad < \frac{mm^3}{min} > \quad (3.5)$$

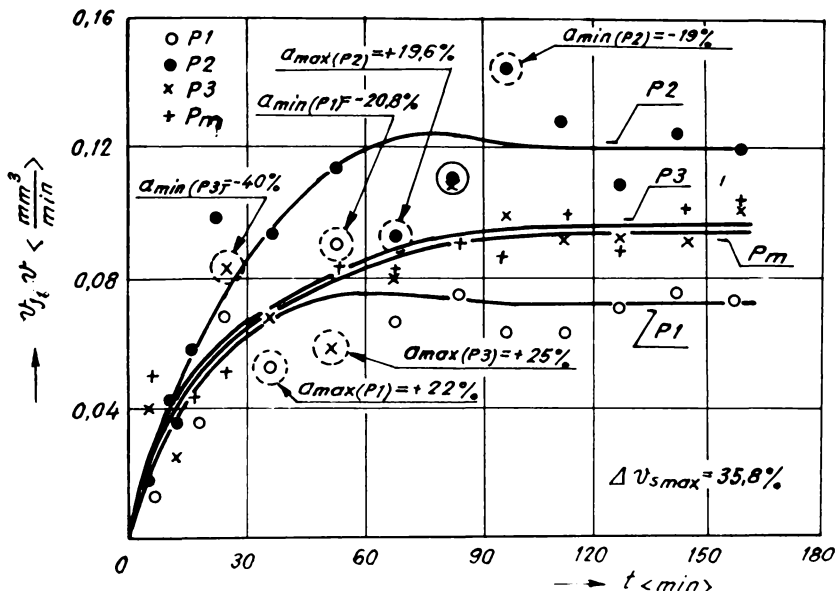


Fig. 3.2 Variatia vitezei de eroziune cavitationala cu timpul de atac (D 32-1, T1)

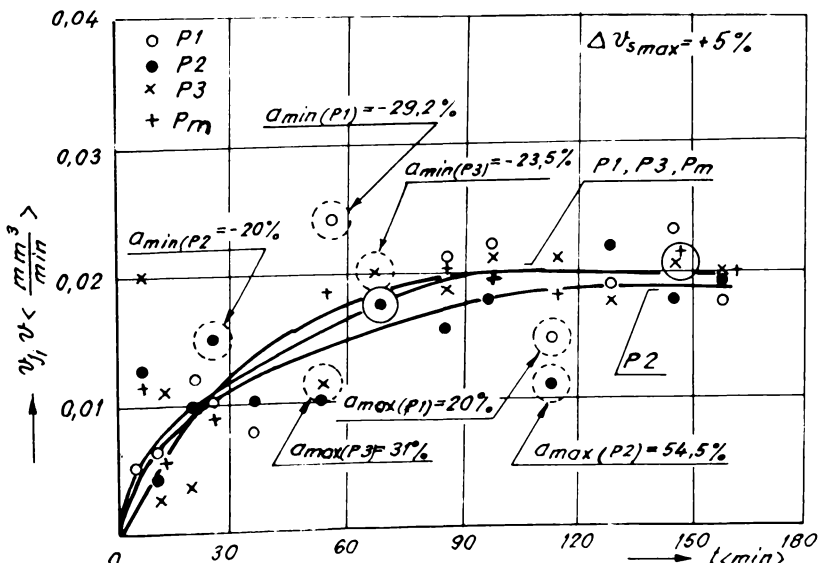


Fig. 3.3 Variatia vitezei de eroziune cavitationala cu timpul de atac (Inox III-RNR, T1)

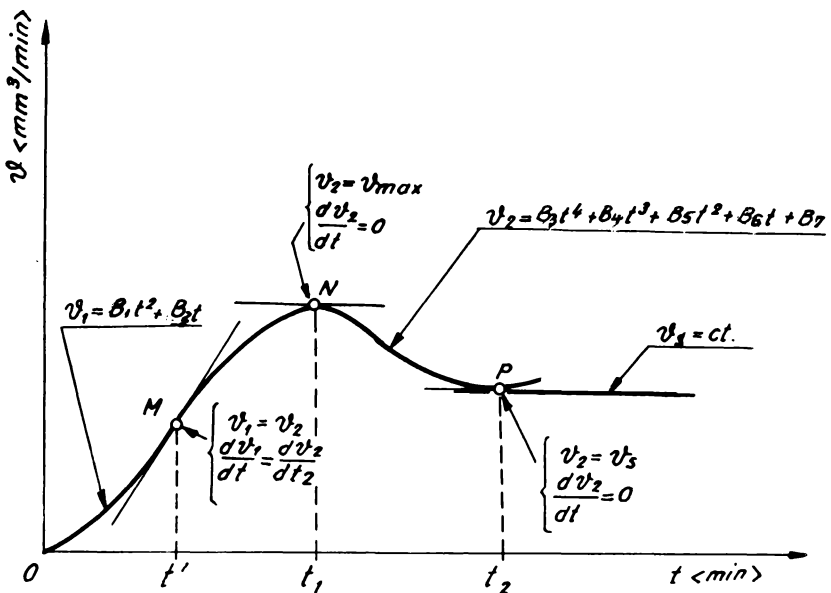


Fig.3.4 Descrierea curbei experimentale a vitezei de eroziune cavitationala

Constructia grafica s-a realizat cu calculatorul, utilizand 3 curbe de ecuatii diferite, astfel:

- in perioada  $0 - t'$  ecuatie curbei este:

- pentru proba  $P_j$

$$v_{1j} = B_{1j} t^2 + B_{2j} t \quad (3.6)$$

- pentru media probelor  $P_m$

$$v_r = B_r t^2 + B_z t \quad (3.7)$$

- in perioada  $t' - t_2$

- pentru proba  $P_j$

$$v_{2j} = B_{3j} t^4 + B_{4j} t^3 + B_{5j} t^2 + B_{6j} t + B_{7j} \quad (3.8)$$

- pentru media probelor  $P_m$

$$v_2 = B_3 t^4 + B_4 t^3 + B_5 t^2 + B_6 t + B_7 \quad (3.9)$$

- in perioada  $t_2 - \tau$  ( $\tau = 165$  min) aproximarea este data de o dreapta orizontala de ecuatie:

- pentru proba Pj

$$v_{sj} = ct. \quad (3.10)$$

- pentru media probelor Pm

$$v_s = ct. \quad (3.11)$$

tangenta la curba  $v_j(t)$  - pentru fiecare probă; respectiv  $v(t)$  - pentru curba medie.

In fig. 3.4 se exemplifica modul de constructie grafica a curbelor  $v_j(t)$  si  $v(t)$  cu conditiile necesare, numai pentru curba medie. S-a recurs la o descriere de acest tip din dorinta aproximarii cat mai fidele a punctelor experimentale ordonate statistic. Curba, astfel obtinuta, o vom denumi **curba experimentală**.

Coefficientii  $B_{1j}$ ,  $B_{2j}$ ,  $B_1$ , si  $B_2$  sunt determinati din conditiile de racordare a curbelor definite de ecuatii (3.6) si (3.8) respectiv (3.7) si (3.9), la timpul  $t'$ :

$$\begin{cases} \frac{dv_{1j}}{dt} = \frac{dv_{2j}}{dt} \\ v_{1j} = v_{2j} \end{cases} \quad - \text{pentru proba Pj} \quad (3.12)$$

$$\begin{cases} \frac{dv_1}{dt} = \frac{dv_2}{dt} \\ v_1 = v_2 \end{cases} \quad - \text{pentru media probelor Pm} \quad (3.13)$$

Valoarea  $v_s$  este determinata din conditia:

$$t = t_2 \Rightarrow \begin{cases} \frac{dv_{2j}}{dt} = 0 \\ v_{2j} = v_{sj} \end{cases} \quad - \text{pentru proba Pj} \quad (3.14)$$

$$t = t_2 \Rightarrow \begin{cases} \frac{dv_2}{dt} = 0 \\ v_2 = v_s \end{cases} \quad - \text{pentru media probelor Pm} \quad (3.15)$$

Introducerea timpului  $t_2$ , ca parametru caracteristic al curbelor  $v_j(t)$  si  $v(t)$ , s-a facut pe baza analizei mai multor curbe, prezентate in literatura. Spre exemplificare, in Tab.3.4 sunt afisati timpii  $t_1$  si  $t_2$  extrasi din curbele  $v(t)$ , ce caracterizeaza comportarea cavitationala a materialelor citate. Se constata ca timpul de la care viteza incepe sa se stabilizeze se admite a fi  $t_2 = \max 3t_1$ .

In cazul materialelor pentru care viteza de eroziune cavitationala tinde spre stabilizare la  $+\infty$ , asa cum arata Franc [30a], pentru compararea comportarii cavitationale a materialelor, dupa viteza de eroziune, se va accepta ca stabilizarea incepe de la  $t_2 = 3t_1$ . In acelasi tabel s-a afisat si durata totala a atacului cavitational. Aceasta durata se incadreaza in limitele recomandate de normele ASTM [120] (2 - 3 (5) ore pentru oteluri obisnuite si 8 (30) ore pentru oteluri foarte rezistente, de tip Stellite [32, 33]).

Dupa intervalul de timp afectat vitezei de stabilizare  $v_s$ , Tab 3.4, se disting doua cazuri: unul redus cu  $-t_2 < t_2$  (Alama [106], fonta [91], Nichel 20.1 [91] si 41MoCr11 [133]) si unul lung cu  $t_2 < \tau - t_2 < 5t_2$  (25LII [107], E04 [107], OLC45 [106] si 33MoCr11 [133]). Extinderea acestui interval depinde atat de material cat si de aparat. In fiecare din cele doua cazuri exista materiale cu comportari cavitationale bune (25LII, OLC45, 33MoCr11, 41MoCr11, Fonta) si slabе (E04, Alama, Nichel 20.1)

Toti autorii, mentionati in Tab.3.4, sisteaza testele daca in intervalul  $\tau - t_2$  se obtin cel putin trei valori ale vitezei de eroziune cavitationala apropriate de  $v_s$ .

Obtinerea unui interval  $\tau - t_2 = 5t_2$  pentru E04 este o exceptie. Diferenta este determinata de comportarea cavitationala a otelului care se stabilizeaza foarte repede (dupa 20 minute) si obligativitatea respectarii duratiei minime de testare (2 ore), conform normelor ASTM[120].

Pe baza datelor din Tab.3.4 rezulta ca intervalul  $\tau - t_2$  minim, aferent vitezei de stabilizare  $v_s$ , este  $0,3t_2$ . Acest interval este necesar obtinerii rezultatelor care sa convinga stabilizarea eroziunii cavitationale.

Cum materialele prezentate in Tab. 3.4 sunt testate in aparate vibratorii cu parametrii functionali diferiti se poate admite ca interval aferent vitezei de stabilizare

$$-t_2 = (0,3 - 3)t_2.$$

Pentru materialele testate in LMHT de Sisak s.a. [133] (33MoCr11 si 41MoCr11) si altele testate de Kuzman s.a. [52, 53, 54] intervalul, in care viteza de eroziune cavitationala este stabilizata se incadreaza in limitele mentionate. Deci  $t_{max} = \tau = 165$  minute poate fi acceptat ca durata totala maxima pentru atacul cavitational realizat in aparatul vibrator magnetostrictiv T1.

Valorile coeficientilor  $B_{1j}, B_{2j}, B_1, B_2, B_{3j} \dots B_{7j}, B_3 \dots B_7$ , sunt afisate in Tab.3.5' si 3.6'

Descrierea curbelor  $v_j(t)$  si  $v(t)$  sub forma mentionata permite realizarea unor discutii, privind comportarea materialelor la eroziune cavitationala. Alura curbelor si valorile maxime si de stabilizare, ale vitezelor de eroziune cavitationala, asigura, de asemenea, compararea materialelor dupa rezistenta la distrugere cavitationala.

Valorile marimilor statistice, caracteristice preciziei de aproximare a punctelor experimentale, Tab. 3.5 si 3.6, sunt determinate cu relatiiile:

- abaterea standard empirica (pentru zona de stabilizare  $t_2 - \tau$ ):

$$\left( \tilde{\sigma}_{n-j} \right)_j = \pm \sqrt{\frac{\sum_{i=1}^p (\sigma_{ji} - \bar{\sigma}_j)^2}{n-1}} \quad - \text{pentru proba } P_j \quad (3.16)$$

$$\tilde{\sigma}_{n-1} = \pm \sqrt{\frac{\sum_{i=1}^p (\sigma_i - \bar{\sigma})^2}{n-1}} \quad - \text{pentru media probelor } P_m \quad (3.17)$$

unde:

$$\bar{\sigma}_j = \frac{1}{p} \sum_{i=1}^p \sigma_{ji} \quad - \text{abaterea medie a probei } P_j \quad (3.18)$$

$$\bar{\sigma} = \frac{1}{p} \sum_{i=1}^p \sigma_i \quad - \text{abaterea medie a mediei probelor } P_m \quad (3.19)$$

- abaterile maxime si minime

Tab.3.4 Timpi caracteristici curbelor  $v(t)$

<i>Material (autorul)</i>	$t_1$ min	$t_2$ min	$\tau$ min	$\frac{t_1}{t_2}$	$\frac{\tau-t_2}{t_2}$	Biblio- grafie
25 II (K-Steller)	30	65	180	2,166	1,77	[107]
E04 (K-Steller)	10	20	120	2	5	[107]
Alamă (R. Martinella)	85	135	170	1,588	0,3	[106]
DLC 45 (J. Noskiewič)	65	125	500	1,92,	3	[106]
Fontă (Thiruvengadom)	30	90	140	3	0,56	[91]
Nichel 20 (Thiruvengadom)	40	120	180	3	0,5	[91]
33 MoCr11 (Sisak)	37,5	67,5	165	1,8	1,44	[133]
41 MoCr11 (Sisak)	37,5	97,5	165	2,6	0,69	[133]

Tab. 3.5 Parametrii caracteristici curbelor de aproximatie a punctelor experimentale:D32-1

<i>Probă</i>	$v_{max,edi}$ $v_{max,real}$	$v_{max,j}$ $v_{max}$	$v_{s,j}$ $v_s$	$t'$	$t_1$ min.	$t_2$ min.	$\sigma_j^{max}$ $\sigma_{max}$	$\sigma_j^{min}$ $\sigma_{min}$	$(\bar{v}_{n-1})_j$ $\bar{v}_{n-1}$	$\bar{\sigma}:\bar{\sigma}_j$
	$mm^3/min$	$mm^3/min$	$mm^3/min$				%	%	$mm^3/min$	$mm^3/min$
P1	0,093	0,077	0,07	7,5	67,5	97,5	+22	-20,8	±0,073	+0,002
P2	0,145	0,124	0,12	7,5	82,5	82,5	+19,6	-19	±0,0033	-0,003
P3	0,11	0,098	0,098	12,5	82,5	82,5	+25	-40	±0,0042	+0,002
$P_m$	0,12	0,095	0,095	7,5	82,5	82,5	+39,4	-9,8	±0,0052	-0,003

Tab.3.6 Parametrii caracteristici curbelor de aproximatie a punctelor experimentale: Inox III-RNR

<i>Probă</i>	$v_{max,edi}$ $v_{max,real}$	$v_{max,j}$ $v_{max}$	$v_{s,j}$ $v_s$	$t'$	$t_1$ min.	$t_2$ min.	$\sigma_j^{max}$ $\sigma_{max}$	$\sigma_j^{min}$ $\sigma_{min}$	$(\bar{v}_{n-1})_j$ $\bar{v}_{n-1}$	$\bar{\sigma}:\bar{\sigma}_j$
	$mm^3/min$	$mm^3/min$	$mm^3/min$				%	%	$mm^3/min$	$mm^3/min$
P1	0,024	0,02	0,02	7,5	82,5	82,5	+20	-29,2	0,0026	-0,002
P2	0,022	0,019	0,019	7,5	112,5	112,5	+54,5	-20	±0,0036	+0,002
P3	0,021	0,02	0,02	25	82,5	82,5	+31	-23,5	0,023	+0,002
$P_m$	0,026	0,02	0,02	25	82,5	82,5	+33,2	-21,4	±0,0031	-0,002

Tab.3.5' Coeficientii ecuatilor ce descriu curbele  $v_j(t)$ 

Material	$Nr.$ $\rho_{b\bar{a}}$ $P_j$	$B_1 j$ $mm^3/min^3$	$B_2 j$ $mm^3/min^2$	$B_3 j$ $mm^3/min^5$	$B_4 j$ $mm^3/min^4$	$B_5 j$ $mm^3/min^3$	$B_6 j$ $mm^3/min^2$	$B_7 j$ $mm^3/min$
$D - 32 - 1$	$P_1$ $5,335 \cdot 10^{-5}$	$0,002$	$-6,008 \cdot 10^{-10}$	$3,563 \cdot 10^{-7}$	$-6,201 \cdot 10^{-5}$	$3,941 \cdot 10^{-3}$	$-6,196 \cdot 10^{-3}$	
	$P_2$ $-4,168 \cdot 10^{-5}$	$0,004$	$0$	$1,362 \cdot 10^{-7}$	$-4,1007 \cdot 10^{-5}$	$3,958 \cdot 10^{-3}$	$1,5229 \cdot 10^{-4}$	
	$P_3$ $-2,167 \cdot 10^{-4}$	$0,007$	$-6,168 \cdot 10^{-11}$	$3,543 \cdot 10^{-8}$	$-9,918 \cdot 10^{-6}$	$1,338 \cdot 10^{-3}$	$3,244 \cdot 10^{-2}$	
$D_{tel} / Inox \# RNR$	$P_1$ $-4,65 \cdot 10^{-5}$	$0,001$	$0$	$8,926 \cdot 10^{-9}$	$-3,568 \cdot 10^{-6}$	$4,469 \cdot 10^{-4}$	$2,422 \cdot 10^{-3}$	
	$P_2$ $-1,553 \cdot 10^{-4}$	$0,002$	$0$	$-1,144 \cdot 10^{-9}$	$7,385 \cdot 10^{-8}$	$8,199 \cdot 10^{-5}$	$8,739 \cdot 10^{-3}$	
	$P_3$ $-1,61 \cdot 10^{-5}$	$6,848 \cdot 10^{-4}$	$9,421 \cdot 10^{-10}$	$-3,279 \cdot 10^{-7}$	$3,723 \cdot 10^{-5}$	$-1,426 \cdot 10^{-3}$	$2,419 \cdot 10^{-2}$	

Tab.3.6' Coeficientii ecuatilor ce descriu curbele  $v(t)$ 

Material	$B_1$ $mm^3/min^3$	$B_2$ $mm^3/min^2$	$B_3$ $mm^3/min^5$	$B_4$ $mm^3/min^4$	$B_5$ $mm^3/min^3$	$B_6$ $mm^3/min^2$	$B_7$ $mm^3/min$
$D - 32 - 1$	$-7,786 \cdot 10^{-6}$	$0,002$	$0$	$9,0457 \cdot 10^{-8}$	$-2,77524 \cdot 10^{-4}$	$2,8184 \cdot 10^{-3}$	$-3,8309 \cdot 10^{-3}$
$D_{tel} / Inox \# RNR$	$-6,939 \cdot 10^{-6}$	$4,62 \cdot 10^{-4}$	$0$	$-7,6021 \cdot 10^{-9}$	$9,4687 \cdot 10^{-8}$	$2,5641 \cdot 10^{-4}$	$1,5312 \cdot 10^{-3}$

$$\frac{\sigma_{j,max}}{\sigma_{min}} = \frac{v_j - v_{j,min,max}}{v_j} \cdot 100 \quad - \text{pentru proba P}_j \quad (3.20)$$

$$\frac{\sigma_{max}}{\sigma_{min}} = \frac{v - v_{i,min,max}}{v} \cdot 100 \quad \text{pentru media probelor P}_m \quad (3.21)$$

unde

$v_j, v_i$  - viteza de eroziune cavitationala obtinuta experimental, pentru proba  $P_j$  respectiv media probelor  $P_m$ , in  $\text{mm}^3/\text{min}$ ,

$v$  - viteza de eroziune cavitationala, data de curba de aproximatie a probei  $P_j$  respectiv  $P_m$ , corespunzatoare aceluiasi timp la care se considera  $v_j$  respectiv  $v_i$ , in  $\text{mm}^3/\text{min}$ .

Dispersia punctelor experimentale si evolutia curbelor din fig.3.5 si 3.6, evidențiază comportările cavitationale, diferite, ale probelor testate. Cauzele acestor evoluții și distribuții, ale punctelor experimentale, fata de aceste curbe cu abateri relative de pana la  $|a_j|_{max} = 40\%$  pentru D 32-1 (proba  $P_3$ ) respectiv  $a_j|_{max} = 54,5\%$  pentru Inox III-RNR (proba  $P_2$ ), sunt determinate de:

1. - material, prin: proprietățile fizico -mecanice, concentrația elementelor chimice componente, raportul constituentilor strucurali, microstructura, etc.[63, 35a, 115],

2. - aparatul vibrator, prin: variația parametrilor funcționali A, f și temperatură lichidului de lucru, chiar și pentru perioade scurte, în limitele admise de standardul american ASTM [120].

Din aceste motive, toți cercetatorii compara materialele, după rezistența la eroziune cavitatională, pe baza vitezelor de eroziune cavitatională medii,  $v(t)$ , sau valorilor medii ale celorlalți parametri caracteristici, prezentati in Cap.1.

In continuare se prezinta curbele  $v(t)$  pe grupe de materiale, astfel:

- 1.- oteluri nealiate și fonte, fig. 3.5,
- 2.- oteluri aliate pentru construcții, fig. 3.6,
- 3.- oteluri inoxidabile, fig. 3.7,
- 4.- bronzuri și alame navale, fig.3.8.

In fig. 3.9 și 3.10 sunt prezentate aspecte ale suprafetelor probelor, testate in aparatul vibrator T1, la inceputul si sfarsitul perioadei totale de atac cavitational.

Fotografiile evidențiază distrugerea realizată după 165 minute de atac cavitational.

In fig.3.10 sunt prezentate distrugerile realizate in suprafetele protejate prin rasini epoxidice si vopsele. Analiza acestor distrugeri, pe baza curbelor caracteristice sau valorilor parametrilor caracteristici eroziunii cavitationale, nu s-a realizat datorita rezultatelor nesatisfacatoare, obtinute. Prezentarea distrugerilor in aceste suprafete are drept scop evidențierea capacitatii distructive a aparatului si modului de producere a ruperii; cavernele realizate, in special in rasinile epoxidice, sunt elocvente, duratele de atac nedepasind 15 minute [78, 128].

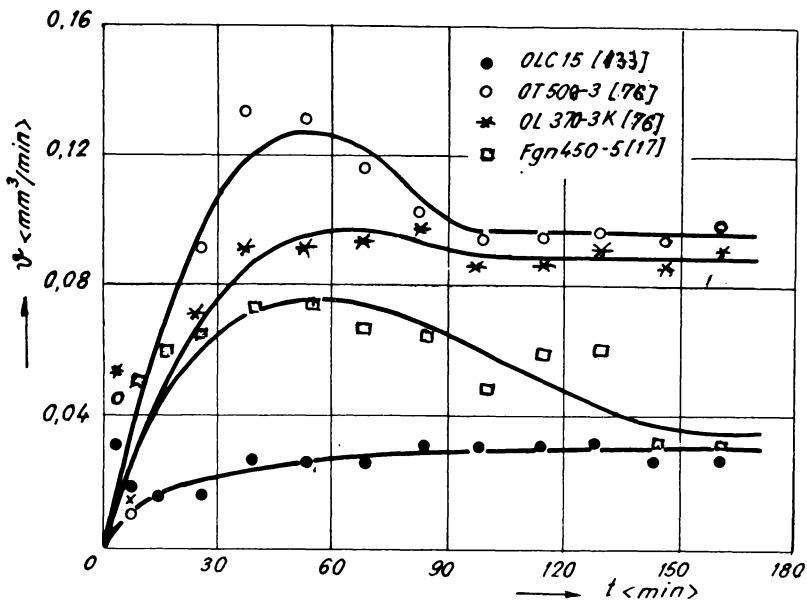


Fig. 3.5 Variatia vitezei de eroziune cavitationala cu timpul de atac (oteluri carbon si fonte - T1)

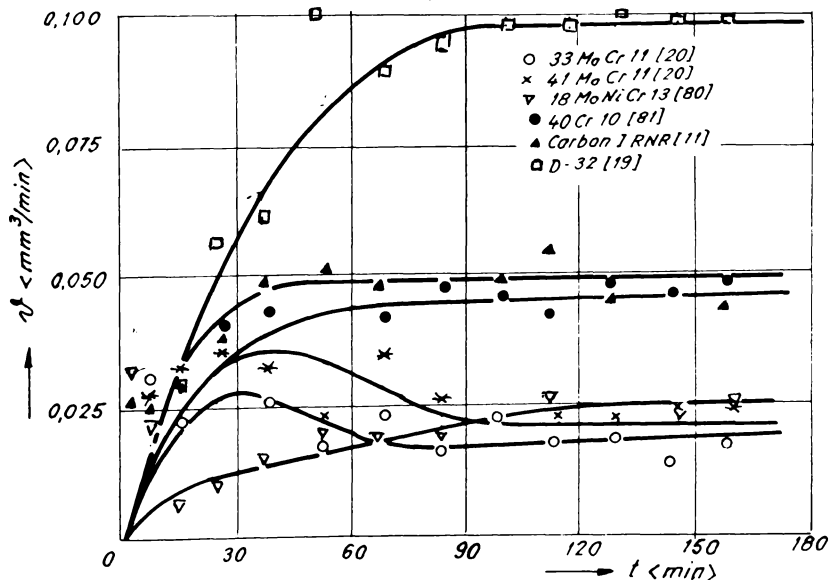


Fig. 3.6 Variatia vitezei de eroziune cavitationala cu timpul de atac (oteluri aliate pentru constructii - T1)

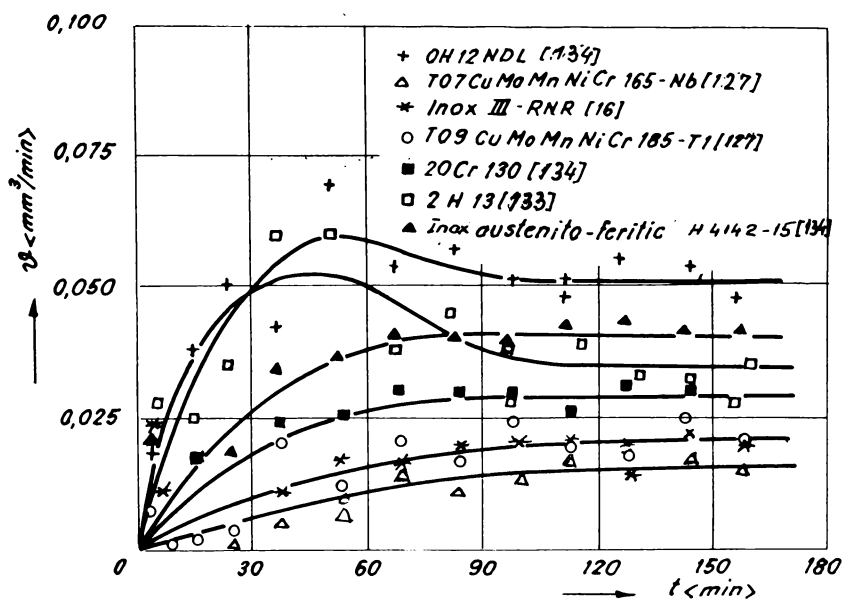


Fig. 3.7 Variatia vitezei de eroziune cavitationala cu timpul de atac (oteluri inoxidabile - T1)

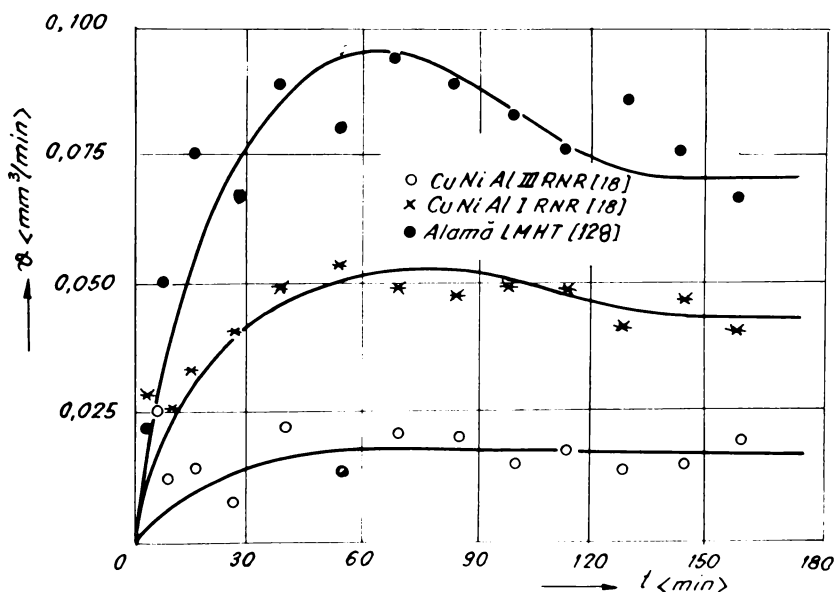


Fig. 3.8 Variatia vitezei de eroziune cavitationala cu timpul de atac (bronzuri si alame navale - T1)

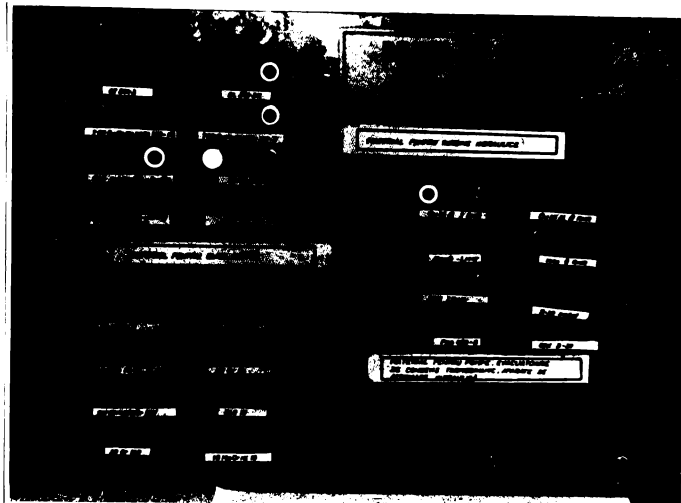


Fig.3.9 Probe distruse prin eroziune cavitationala  
in aparatul vibrator magnetostriativ T1 [76,133,134]

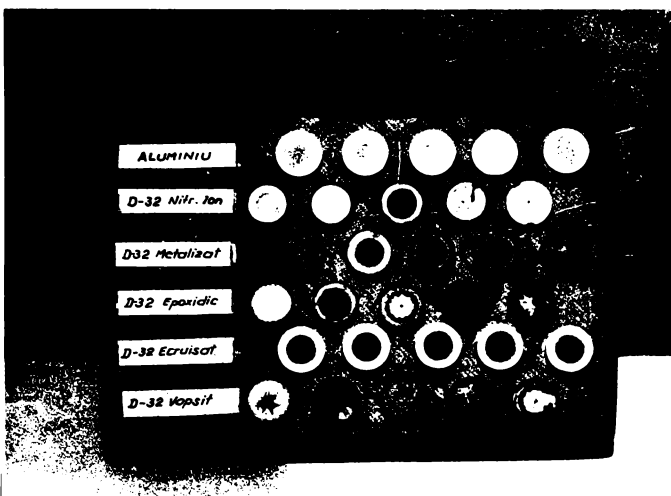


Fig.3.10 Suprafete protejate prin diferite metode  
si distruse cavitational in aparatul  
vibrator magnetostriativ T1

Coefficientii  $B_1, B_2, \dots, B_7$  din relatiile (3.7) si (3.9) ce descriu curbele vitezelor de eroziune cavitationala  $v(t)$ , determinati pe baza conditiilor precizate anterior, sunt afisati in Tab.3.7, iar marimile statistice si timpii caracteristici acestor curbe sunt prezentati in Tab.3.8. Pe baza timpilor  $t_1$  si  $t_2$ , Tab.3.8, de atingere a valorilor maxime si de stabilizare ale vitezelor de eroziune cavitationala, s-au cunstruit histogramele de frecventa din fig. 3.11 si 3.12. Acestea ofera concluzii privind legatura dintre capacitatea distructiva a apparatului, rezistenta cavitationala si ceilalti factori legati de calitatea materialului (structura, elemente chimice componente, tehnologie de fabricatie si proprietati fizico - mecanice) si permit stabilirea timpilor de referinta pentru cele patru grupe de materiale.

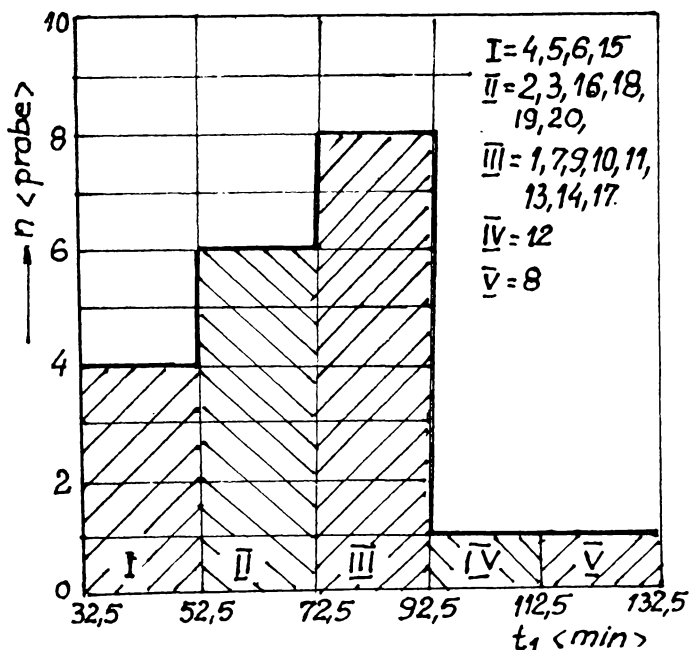


Fig. 3.11 Frecventa timpului  $t_1$  de atingere a vitezei maxime,  $v_{max}$

Tab.3.7 Coeficientii ecuatilor ce definesc curbele  $V(t)$ -T1

Materie/ grupa	$\beta_1$ $\text{mm}^3/\text{min}^3$	$\beta_2$ $\text{mm}^3/\text{min}^2$	$\beta_3$ $\text{mm}^3/\text{min}^5$	$\beta_4$ $\text{mm}^3/\text{min}^4$	$\beta_5$ $\text{mm}^3/\text{min}^3$	$\beta_6$ $\text{mm}^3/\text{min}^2$	$\beta_7$ $\text{mm}^3/\text{min}$
DL C 15	-6,133·10 <sup>-2</sup>	0,002	0	-4,222·10 <sup>-7</sup>	5,8883·10 <sup>-7</sup>	2,7263·10 <sup>-4</sup>	1,363·10 <sup>-2</sup>
OT 500 - 3	-4,538·10 <sup>-5</sup>	0,005	0	2,9477·10 <sup>-7</sup>	-8,089·10 <sup>-5</sup>	6,127·10 <sup>-3</sup>	-1,299·10 <sup>-2</sup>
DL 370 - 3 K	-3,403·10 <sup>-5</sup>	0,004	0	2,0484·10 <sup>-7</sup>	5,1823·10 <sup>-5</sup>	4,0936·10 <sup>-3</sup>	-4,7188·10 <sup>-3</sup>
F 90 450 - 5	38,331	-574,96	0	8,518·10 <sup>-8</sup>	-2,7154·10 <sup>-5</sup>	2,2499·10 <sup>-3</sup>	2,1586·10 <sup>-2</sup>
33 Mn Cr 11	-4,01·10 <sup>-5</sup>	0,002	0	2,8327·10 <sup>-7</sup>	-4,2405·10 <sup>-5</sup>	2,0142·10 <sup>-3</sup>	7,1780·10 <sup>-2</sup>
41 Mn Cr 11	-4,653·10 <sup>-5</sup>	0,002	0	1,4746·10 <sup>-7</sup>	-3,0853·10 <sup>-5</sup>	1,7705·10 <sup>-3</sup>	4,3023·10 <sup>-3</sup>
40 Cr 10	-2,305·10 <sup>-5</sup>	0,003	-1,0357·10 <sup>-10</sup>	7,6391·10 <sup>-8</sup>	-1,3556·10 <sup>-5</sup>	1,0426·10 <sup>-3</sup>	1,4778·10 <sup>-2</sup>
18 Mn Cr Ni 13	-6,628·10 <sup>-5</sup>	0,002	0	-1,6768·10 <sup>-8</sup>	3,9037·10 <sup>-6</sup>	-1,5518·10 <sup>-4</sup>	1,3678·10 <sup>-2</sup>
Carbon Cr NR	-6,316·10 <sup>-5</sup>	0,003	0	4,4675·10 <sup>-8</sup>	-1,9223·10 <sup>-5</sup>	1,6321·10 <sup>-3</sup>	1,0276·10 <sup>-2</sup>
D 32 - 1	-7,786·10 <sup>-6</sup>	0,002	0	9,0457·10 <sup>-9</sup>	-2,7324·10 <sup>-4</sup>	2,8484·10 <sup>-3</sup>	-3,8309·10 <sup>-3</sup>
Inox III RNR	-6,939·10 <sup>-6</sup>	0,002	0	-7,6027·10 <sup>-9</sup>	9,4682·10 <sup>-8</sup>	2,5641·10 <sup>-4</sup>	1,5312·10 <sup>-3</sup>
T07CrMoMnNiCr 185-N6	-9,534·10 <sup>-6</sup>	3,566·10 <sup>-4</sup>	9,6755·10 <sup>-11</sup>	-3,9904·10 <sup>-8</sup>	4,6862·10 <sup>-6</sup>	-4,4408·10 <sup>-5</sup>	2,9448·10 <sup>-3</sup>
T09CrMoMnNiCr 165-T7	-4,501·10 <sup>-6</sup>	4,744·10 <sup>-4</sup>	0	6,2602·10 <sup>-9</sup>	2,8881·10 <sup>-8</sup>	4,2813·10 <sup>-4</sup>	4,0506·10 <sup>-4</sup>
20 Cr 130	-1,543·10 <sup>-5</sup>	0,001	0	2,329·10 <sup>-8</sup>	-7,2633·10 <sup>-6</sup>	7,6635·10 <sup>-4</sup>	1,9766·10 <sup>-3</sup>
2 H 13	-8,321·10 <sup>-5</sup>	0,004	0	1,3873·10 <sup>-7</sup>	3,1886·10 <sup>-5</sup>	2,0335·10 <sup>-3</sup>	1,2483·10 <sup>-2</sup>
OH 12 NDL	-1,796·10 <sup>-5</sup>	0,002	0	1,3887·10 <sup>-7</sup>	-3,4649·10 <sup>-5</sup>	2,6322·10 <sup>-3</sup>	2,8768·10 <sup>-3</sup>
Inox aust. feritic 4442 - 15	-7,33·10 <sup>-6</sup>	0,001	0	2,8474·10 <sup>-8</sup>	-9,2008·10 <sup>-6</sup>	1,1175·10 <sup>-3</sup>	3,1371·10 <sup>-3</sup>
CUNi4I III RNR	-4,221·10 <sup>-5</sup>	0,002	0	1,7222·10 <sup>-8</sup>	-4,7862·10 <sup>-6</sup>	3,8669·10 <sup>-4</sup>	8,5359·10 <sup>-3</sup>
CUNi4I I RNR	-6,935·10 <sup>-5</sup>	0,003	0	3,8933·10 <sup>-8</sup>	1,3107·10 <sup>-5</sup>	1,2917·10 <sup>-2</sup>	
A10mo	3,339·10 <sup>-6</sup>	0,004	0	1,0638·10 <sup>-7</sup>	3,215·10 <sup>-5</sup>	2,7645·10 <sup>-3</sup>	2,1672·10 <sup>-2</sup>

Tab.3.8 Marimi statisticice si tempi caracteristici - T1

Nr ct	Material Grupa	Perioada <min>						$t'$ min.	$t_1$ min.	$t_2$ min.			
		$t' - t_2$		$t_2 - 165$		$\alpha_{max}$ $mm^3/min$	$\alpha_{min}$ $mm^3/min$						
		$\alpha_{max}$ $mm^3/min$	$\alpha_{min}$ $mm^3/min$	$\alpha_{max}$ $mm^3/min$	$\alpha_{min}$ $mm^3/min$								
1	DL Cr 15	+0,005	-0,003	+0,002	-0,003	$\pm 0,0018$	15	82,5	82,5	[133]			
2	OT 500 - 3	+0,006	-0,015	+0,003	-0,002	$\pm 0,012$	25	52,5	82,5	[76]			
3	DL 370 - 3K	+0,003	-0,003	+0,001	-0,001	$\pm 0,0028$	25	67,5	97,5	[76]			
4	F92 450 - 5	+0,012	-0,018	+0,005	-0,004	$\pm 0,0021$	15	37,5	142,5	[177]			
5	33 Mo Cr 11	+0,005	-0,006	+0,007	-0,009	$\pm 0,0029$	15	37,5	67,5	[20]			
6	41 Mo Cr 11	+0,01	-0,008	+0,002	-0,003	$\pm 0,0019$	15	37,5	97,5	[20]			
7	40 Cr 10	10,004	-0,006	+0,001	-0,006	$\pm 0,0023$	25	82,5	82,5	[81]			
8	18 Mo Cr Ni 13	+0,008	-0,003	+0,002	-0,002	$\pm 0,0018$	30	127,5	127,5	[80]			
9	Carbon TRNR	+0,012	-0,005	+0,005	-0,006	$\pm 0,0043$	15	82,5	82,5	[9]			
10	D 32 - 1	+0,013	-0,005	+0,004	-0,002	$\pm 0,0026$	15	82,5	82,5	[15]			
11	Inox III RNR	+0,003	-0,003	+0,007	-0,006	$\pm 0,0041$	15	82,5	82,5	[161]			
12	Tan Cu Mo Mn Ni Cr 16,5-N6	+0,006	-0,001	+0,007	-0,009	$\pm 0,0027$	7,5	112,5	112,5	[127]			
13	T09 Cu Mo Mn Ni Cr 18,5-Ti	+0,006	-0,009	+0,004	-0,003	$\pm 0,0032$	7,5	82,5	82,5	[127]			
14	20 Cr 13O	+0,008	-0,006	+0,003	-0,003	$\pm 0,0024$	7,5	82,5	82,5	[134]			
15	2 H 13	+0,01	-0,01	+0,007	-0,003	$\pm 0,0034$	7,5	37,5	97,5	[133]			
16	OH 12 NDL	+0,01	-0,008	+0,0035	-0,007	$\pm 0,0045$	2,5	52,5	92,5	[134]			
17	Inox aust feritic H4142 - 15	+0,003	-0,004	+0,003	-0,004	$\pm 0,0011$	7,5	82,5	82,5	[134]			
18	Cu Ni Al II RNR	+0,009	-0,002	+0,003	-0,003	$\pm 0,0023$	7,5	52,5	97,5	[18]			
19	Cu Ni Al I RNR	+0,006	-0,012	+0,003	-0,003	$\pm 0,0034$	15	67,5	127,5	[18]			
20	Al/Alm $\bar{\sigma}$	+0,02	-0,018	+0,005	-0,012	$\pm 0,0095$	15	67,5	127,5	[128]			

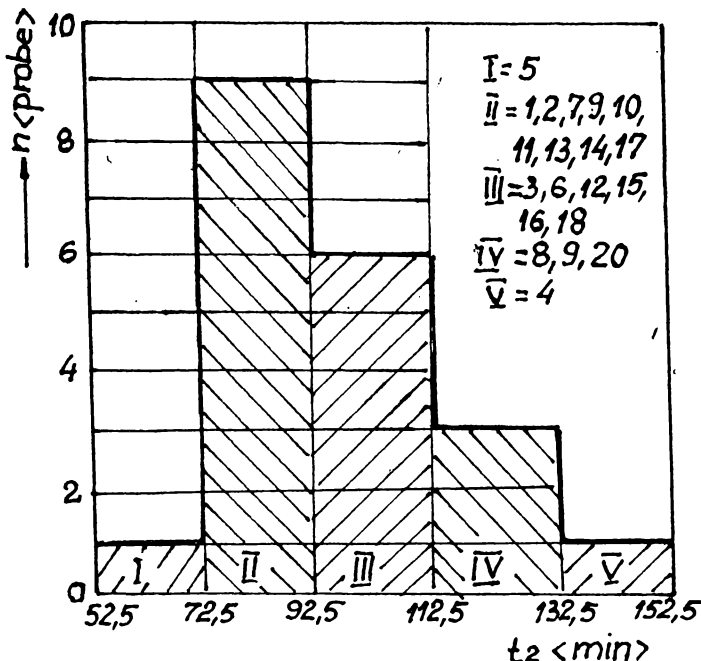


Fig. 3.12 Frecventa timpului  $t_2$ , de la care se stabilizeaza viteza de eroziune cavitationala,  $v_s$

### 3.2.2.2 Parametrii caracteristici eroziunii cavitationale

Principalii parametrii utilizati in lucrare, pentru caracterizarea comportarii materialelor la eroziune cavitationala, sunt prezentati in tab.3.9 si au semnificatiile:

1.- viteza maxima a eroziunii cavitationale  $v_{max,r}$  (viteza de eroziune instantanea maxima, obtinuta experimental, dupa care viteza de eroziune devine descrescatoare - recomandata de [120]), respectiv  $v_{max}$  (valoarea maxima a vitezei de eroziune cavitationala definita de curba experimentală  $v(t)$  - recomandata de Plessel si Devine [3], Hobbs [41]). In ultimul timp, majoritatea cercetatorilor folosesc viteza  $v_{max}$  [31, 40a, 65, 91, 127, 133].

2. - viteza de stabilizare (stationare) a eroziunii  $v_s$  (viteza finala de palier care se atinge, sau spre care se tinde asymptotic, dupa ce viteza a descrescut de la valoarea ei maxima - recomandata de Thiruvengadam [111, 113] si folosita cel mai des in compararea materialelor, dupa rezistenta la cavitatie [8, 9 - 20, 30, 43, 50, 68, 78 - 89, 107, 111, 113]).

Tab. 3.9 Parametrii caracteristici eroziunii cavitationale (T1)

Grupa	Material	$V_{max,r}$ mm <sup>3</sup> /min	$V_{max,c}$ mm <sup>3</sup> /min	$V_{max,c} - V_{max,r}$ mm <sup>3</sup> /min	$V_s$ mm <sup>3</sup> /min	$R_{n,max}$	$R_{n,s}$	$G_b/g_{ref}$
Fante și atunci carbon	DLC 15	0,033	0,03	-0,003	0,03	0,67	0,67	[133]
	DT 500 - 3	0,133	0,13	-0,003	0,1	2,88	2,22	[76]
	DL 370 - 3K	0,098	0,098	0	0,092	2,17	2,04	[76]
	Fgn 450 - 5	0,076	0,077	+0,001	0,037	1,74	0,82	[17]
Oteluri diluite pînă la 1% C	33 Mo Cr 11	0,03	0,027	-0,003	0,017	0,6	0,38	[20]
	41 Mo Cr 11	0,036	0,035	-0,001	0,02	0,77	0,44	[20]
	40 Cr 10 (etalon)	0,047	0,045	-0,002	0,045	1,0	1,0	[81]
	18 Mo Cr Ni 13	0,027	0,025	-0,002	0,025	0,55	0,55	[80]
Oteluri inoxidabile	Carbon I RNR	0,052	0,048	-0,004	0,048	1,07	1,07	[9]
	D 32 - 1	0,012	0,095	-0,007	0,095	2,11	2,11	[15]
Bronz și aluminio	Inox III RNR	0,026	0,02	-0,006	0,02	0,44	0,44	[16]
	T07CuMoMnNiCr165-N	0,025	0,016	-0,009	0,016	0,36	0,36	[127]
	T09CuMoMnNiCr185-Ti	0,023	0,02	-0,003	0,02	0,44	0,44	[127]
	20 Cr 13D	0,03	0,028	-0,002	0,028	0,62	0,62	[134]
	2H 13	0,061	0,051	-0,01	0,035	1,13	0,77	[133]
	0H 12 NDL	0,0675	0,06	-0,0075	0,052	1,33	1,16	[134]
	Inox aust. ferit. H4142-15	0,043	0,04	-0,003	0,04	0,88	0,88	[134]
	Cu Ni Al III RNR	0,021	0,018	-0,003	0,017	0,4	0,38	[18]
	Cu Ni Al I RNR	0,052	0,052	0	0,044	1,16	0,98	[18]
	Alumina	0,09	0,095	+0,005	0,072	2,11	1,6	[127]

Tab.3.9 Parametrii caracteristici eroziunii cavitationale (continuare) (T1)

Grupa	Material	$d_{potă}$ mm	$V_2$ $\text{mm}^3$	$MDPR$ $\text{mm}/h_r$	$\frac{1}{MDPR}$ $h_r/\text{mm}$	Bibliograf. f.c.
Fante și oteluri carbon	DLC 15	9,8	4,32	0,0208	48	[133]
	OT 500 - 3	9,8	15,11	0,0728	13,73	[76]
	OL 370 - 3K	9,8	12,8	0,0617	16,2	[76]
	Fgn 450 - 5	9,8	7,95	0,0383	26,1	[17]
Oteluri diluate pt. construcții	33 Mo Cr 11	9,8	4,24	0,0170	58,8	[20]
	41 Mo Cr 11	9,8	5,1	0,02457	40,7	[20]
	40 Cr 10	9,8	6,7	0,03226	31	[81]
	18 Mo Cr Ni 13	9,8	3,14	0,01513	66,1	[80]
	Carbon IRNR	9,8	7,4	0,03567	28,03	[9]
	D 32 - 1	9,8	14,58	0,07032	14,22	[15]
Bronze și oteluri inoxidabile	Inox III RNR	9,8	2,73	0,01316	76	[16]
	T07CuMnNiCr165Nb	9,8	2,6	0,01205	83	[127]
	T09CuMnNiCr1867	9,8	2,65	0,01258	79,5	[127]
	20 Cr 130	9,8	5,22	0,02519	39,7	[134]
	ZH13	9,8	7,38	0,03557	28,11	[133]
	OH 12 NDL	9,8	7,36	0,03546	28,2	[134]
	Inox austenito- feritic H4142 - 15	9,8	7,26	0,0350	28,57	[134]
	CuNiAl III RNR	9,8	2,72	0,01311	76,3	[18]
	CuNiAl I RNR	9,8	5,43	0,02618	38,2	[18]
	Alamă	9,8	12,65	0,06098	16,4	[128]

$h_r = \text{ore}$

3. - rezistenta normalizata la cavitate  $R_{n\max} = \frac{V_{\max}}{V_{\max}}$ , respectiv  $R_{ns} = \frac{v_s}{V_s}$ . Marimile cu indicele "e" se refera la otelul etalon, pentru LMHT, 40Cr10. Desi este recomandata de normele ASTM [120] utilizarea sa este redusa din cauza inexistentei unui material etalon pentru toate laboratoarele existente in lume [40a, 79, 111].

4. - viteza adancimii medii a eroziunii cavitationale MDPR, respectiv inversul acestora  $1/MDPR$ . Acest parametru este recomandat de normele ASTM [120] si folosit, foarte mult, de Garcia [32, 33], Hammitt [39, 40, 40a], K. Steller [101], J. Steller [106, 107], Hobbs [41].

Principiul determinarii parametrului MDPR este definit de normele americane ASTM [120], astfel: "Se determina adancimea medie de patrundere MDP prin impartirea pierderii de masa la densitatea materialului si aria suprafetei erodate cavitational. MDPR se calculeaza prin impartirea adancimii medii de patrundere, MDP, la durata totala a atacului cavitational".

Pentru rapiditatea calculelor, la determinarea parametrului MDP, normele ASTM recomanda "utilizarea ariei suprafetei frontale a probelor (  $d/4$ : d-diametrul probei)"

In compararea rezultatelor, ce dau comportarea cavitationala a materialelor, foarte multi autori folosesc parametrul " maximul vitezei adancimii medii de patrundere, MDPRmax [30a, 33, 40b, 41a, 50a], sau inversul,  $1/MDPRmax$  [32, 65]."

Din literatura rezulta doua cai de calcul a acestui parametru. Se citeaza, in continuare, modul in care acesta s-a determinat de unii autori.

Dupa Knapp s.a. [50a], p.405-406 (traducere din limba engleza): "... media MDPR este tangenta dintre MDP si timp pentru acele materiale care au o relatie liniara intre pierdere si timp(uzual dupa neglijarea primei portiuni a lui MDP(t)), sau este MDP impartit la timp, dupa o incercare indelungata, pentru materialele la care nu se obtine o astfel de relatie liniara"

Dupa Hammitt si Bhatt [40b], p.4 (traducere din limba engleza): "... Viteza maxima a pierderii de greutate si viteza MDPR sunt determinate din curbele mediate (MDP(t) - precizarea apartine autorului tezei)... extrapoland portiunea cu viteza maxima de distrugere pana la abscisa (pana la pierdere zero)".

Definitia este asemanatoare cu cea data, in prima parte, de Knapp [50a] si arata ca parametrul MDPRmax este tangenta unghiului maxim facut de o dreapta tangenta la curba MDP(t) si abscisa (axa timpului).

Este de la sine intelese ca intre valorile parametrului MDPRmax calculate pe baza tangentei unghiului maxim si a raportului  $MDPmax/t_{max}$  apar diferente.

J. Steller [106], K. Steller [107] si Garcia [32,33] determina parametrul MDPRmax prin impartirea lui MDPmax la durata maxima a atacului cavitational. S-a procedat sub aceasta forma deoarece nu exista o relatie liniara MDP-t (Definirea dupa Knapp [50a], partea a doua). Se precizeaza ca Garcia [32,33] foloseste notatia MDPR, desi valorile caracterizeaza pe MDPRmax (Tab.6, p.258 [32]). Spre certificare in Tab.1.4 sunt afisate cateva din valorile inverse ale lui MDPRmax, extrase din Tab.6 [32]

Hammitt si Bhatt [40b] determina parametrul MDPRmax pe baza tangentei unghiului maxim datorita liniaritatii MDP-t.

Atat Garcia [32, 33] cat si Hammitt [40a, 40b] utilizeaza, la calculul parametrului MDP, aria suprafetei frontale a probei (  $d/4$ ;  $d= 14$  mm,  $d_{real} = 14,3$  mm).

Steller J. [106] si Steller K [107], foloseste aria suprafetei erodate cavitational (  $d_{pata}/4$  ).

In cadrul tezei calculul parametrului MDPRmax s-a realizat dupa metoda lui Steller si Garcia dar folosind volumul final obtinut prin eroziune cavitationala dupa durata maxima de incecare,  $t_{max} = \tau = 165$  minute. Suprafata considerata fiind cea erodata cavitational.

Deoarece Garcia [32, 33], Hammitt [40a,40b] si Sakai-Shima [95a] utilizeaza (in tabele si legendele diagrameelor) notatia MDPR in loc de MDPRmax, in teza s-a folosit numai notatia MDPR.

In Tab.3.9 mai sunt prezentati diametrul urmei, obtinut dupa 165 minute de atac cavitational,  $d_{pata}$ , si volumul erodat in acest timp V .

Diametrul urmei s-a masurat pe patru probe, din materiale diferite (otel naval D 32-1, inox III-RNR, OL370-3k si 40Cr10), la microscopul optic cu scara gradata. Pentru fiecare proba s-au realizat cate doua masuratori, dupa doua diametre perpendiculare. Valorile obtinute s-au mediat aritmetic si s-au rotunjit la zecimala. Valoarea astfel obtinuta s-a considerat a fi aceeasi pentru toate probele testate in aparatul vibrator T1 ( $d_{pata} = 9,8$  mm).

Relatia de calcul a vitezei adancimii medii de patrundere este:

$$MDPR = \frac{4 \cdot V_6}{\pi d_{pata}^2} \cdot \frac{60}{6} \quad < \text{mm/hr} > \quad (3.22)$$

$hr = \text{ore}$

Diferentele mici (-0,009 ; +0,005 mm<sup>3</sup>/min) dintre valorile vitezelor maxime, obtinute experimental si definite de curba  $\mathbf{v}(t)$ , arata ca modelul matematic propus pentru descrierea curbei de aproximare a punctelor experimentale este bun.

### 3.2.3 Discutii si concluzii

Investigarea comportarii cavitationale a materialelor, testate in aparatul vibrator magnetostrictiv cu tub de nichel T1, se va efectua pe baza curbelor  $\mathbf{v}(t)$  prezentate in fig.3.5 + 3.8, pe fiecare grupa in parte.

#### a) Oteluri carbon nealiate si fonte, fig.3.5

Materialele prezentate in fig.3.5 pot fi grupate in doua categorii: OL370-3k cu OT500-3, cu comportari cavitationale asemănătoare (in general slabe) si OLC 15 cu fonta Fgn 450-5, cu comportari cavitationale mai bune, dar care pot fi discutate distinct.

Pentru fonta cu grafit nodular se constata, in prima perioada, o viteza mare de eroziune, generata de eliminarea rapida a inclusiunilor nodulare de carbon [35a, 64, 115], a caror rezistenta la cavitate, este practic nula [44]. In continuare viteza de eroziune cavitationala scade considerabil datorita atacului asupra masei metalice, mult mai rezistente [44]. Cu toate acestea, chiar in perioada de palier apar oscilatii importante ale rezistentei la cavitate.

Otelul OLC 15 are o comportare cavitationala mult mai constanta, ceea ce arata ca suprafata supusa atacului este constant erodata.

Se remarcă de asemenea o comportare diferita pana in jurul minutului 70. Astfel, la otelul OLC 15 viteza de eroziune cavitationala creste si se stabilizeaza la valoarea maxima iar la otelurile OL 370-3k si OT 500-3 si fonta Fgn 450-5 viteza de eroziune cavitationala se stabilizeaza dupa atingerea unui maxim. Aceste evolutii evidențiază multitudinea factorilor dependenti de material (constituienti strucurali, reteaua cristalina, compozitia chimica, proprietati mecanice, omogenitatea strucurala, tehnologie de elaborare) si tehnologia de prelucrare a suprafetei probei, supuse atacului cavitational, ce influenteaza rezistenta la cavitatie si modul de folosire a energiei absorbite de material in timpul distrugerii.

**b) Oteluri aliante pentru constructii, fig.3.6**

Spre deosebire de otelurile carbon nealiante, la aceste oteluri (cu exceptia lui D 32-1) se remarcă, in zona de palier, o comportare cavitationala constanta, dovedind rolul benefic al elementelor de innobilare asupra rezistentei cavitationale, prin imbunatatirea caracteristicilor mecanice, intarirea legaturilor cristaline si finisarea structurii [35a, 65, 115].

Dintre otelurile, prezентate in aceasta figura, otelul naval D 32-1 are cea mai slabă rezistenta cavitationala, similar otelurilor OL 370-3k si OT 500-3. Explicatia acestui fenomen este data in Cap.4.

Cele mai bune comportari cavitationale la prezinta otelurile 33MoCr11, 41MoCr11 si 18MoCrNi13; curbele  $v(t)$ , in zona de stabilizare, situandu-se in domeniul dispersiilor.

Otelul 40Cr10 (etalon) si Carbon I-RNR au comportari aproape identice, datorita compozitiilor apropriate, Tab.3.1, care le confera structuri asemanatoare, Tab.3.2.

La fel ca la otelurile carbon nealiante si aici se observa comportarea cavitationala diferita pana in minutul 70. Astfel, la otelurile 40Cr10, Carbon I-RNR, D 32-1 si 18MoCrNi13 viteza de eroziune cavitationala se stabilizeaza la valoarea maxima, iar la restul otelurilor, din aceasta figura, viteza de eroziune cavitationala se stabilizeaza dupa atingerea maximului. Fenomenul este legat de cele afirmate la punctul a). Se observa ca otelul D 32-1 are, practic, o rezistenta cavitationala de aproximativ doua ori mai mica decat otelul etalon 40Cr10 (cu buna rezistenta cavitationala [81]).

**c) Oteluri inoxidabile, fig.3.7**

La aceste oteluri se observa cel mai bine, influenta elementelor de aliere asupra rezistentei cavitationale a materialelor. Cu exceptia otelurilor austenito-fericit H4142-15, 2H13 si 20Cr130 celelalte oteluri au comportari cavitationale asemanatoare, curbele  $v(t)$ , din zona de stabilizare, situandu-se in domeniul dispersiilor.

Se remarcă stabilizarea vitezei de eroziune cavitationala la vloarea maxima, pentru toate otelurile. Acest aspect dovedeste ca legea  $v(t)$  stabilita de Thiruvengadam, fig.1.12, nu este general valabila, ea depinzand atat de material cat si de statiune de incercare. De fapt, acest fenomen a fost sesizat si de Steller [107], Franc [30a] si Noskievici [69].

Se observa de semenea comportarea cavitationala identica a otelurilor T09CuMoMnNiCr185-Ti si Inox II-RNR, care au tehnologii de elaborare si cantitati procentuale de elemente de innobilare principale Ni, Cr, Mn diferite.

Rezistenta la eroziune cavitationala, mai slaba a otelului turnat austenito-feritic H4142-15 fata de otelurile inoxidabile T09CuMoMnNiCr185-Ti si T07CuMoMnNiCr165-Nb, de asemenea turnate, este legata de prezenta elementelor Mn si S, in proportii mai mari la primul, Tab.3.1, care duc la o structura fragila si fibroasa reducand rezistenta la oboseala [35a, 64, 65, 115].

Comportarea diferita a inoxurilor 2H13 [126a, 133] si 20Cr130 [124, 134], similara, mai evidenta in prima parte a distrugerii cavitationale, se datoreaza diferentelor de proprietati si cantitati de elemente chimice, ce pot exista, admise a fi aceleasi, din lipsa datelor in sursa de informatie [133].

#### d) Bronzuri si alame navale, fig.3.8

Datorita omogenitatii structurale, specifice acestor materiale [121], comportarea la eroziune cavitationala este normala, vitezele de eroziune in zona de stabilizare fiind aproape constante.

Evident bronzul CuNiAl III-RNR are cea mai buna comportare ca urmare, in primul rand, a celor mai bune proprietati mecanice, Tab.3.2, iar alama, asa cum era de asteptat, datorita slabelor caracteristici mecanice, Tab.3.2, are cea mai slaba rezistenta cavitationala. Rezistenta cavitationala, mai mare, a bronzurilor CuNiAl se datoreaza si prezentiei elementelor de aliere Ni si Mn, care sporesc proprietatile mecanice [35a, 65, 115] si implicit aceasta rezistenta.

Si la aceste aliaje se observa o comportare diferita in prima parte a distrugerii cavitationale. Daca la CuNiAl I-RNR si alama viteza de eroziune prezinta un maxim vizibil la CuNiAl III-RNR acesta este atat de mic incat nu se diferențiaza prea mult de viteza de stabilizare ( $v_{max} - v_s = 0,001$  mm/min), ca urmare a celor mai mari valori pentru proprietatile mecanice si cantitatea de elemente de aliere.

Valorile foarte mari ale vitezelor de eroziune cavitationala din perioada 0 - 15(30) minute, la toate materialele prezentate in fig.3.5 : 3.8, nu caracterizeaza distrugerea materialului prin eroziune cavitationala, ele fiind puternic influente de rugozitatea suprafetelor atacate si de cantitatea de praf abraziv ramas in aceste suprafete, dupa spalare si uscare la turbosuflanta. Indepartarea prafului abraziv si distrugerea varfului asperitatilor, in perioada mentionata, nu caracterizeaza rezistenta la cavitatea a materialelor, motiv pentru care, aceste puncte s-au eliminat la construirea curbelor experimentale  $v(t)$ . Din acest motiv, in perioada 0 - t' aproximarea s-a facut cu o parabola de ordinul 2, rel.(3.6), insa poate fi si dreapta, asa cum procedeaza Noskieviči [67, 68].

De remarcat inexistentia perioadei de incubatie, prezenta in diagrama lui Thiruvengadam [111], fig.1.12, indiferent de tipul materialului testat. Cauza este intensitatea ridicata a distrugerii cavitationale, caracteristica aparatelor vibratoare in general.

Analizand datele din Tab.3.8 se pot face urmatoarele aprecieri:

a. - in cazul otelurilor carbon nealiate dispersia si abaterile cele mai mari, fata de curba experimentală, le prezinta otelul OT 500-3. Cauza este structura fibroasa, obtinuta prin turnare [64, 65, 115] care face, ca in timpul eroziunii cavitationale, sa fie expulzati graunti cristalini de mari dimensiuni.

In cazul otelurilor laminate, OL 370-3k si OLC 15, dispersia si abaterile sunt valoric apropiate, sugerand comportarea similara, dupa modul de folosire a energiei absorbite de material in timpul eroziunii cavitationale.

b. - in cazul otelurilor aliate pentru constructii, dispersia si abaterile cele mai mari, fata de curba experimentală, le prezinta otelul naval D 32-1. Fenomenul este prezent atat in zona de acumulare cat si in zona de stabilizare. Cauza este fragilitatea ridicata si structura austenitica grosolană, determinate de cantitatea ridicata de Mn [35a, 65, 115], care duc, in timpul atacului cavitational, la eliminarea grauntelor cristalini de mari dimensiuni.

Abatere mare prezinta si otelul Carbon I-RNR ( $a_{max} = +0,012 \text{ mm/min}$ ), datorita comportarii aleatorii in zona de acumulare.

La restul materialelor, din aceasta categorie, distributia punctelor experimentale fata de curba  $v(t)$ , este normala, specifica materialelor cu buna si foarte buna rezistenta cavitationala [33, 81].

c. - in cazul otelurilor inoxidabile, cu exceptia otelului 2H13 [126a, 127] restul prezinta o distributie normala, a punctelor experimentale fata de curba  $v(t)$ . Abateri, ceva mai mari, au otelurile turnate T09CuMoMnNiCr185-Ti si T07CuMoMnNiCr165-Nb, datorita dimensiunilor grauntelor cristalini expulzati in timpul eroziunii cavitationale, mai ridicate decat la inoxurile laminate, dar mai mici decat la otelurile carbon [35a, 64, 115].

d. -in cazul bronzurilor si alamelor navale, dispersia si abaterile cele mai mari le prezinta alama datorita structurii monofazice de solutie solida [35a, 64, 65, 115], care-i ofera o comportare aleatorie.

e. - in cazul fontei cu grafit nodular Fgn 450-5, abateri mari apar atat in zona de acumulare cat si in zona de atenuare. Cuza este diferenta dintre dimensiuni nodulilor de grafit expulzati in aceste perioade. Dispersia si abaterile normale din zona de stabilizare, a vitezei de eroziune cavitationala, arata evolutia distrugerii in matricea metalica.

Dupa extinderea domeniilor de variatie a timpului  $t_1$  se poate face urmatoarea clasificare:

1. - bronzuri si alame navale:  $\Delta t_1 = 15 \text{ min}$ ,
2. - oteluri carbon nealiate:  $\Delta t_1 = 30 \text{ min}$ ,
3. - oteluri inoxidabile:  $\Delta t_1 = 75 \text{ min}$ ,
4. - oteluri aliate pentru constructii:  $\Delta t_1 = 90 \text{ min}$ .

unde:

$$t_1 = t_{1 \max} - t_{1 \min} \quad (3.23)$$

$t_{1 \max}$  - valoarea cea mai mare a timpului  $t_1$  la care se atinge maximul vitezei de eroziune cavitationala, in minute.

$t_{1 \min}$  - valoarea cea mai mica a timpului  $t_1$  la care se atinge maximul vitezei de eroziune cavitationala, in minute.

Dupa extinderea domeniului de variatie a timpului  $t_2$ , clasificarea este:

1. - oteluri carbon nealiate:  $\Delta t_2 = 15 \text{ min}$ ,
2. - oteluri inoxidabile:  $\Delta t_2 = 30 \text{ min}$ ,
3. - bronzuri si alame navale si oteluri aliate pentru constructii:  $\Delta t_2 = 45 \text{ min}$ .

unde:

$$t_2 = t_{2 \max} - t_{2 \min} \quad (3.24)$$

$t_{2 \max}$  – valoarea cea mai mare a timpului  $t_2$  de la care se stabilizeaza viteza de eroziune cavitationala, in minute,

$t_{2 \min}$  – valoarea cea mai mica a timpului  $t_2$  de la care se stabilizeaza viteza de eroziune cavitationala, in minute.

Domeniul strans in care se realizeaza viteza maxima de eroziune si de stabilizare, pentru otelurile carbon nealiate, arata existenta acelorasi componente structurale (ferita si perlita), Tab.3.2, indiferent de tehnologia de elaborare.

Domeniul de variatie,larg, al timpilor  $t_1$  si  $t_2$ , pentru otelurile aliate si inoxidabile, evidentiaza structura diferita, efectul elementelor de aliere si tehnologiei de elaborare, Tab.3.1 si 3.2.

Histograme de frecventa, fig.3.11 si 3.12 evidentiaza:

- la otelurile carbon nealiate, viteza de eroziune maxima apare dupa un timp, de atac cavitational, scurt. Fenomenul se datoreaza lipsei elementelor de innobilare, care sporesc rezistenta la cavitatie [30a,40a, 44].

- la otelurile aliate pentru constructii si inoxidabile, atingerea vitezei de eroziune cavitationala maxima se realizeaza, cel mai des, la  $t_1 = 82,5$  minute, Asta arata ca legaturile dintre graanti sunt mai tari si greu de distrus [14]. Acest fenomen este efectul benefic al elementelor de aliere asupra structurii si proprietatilor fizico-mecanice ale materialelor [35a, 40a,65].

- la bronzurile navale, atingerea vitezei de eroziune cavitationala maxima se realizeaza la un timp similar otelurilor nealiate, ca urmare a dimensiunii grauntilor obtinuti prin turnare.

Cu exceptia bronzurilor si alamelor navale, stabilizarea vitezei de eroziune apare frecvent la  $t_2 = 82,5$  minute. Acest aspect arata controlul bun si constanta valorilor parametrilor tehnico-functionalii, ai aparatului vibrator, in timpul testarii.

Dupa timpii de atingere a maximului si stabilizarii vitezei de eroziune cavitationala, rezulta ca cu cat materialul are elemente de innobilare mai bine corelate (D 32-1, 18MOCrNi13, otelurile inoxidabile (cu exceptia lui 2H13), CuNiAl III-RNR), cu atat viteza maxima de eroziune se extinde mai mult si apare mai tarziu, putand coincide cu cea de stabilizare.

Stabilizarea vitezei de eroziune intr-un timp mai scurt (oteluri nealiate) sau mai lung (inoxuri, oteluri aliate, bronzuri navale) arata nivelul tasarii materialelor (cresterea duritatii si rezistentei mecanice la rupere [58a, 95b]),obtinut prin solicitarea dinamica locala,repetata, cu variatii mari de temperatura la suprafata probei, in timpului atacului cavitational.

Evident, scaderea pierderilor si mentinerea lor constanta, mai ales in cazul metalelor cu slaba rezistenta cavitationala (OT 500-3, OL 370-3k, D 32-1, alama navală), se datoreaza si atenuarii varfurilor de presiune de catre pungile de gaz din cavernele obtinute prin expulzarea grauntilor cristalini [3, 6, 15, 20, 30a, 33, 40a, 69,111].

Din histogramele prezentate in Fig. 3.11 si 3.12, rezulta ca, pentru materialele testate la eroziune cavitationala, in aparatul vibrator T1, se pot folosi ca timpi de referinta urmatorii:

- $t_1 = 67,5$  min, pentru oteluri carbon, bronzuri si alame navale,
- $t_1 = 82,5$  min, pentru oteluri aliate si inoxidabile,
- $t_2 = 82,5$  min, pentru oteluri,
- $t_2 = 127,5$  min, pentru bronzuri si alame navale.

Din cele prezentate rezulta ca acesti timpi depind de calitatea de material, parametrii tehnico-functionalii si tipul statiunii de incercare. Ei pot fi utilizati la crearea unui model matematic pentru viteza de eroziune cavitationala, sau a unor relatii de efect de scara.

Valorile parametrilor caracteristici eroziunii cavitationale, Tab.3.9, permit o prima clasificare a materialelor testate, dupa rezistenta cavitationala:

1. - materiale cu slaba rezistenta cavitationala (Ol 370-3k, OT 500-3, D 32-1 alama navală), caracterizate de:

- viteza de stabilizare (stationare) a eroziunii cavitationale:  $v_s = 0,053 \pm 0,1$  mm<sup>3</sup>/min,
- viteza de eroziune cavitationala maxima:  $v_{max} = 0,078 \pm 0,13$  mm<sup>3</sup>/min,
- rezistenta normalizata la cavitatie:  $R_{n,max} = 2,11 \pm 2,88$ ;  $R_{n,s} = 1,6 \pm 2,22$

2. - materiale cu buna rezistenta cavitationala (OLC 15, Carbon I-RNR, 40Cr10, CuNiAl I-RNR, 2H13, Inox austenito-feritic H4142-15, Fgn.450-5, OH12NDL), caracterizate de:

- viteza de stabilizare (stationare) a eroziunii cavitationale:  $v_s = 0,03 \pm 0,052$  mm<sup>3</sup>/min,
- viteza de eroziune cavitationala maxima:  $v_{max} = 0,03 \pm 0,077$  mm<sup>3</sup>/min,
- rezistenta normalizata la cavitatie:  $R_{n,max} = 0,67 \pm 1,71$ ;  $R_{n,s} = 0,67 \pm 1,18$ .

3. - materiale cu foarte buna rezistenta cavitationala (Inox III-RNR, 20Cr130, T09CuMoMnNiCr185-ti, T07CuMoMnNiCr165-Nb, 18MoCrNi13, 33MoCr11, 41MoCr11, CuNiAl III-RNR), caracterizate de:

- 1. - viteza de stabilizare (stationare) a eroziunii cavitationale:  $v_s = 0,016 \pm 0,029$  mm<sup>3</sup>/min,
- 2. - viteza de eroziune cavitationala maxima:  $v_{max} = 0,018 - 0,03$  mm<sup>3</sup>/min,
- 3. - rezistenta normalizata la cavitatie:  $R_{n,max} = 0,4 \pm 0,67$ ;  $R_{n,s} = 0,36 \pm 0,64$

Din aceasta clasificare rezulta ca in fiecare grupa exista materiale cu comportari cavitationale diferite, evidentiind actiunea comună a tuturor factorilor, ce determină marca de material, asupra rezistenței cavitationale.

Aceste limite, printr-o investigare mai profunda a comportarii materialelor la eroziune cavitationala, permit elaborarea unei metode de apreciere cantitativa a rezistenței materialelor la eroziune cavitationala. O astfel de metoda este prezentată, de autor, in Cap.4. De remarcat este posibilitatea intocmirii unei clasificari, de tipul celei prezentate, pentru orice tip de statiune vibratorie ce dispune de un material etalon, cu buna rezistenta cavitationala.

### 3.3 CERCETARI EXPERIMENTALE REALIZATE IN APARATUL VIBRATOR CU CRISTALE PIEZOCERAMICE (T2)

#### 3.3.1 Materiale testate

Materialele testate in aparaturile vibratoare cu cristale piezoceramice T2 sunt:

1. - oteluri carbon nealiate: OLC 15 si OL 370-3k,
2. - oteluri aliate pentru constructii: 33MoCr11, 40Cr10, 18MoCrNi13, Carbon I-RNR, D 32-1,
3. - oteluri inoxidabile: Inox III-RNR, T07CuMoMnNiCr165-Nb, T09CuMoMnNiCr185-Ti si 20Cr1130,
4. - bronzuri si alame navale: CuNiAl III-RNR, CuNiAl I-RNR, alama.

Din fiecare material s-a testat o singura proba. Cu exceptia probei din OLC15 (caracterizata de: 0,135% C, 0,05% P, 0,3% Mn, 0,17% Si, 0,04% S, Fe = rest, Rm = 400 N/mm<sup>2</sup>, Rp0,2 = 240 N/mm<sup>2</sup>, HB = 144, daN/mm<sup>2</sup>) restul probelor au fost testate si in aparaturile vibratoare magnetostriktive cu tub de nichel T1 (forma geometrica si dimensiunile fiind aproximativ aceleasi). Atacul cavitational distructiv s-a realizat dupa rectificarea plana si slefuirea suprafetei frontale, de atac, a probei pana la indepartarea completa a urmelor de distrugere obtinute in aparaturile vibratoare T1.

Operatiile performatoare inaintea inceperii si la sfarsitul fiecarei perioade de atac cavitational sunt identice cu cele descrise la paragraful 3.1

Compozitia chimica a materialelor este prezentata in Tab.3.1, iar datele privind constituentii structurali, proprietatile fizico - mecanice si tehnologica de elaborare sunt afisate in Tab.3.2.

#### 3.3.2 Rezultate experimentale

##### 3.3.2.1 Curbe caracteristice

Toate incercarile s-au realizat in apa distilata la:  $20 \pm 1^\circ\text{C}$ ,  $f = 20 \pm 0.2 \text{ kHz}$  si  $A = 32 \mu\text{m}$ . Durata totala a atacului cavitational este de 165 minute, impartita in cate o perioada de 5 si 10 minute si 10 perioade de 15 minute.

Pe baza pierderilor masice, cu relatia (3.4), s-au determinat vitezele de eroziune cavitationala aferente fiecarei perioade de atac, si s-au construit curbele  $V(t)$  din fig. 3.13 : 3.16. Constructia grafica s-a realizat cu calculatorul, pe baza

metodologiei prezentate la paragraful 3.2.2.1, astfel:

1.- in perioada  $0 - t'$  aproximarea punctelor experimentale este realizata de o parabola definita de relatia (3.7),

2.- in perioada  $t' - t_1$  aproximarea punctelor experimentale este realizata de o curba definita de ecuatia (3.9),

3.- in perioada  $t_1 - t_2$  aproximarea punctelor experimentale este realizata printr-o dreapta orizontala  $v_s = \text{const.}$  (rel. 3.11).

Coefficientii  $B_1, B_2, B_3 \dots B_7$ , din relatiile de mai sus, determinati din conditiile de racordare a curbelor, (3.13) si (3.15), precum si de aproximare cat mai fidela a punctelor experimentale (utilizand metoda celor mai mici patrate) sunt afisati in Tab.3.10,. Abaterile maxime si minime, calculate cu relatia (3.21) si abaterea standard, calculata cu relatia (3.17) (numai pentru zona de stabilizare), ce oglindesc precizia de aproximare,sunt date in Tab.3.11. Tot in acest tabel sunt prezentati si timpii caracteristici curbelor experimentale  $v(t)$ . Din acest tabel rezulta ca durata totala a atacului cavitational poate fi acceptata ca =165 minute, deoarece intervalul

$\zeta \rightarrow t_2$ , in care viteza se stabilizeaza, se incadreaza in limitele  $(0,3 - 3)t_2$ . Pe baza timpilor  $t_1$  si  $t_2$ , Tab.3.11,s-au construit histogramele de frecventa din fig. 3.17 si 3.18

### 3.3.2.2. Parametrii caracteristici eroziunii cavitationale

Valorile parametrilor caracteristici eroziunii cavitationale, realizate in aparatul vibrator cu cristale piezoceramice T2, sunt afisate in Tab.3.12. In acest tabel s-au afisat si valorile volumului de material erodat si diametrului petei, din suprafata atacata a probei, obtinute dupa 165 minute de atac erozional.

Ca si la probele testate in aparatul vibrator magnetostrictiv T1, diametrul petei,  $d_p$ , realizata prin eoziune cavitationala in aparatul vibrator T2, reprezinta media a doua masuratori efectuate cu microscopul optic, cu scara gradata, dupa doua diametre perpendiculare.

Viteza adancimii medii de patrundere s-a determinat cu relatia (3.22).

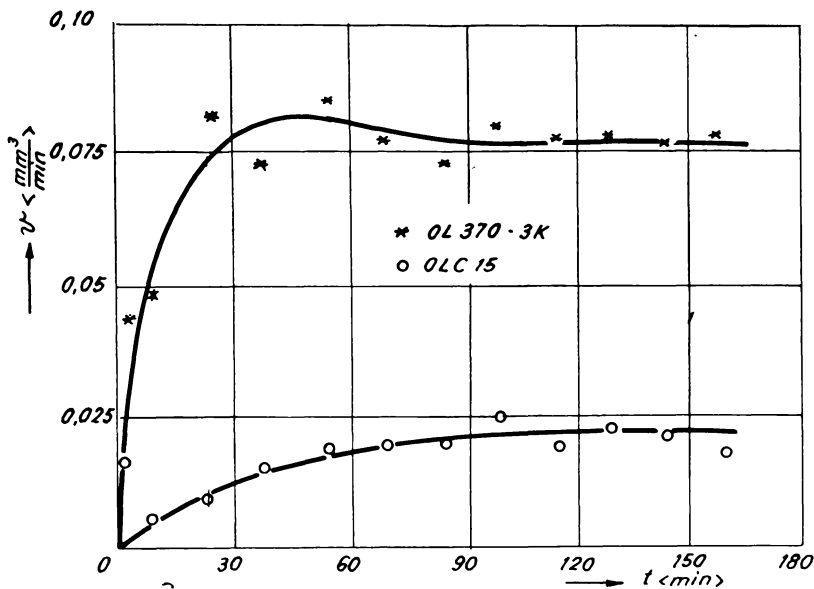


Fig.3.13 Variatia vitezei de eroziune cavitationala cu timpul de atac (oteluri carbon nealiate - T2)

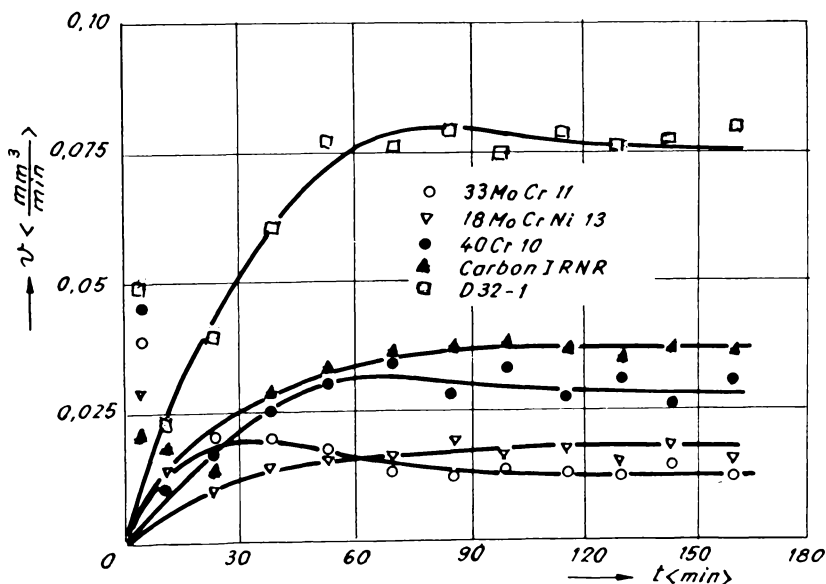


Fig.3.14 Variatia vitezei de eroziune cavitationala cu timpul de atac (oteluri carbon aliate pentru constructii - T2)

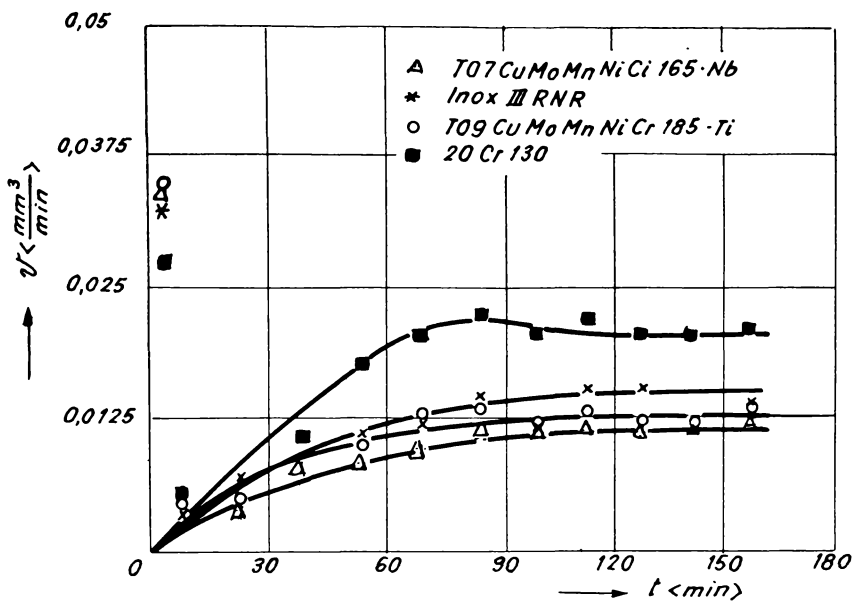


Fig. 3.15 Variatia vitezei de eroziune cavitationala cu timpul de atac (oteluri inoxidabile - T2)

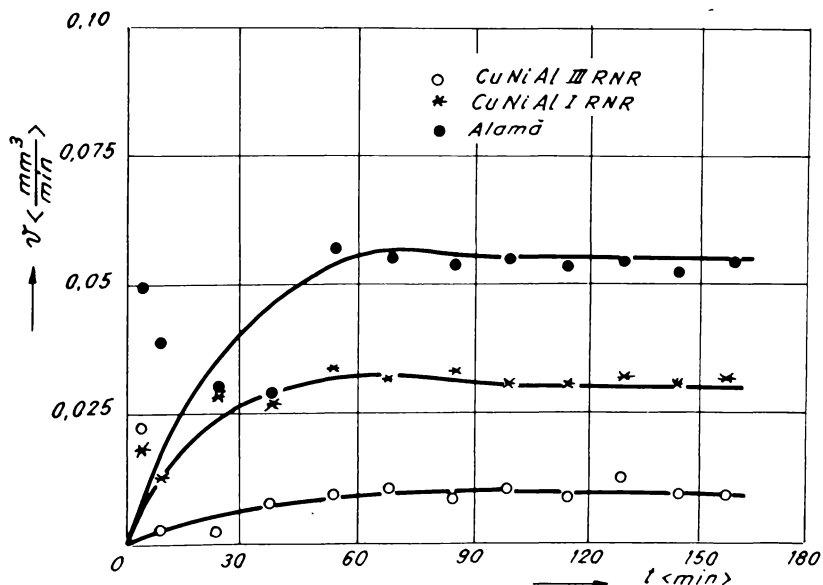


Fig. 3.16 Variatia vitezei de eroziune cavitationala cu timpul de atac (bronzuri si alame navale - T2)

Tab. 3.10 Coeficientii ecuatilor ce definesc curbele v(t) - T2

Material	$\beta_1$ $\text{mm}^3/\text{min}$	$\beta_2$ $\text{mm}^3/\text{min}^2$	$\beta_3$ $\text{mm}^3/\text{min}^5$	$\beta_4$ $\text{mm}^3/\text{min}^4$	$\beta_5$ $\text{mm}^3/\text{min}^3$	$\beta_6$ $\text{mm}^3/\text{min}^2$	$\beta_7$ $\text{mm}^3/\text{min}$
Grupa I							
DLC 15	-1,234 · 10 <sup>-5</sup>	6,239 · 10 <sup>-4</sup>	0	-8,0682 · 10 <sup>1</sup>	-1,8982 · 10 <sup>-6</sup>	4,1504 · 10 <sup>-4</sup>	1,0444 · 10 <sup>-3</sup>
DLC 370 - 3K	-3,158 · 10 <sup>-4</sup>	0,008	-1,3023 · 10 <sup>-9</sup>	4,9553 · 10 <sup>-7</sup>	-6,4642 · 10 <sup>-5</sup>	3,2948 · 10 <sup>-3</sup>	2,6064 · 10 <sup>-2</sup>
DLC 370 Cr 11	-3,688 · 10 <sup>-5</sup>	0,002	-5,969 · 10 <sup>-10</sup>	2,1644 · 10 <sup>-7</sup>	-2,5295 · 10 <sup>-5</sup>	1,0341 · 10 <sup>-3</sup>	5,5699 · 10 <sup>-3</sup>
40 Cr 10 (etalon)	1,232 · 10 <sup>-5</sup>	6,684 · 10 <sup>-4</sup>	0	3,7496 · 10 <sup>-8</sup>	-1,1807 · 10 <sup>-5</sup>	1,1397 · 10 <sup>-3</sup>	-2,3373 · 10 <sup>-3</sup>
18 Mo Cr Ni 13	-3,989 · 10 <sup>-6</sup>	4,759 · 10 <sup>-4</sup>	0	-5,3266 · 10 <sup>-9</sup>	1,0329 · 10 <sup>-8</sup>	-7,2618 · 10 <sup>-6</sup>	1,2299 · 10 <sup>-2</sup>
Carbon / RNR	-1,665 · 10 <sup>-5</sup>	0,001	0	1,6577 · 10 <sup>-8</sup>	-6,4957 · 10 <sup>-8</sup>	8,1508 · 10 <sup>-4</sup>	5,1588 · 10 <sup>-3</sup>
D 32 - 1	-3,188 · 10 <sup>-5</sup>	0,003	0	7,7434 · 10 <sup>-8</sup>	-2,4542 · 10 <sup>-5</sup>	2,4628 · 10 <sup>-3</sup>	8,8801 · 10 <sup>-4</sup>
Inox III RNR	-3,025 · 10 <sup>-6</sup>	3,489 · 10 <sup>-4</sup>	0	-1,5204 · 10 <sup>-9</sup>	-4,1336 · 10 <sup>-7</sup>	1,5938 · 10 <sup>-4</sup>	3,5135 · 10 <sup>-3</sup>
T07C uMnNiCr 165 - 16	-3,118 · 10 <sup>-6</sup>	3,292 · 10 <sup>-4</sup>	0	9,165 · 10 <sup>-9</sup>	-3,0241 · 10 <sup>-8</sup>	3,2336 · 10 <sup>-4</sup>	3,3957 · 10 <sup>-3</sup>
T09C uMnNiCr 185 - 7	-6,548 · 10 <sup>-6</sup>	4,645 · 10 <sup>-4</sup>	0	5,4725 · 10 <sup>-9</sup>	-2,0709 · 10 <sup>-6</sup>	2,5468 · 10 <sup>-4</sup>	2,3914 · 10 <sup>-3</sup>
20 Cr 130	-4,992 · 10 <sup>-6</sup>	3,576 · 10 <sup>-4</sup>	1,3268 · 10 <sup>-9</sup>	3,9346 · 10 <sup>-7</sup>	3,6885 · 10 <sup>-5</sup>	-9,8713 · 10 <sup>-4</sup>	1,3219 · 10 <sup>-2</sup>
CuNiAl III RNR	-7,06 · 10 <sup>-6</sup>	3,565 · 10 <sup>-4</sup>	0	4,3255 · 10 <sup>-9</sup>	-1,90 · 10 <sup>-6</sup>	2,5205 · 10 <sup>-4</sup>	5,2466 · 10 <sup>-3</sup>
CuNiAl I RNR	-2,54 · 10 <sup>-5</sup>	0,002	0	3,2699 · 10 <sup>-8</sup>	-9,93 · 10 <sup>-6</sup>	9,198 · 10 <sup>-4</sup>	8,577 · 10 <sup>-3</sup>
Alamă	-1,265 · 10 <sup>-5</sup>	0,002	1,2127 · 10 <sup>-8</sup>	2,933 · 10 <sup>-6</sup>	2,3687 · 10 <sup>-4</sup>	-6,7912 · 10 <sup>-3</sup>	8,8312 · 10 <sup>-2</sup>

Tab. 3.11 Marini statistiche sui tempi caratteristici -T2

Nr ct	Material Gruppo	Periodo di durata min>			$t'$ min	$t_1$ min	$t_2$ min	$\frac{t-t_2}{2}$
		$t'-t_2$	$t_2 - 165$	$t_2$				
1	DLC 15	$\sigma_{max}$ mm <sup>3</sup> /min	$\sigma_{min}$ mm <sup>3</sup> /min	$\sigma_{max}$ mm <sup>3</sup> /min	$\sigma_{min}$ mm <sup>3</sup> /min	$\sigma_{max}$ mm <sup>3</sup> /min	$\sigma_{min}$ mm <sup>3</sup> /min	$\frac{t-t_2}{2}$
2	DL 370 - 3K	+0,0013	-0,0094	+0,002	-0,005	+0,0026	10	97,5
3	33 Mo Cr 11	+0,008	-0,011	+0,001	-0,002	+0,0028	10	52,5
4	40 Cr 11	+0,001	-0,002	+0,002	-0,002	+0,0015	10	37,5
5	18 Mo Cr Ni 13	+0,002	-0,003	+0,002	-0,003	+0,0024	10	82,5
6	Carbon TRN'R	+0,001	-0,003	+0,003	-0,002	+0,0013	52,5	112,5
7	D32 - 1	+0,004	-0,006	+0,002	-0,001	+0,0007	22,5	97,5
8	Inox III RNR	+0,002	-0,001	+0,002	-0,003	+0,0002	10	82,5
9	T07CuMoMnNiCr 165 - NB	+0,002	-0,001	+0,005	-0,001	+0,0015	37,5	112,5
10	T09CuMoMnNiCr 185 - Ti	+0,002	-0,002	+0,005	-0,0005	+0,0005	10	112,5
11	20 Cr 130	+0,002	-0,003	+0,003	-0,002	+0,0021	22,5	112,5
12	CUNiAl III RNR	+0,001	-0,001	+0,001	-0,001	+0,0001	10	112,5
13	CUNiAl I RNR	+0,002	-0,002	+0,002	-0,0015	+0,0015	22,5	67,5
14	Alomá	+0,007	-0,005	+0,003	-0,003	+0,0017	67,5	97,5
								0,69

2 = 165 min

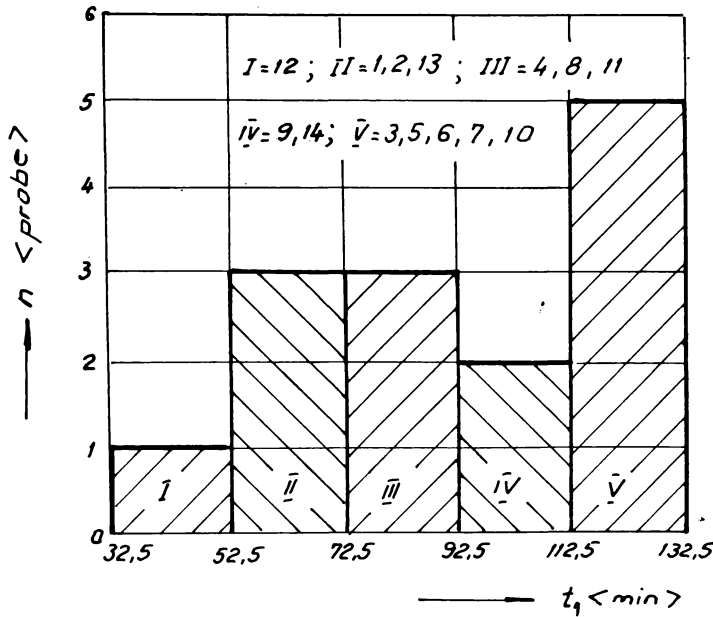


Fig. 3.17 Frecventa timpului  $t_1$ , de atingere a maximului vitezei de eroziune cavitationala,  $v_{max}$

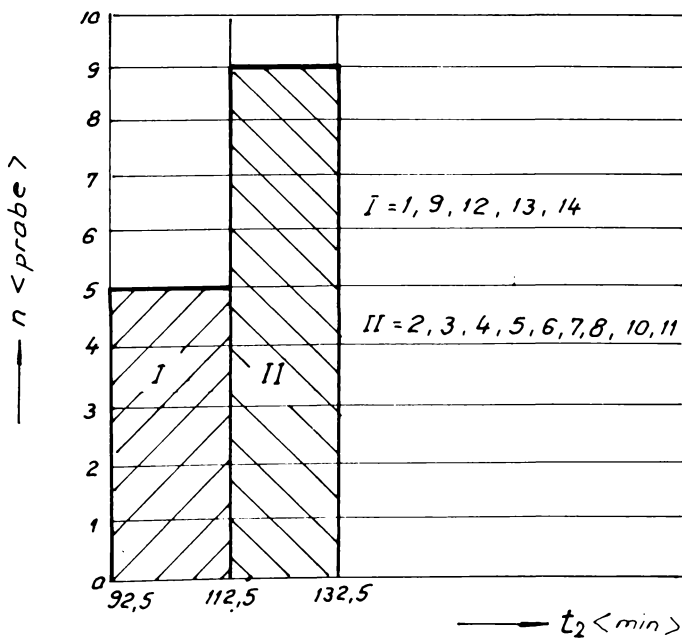


Fig. 3.18 Frecventa timpuli  $t_2$ , de la care se stabilizeaza viteza de eroziune cavitationala  $v_s$

Tab3.12 Parametrii caracteristici eroziunii cavitationale (continuare) (T2)

<i>Material</i>	<i>dpută mm</i>	<i>V<sub>E</sub> mm<sup>3</sup></i>	<i>MDPR mm/h<sub>r</sub></i>	$\frac{1}{MDPR} h/mm$
<i>Aceturi carbo</i>	DLC 15	11,5	3,06	0,0107
	DL 370 - 3K	11,5	12,45	0,0436
	33 MoCr 11	11,5	2,41	0,0084
	40 Cr 10 (etalon)	11,5	4,61	0,0161
	18 MoCrNi 13	11,5	2,57	0,009
	Carbon IRNR	11,5	5,4	0,0189
	D 32 - 1	11,5	11,51	0,0403
	Inox II RNR	11,5	1,91	0,00668
	T07CuMoMnNiCr165N6	11,5	1,6	0,0056
	T09CuMoMnNiCr185-II	11,5	1,92	0,00671
<i>Bronzuri alumini nou</i>	20 Cr 130	11,5	3,01	0,0105
	Cu Ni Al III RNR	11,5	1,92	0,00602
	Cu Ni Al I RNR	11,5	5,34	0,0187
	Alamă	11,5	7,79	0,0273

*h<sub>r</sub> - ore*

Tab.3.12 Parametrii caracteristici eroziunii cavitationale (T2).

Material	$V_{max,r}$ mm <sup>3</sup> /min	$V_{max,c}$ mm <sup>3</sup> /min	$V_{max,c} - V_{max,r}$ mm <sup>3</sup> /min	$V_s$ mm <sup>3</sup> /min	$R_{n,max}$	$R_{n,s}$
Detaluri din carbon						
DLC 15	0,025	0,023	- 0,002	0,023	0,72	0,8
DL 370 - 3K	0,086	0,083	- 0,003	0,077	2,6	2,7
Detaluri din oale ptr. constructii						
33 Mo Cr 11	0,02	0,019	- 0,001	0,011	0,6	0,38
40 Cr 10 (etalon)	0,035	0,032	- 0,003	0,029	1,0	1,0
18 Mo Cr Ni 18	0,018	0,017	- 0,001	0,017	0,53	0,59
Carbon IR NR	0,039	0,038	- 0,001	0,038	1,19	1,31
D32 - 1	0,08	0,08	0	0,076	2,5	2,5
Detaluri inoxidabili						
Inox III RNR	0,015	0,014	- 0,001	0,014	0,43	0,48
T07CuMoMnNiCr165N <sub>6</sub>	0,012	0,011	- 0,001	0,011	0,34	0,38
T09CuMoMnNiCr185Ti	0,013	0,0125	- 0,0005	0,0125	0,39	0,43
20Cr 130	0,023	0,023	0	0,02	0,72	0,69
Bronzuri cu NiCr						
CuNiAl III RNR	0,012	0,011	- 0,001	0,011	0,34	0,38
CuNiAl I RNR	0,035	0,035	0	0,033	1,09	1,14
Alumina	0,059	0,059	0	0,056	1,84	1,93

### 3.3.3 Discutii si concluzii

Analiza comportarii cavitationale, a materialelor testate in aparaturul vibrator piezoceramic T2, se va realiza pe baza curbelor  $v(t)$ , pe fiecare grupa in parte.

#### a) Oteluri carbon nealiate, fig.3.13

Cele doua materiale prezentate in fig.3.13 au comportari cavitationale complet diferite. La OL370-3k, stabilizarea vitezei de eroziune cavitationala are loc dupa realizarea unui maxim, iar la OLC 15 la valoarea maxima. In aceasta zona dispersia punctelor, fata de curba de aproximatie, este cu ceva mai redusa la OL 370-3k. Cauza o constituie efectul amortizant al gazului din caverne.

Modul, diferit, de evolutie al curbelor  $v(t)$  arata dependenta rezistentei cavitationale de toti factorii caracteristici marcii de material (constituutie, omogenitate si fineta structurala, compozitie chimica, tip retea cristalina, proprietati mecanice).

Luand criteriu de comparatie valoarea vitezei din zona de stabilizare rezulta ca otelul OL370-3k are o rezistenta de aproximativ 3,3 ori mai mica decat OLC15.

#### b) Oteluri aliate pentru constructii, fig.3.14

Desfasurarea curbelor  $v(t)$  evidentiaza trei tipuri de comportari cavitationale. Otelurile 33MoCr11 si 18MoCrNi13 cu foarte buna comportare cavitationala. Carbon I-RNR si 40Cr10 (cu structuri asemanatoare-Tab.3.2) cu rezistenta cavitationala medie. Si otelul naval D32-1 cu cea mai slaba comportare cavitationala (asemanatoare otelului OL370-3k). Cauza principala a scaderii rezistentei, acestui otel, la distrugere cavitationala, analizata in Cap.4, este legata de structura si compozitia sa chimica.

De remarcat, este comportarea cavitationala din zona de palier, aproape constanta. Acest aspect evidentiaza rolul benefic al principalelor elemente de aliere (Cr, Ni, Mn, Mo). Prezinta lor in compozitia chimica sporeste rezistenta cavitationala prin cresterea valorica a caracteristicilor mecanice, fortelor de legatura intercristalina si gradului de finisare a structurii [35a, 65, 115].

Desi, toate materialele, prezentate in fig.3.14, provin din semifabricate laminate, diferentele dintre cantitatile procentuale si natura elementelor de innobilare duc la comportari cavitationale diferite pana la inceperea stabilizarii. Astfel, la otelurile 33MoCr11, 40Cr10 si D32-1 viteza de eroziune cavitationala se stabilizeaza la o valoare mai mica decat cea maxima, iar la restul la valoarea maxima. De saemenea, la otelul 40Cr10 diferenta dintre valoarea maxima si cea de stabilizare (- 0,003 mm<sup>3</sup>/min) este nesemnificativa, de acelasi ordin cu abaterile.

Comportamentul cavitational diferit este ilustrat si de durata de atenuare, mult mai mica la 33MoCr11 in raport cu 40Cr10 si D32-1.

Toate aspectele prezentate sunt legate, in primul rand, de factorii caracteristici materialului (structura, compozitie chimica, tip retea cristalina, etc.)

#### c) Oteluri inoxidabile, fig.3.15

Cu exceptia otelului 20Cr130, celelalte trei au comportari cavitationale asemnatoare, curbele  $v(t)$ , din zona de stabilizare, aflandu-se in domeniul dispersiilor.

Rezistenta cavitationala mai scazuta a otelului 20Cr130 se datoreaza, in principal, lipsei martensitei, Tab.3.2, constituentul structural cu cea mai sporita rezistenta cavitationala [40a, 44, 72].

Dispersiile reduse, ale punctelor experimentale, fata de curbele de aproximatie (cu exceptia primelor, care nu caracterizeaza distrugerea materialului propriu-zis [81]) sunt o expresie elocventa a influentei, benefice, a elementelor de aliere asupra rezistentei cavitationale.

#### d) Bronzuri si alame navale, fig. 3.16

Structurile, compositiile chimice si proprietatile fizico-mecanice diferite, Tab.3.1 si 3.2, sunt principaliii factori care determina diferente, intre comportarile cavitationale, exprimate prin curbele  $v(t)$ , ale celor trei aliaje.

Desfasurarea curbelor  $v(t)$  si dispersia punctelor fata de acestea defineste cel mai bine calitatatile cavitationale ale fiecarui aliaj.

Cum era de asteptat, cea mai buna rezistenta o prezinta CuNiAl III-RNR, datorita valorilor mai ridicate ale principalilor factori (proprietati mecanice, cote procentuale de Ni si Mn).

Valorile foarte mari ale vitezelor de eroziune cavitationala din primele 10 minute, pentru toate materialele, sunt determinate de eliminarea prafului abraziv si distrugerea varfului asperitatilor. Datorita frecventei mai mari ( $f = 20 \pm 0,2\% \text{ kHz}$ ) decat la aparatul magnetostrictiv T1 ( $f = 7000 \pm 3\% \text{ Hz}$ ), aceste procese au loc intr-un timp mai scurt (10 minute fata de 15 minute).

Datorita intensitatii ridicate a procesului cavitational, similar curbelor  $v(t)$  obtinute la teste din aparatul T1, perioada de incubatie este practic inexistentă.

Pe baza datelor din Tab.3.11, se pot face urmatoarele aprecieri:

a) in cazul otelurilor carbon nealiate, dispersia si abaterile cele mai mari le prezinta OL370-3k in zona de acumulare. Cauza principala o constituie nivelul mai scazut al proprietatilor mecanice [40a, 33].

In zona de stabilizare dispersiile sunt apropiate valoric, iar abaterile ceva mai mari, insa nesemnificativ, la OLC15. Micile diferente dintre abateri sunt determinate de pungile de gaz, mai mari la OL370-3k, care prin efectul amortizant determina o distrugere mai constanta.

Nivelul dispersiilor si abaterilor din zona de stabilizare, ca si la aparatul T1, sugereaza aceeasi tendinta de utilizare a energiei absorbite de material in timpul eroziunii cavitationale (Cap.4)

b) in cazul otelurilor aliate pentru constructii, dispersia si abaterile cele mai mari le prezinta otelul naval D32-1. Principala cauza este expulzarea grauntilor cristalini, sau grupurilor, de mari dimensiuni, in timpul atacului cavitational [35a, 65, 115, 15, 128]

La restul materialelor se inregistreaza abateri si dispersii normale, firesti pentru comportamentul lor cavitational [33,81].

c) in cazul otelurilor inoxidabile, dispersia si abaterile punctelor experimentale fata de curbele  $v(t)$  sunt normale si mai mici decat la primele doua categorii de oteluri, evidentind, inca o data, efectul benefic al elementelor de innobilare.

d) in cazul bronzurilor si alamelor navale, dispersia (abaterile) cele mai mari le prezinta alama, datorita structurii monofazice de solutie solidă [35a, 40a, 33 64, 65, 115].

Se remarcă nivelul mai scazut al abaterilor și dispersiilor obținute la aproximarea punctelor experimentale, ce caracterizează comportarea cavitatională a materialelor în aparatul T2 (Tab.3.11), făcă de cel obținut la aparatul magnetostriativ T1 (Tab.3.8). Acest aspect reflectă capacitatea distructivă, mai ridicată, a aparatului vibrator T1.

Histograma de frecvență, fig.3.18 arată că stabilizarea vitezei de eroziune cavitatională, pentru toate materialele, tendă să se realizeze în intervalul (92,5 - 132,5) minute. Pentru oțelurile inoxidabile tendă spre  $t_2 = 112,5$  minute. În cazul oțelurilor aliate pentru construcții, o parte tendă spre  $t_2 > 112,5$  minute (40Cr10, 18MoCrNi13 și D 32-1) și o parte la  $t_2 = 97,5$  minute (33MoCr11 și Carbon I-RNR). Pentru cele două oțeluri carbon nealiate (OL370-3k și OLC15) stabilizarea vitezei de eroziune cavitatională tendă spre  $t_2 = 97,5$  minute.

Variatia timpului de stabilizare a eroziunii cavitacionales este expresia influentei variatiilor de: procent și natura constituenti strucțurali, concentrație elemente chimice de inoxibilare și valori proprietăți mecanice ( $R_{p0,2}$ , HB, Rm) asupra rezistenței cavitacionales.

Domeniu larg de variație al timpului  $t_1$ , fig.3.17, la care se înregistrează maximul vitezei de eroziune cavitatională, denotă dependența comportării materialului de proprietăți, strucțura, compozitie chimica și tehnologie de elaborare [6, 29, 33, 40, 41, 69, 72, 77, 100, 107].

Numărul mic de materiale, testate în aparatul T2, nu permite aprecierea unor tempi de referință,  $t_1$ , pentru fiecare grupă. O tendință există pentru inoxuri, în jurul timpului  $t_1 = 112,5$  minute. Din punct de vedere al timpului  $t_2$ , se poate admite că timp de referință valoarea 112,5 minute, iar pentru alama, unele oțeluri aliate pentru construcții și oțeluri carbon nealiate  $t_2 = 97,5$  minute.

Valorile parametrilor caracteristici eroziunii cavitacionales, Tab.3.12, permit o prima clasificare a materialelor testate după rezistența cavitacională:

- materiale cu slabă rezistență cavitatională (OL 370-3k, D 32-1, alama navală) caracterizate prin:

- valorile maxime și de stabilizare a vitezei de eroziune cavitatională:  $v_{max} = v_s = 0,058 \pm 0,083$  mm/min,

- valorile rezistențelor normalizate la cavitatie:  $R_{nmax} = R_{ns} = 1,8 \pm 2,6$ .

- materiale cu bună rezistență cavitacională (40Cr10, Carbon I-RNR, 20Cr130, CuNiAl I-RNR), caracterizate prin:

- valorile maxime și de stabilizare a vitezei de eroziune cavitatională:  $v_{max} = v_s = 0,023 \pm 0,057$  mm/min,

- valorile rezistențelor normalizate la cavitatie:  $R_{ns} = R_{nmax} = 0,72 \pm 1,79$ .

- materiale cu foarte bună rezistență cavitacională (33MoCr11, 18MoCrNi13, Inox III-RNR, T07CuMoMnNiCr165-Nb, T09CuMoMnNiCr185-Ti, CuNiAl III-RNR), caracterizate prin:

- valorile maxime și de stabilizare a vitezei de eroziune cavitatională:  $v_{max} = v_s = 0,011 \pm 0,022$  mm/min,

- valorile rezistențelor normalizate la cavitatie:  $R_{nmax} = R_{ns} = 0,34 \pm 0,71$ .

Aceasta clasificare arata ca in fiecare grupa exista materiale cu comportari cavitationale diferite si evidențiaza acțiunea comună a tuturor factorilor, ce determină marca de material, asupra rezistenței la eroziune cavitatională.

Coincidența dintre limitele rezistențelor normalizate și vitezelor de eroziune cavitatională demonstrează dependența comportării cavitationale a materialului de capacitatea distructivă a aparatului.

## CAP.4 ANALIZA REZULTATELOR EXPERIMENTALE

### 4.1 CONSIDERATII ASUPRA DISTRUGERII CAVITATIONALE A MATERIALELOR IN CELE DOUA APARATE

Distrugerea materialelor prin eroziune cavitationala, in aparatele vibratorii, este efectul cumulat al mecanismelor hidrodinamic si mecanic [3, 6, 30a, 40a].

Procesul hidrodinamic consta in formarea si surparea norului de bule cavitationale pe suprafata de atac a probei si depinde de parametrii tehnico-functionalii ai apparatului: frecventa si amplitudinea vibratiilor, diametrul probei, natura si temperatura lichidului de lucru [3, 6, 33a, 40a, 69, 107]. Prin surparea norului de bule cavitationale apar varfurii de presiuni care solicita local materialul probei de incercare. Pe aparatele vibratorii, aceste presiuni, in general, raman constante datorita mentinerii valorilor parametrilor functionali in limitele admisibile [120].

Procesul mecanic, al distrugerii cavitationale, este dat de modul in care materialul preia energia transmisa prin surparea bulelor cavitationale. Energia absorbita de material depinde de: proprietatile fizico-mecanice, structura cristalina si intercristalina si este folosita pentru deformatii elasto-plastice, fisurari si expulzari de graunti sau parti din acestia [3, 30a, 41, 40a, 44, 47, 81].

Examinarea suprafetelor erodate cavitational, la microscopul optic (mareire 6,3x) si cu ochiul liber, la sfarsitul fiecarei perioade de atac cavitational, a evideniat urmatoarele aspecte:

- in primele minute ale atacului cavitational, 0 - 15(30), pe suprafata activa (atacata) apare o pata, aproximativ circulara, cu urme de: curgeri radiale, deformari plastice fisurari si asperitati cu varfurile distruse.

Datorita presiunilor create pe suprafata probei si frecventelor mari de vibratie praful abraziv este, practic, indepartat in intregime.

- in perioada 15(30) - 90(105) minute pata devine mai inchisa la culoare, cu mici caverne, evidentiind ruperile inter si transcrystaline cu expulzari de graunti cristalini, sau parti din acestia.

- din minutul 90(105), pe suprafata probei apare o pata stelara, cu caverne ce se largesc si adancesc pe masura continuarii testelor. Acest fenomen este efectul propagarii fisurilor pe directii radiale si verticale, in functie de locul unde se produce solicitarea locala si legatura intercristalina este mai slaba.

In fig.4.1 este prezentata fotografia suprafetei distruse prin eroziune cavitationala, pentru inoxul 20Cr130. In aceasta fotografie, realizata prin microscopul optic, mareire 1000x, se remarcă toate etapele distrugerii cavitationale a materialului. Primele componente ce se distrug sunt carburile formate la limitele dintre grauntii cristalini [44]. **Indepartarea acestora genereaza amorse de fisuri Propagarea fisurilor se face atat axial (in adancime) 1 cat si radial 2, functie de locul in care legaturile sunt mai slabe.**

La suprafața probei (zona 3) se realizează o durificare locală, prin tasare, datorită solicitării locale repetitive [3]. Datorită rețelei cristaline de tip hexagonală cu volum central, durificarea la suprafață se realizează pe o adâncime mai mică. Grupurile de grauniți 4, bine legați structural, sunt mai întâi deformate plastic și apoi rupte de restul materialului.

La probele prelevate din materiale cu slabă rezistență cavitatională (D 32-1, OT 500-3, OL 370-3k, alama navală), pe suprafața de atac, apar caverne ce dău impresia

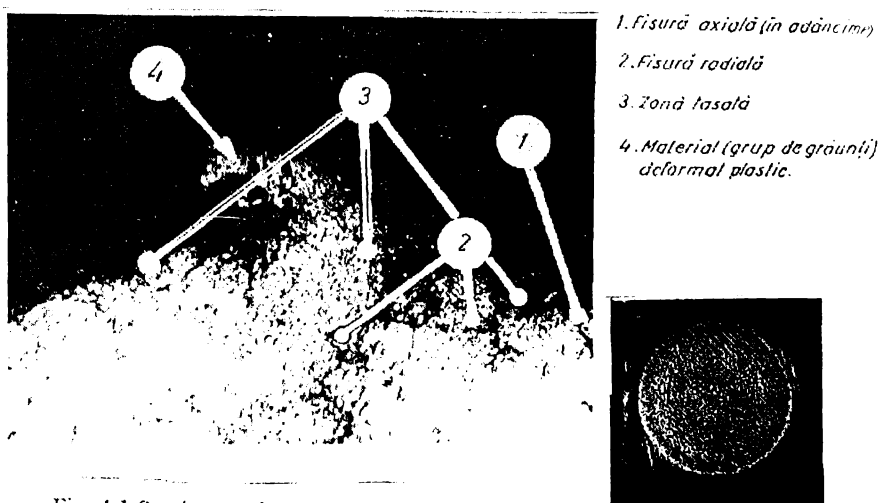


Fig. 4.1 Secțiune prin suprafață erodată  
erodată cavitational (20 Cr 130  
mare 1000x)

Fig. 4.2 Suprafață erodată cavitational  
(20Cr 130 mare 6,3x)

unui crater de vulcan, cu multe guri de scurgere. Acest mod de distrugere este cauzat de neomogenitatea structurală și caracterul fibros, al structurii [35a, 65, 115], care determină expulzări de grauniți sau grupuri de grauniți. Fenomenul se observă, cel mai bine, la probele testate în aparatul vibrator magnetostrictiv T1, datorită capacitatii distructive mai ridicate (Cap.5: D 32-1, OL 370-3k, alama).

La probele prelevate din oteluri inoxidabile și bronzuri navale de înaltă rezistență pată erozională este uniformă și cu crater greu observabile cu ochiu liber. Cauza se situează mai omogenă, mai fină și cu puternice legături intercristaline determinate de elementele de inoxibilare [35a, 115]. La aceste tipuri de materiale, în general, distrugerile cavitatoriale sunt caracterizate de spargeri de grauniți și expulzarea partilor disociate [77, 44, 47].

În cazul otelurilor aliate, în funcție de gradul de altitudine (înalt, mediu, slab) forma suprafeței distruse, prin cavitățe, se apropie de cea a inoxurilor sau a otelurilor carbon neutralizate.

Dispersia punctelor experimentale, fata de curbele  $v(t)$ , fig.3.2, 3.3, 3.5 - 3.8 si 3.13 - 3.16, in zona de stabilizare a eroziunii cavitational, redate calitativ in fig. 4.3, denota tendinta de folosire a energiei absorbite de material. Astfel;

- in perioada I cea mai mare parte din energia absorbita de material, in timpul atacului cavitational, este dirijata spre ruperea legaturilor inter si transcrystaline si expulzarea materialului rupt, si restul spre deformari elasto-plastice. Fenomenul este caracteristic, in special, otelurilor carbon nealiate, fontelor, alamelor turnate, si la unele oteluri aliate ca D 32-1 [15, 33, 44].

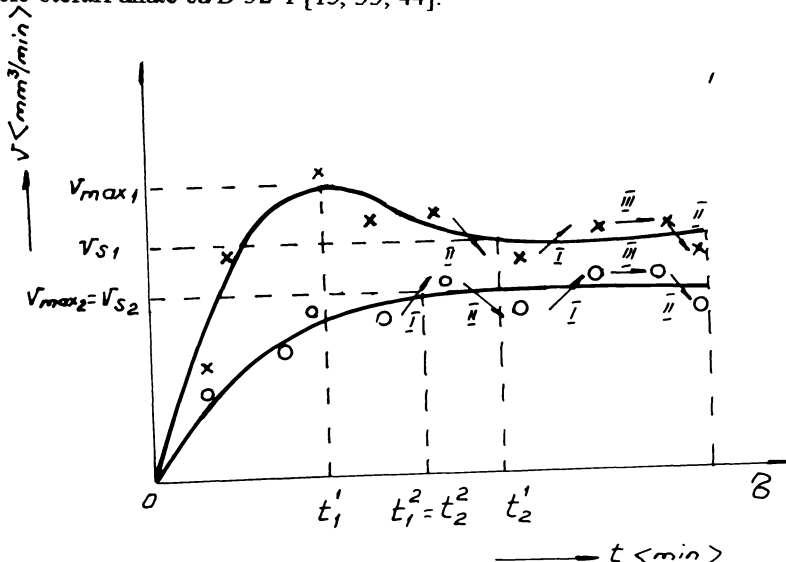


Fig. 4.3 Tendinte de distributie a punctelor experimentale fata de curbele  $v(t)$

- in perioada II cea mai mare parte din energia absorbita de material, in timpul atacului cavitational, este consumata pentru deformari elasto-plastice si ruperea legaturilor inter si transcrystaline si restul pentru expulzarea materialului dislocat. Fenomenul este specific otelurilor inalt si mediu aliate pentru constructii, inoxurilor si bronzurilor navale de inalta rezistenta (40Cr10, Carbon I-RNR, Inox austenito-feritic H4142-15, OH12NDL, 20Cr130, CuNiAl I-RNR).

- in perioada III energia consumata pentru deformari elasto-plastice, ruperea legaturilor si expulzarea materialului desprins, ramane aproximativ constanta. Fenomenul este caracteristic otelurilor inalt aliate si inoxidabile tenace (T07CuMoMnNiCr165-Nb, T09CuMoMnNiCr185-Ti, Inox III-RNR, 33 MoCr11, 41MoCr11, 18MoCrNi13, CuNiAl III-RNR)

## 4.2 INFLUIENTA ELEMENTELOR CHIMICE COMPONENTE

De cantitatea procentuala a elementelor chimice componente depinde raportul constituentilor structurali, gradul de finisare si omogenizare al structurii si nivelul proprietatilor fizico-mecanice [35a, 64, 65, 114, 115]. Elementele chimice de innobilare (Ni, Cr, Mn, Mo, Va, Nb), in general, au un rol benefic asupra calitatii materialului. In functie de scopul urmarit, cresterea nivelului valoric al unei anumite caracteristici mecanice sau obtinerea unui anumit raport intre principalii constituenti structurali si a unui anumit grad de finisare, se pot folosi unul sau mai multe elemente de aliere [35a].

Experienta acumulata de colectivul Catedrei de Masini Hidraulice din Timisoara, in cei peste 35 ani de cercetari [9 - 20, 44, 52, 53, 127, 128, 133], si alte colective [33a, 40a, 41, 107, 111], arata ca unul si acelasi material are comportari cavitationale diferite de la o sarja la alta, pentru semifabricate de acelasi tip (bare, table, turnate, etc.). Cauza principala o constituie imposibilitatea obtinerii unei retete stricte in timpul elaborarii semifabricatelor, dovedita de domeniile standard de variatie a elementelor chimice componente [122 - 126a].

In lucrare se discuta tendinta influentei principalelor elemente de aliere asupra performantelor cavitationale ale materialelor, din cadrul fiecarei grupe. Discutiile se realizeaza pe baza datelor prezentate in Tab. 3.1 si a curbelor  $\sigma(t)$ , obtinute prin incercarile de eroziune cavitationala in cele doua aparate vibratoare T1 si T2.

### a. - Oteluri carbon nealiate si fonte, fig.3.3 si 3.13

Otelurile OL 370-3k si OT 500-3 au rezistenta cavitationala scazuta datorita prezentei elementelor de aliere in cantitati insuficiente ( $Mn = 0,4 \div 0,7\%$ , Tab.3.1) pentru intarirea legaturilor intercristaline, finisarii si creerii constituentilor structurali de tip: martensita sau austenita, cu proprietati mecanice ( $Rm$ ,  $Rp_{0,2}$ , HB, As, Z, KCU) ridicate, care pot spori aceasta rezistenta [44, 77].

De asemenea, in anumite conditii, se pot forma silicatii fragili [115], ce influenteaza negativ rezistenta la cavitate, prin lipsa elementelor Cr si Ni necesare prevenirii acestui fenomen [30a, 40a, 77].

Slaba comportare cavitationala a otelului OL 370-3k, se datoreaza si prezentei fosforului si sulfului. Influenta negativa a fosforului este data prin tendinta de fragilizare a structurii si producerii segregatiilor [ 35a, 115]. Efectele nefaste ale sulfului, asupra rezistentei cavitationale, sunt reducerea rezistentei la oboseala si tenacitatii, precum si tendinta de formare a amorselor de rupere, prin sulfurile FeS si MnS [65, 115].

Rezistenta cavitationala redusa a otelului OT 500-3 este efectul structurii grosolane, obtinuta prin turnare, si lipsei elementelor de aliere Cr si Ni, cu efectul mentionat la OL 370-3k.

Buna comportare cavitationala a otelului OLC 15, probabil, este legata de cantitatea redusa de carbon, tenacitatea, gradul de finete si omogenitatea structurala mai ridicate, obtinute prin conditiile de elaborare mai speciale [35a, 115]. De

asemenea, cantitatea de Mn si S, prezente in compozitia acestui otel, este nesemnificativa (Tab.3.1) pentru formarea unei structuri fibroase sau cu sulfuri.

Comportarea cavitationala a fontei Fgn 450-5, aleatorie in perioada de acumulare si atenuare (0 -90 minute) este datorata cantitatii ridicate de Si (3,1%) si C (3,1%), care determina aparitia nodulilor de grafit, duri si fragili [65, 115], expulzati in aceasta perioada. Comportarea cavitationala buna din ultima parte a atacului cavitational (zona de stabilizare) arata ca distrugerea se realizeaza in matricea metalica (P+F). Asa se explica comportamentul cavitational superior fata de OT 500-3 si OL 370-3k.

**b. - Oteluri aliate pentru constructii, fig. 3.4 si 3.14**

Comportarile cavitationale foarte bune, ale otelurilor 33MoCr11 si 41 MoCr11, sunt efectul prezentei in componzitie a Cr si Mo , care asigura o structura destul de omogena, cu proprietati mecanice (in special Rm, HB si Rp0,2) ridicate si cantitatii de Mn sub limita fragilizarii structurii si dezvoltarii excesive a grauntilor cristalini [65, 115]. De asemenea, cantitatea ridicata de carbon (0,33%, respectiv 0,41%) asigura valori mari rezistentei mecanice la rupere si duritatii materialului, care, in acest caz, sporeste rezistenta la eroziune cavitationala.

Otelul 18MoCrNi13 se comporta foarte bine la cavitatie si datorita prezentei in structura a tuturor elementelor de aliere (Cr, Ni, Mo, Mn) care, impreuna, sporesc gradul de finisare si omogenizare a structurii, cresc fortele de legatura dintre cristale si elimina defectele de tip silicati si sulfuri ce pot aparea [35a, 63, 65, 115].

Slaba comportare cavitationala a otelului D 32-1 este si efectul cantitatilor ridicate de Mn (12,5 %) si Si (2,5 %), Tab.3.1, ce favorizeaza aparitia grauntilor de mari dimensiuni si a grafitalui (element fragilizant) [65, 115], care , in timpul atacului cavitational, sunt expulzati in intregime sau parcial. Cavernele foarte adanci din suprafata erodata, observabile si cu ochiul liber, demonstreaza cele afirmate.

Otelul Carbon I-RNR are o rezistenta cavitationala buna datorita cantitatii moderate de Mn (1,1 % - Tab.3.1) care, in prezena elementelor Cr si Ni, nu poate mari excesiv dimensiunile grauntilor si asigura o structura putin mai fina si omogena, ce determina pierderi mai mici (valori mai scazute ale vitezei de eroziune cavitationala).

Otelul 40Cr10 se comporta bine la eroziune cavitationala dar mai slab decat otelurile 33MoCr11, 41MoCr11 si 18MoCrNi13 datorita cantitatilor reduse de elemente de innobilare (0,44 % Cr, 0,56 % Mn - Tab.3.1), care, practic, au acelasi efect ca si la otelul Carbon I-RNR.

**c) - Oteluri inoxidabile, fig. 3.5 si 3.15**

Cu exceptia otelurilor OH12NDL si Inox austenito-feritic H4142-15, restul otelurilor se comporta foarte bine la atacul cavitational datorita procentelor insemmate de Cr si Ni care maresc rezistenta la eroziune cavitationala [3, 30a, 40a, 44, 72, 77]. Elementele cu tendinta negativa asupra rezistentei cavitationale Mn, S, Si si P sunt in cantitati prea mici pentru a diminua efectul produs de Cr si Ni, Tab.3.1.

Rezistenta cavitationala mai slaba, dar buna, a Inoxului austenito-feritic H4142-15, este cauza cantitatii mai ridicate de Mn (3,45 %-Tab.3.1) ce determina fragilizarea structurii si cresterea grauntilor.

La otelurile din aceasta grupa se observa cel mai bine capacitatea elementelor de aliere de a realiza o structura cat mai fina si omogena (vezi alura curbelor  $\nu(t)$  si distributia punctelor experimentale fata de aceste curbe), precum si cresterea forTELOR interioare de legatura (vezi aspectul suprafetelor erodate, Tab5.2)

**d) - Bronzuri si alame navale, fig. 3.6 si 3.16**

Bronzurile CuNiAl I-RNR si CuNiAl III-RNR au comportari cavitationale bune si foarte bune datorita cantitatilor importante de Ni si Al, Tab3.1, care ridicand nivelul valoric al proprietatilor mecanice sporesc rezistenta la cavitatie [47].

Alama navală are o rezistenta cavitationala scazuta din cauza structurii monfazice si lipsei elementelor de innobilare. De altfel, scaderea cuprului in favoarea zincului reduce rezistenta la cavitatie [30a].

Comportarea cavitationala a bronzului CuNiAl III-RNR superioara celorlalte doua (CuNiAl I-RNR si alama) se datoreaza, in primul rand, continutului mai ridicat de Ni (4,5%), absent la alama si de 2,33 % la CuNiAl I-RNR.

### 4.3 INFLUENTA CONSTITUENTILOR STRUCTURALI

Un alt rol important in comportarea cavitationala a materialului il are constitutia structurala. Influenta sa asupra rezistentei cavitationale a materialelor este analizata pe fiecare grupa, in baza datelor din Tab.3.2 si curbelor  $\nu(t)$ .

**a) - Oteluri carbon nealiate si fonte, fig.3.3 si 3.13**

Otelurile OL 370-3k si OT 500-3 au comportare cavitationala scazuta datorita cantitatii ridicate de ferita, 65 % si 85 %, constituent moale, plastic [65, 115] si cu cea mai slaba rezistenta la eroziune cavitationala [44, 77].

Cantitatea de perlita lamelara (amestec mecanic de ferita si cementita), este prea mica, 40 % si 15 %, pentru a influenta favorabil rezistenta la cavitatie, chiar daca rezistenta sa este mai ridicata [44].

Otelul carbon OLC 15 se comporta cel mai bine din aceasta grupa din cauza elementului gamagen, Mn, prezent in cantitate mica (0,5 % - Tab.3.1) care-i maresteste duritatea fara a-i fragiliza structura [35a, 115], facandu-l mai rezistent si decat otelul Carbon I-RNR, ce are o cantitate mai mare de Mn (1,1 %). Absenta sulfului, fosforului si siliciului, care pot forma compusi duri si fragili, respectiv segregatii [65, 115], il face cu mult mai rezistent cavitational decat OL 370-3k si OT 500-3, chiar daca este constituit din mai multa ferita (90 %) si mai putina perlita (10 %).

Fonta cu grafit nodular Fgn 450-5 se comporta cavitational mai bine dupa expulzarea nodulilor de grafit (zona de stabilizare a eroziunii cavitationale) datorita cantitatii ridicate de perlita (70% -Tab.3.2), care o face mai rezistenta decat OL370-3k si OT 500-3.

**b) - Oteluri aliate pentru constructii, fig. 3.4 si 3.14.**

Determinarea cantitatii procentuale in care constituentii structurali participa la formarea stururii nu s-a putut realiza din lipsa mijloacelor materiale (aparate) si

documentare (diagrame, relatii). Din acest motiv in Tab.3.2 s-au afisat numai denumirile constituentilor, a caror stabilire s-a efectuat pe baza tipurilor de structuri prezentate in [64, 114] si a metodologilor din [35a, 65, 115].

Otelul naval D 32-1 are rezistenta cavitationala scazuta datorita austenitei grosolane, dure si fragile, determinata de continutul ridicat de Mn [65, 115], din care in timpul atacului sunt expulzati graanti, sau parti din ei, de mari dimensiuni.

Otelurile 33MoCr11 si 18MoCrNi13 se comporta foarte bine la eroziune cavitationala din cauza prezentei, alaturi de ferita aliata (cu rezistenta cavitationala sporita fata de cea nealiata [44]) si perlita, a amestecului mecanic bainita care contribuie la cresterea caracteristicilor de rezistenta mecanica HB, Rm, si As [114]. Micile diferente de comportament, evidente de curbele v(t), fig.3.4 si 3.14 sunt cauzele diferentelor procentuale in care se afla cei trei constituenti: F, P si B.

Comportarea cavitationala foarte buna a otelului 41MoCr11 se datoreaza, in primul rand, martensitei, constituent structural cu foarte buna rezistenta cavitationala [40a, 44, 77] si in al doilea rand bainitei. Comportarea, oarecum, mai modesta decat a otelului 33MoCr11 este determinata de martensita, a carei structura, probabil, nu-i de finetea necesara sporului insemnat la eroziune cavitationala.

Otelurile 40Cr10 si Carbon I-RNR se comporta bine cavitational, dar mai slab decat 33MoCr11, 18MoCrNi13 si 41MoCr11, datorita cantitatilor mai ridicate de carbon si mai reduse de elemente de aliere, in special Cr (vezi Tab.3.1).

### c) - Oteluri inoxidabile, fig.3.5 si 3.15.

Otelurile T07CuMoMnNiCr165-Nb si T09CuMoMnNiCr185-Ti se comporta excelent la eroziune cavitationala datorita structurii formate din A, M si F care le confera rezistenta sporita. Datorita cantitatii de martensita mai ridicata (40 %) si ferita mai scazuta (20 %), Tab.3.2, inoxul T07CuMoMnNiCr165-Nb, rezista, atacului cavitational, putin mai bine decat T09CuMoMnNiCr185-Ti cu cantitate mai mica de M (10 %) si mai mare de F (30 %).

Otelul inoxidabil III-RNR se comporta foarte bine la eroziune cavitationala datorita cantitatii ridicate de martensita (50 %).

Comportarea asemanatoare dintre Inox III-RNR, laminat, si inoxurile T07CuMoMnNiCr165-Nb si T09CuMoMnNiCr185-Ti, turnate, se datoreaza cantitatii de ferita mai ridicata la primul si structurii mai fibroase (obtinuta prin turnare) la cele din urma.

Otelurile 20Cr130 si 2H13 se comporta foarte bine, dar mai slab decat cele mentionate la aceasta grupa, din cauza cantitatii sporite de ferita (66 %). Diferentele ce apar, exprimate prin curbele de eroziune cavitationala v(t) si valorile parametrilor caracteristici, Tab.3. sunt efectul compozitiei chimice care poate nu este asa cum s-a admis, din lipsa informatiei; si ca urmare sa nu existe acelasi raport de constituenti structurali.

Otelul Inox austenito-feritic H4142-15 se comporta bine la eroziune cavitationala dar mai slab decat cele dinainte, datorita continutului ridicat de Mn (3,45 %-Tab3.1) care face ca acele de martensita si austenita sa fie mai grosolane, iar structura mai fibroasa si fragila determinand pierderi mai ridicate.

Inoxul OH12NDL are cea mai scazuta rezistenta cavitationala dintre toate inoxurile, datorita structurii fibroase formata preponderent din ace mari de martensita (76

%), obtinute in urma procesului de turnare. De altfel, practica a dovedit ca paletele de turbina turnate din acest otel au avut o durata de viata mai mica decat cele turnate din otelurile T07CuMoMnNiCr165-Nb si T09CuMoMnNiCr 185-Ti [127]. Deci, cauza principala este tehnologia de elaborare si turnare.

d) - **Bronzuri si alame navale, fig.3.6 si 3.16.**

CuNiAl III-RNR si CuNiAl I-RNR au rezistenta cavitationala sporita datorita solutiei solide  $\gamma$ . CuNiAl III-RNR are cea mai buna performanta datorita elementelor gamagene Ni si Mn, in cantitatile cele mai mari, care extind domeniul de existenta al solutiei solide  $\gamma$  [48]. Alama navală are o comportare cavitationala slabă datorita structurii mnofazice de solutie solidă, care-i distrusa foarte repede [33,47].

#### 4.4 INFLUENTA PROPRIETATILOR MECANICE

Investigarea gradului si sensului de dependenta al rezistentei materialelor la eroziune cavitationala de proprietatile mecanice este in atentia multor cercetatori de mai bine de 100 ani. Semnificative sunt rezultatele obtinute de Garcia [32, 33], Hammitt [39, 40, 40a], Hobbs [41, 42], Thiruvengadam [111], Karimi [48] si altii. Din pacate, majoritatea investigatiilor realizate de acesti autori, cu exceptia celor intreprinse de Karimi [48] pe bronzuri manganoase, nu sunt efectuate pe clase de materiale si nu ofera concluzii clare asupra tendintelor de comportare cavitationala a materialelor in cadrul diferitelor grupe (oteluri nealiate, oteluri aliate, inoxuri, aliaje ale cuprului, etc.) sau al unei grupe in raport cu cealalta, asa cum se procedeaza in prezenta lucrare. Remarcabila ramane relatia lui Hammitt [39, 40a] care coreleaza parametrul  $1/MDPR$  cu duritatea materialului HB, indiferent de clasa de calitate, acceptata de majoritatea cercetatorilor [3, 30, 30a, 95a, 102, 113] in verificarea rezultatelor experimentale obtinute, indiferent de tipul statiunii de incercare:

$$\frac{1}{MDPR} = C (HB)^n \quad (4.1)$$

unde  $C = 0,734$  si  $n = 1,8$ . De mentionat: constanta  $C$  are rolul unui parametru de scara.

Utilizand aceasta forma a relatiei (4.1) in descrierea curbelor de aproximare a punctelor experimentale, ce caracterizeaza comportarea cavitationala a materialelor testate in aparatele T1 ( $A = 47$  m,  $f = 7000 + 3\%$  Hz,  $d = 14$  mm,  $P_e = 500$  W) si T2 ( $A = 32$  m,  $f = 20 + 0,2$  kHz,  $d = 14$  mm,  $P_e = 274,4$  W) fig. 4.4 - 4.10, se constata ca parametrul de forma oscileaza in jurul valorii " $n = 1,8$ ", diferențele fiind nesemnificative, Tab. 4.1.

Tab.4.1 Coeficienti si exponenti

Grupa \ Coef.	Oteluri carbon		Oteluri aliate ptr. construcții		Oteluri inoxidabile		Bronzuri și alame navale	
	T1	T2	T1	T2	T1	T2	T1	T2
C	0,039	-	0,0025	0,0048	0,0046	0,0134	0,007	0,0134
n	1,7974	-	1,8	1,8	1,7801	1,78	1,8	1,8
$\frac{C_{T2}}{C_{T1}}$	-		1,92		2,9		1,91	

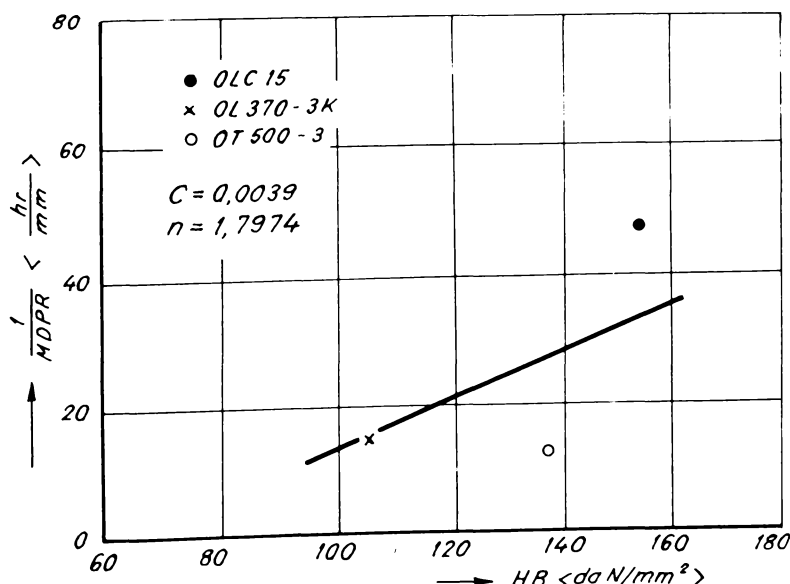


Fig. 4.4 Corelarea parametrului  $1/MDPR$  cu duritatea materialului HB ( Oteluri carbon nealiate - T1)

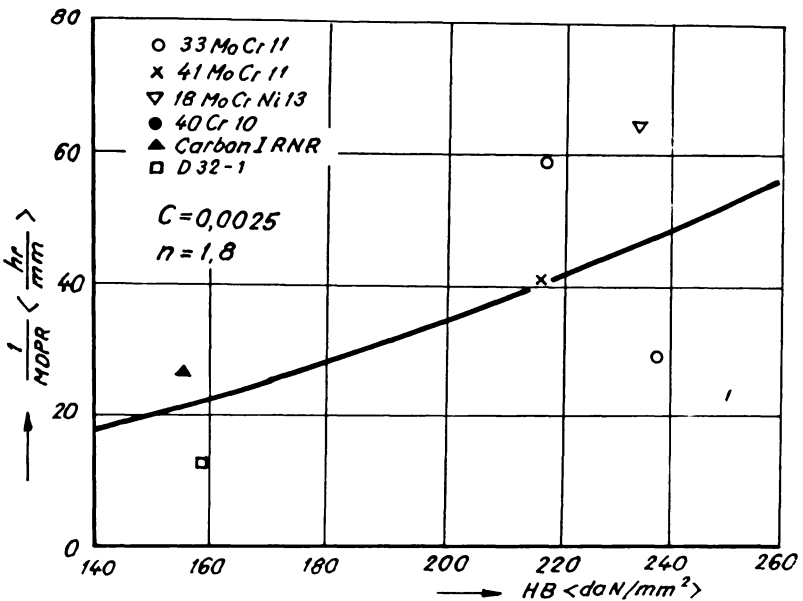


Fig.4.5 Corelarea parametrului  $1/MDPR$  cu duritatea materialului  $HB$   
(Oteluri aliate pentru constructii - T1)

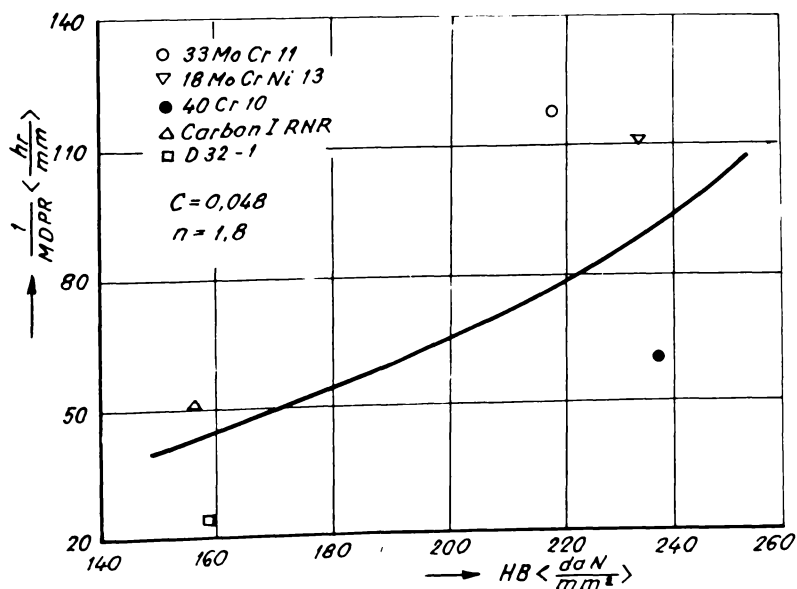


Fig.4.6 Corelarea parametrului  $1/MDPR$  cu duritatea materialului  $HB$   
(Oteluri aliate pentru constructii - T2)

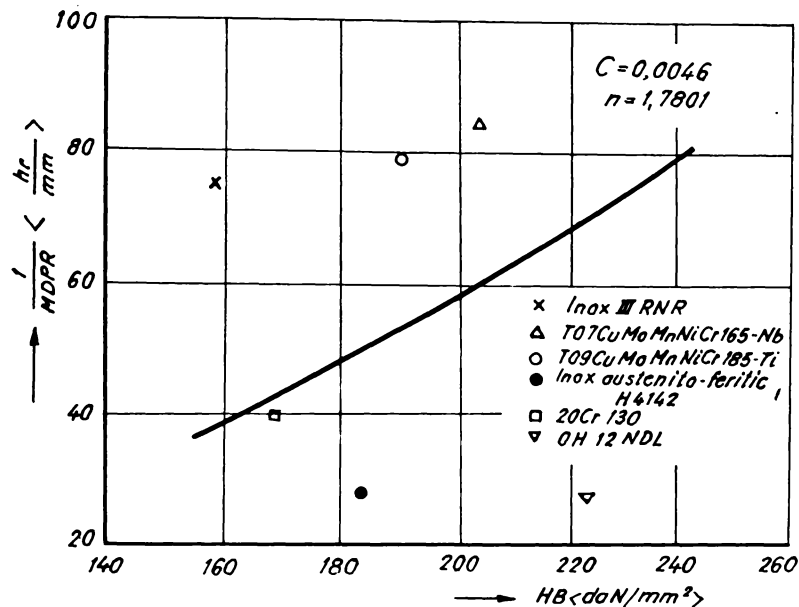


Fig. 4.7 Corelarea parametrului  $1/MDPR$  cu duritatea materialului HB (Oteluri inoxidabile - T1)

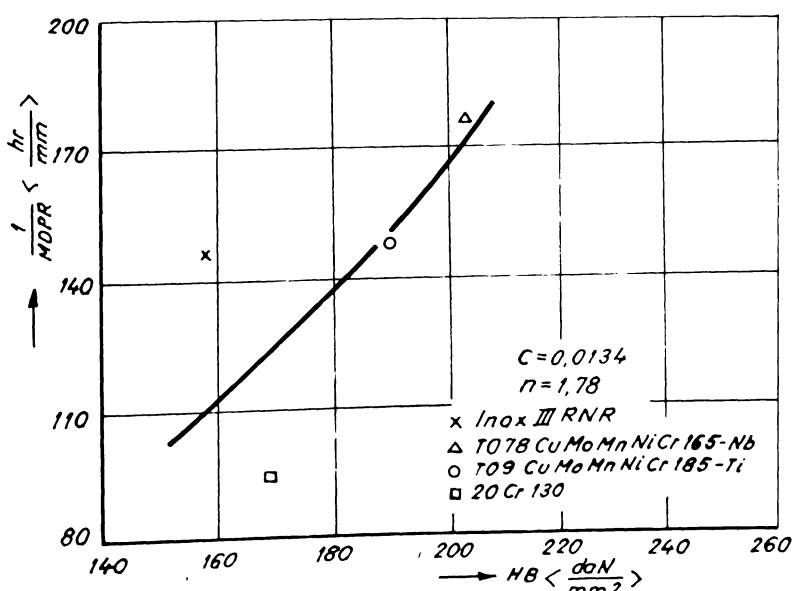


Fig. 4.8 Corelarea parametrului  $1/MDPR$  cu duritatea materialului HB (Oteluri inoxidabile - T2)

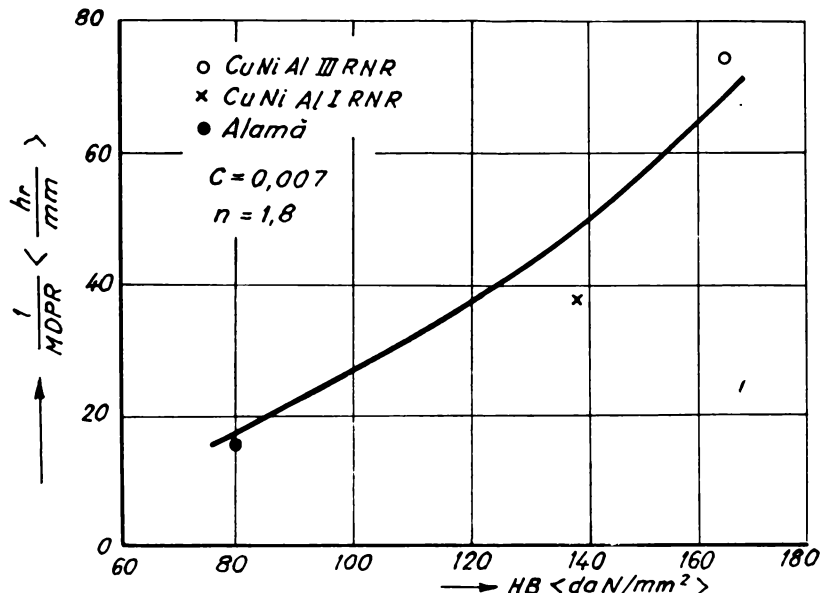


Fig. 4.9 Corelarea parametrului  $1/MDPR$  cu duritatea materialului HB ( Bronzuri si alame navale -T1)

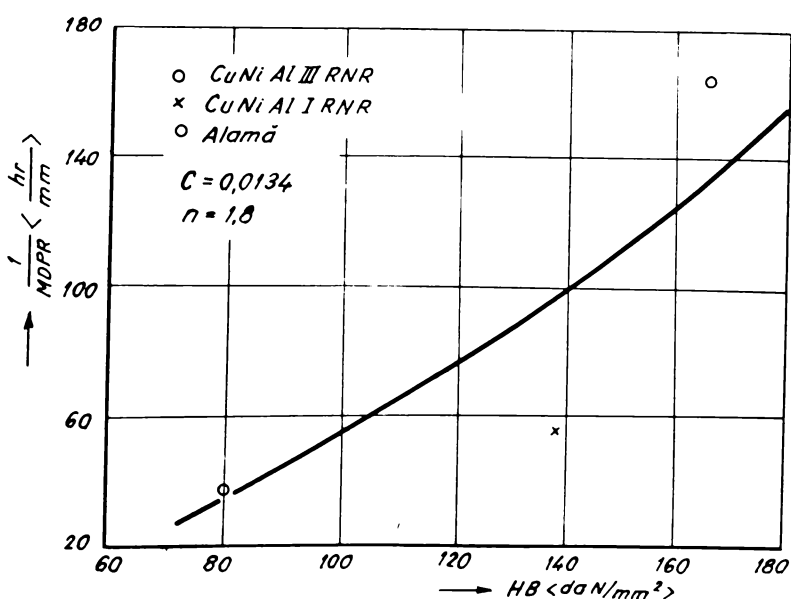


Fig. 4.10 Corlarea parametrului  $1/MDPR$  cu duritatea materialului HB (Bronzuri si alame navale - T2)

Variatiile valorilor parametrului de scara "C", Tab. 4.1, arata dependenta sa de nivelul parametrilor tehnico-functionalii ai aparatului si de natura materialului. Capacitatea de distrugere a aparatului T1, in functie de natura materialului, este de  $C_{T2}/C_{T1} = 1,91 - 2,9$  ori mai mare decat a aparatului T2. Prin urmare raportul  $C_{T2}/C_{T1} =$  poate servi in stabilirea unei relatii de legatura intre parametrii tehnico-functionalii ai aparatelor vibratoare.

Curbele prezентate in fig. 4.4 : 4.10, arata tendinta de scadere a vitezei adancimii medii de patrundere, respectiv de crestere a rezistentei cavitationalale (scaderea vitezei de eroziune cavitationala), cu cresterea duritatii materialului.

Cum determinarea parametrului  $1/MDPR$  necesita un timp mai mare decat stabilirea vitezelor de eroziune cavitationala  $v_{max}$  si  $v_s$ , se propune analizarea influentei proprietatilor mecanice pe baza dependentelor grafice dintre acestea si vitezele de eroziune cavitationala.

Unii autori, ca Plessset si Devine [3], Hobbs [41], Hammitt [40a], Franc [30a], considera ca parametrul cel mai indicat in compararea materialelor dupa rezistenta la cavitatie este valoarea maxima a vitezei de eroziune cavitationala, fig. 4.11 si 4.12, se prezinta corelatiile  $HB(v_{max})$  pentru grupa otelurilor aliate pentru constructii. Din aceste figuri rezulta ca tendinta influentei duritatii materialului, asupra comportamentului cavitational, se mentine.

Insa, Thiruvengadam [3, 111] motiveaza si sustine compararea materialelor dupa valoarea vitezei de stabilizare a eroziunii cavitationale. Aceasta opinie este impartasita si aplicata de foarte multi autori, printre care Kuzman [52, 53], Steller [107], Noskiewici [66, 67], Karimi [47, 48], Popoviciu [78 : 79]. Reprezentarea grafica a dependentei  $HB(v_s)$ , fig. 4.13, pentru aceeasi grupa de materiale (oteluri aliate pentru constructii) evidențiaza mentionarea tendintei de influenta a rezistentei cavitationale de duritatea materialului, ca si in cazul corelatiei  $HB(v_{max})$ . Dat fiind faptul ca se urmareste tendinta de influenta a rezistentei cavitationale de principalele proprietati mecanice ( $Rm$ ,  $R_{p0.2}$ ,  $HB$ ) care se pastreaza, indiferent de viteza utilizata, s-a preferat discutarea pe baza corelarii acestora cu  $v_s$ , redate pe grupe, astfel:

- oteluri carbon nealiate in fig. 4.14, 4.15 si 4.16,
- oteluri aliate pentru constructii in fig. 4.13, 4.17 si 4.18,
- oteluri inoxidabile in fig. 4.19, 4.20 si 4.21,
- bronzuri si alame navale in fig. 4.22, 4.23 si 4.24.

Constructia grafica s-a realizat cu calculatorul. S-au folosit mai multe curbe, dar s-a constatat ca dreptele redau cel mai bine tendinta de corelare a proprietatilor mecanice cu viteza de eroziune cavitationala. La curbele de ordin superior s-a renuntat, deoarece, in functie de distributia punctelor, evolutia curbei capata o forma ce poate crea impresia ca la cresteri valorice ale lui  $Rm$ ,  $HB$  sau  $R_{p0.2}$ , viteza de eroziune trebuie sa creasca, ceea ce contrazice toate rezultatele obtinute de specialisti [3]. Aceasta crestere este posibila doar pentru materialele cu o structura fibroasa (grosolana) si foarte fragila (fonte, oteluri cu foarte mult Mn [48]).

In Tab.4.2 sunt afisati coeficientii curbelor, erorile maxime si minime precum si abaterea atsandard empirica. Relatiile ce stau la baza calculului marimilor statistice sunt:

- abaterile standard empirice

$$\left( \tilde{\sigma}_{n-1} \right)_j = \pm \sqrt{\frac{\sum_{i=1}^n (\sigma_{ji} - \bar{\sigma}_j)^2}{n-1}} \quad \begin{array}{l} j = 1, 2, 3 \\ j = 1 \cdot pt. R_m \\ j = 2 \cdot pt. R_{p0,2} \\ j = 3 \cdot pt. HB \end{array} \quad (4.2)$$

- abaterile medii:

$$\sigma_j = \frac{1}{n} \sum_{i=1}^n \sigma_{ji} \quad (4.3)$$

- abaterile maxime si minime relative:

- pentru rezistenta mecanica:

$$\sigma_{1 \max} = \frac{(R_m)_c - (R_m)_{i \min, \max}}{(R_m)_c} \quad (4.5)$$

- pentru duritatea materialului:

$$\sigma_{3 \max} = \frac{(HB)_c - (HB)_{i \min, \max}}{(HB)_c} \quad (4.6)$$

- pentru limita de curgere:

$$\sigma_{2 \max} = \frac{(R_{p0,2})_c - (R_{p0,2})_{i \min, \max}}{(R_{p0,2})_c} \quad (4.7)$$

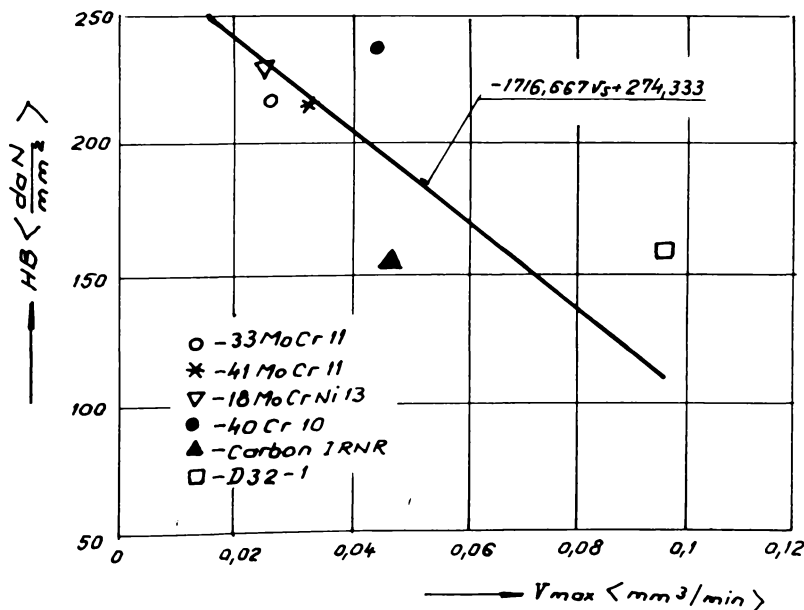


Fig. 4.11 Corelarea duritatii materialului cu viteza de eroziune  
cavitaionala (oteluri aliate pentru constructii - T1)

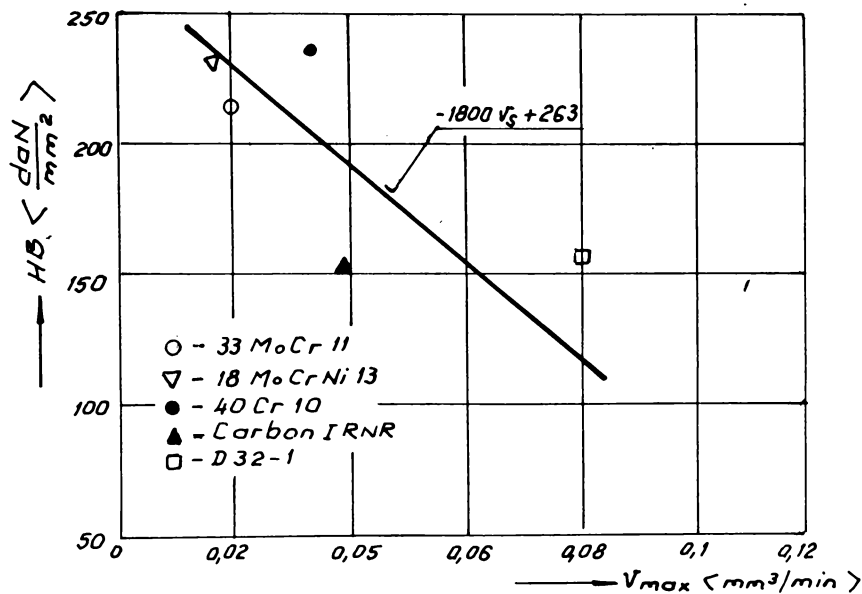


Fig. 4.12 Corelarea duritatii materialului cu viteza de eroziune cavitationala (oteluri aliate pentru cunstructii - T2)

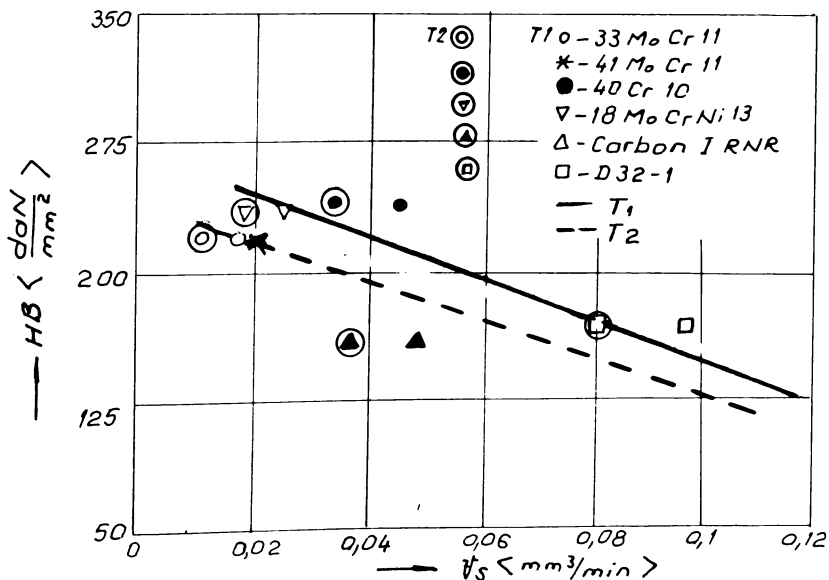


Fig. 4.13 Corelarea duritatii materialului cu viteza de eroziune cavitationala (oteluri aliate pentru constructii)

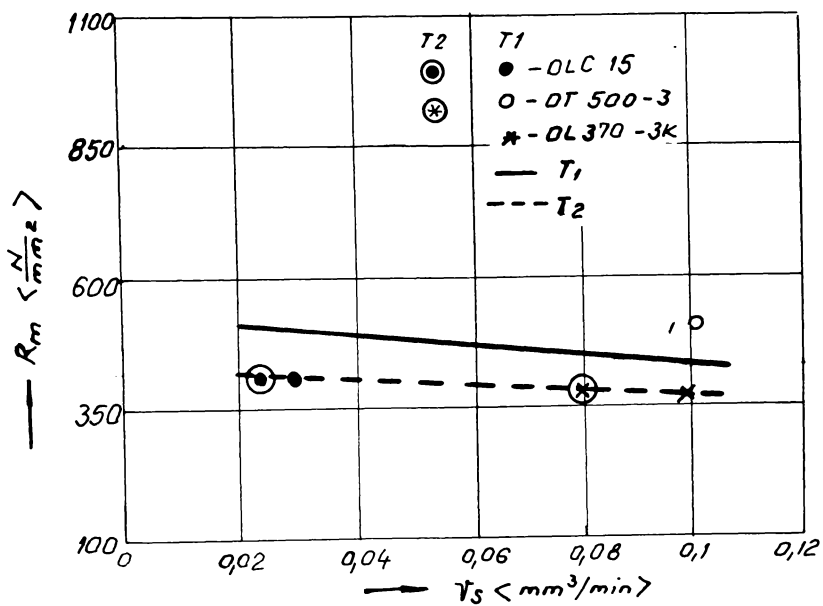


Fig. 4.14 Corelarea rezistentei mecanice la rupere cu viteza de eroziune cavitationala (oteluri carbon nealiate)

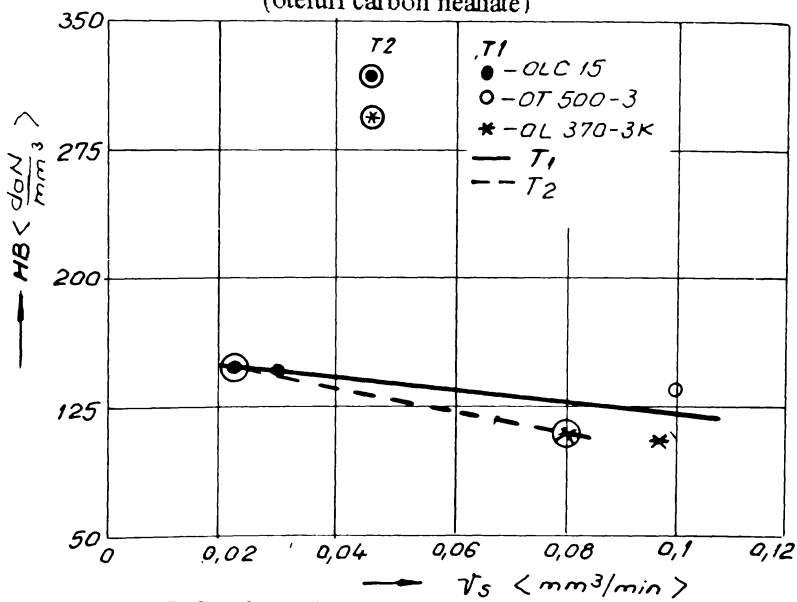


Fig. 4.15 Corelarea duritatii materialului cu viteza de eroziune cavitationala (oteluri carbon nealiate)

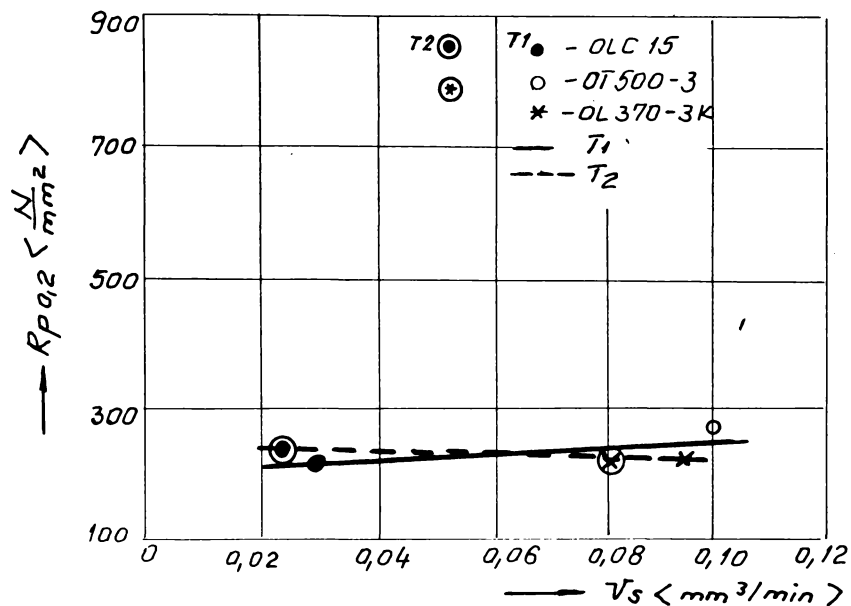


Fig. 4.16 Corelarea limitei de curgere cu viteza de eroziune cavitationala (oteluri carbon nealiate)

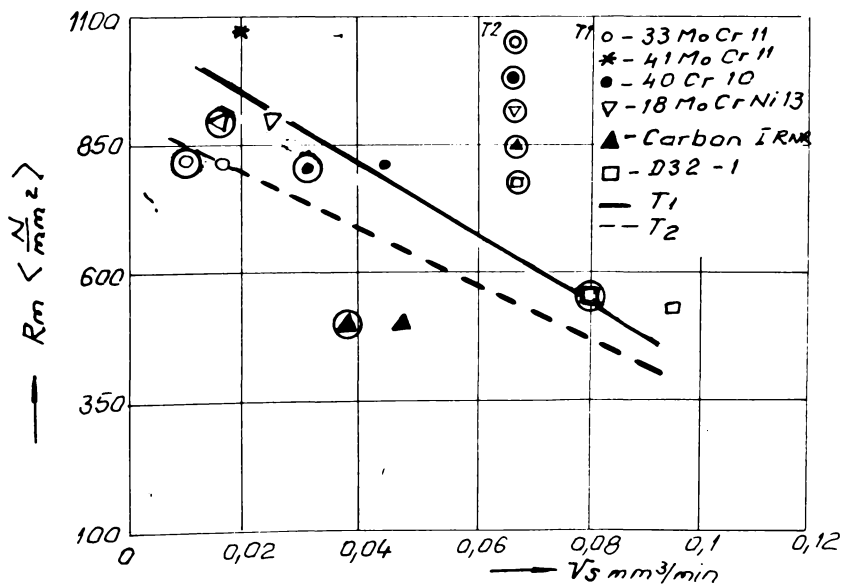


Fig. 4.17 Corelarea rezistentei mecanice la rupere cu viteza de eroziune cavitationala (oteluri aliate pentru constructii)

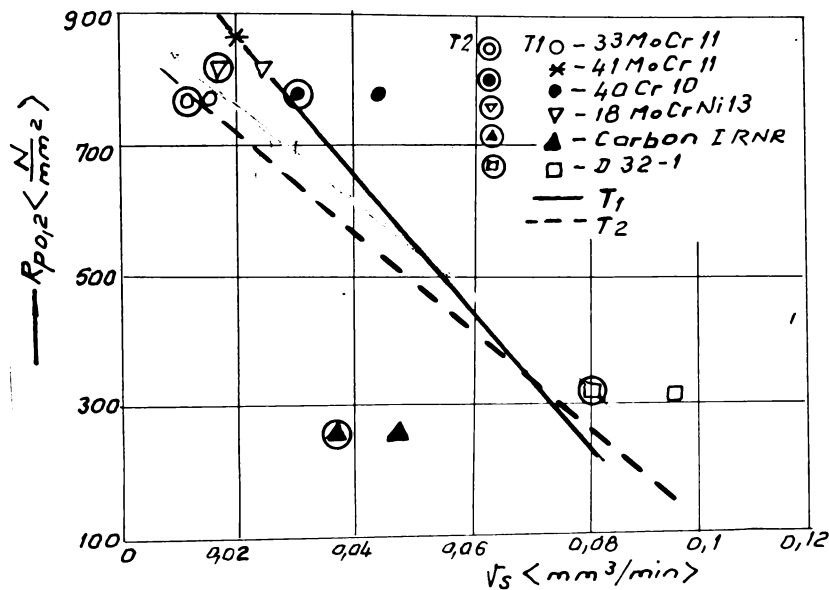


Fig. 4.18 Corelarea limitei de curgere cu viteza eroziunei cavitationala (oteluri aliate pentru constructii)

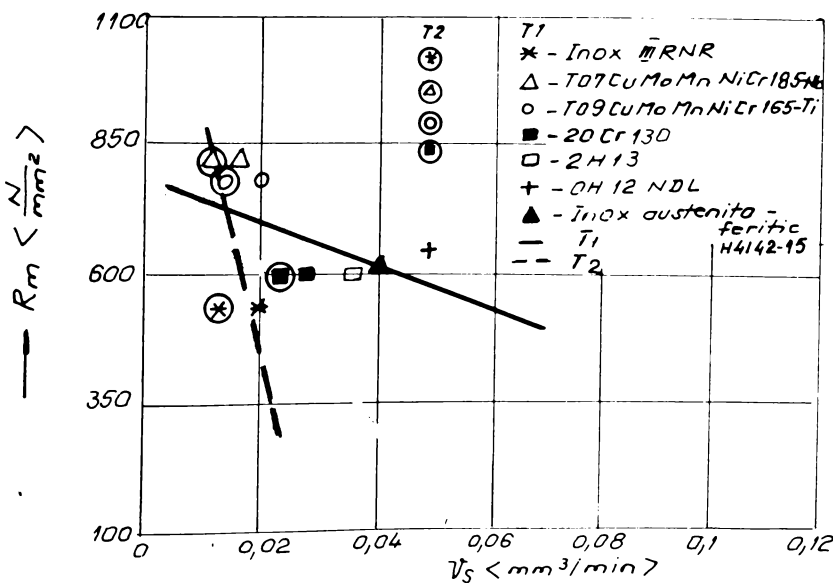


Fig. 4.19 Corelarea rezistentei mecanice la rupere cu viteza de eroziune cavitationala (oteluri inoxidabile)

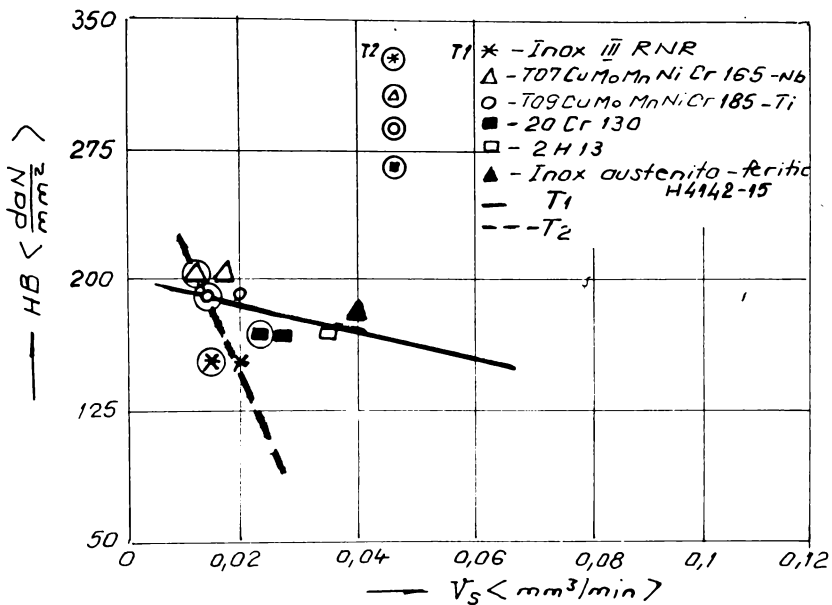


Fig. 4.20 Corelarea duritatii materialului cu viteza de eroziune cavitationala (oteluri inoxidabile)

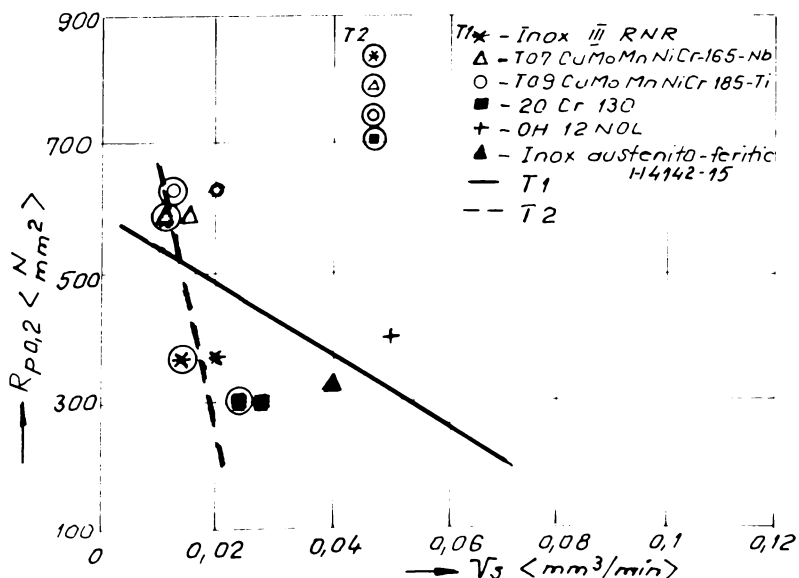


Fig. 4.21 Corelarea limitei de curgere cu viteza de eroziune cavitationala (oteluri inoxidabile)

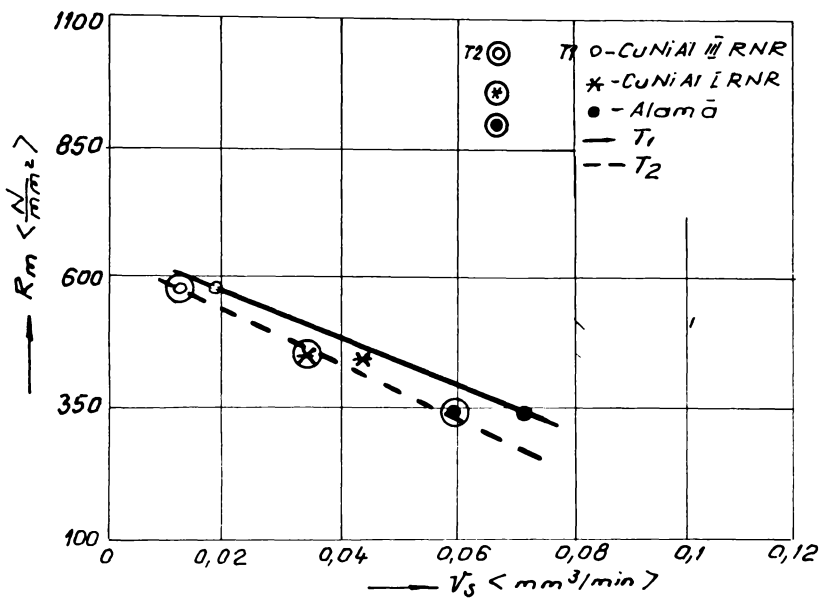


Fig. 4.22 Corelarea rezistentei mecanice la rupere cu viteza de eroziune cavitationala (bronzuri si alame navale)

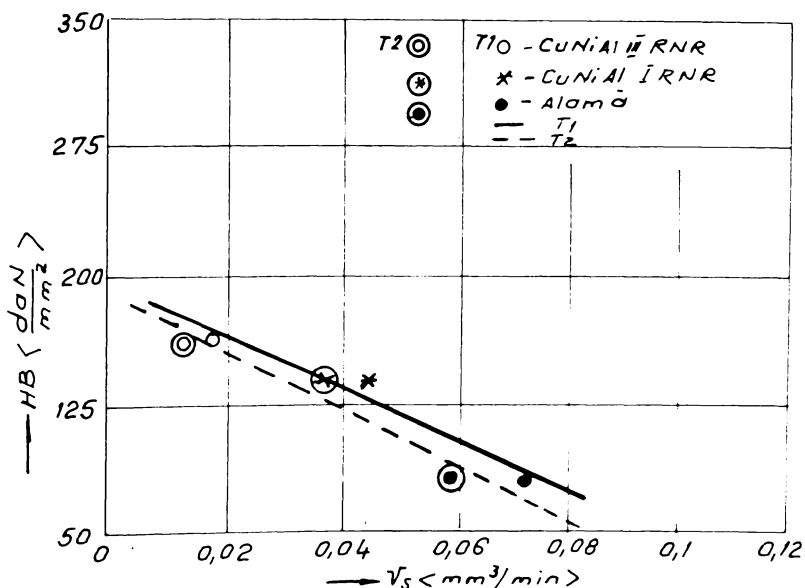


Fig. 4.23 Corelarea duratii materialului cu viteza de eroziune cavitationala (bronzuri si alame navale)

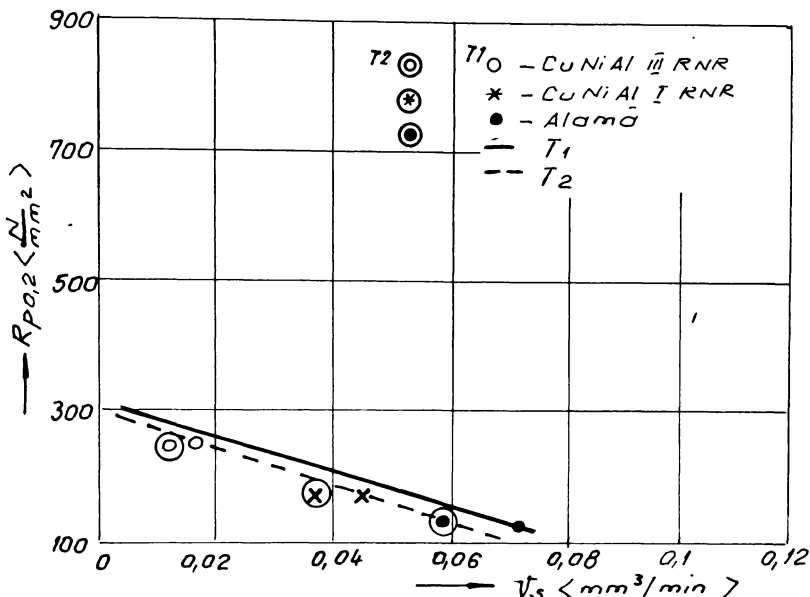


Fig. 4.24 Corelarea limitei de curgere cu viteza de eroziune cavitationala ( bronzuri si alame navale)

In expresiile abaterilor marimile indexate cu "c" se refera la cele de pe curba iar cele cu "t" la cele reale corespunzatoare aceleiasi viteze de eroziune cavitationala.

Modul de evolutie al curbelor  $R_m(v_s)$ ,  $HB(v_s)$ ,  $R_{p0,2}(v_s)$ , fig.4.13 și 4.24 si valorile parametrilor statistici, Tab.4.2, sunt o relevanta a modului in care proprietatile mecanice isi pun amprenta asupra rezistentei cavitationale a materialului. Din analiza acestora se desprind urmatoarele:

1. - in general, cu cresterea nivelului principalelor proprietati mecanice ( $R_m$ ,  $HB$ ,  $R_{p0,2}$ ) viteza de eroziune cavitationala tinde sa scada (creste rezistenta cavitationala).

2. - in cazul otelurilor carbon nealiate, cele mai mari abateri fata de dreapta de aproximatie, pentru corelatia  $HB(v_s)$ , fig. 4.15, sunt inregistrate la otelurile cu slaba rezistenta cavitationala OL 370-3k si OT 500-3, Tab.4.2. Se observa dispunerea aproape simetrica a celor doua materiale fata de dreapta de aproximatie. Fenomenul poate fi explicat prin :

- efectul benefic al duritatii mai mari a otelului OT 500-3 ( $HB = 138$  daN/mm) care-l departeaza de dreapta de apoximatie, fig.4.15, determinata de cantitatea mai mare de perlita ( $40\%$ -Tab.3.2) in raport cu OL 370-3k ( $15\%$ -Tab.3.2), este diminuat de structura mai fibroasa obtinuta prin turnare, ce conduce la pierderi mari prin eroziune cavitationala.

Tab. 4.2 Marimi statistice

Grupa de materiale	Correlatio											
	$R_m = C_1 V_S + C_2$			$R_{p0,2} = C_3 V_S + C_4$			$HB = C_5 V_S + C_6$					
Coeficientii relatiiei de legatura; mormi statice												
	$C_1$ N/mm <sup>2</sup>	$C_2$ N/mm <sup>2</sup>	$\sigma_{\text{max}}$ %	$\sigma_{\text{min}}$ N/mm <sup>2</sup>	$V_{n-1}$	$C_3$ N/mm <sup>2</sup>	$C_4$ N/mm <sup>2</sup>	$\sigma_{\text{min}}$ %	$V_{n-1}$	$C_5$ N/mm <sup>2</sup>	$C_6$ N/mm <sup>2</sup>	$\sigma_{\text{max}}$ %
oteluri carbon nealiate	71 -885,29	523,65 +15,5	-14,9	$\pm 663$	354,22	217,12	+7,9	-6,9	$\pm 18,7$	$-327,13$	135,13	+13,25
oteluri aliate ptr constructii	72 -526,34	412,11	0	0	-173,44	244,04	0	0	0	-666,61	159,33	0
oteluri inoxidabile	71 -6250	1038	+32,3	-19,3	$\pm 137,6$	-10330	1068	+50,2	-36,5	$\pm 195,3$	-1333	+26,2
Aluminiu	72 -4680	1413	+29,5	-13,7	$\pm 103,3$	-3714	597,14	+31,4	-33,3	$\pm 118,4$	-807,58	+15,02
bronzuri	71 -5104,11	636,98	+4,0	-2,73	$\pm 15,87$	-50000	1250	+30,1	-40,0	$\pm 162,7$	-7000	284
norci	72 -4448	635,53	+4,3	-2,9	$\pm 17,15$	-190501	271,12	+6,6	-4,5	$\pm 10,65$	-1557,7	196,89

- duritatea scazuta a otelului OL 370-3k, cauzata de cantitatea ridicata de ferita (85 %- Tab.3.2) - componenta cu cea mai mica rezistenta cavitationala [44]-duce la pierderi cavitationale de ordinul celor inregistrate pentru OT 500-3, chiar daca structura obtinuta prin laminare este mai fina [35a, 65, 115].

Aceleasi materiale inregistreaza cele mai mari abateri si in cazul corelatiilor  $R_m(v_s)$  si  $R_{p0,2}(v_s)$ , Tab.4.2. Explicatia este legata de problemele expuse mai sus.

3. - in cazul otelurilor aliate pentru constructii, la corelatia  $HB(v_s)$ , fig. 4.13, abateri mari fata de dreapta de aproximatie se inregistreaza la otelurile 40Cr10 si Carbon I-RNR, Tab.4.2. Probabil, aceste abateri se datoreaza martensitei (componenta dura [114,115]) existenta in cantitati diferite , dar nu in proportii prea mari, astfel incat se modifica, esential, numai proprietatile mecanice, dar nu si comportamentul cavitational al celor doua materiale.

In cazul legaturilor  $R_m(v_s)$  si  $R_{p0,2}(v_s)$ , fig.4.17 si 4.18, cele mai mari abateri, fata de dreptele de aproximatie, le prezinta otelurile 41MoCr11 si Carbon I-RNR, Tab.4.2 . Aceste abateri pot fi determinate de expulzarea acelor de martensita sau bainita, de mari dimensiuni, rupte intr-un timp mai mare de atac cavitational. Si din aceste figuri rezulta ca 40Cr10 are o concentratie mai mare de martensita decat Carbon I-RNR, dar mai grosolana, evidentiata de comportarile cavitationale asemanatoare (viteze de eroziune apropiate valoric). Acest aspect ilustreaza foarte clar actiunea comuna a structurii si proprietatilor mecanice asupra rezistentei materialului la atacul cavitational.

4.- in cazul otelurilor inoxidabile, fig.4.19, 4.20 si 4.21, cele mai mari abateri le prezinta otelul inoxidabil III-RNR, Tab.4.2. Abaterile mai mari ale acestui otel, provenit din semifabricat laminat, fata de inoxul turnat T09CuMoMnNiCr185-Ti cu rezistenta cavitationala similara si bine dispus fata de dreapta de aproximatie, se datoreaza cantitatii de ferita mai ridicate la Inox III-RNR (50 % -Tab.3.2). Acest aspect arata legatura dintre proprietati, structura si tehnologia de elaborare ce influenteaza unitar distrugerea cavitationala a materialului.

5. - in cazul bronzurilor si alamelor navale, fig.4.22, 4.23 si 4.24 s-a obtinut cea mai buna aproximare. Un factor important in buna aproximare o constituie realizarea celor trei aliaje prin turnare. Aceste figuri arata cel mai bine tendinta de influenta a proprietatilor mecanice asupra comportarii materialelor la atacul cavitational.

#### 4.5 INFLUIENTA MATERIALULUI ASUPRA CORELATIILOR $R_m(v_s)$ , $HB(v_s)$ SI $R_{p0,2}(v_s)$

Alegerea unui material pentru aplicatii practice , cel mai des, se face pe baza proprietatilor mecanice rezistenta mecanica la rupere,  $R_m$ , duritatea  $HB$  si limita de curgere  $R_{p0,2}$  [65, 115].

Ca o sinteza a influentei proprietatilor mecanice asupra rezistentei materialelor la distrugerea cavitationala in fig.4.25 - 4.30 s-au suprapus dreptele ce dau corelatiile dintre proprietatile mecanice si viteza de stabilizare a eroziunii cavitationale, pentru

cele 4 grupe de materiale testate in cele doua aparate vibratorii T1 si T2. Panta dreptelor din aceste figuri este un indicator pentru compararea rezistentei cavitationalale a materialelor. Asadar, materialele cu cea mai mare rezistență la eroziune cavitatională sunt otelurile inoxidabile (dreapta 1), iar cu cea mai scăzută otelurile carbon nealiate (dreapta 3). Astfel, în cazul testelor din aparatul T1, pentru creșterea vitezei de eroziune cavitatională din zona de stabilizare cu  $v_s = 0,02 \text{ mm/min}$  este necesara o scădere a valorilor proprietăților mecanice cu

$R_m = 103 \text{ N/mm}^2$ ,  $(HB) = 16,1 \text{ daN/mm}^2$  și  $R_{p0,2} = 114,3 \text{ N/mm}^2$  - pentru oteluri inoxidabile și  $R_m = 17,7 \text{ N/mm}^2$ ,  $(HB) = 6,56 \text{ daN/mm}^2$  și  $R_{p0,2} = 7,09 \text{ N/mm}^2$  - pentru oteluri carbon nealiate; iar în cazul testelor din aparatul vibrator T2, pentru creșterea vitezei cu  $v_s = 0,01 \text{ mm}^3/\text{min}$  este necesara o scădere a nivelului proprietăților mecanice cu  $R_m = 468,8 \text{ N/mm}^2$ ,  $(HB) = 70 \text{ daN/mm}^2$  și  $R_{p0,2} = 500 \text{ N/mm}^2$  pentru inoxuri și  $R_m = 5,26 \text{ N/mm}^2$ ,  $(HB) = 6,67 \text{ daN/mm}^2$  și  $R_{p0,2} = 4,75 \text{ N/mm}^2$  pentru oteluri carbon nealiate.

Se remarcă, de asemenea, o zonă în jurul vitezei  $v_s = 0,038 \text{ mm}^3/\text{min}$ , la aparatul T1 și  $v_s = 0,02 \div 0,04 \text{ mm}^3/\text{min}$ , la aparatul T2, în care tind să se întâlnă și dreptele otelurilor carbon nealiate și inoxidabile cu cea a bronzurilor navale, ceea ce denotă existența unor materiale din cele 3 grupe ce pot avea comportări cavitationalale similare (OLC15, Inoxul austenito - feritic H4142-15, CuNiAl I-RNR).

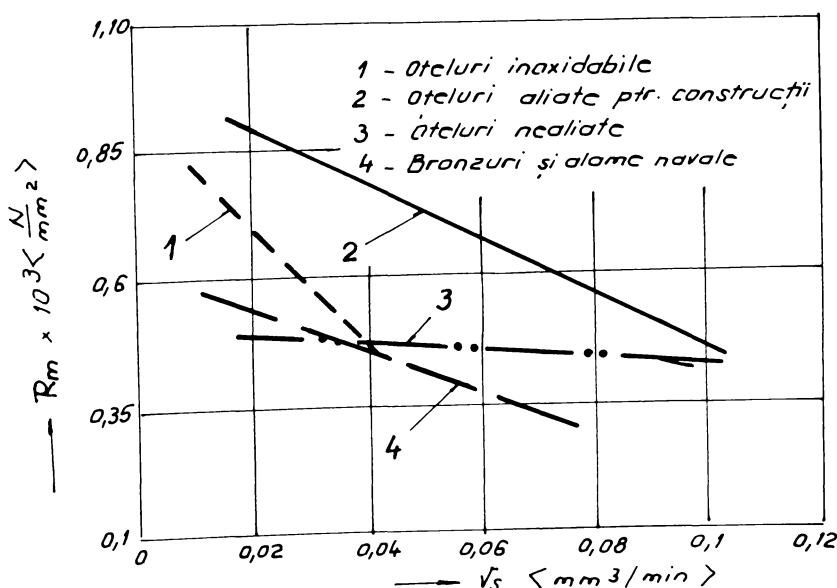


Fig. 4.25 Comparatie intre corelarea rezistentei mecanice la rupere cu viteza de eroziune cavitationala, pentru diverse grupe de materiale (T1)

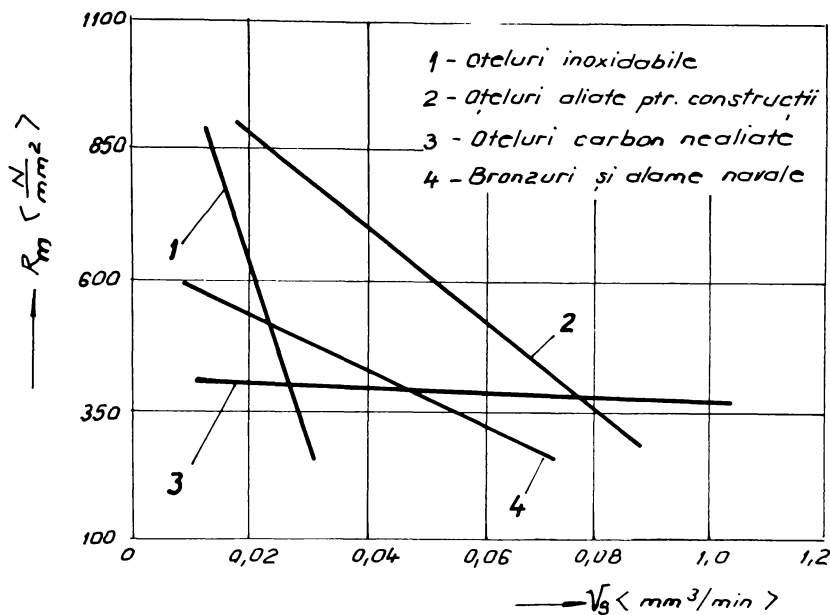


Fig.4.26 Comparatie intre corelarea rezistentei mecanice la rupere cu viteza de eroziune cavitationala, pentru diverse grupe de materiale (T2)

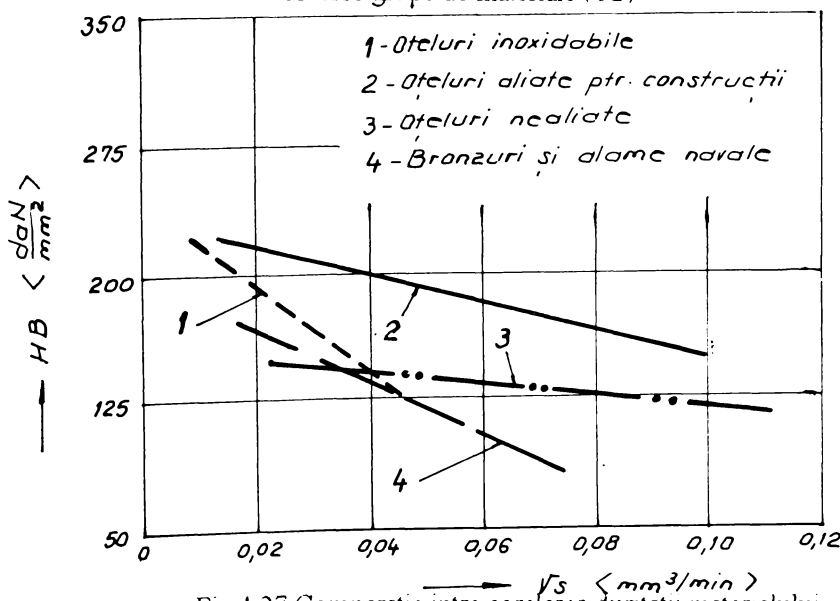


Fig.4.27 Comparatie intre corelarea duritatii materialului cu viteza de eroziune cavitationala pentru diverse grupe de materiale (T1)

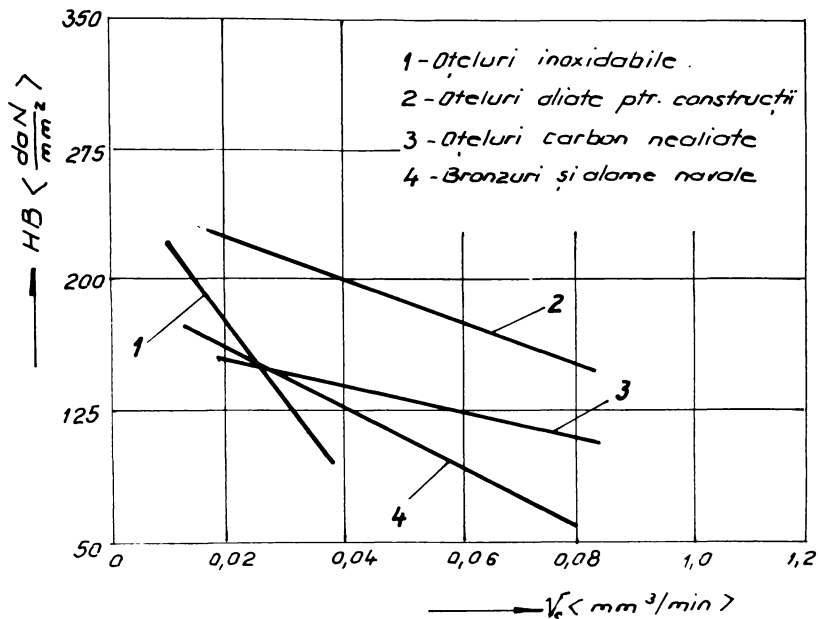


Fig.4.28 Comparatie intre duritatea materialului cu viteza de eroziune cavitationala pentru diverse grupe de materiale (T2)

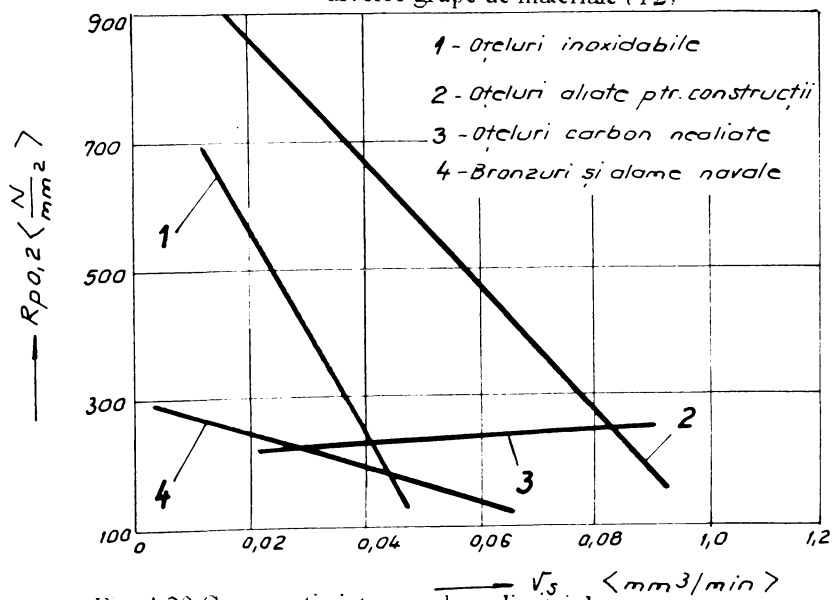


Fig. 4.29 Comparatie intre corelarea limitei de curgere cu viteza de eroziune cavitationala pentru diverse grupe de materiale (T1)

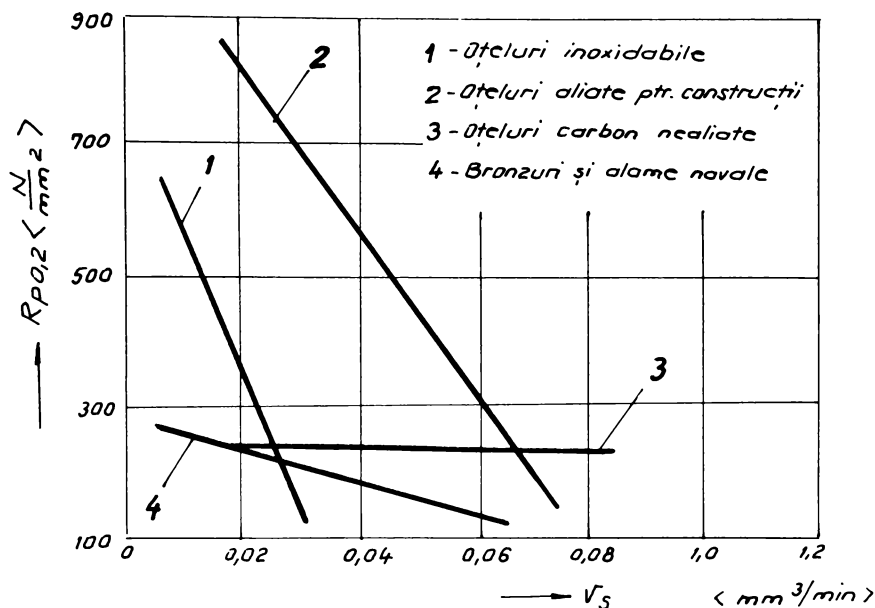


Fig. 4.30 Comparatie intre corelarea limitei de curgere cu viteza de eroziune cavitationala pentru diverse grupe de materiale (T2)

Pantele apropiate dintre dreptele ootelurilor aliate pentru constructii si bronzurilor navale arata comportamentul cavitational similar. Acest aspect pune in evidenta, inca odata, legatura dintre proprietatile fizico-mecanice, componititia chimica, structura si tehnologia de fabricatie a materialelor. Suportul afirmatiei este argumentat de:

1. - constitutia structurala a ootelurilor aliate pentru constructii este formata din: ferita, perlita, bainita si martensita (Tab.3.2).
2. - constitutia structurala a bronzurilor navale este: solutie solida, total diferita de a ootelurilor aliate pentru constructii (Tab.3.2).
3. - cota procentuala de participare a elementelor de aliere (Mn, Ni, Cr, Mo) este diferita la ooteluri aliate si bronzuri, Tab.3.1,
4. - probele din ootelurile aliate provin din semifabricate laminate, iar cele cele din bronzuri din semifabricate turnate.

#### 4.6. O METODA DE APRECIERE A COMPORTARII MATERIALELOR LA EROZIUNE CAVITATIONALA

O problema, neabordata de specialistii in eroziunea cavitationala, o constituie limitele pana la care materialele testate pot fi considerate:

- a. - cu slaba rezistenta la eroziune cavitationala,
- b. - cu buna rezistenta la eroziune cavitationala,
- c. - cu foarte buna rezistenta la eroziune cavitationala,
- d. - cu excelenta rezistenta la eroziune cavitationala,
- e. - superrezistente la eroziune cavitationala.

In majoritatea studiilor aprecierea rezistentei la eroziune cavitationala se face prin una din metodele:

1. - compararea pantei curbelor ce dau variația volumului erodat  $V(t)$ , respectiv a masei erodate  $m(t)$ , în funcție de timpul de atac cavitational, cu ale materialului etalon [2 - 4, 16 - 19, 53, 68, 77, 89, 106, 128, 133]

2. - compararea valorilor maxime,  $v_{max}$ , sau de stabilizare,  $v_s$ , a vitezelor de eroziune cavitationala cu ale materialului etalon [9 - 12, 80, 52, 53, 68, 111].

3. - compararea vitezelor adâncimilor maxime,  $MDPR_{max}$ , și medii,  $MDPR$ , cu ale materialului etalon [3, 30a, 33, 40, 40a]-in prezent utilizata cel mai putin.

De obicei ca material etalon se utilizeaza un otel cu rezistenta cavitationala buna s-au foarte buna. Pentru Laboratorul Universitatii din Michigan materialul etalon il constituie ionul 304 SS [33, 95a]. Pentru Laboratorul de Masini Hidraulice din Timisoara (LMHT) ca material etalon se foloseste otelul 40Cr10. Pana in anul 1994, s-a utilizat otelul inoxidabil OH12NDL.

Aprecierea comportamentului cavitational prin primele doua metode necesita de fiecare data, construirea curbelor  $V(t)$  (respectiv  $m(t)$ ) sau  $v(t)$ , pentru materialul analizat si cel etalon.

Pentru definirea limitelor de existenta a domeniilor de apreciere a rezistentei cavitationale a materialelor s-a preferat folosirea formelor adimensionale  $Rn_s = v_s/v_{se}$  sau  $Rn_{max} = v_{max}/v_{maxe}$  ( marimile cu indicele "e" se refera la otelul etalon 40Cr10). Desigur, cele doua limite, pentru o rezistenta cavitationala excelenta, trebuie sa fie foarte apropiate, in timp ce pentru una slaba cele doua limite trebuie sa fie cat mai departate.

Prin analiza rezultatelor obtinute in LMHT se propun valorile din Tab. 4.3, in ordinea scaderii rezistentei la eroziune cavitationala.

Tab.4.3 Limite pentru diferite rezistente la eroziune cavitationala

Clasa	Super-rezistentă	Excelentă	Foarte bună	Bună	Slabă
$R_{ns}$	$< 0,2$	$[0,2 \div 0,4]$	$[0,4 \div 0,8]$	$[0,8 \div 1,6]$	$\geq 1,6$
$R_{nmax}$	$< 0,25$	$[0,25 \div 0,5]$	$[0,5 \div 1,0]$	$(1,0 \div 2,0)$	$\geq 2,0$

Limitele au fost stabilite dupa regula dublarii intervalului la fiecare descrestere (de trecere de la o clasa superioara la una inferioara). Aceasta regula a fost aplicata atat la clasificarea dupa  $R_{ns}$  cat si dupa  $R_{nmax}$ . O astfel de procedura corespunde principiului extinderii clasei [86], dar nu are nici un alt suport teoretic.

Luand in calcul aceste limite, materialele testate in LMHT, pe cele doua aparate vibratorii, sunt prezентate in Tab.4.4. in grupa ce corespunde cel mai bine comportarii cavitationale.

Este interesant de notat ca in clasele "excelente" si "slabe" sunt incluse materiale ce respecta criteriile din Tab.4.3. Pentru clasele de mijloc (foarte bune si bune) apar cateva diferente care sunt prezентate in Tab.4.5. Majoritatea diferențelor prezентate in Tab.4.5 se refera la materialele a caror rata constanta de eroziune este egala cu rata de eroziune maxima ( $R_{ns} = R_{nmax}$ ).

Cand limitele celor doua metode nu difera una de alta este recomandat ca ordonarea materialelor sa se faca dupa metoda  $R_{ns}$ . Evident variatiile mari ale valorilor rapoartelor  $R_{nmax}/R_{ns}$  releva cateva deficiente in ceea ce priveste comportarea la cavitatie. Aceste rapoarte sunt prezентate, pentru cateva materiale, in Tab. 4.6. Este interesant de notat ca valori importante  $R_{nmax}/R_{ns}$  apar in toate clasele de calitate, indiferent de tipul aparatului utilizat.

Verificarea metodei s-a facut si pe baza rezultatelor experimentale obtinute de Garcia la distrugerea cavitationala a sase oteluri, testate in aparatul vibrator de la Michigan [32] ( $A = 25,4 \mu\text{m}$ ,  $f = 20 \text{ kHz}$ ,  $d = 14,3 \text{ mm}$ ). Materialul etalon pentru acest aparat este otelul 304 SS. Din prelucrarea rezultatelor, obtinute de Garcia [32], s-au obtinut, pentru parametrii  $R_{ns}$  si  $R_{nmax}$ , valorile din Tab. 4.7.

Se constata ca, dupa valorile celor doi parametrii adimensionali, materialele testate de Garcia, Tab.4.7, se incadreaza in limitele claselor ce corespund comportamentului lor cavitational , Tab.4.3.

Aceasta verificare arata ca metoda poate fi extinsa si la alte aparate vibratorii.

Metoda propusa de autor arata ca ordonarea materialelor dupa rezistenta la distrugere cavitationala, Tab.4.4, nu concorda cu criteriile standard de clasificare pe grupe de calitate (oteluri carbon nealiate, oteluri aliate pentru constructii, oteluri inoxidabile, etc.) [65, 115, 122 -126]. Datorita acestui dezacord se impune cuprinderea in normele standard a unor prevederi legate de comportamentul cavitational al materialelor, in special al celor utilizate, frecvent, in fabricarea pieselor de tipul: palete de turbine hidraulice, rotoare de pompe, elici navale.

Tab.4.4 Clasificarea după parametrii eroziunii cavitationale

Rezist. cavit.	Material	$T_1$		$T_2$	
		$R_{ns}$	$Rn_{max}$	$R_{ns}$	$Rn_{max}$
excelentă	$T07CuMoMnNiCr165-Nb$	0,36	0,36	0,38	0,34
	33 Mo Cr 11	0,38	0,6	0,38	0,66
	$CuNiAl\bar{I} RNR$	0,38	0,4	0,38	0,34
foarte bună	Inox $\bar{I} RNR$	0,44	0,44	0,48	0,43
	$T09CuMoMnNiCr165-Ti$	0,44	0,44	0,43	0,39
	20 Cr 130	0,62	0,62	0,69	0,72
	2H13	0,77	1,13	-	-
	18 Mo Cr Ni 13	0,55	0,55	0,59	0,53
	41 Mo Cr 11	0,44	0,77	-	-
	OLC 15	0,67	0,67	0,8	0,72
bună	Inox austenito-ferritico H4142-15	0,88	0,88	-	-
	0H 12 NDL	1,16	1,33	-	-
	40 Cr 10	1,0	1,0	1,0	1,0
	Carbon I RNR	1,07	1,07	1,31	1,19
	Fgn 450-5	0,82	1,71	-	-
	$CuNiAl\bar{I} - RNR$	0,98	1,16	1,14	1,09
slabă	OT 500-3	2,22	2,88	-	-
	OL 370-3K	2,04	2,17	2,66	2,7
	D 32-1	2,11	2,11	2,6	2,5
	Alamă	1,6	2,11	1,93	1,84

Tab.4.5 Diferente intre clasificarea dupa  $R_{n\max}$  si  $R_{ns}$ 

Material	$\frac{Clasa / R_{ns}}{R_{n\max}}$		$\frac{Clasa}{R_{n\max}}$	
	$T_1$	$T_2$	$T_1$	$T_2$
33 MoCr 11	<u>Excelentă</u> 0,38	<u>Excelentă</u> 0,38	<u>f.bună</u> 0,6	<u>f.bună</u> 0,66
Inox austenitico - feritic H4142 - 15	<u>bună</u> 0,88	—	<u>f.bună</u> 0,88	—
2H13	<u>f.bună</u> 0,77	—	<u>bună</u> 1,13	—
T09CrMoMnNiCr 185-T1	<u>f.bună</u> 0,44	<u>f.bună</u> 0,43	<u>excellentă</u> 0,44	<u>excellentă</u> 0,39
Inox III RNR	<u>f.bună</u> 0,44	<u>f.bună</u> 0,48	<u>excellentă</u> 0,44	<u>excellentă</u> 0,43

Tab. 4.6 Valoarea  $R_{n\max}/R_{ns}$  pentru materialele testate

Material	$\frac{R_{n\max}}{R_{ns}}$		Clasa
	$T_1$	$T_2$	
33 MoCr 11	1,58	1,74	excelentă
CuNiAl III RNR	1,05	0,89	excelentă
2H13	1,47	-	foarte bună
41MoCr 11	1,75	-	foarte bună
0H12 NOL	1,29	-	bună
Fgn 450 - 5	2,08	-	bună
CuNiAl I - RNR	1,18	0,96	bună
DT 500 - 3	1,30	-	slabă
OL 370 - 3K	1,09	1,04	slabă

Tab.4.7 Comportamentul cavitational si parametrii sai caracteristici [32]

Material	$R_{ns}$	$R_{n\max}$	MDPR $\mu m hr$	Comportare cavitatională
Otel carbon	2,0	2,3	5,8	slabă
304 SS (otel etalon)	1,0	1,0	2,54	bună
316 SS	0,9	0,9	2,28	bună
Mo - $\frac{1}{2}$ Ti	0,9	0,9	2,28	bună
Cb - Izr	1,25	1,5	3,7	bună
Cb - Izr (A)	1,8	1,8	4,57	bună

hr - ore

#### 4.7. CONCLUZII

Investigatiile realizate in acest capitol au evidențiat ca în fiecare grupă există materiale cu rezistența cavitatională corespunzătoare diferitelor domenii (slabă, buna, foarte buna, excelentă) dependente de factorii ce determină marca de material (constituție structurală, compozitie chimică, tehnologie de elaborare și prelucrare, omogenitate structurală, etc.). Întrucât, pentru unele materiale caracteristici ca rezistența mecanică la rupere și limita de curgere tehnică, nu au fost măsurate și s-au admis valorile medii standardizate, rezultatele prezentate au un anumit grad de subiectivitate. De aceea, pentru creșterea nivelului de obiectivitate, se impune obligativitatea însoțirii probelor de un buletin de încercări și analize care să cuprindă date privind rezultatele defectoscopiei, analizei metalografice și chimice și valorile proprietăților fizico-mecanice. Necesitatea este dictată, în special, de variația caracteristicilor mecanice în cadrul acelăiasi marci de material și acelăiasi semifabricate provenite chiar și din aceeași sârja [65, 115, 121 - 126a].

Dintre materialele studiate, cele mai înalte performante, din punct de vedere al rezistenței cavitationale, le au otelurile inoxidabile. Acestea se datorează bunei corelați din cotele procentuale de participare ale elementelor de aliere (Cr, Ni, Mn, Mo) și constituenților strucțurali: austenita, martensita și ferita aliata, prin care se asigură o finită strucțurală și valori ale caracteristicilor mecanice ridicate.

Rezistența cavitatională scăzută a otelurilor carbon nealiate se datorează lipsei elementelor de aliere, cantități ridicate de ferita (30 : 90 %) și dimensiunilor mai mari ale graunților cristalini.

Rezistența otelurilor aliata pentru construcții depinde de gradul și natura elementelor de aliere tinzând spre oteluri carbon nealiate sau inoxidabile.

Prin urmare, o clasificare a acestor metale, după rezistența la distrugere prin eroziune cavitatională arată astfel:

- 1.- oteluri inoxidabile,
- 2.- oteluri aliata pentru construcții și bronzuri navale,
- 3.- oteluri nealiate și alame navale.

Metoda de stabilire a limitelor cantitative pentru rezistența cavitatională a materialelor, prezentată de autor, poate fi utilizată și la alte apărate vibratoare. Din compararea acestor limite pot rezulta cai de corelare a rezultatelor experimentale.

## CAP.5 COMPARAREA REZULTATELOR EXPERIMENTALE OBTINUTE IN CELE DOUA APARATE

O imagine de ansamblu asupra capacitatii distructiv e a aparatelor vibratorii T1 si T2, o ofera compararea rezultatelor experimentale prin valorile parametrilor eroziunii si curbele caracteristice  $v(t)$ , obtinute pentru fiecare material.

Se reaminteaza ca in ambele aparate distrugerea materialelor se realizeaza in acelasi mod. Vibratiile longitudinale duc la oscilatii ale presiunii lichidului la suprafata frontal a probei. La valorile minime ale acestor presiuni, pe suprafata probei apare un nor de bule cavitational care la valori maxime se surpe provocand atacul cavitational..

Astfel, compararea celor doua aparate din LMHT pe baza curbelor  $v(t)$  si valorilor parametrilor caracteristici eroziunii cavitationale va evidenta, in principal, diferentele dintre intensitatile distructiv e si modul in care acestea depind de natura materialului.

### 5.1 COMPARATII INTRE CURBELE CARACTERISTICE

Compararea rezultatelor experimentale pe baza curbelor caracteristice este realizata pe grupe de materiale astfel:

- oteluri carbon nelaliate, fig.5.1,
- oteluri aliate pentru constructii, fig.5.2,
- oteluri inoxidabile, fig.5.3,
- bronzuri si alame navale, fig.5.4

Modul de evolutie al curbelor ilustreaza existenta unor elemente comune si diferente.

Elementele comune sunt:

- aceeasi ordonare a materialelor dupa rezistenta la atacul cavitational, exprimata prin palierul vitezei de eroziune cavitationala.

- aceeasi tendinta de desfasurare a curbelor  $v(t)$ , cu mici diferente, nesemnificative, la otelurile D 32-1 si 40Cr10, fig.5.2 si 20Cr130, fig.5.3.

Acste elemente depind atat de intensitatea distructiva a aparaturii cat si de natura materialului.

Diferentele semnificative apar intre:

- timpii la care se inregistreaza valoarea maxima si inceputul stabilizarii vitezei de eroziune cavitationala. Cei corespunzatori materialelor testate in apparatul vibrator piezoceramic T2 tind spre valori mai mari.

- modul de atenuare a curbelor  $v(t)$ . La materialele testate in apparatul T2, care prezinta un maxim al vitezei de eroziune cavitationala, atenuarea se realizeaza ceva mai lent. Cauza principala o constituie intensitatea distructiva, mai mica, a apparaturii.

Acste diferente depind, in principal de parametrii functionali ai apparaturii.

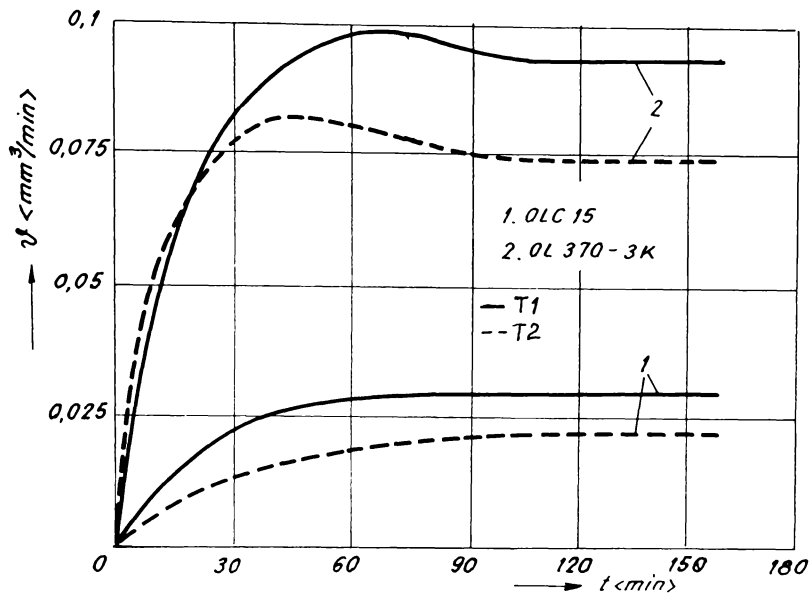


Fig.5.1 Comparatie intre curbele vitezelor de eroziune cavitationala (oteluri carbon nealiate)

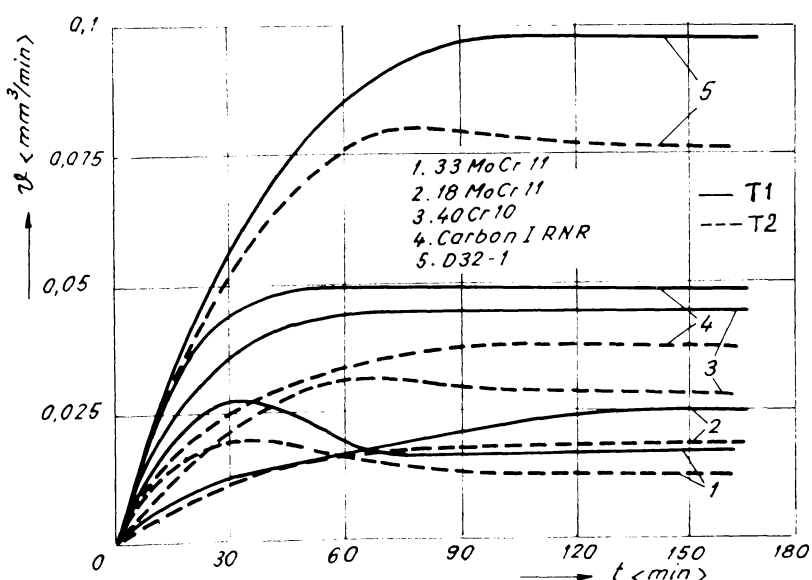


Fig.5.2 Comparatie intre curbele vitezelor de eroziune cavitationala (oteluri aliate pentru constructii)

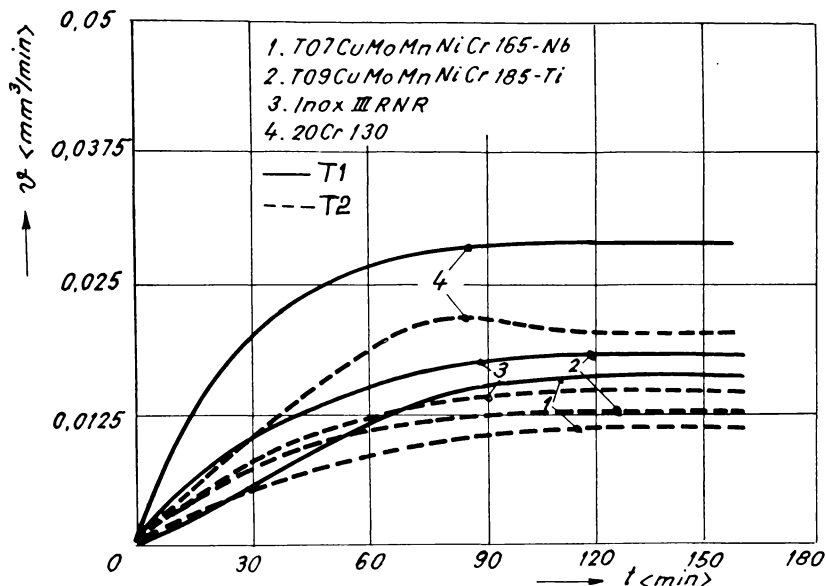


Fig.5.3 Comparatie intre curbele vitezelor de eroziune cavitationala (oteluri inoxidabile)

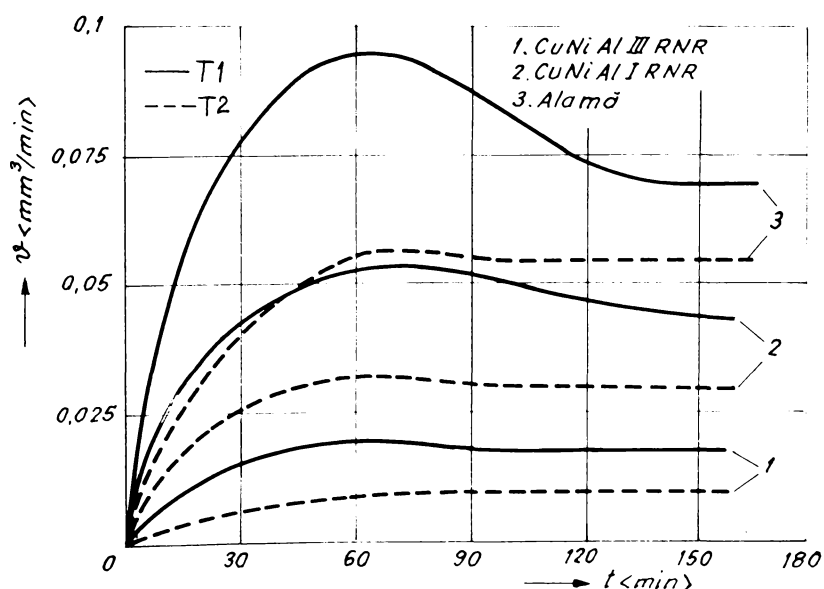


Fig.5.4 Comparatie intre curbele vitezelor de eroziune cavitationala (bronzuri si alame navale)

Alura curbelor prezentate in fig.5.1 : 5.4 este cea mai clara dovada a actiunii cumulate a tuturor factorilor, ce determina marca de material, asupra comportarii lor cavitationale, indiferent de aparatul folosit.

Prin urmare, forma curbei  $\sigma(t)$  este determinata de natura materialului si parametrii tehnico-functionalii ai aparatului utilizat.

## 5.2 COMPARATII INTRE PARAMETRII CARACTERISTICI EROZIUNII CAVITATIONALE

Valorile rapoartelor parametrilor caracteristici proceselor de eroziune cavitationala produse in aparatele T1 si T2, Tab.5.1, evidentaiza capacitatea de distrugere mai mica a aparatului T2.

Tab.5.1 Comparatie intre parametrii caracteristici eroziunii cavitationale

Nr crt.	Material	$(V_{max})_{T_1}$ $(V_{max})_{T_2}$	$(\sigma_s)_{T_1}$ $(\sigma_s)_{T_2}$	$(R_{nmax})_{T_1}$ $(R_{nmax})_{T_2}$	$(R_{ns})_{T_1}$ $(R_{ns})_{T_2}$	$(MDPR)_{T_1}$ $(MDPR)_{T_2}$
1	OLC 15	1,3	1,3	0,93	0,84	1,94
2	OL 370 - 3K	1,18	1,19	0,83	0,76	1,42
3	33 MoCr 11	1,42	1,54	1,0	1,0	2,02
4	40 Cr 10	1,41	1,55	1,0	1,0	2,0
5	18 MoCrNi 13	1,47	1,47	1,04	0,93	1,68
6	Carbon IRNR	1,26	1,26	0,9	0,82	1,89
7	D 32 - 1	1,19	1,25	0,84	0,81	1,74
8	Inox III RNR	1,43	1,43	1,02	0,92	1,97
9	T09CuMoMnNiCr165-Nb	1,45	1,45	1,06	0,95	2,15
10	T09CuMoMnNiCr185Ti	1,6	1,6	1,13	1,02	1,87
11	20 Cr 130	1,22	1,4	0,86	0,9	2,39
12	CuNiAl III RNR	1,64	1,55	1,18	1,0	2,18
13	CuNiAl I RNR	1,49	1,33	1,06	0,86	1,4
14	Alomă	1,61	1,29	1,15	0,83	2,24

Se constata ca diferențele dintre intensitățile de distrugere ale celor două apă-rate sunt mai ridicate la otelurile cu comportări cavitacionales excelente și foarte bune (CuNiAl III-RNR, 33MoCr11, 18MoCrNi13, 20Cr130 T07CuMoMnNiCr165-Nb, T09CuMoMnNiCr185-Ti) scazând la cele slabe (OL 370-3k, D 32-1 și alama navală). Acest aspect arată că nivelul tensiunilor induse în material, în timpul atacului cavitational, prin impactul cu microjeturile și unde de soc, este mai ridicat la aparatul T1. Fenomenul, mult mai evident la materialele cu rezistență mare, a fost sesizat și de J.K. Steller [106] cand a comparat curbele de pierdere volumică  $V(t)$ , pentru 5 materiale testate în condiții apropiate și în sase apărate vibratoare din diferite laboratoare. Concluzia sa este aceeași: la apăratele cu amplitudini ale vibratiilor și puteri electrice de alimentare a generatoarelor electronice de ultrasunete ridicate aproape toate varfurile presiunilor, create pe suprafetele de atac ale probelor prin impactul cu unde de soc și microjeturile, depasesc nivelul rezistențelor de rupere a legaturilor cristaline și intercristaline.

Domeniu larg de variație al raportului acestor parametri, chiar și în cadrul acelasi grupă, evidențiază dependența intensității distructive de natura materialului și parametrui funcționali ai aparatului.

Faptul că rapoartele  $(R_{n\max})_{T1}/(R_{n\max})_{T2}$  și  $(R_{ns})_{T1}/(R_{ns})_{T2}$  oscilează în jurul valorii 1 cu  $\pm 25\%$  (mai mult pentru materialele cu slabă comportare cavitacională), arată că există și alți factori, necunoscute încă, care influențează rezistența cavitacională a materialelor.

În concluzie se poate afirma că aparatul T1 are o putere de distrugere mai ridicată decât aparatul vibrator T2, indiferent de materialul testat, datorită nivelului mai mare al parametrilor tehnico-funcționali, Tab.1.3.

### 5.3 ASPECTE ALE SUPRAFETELOR ERODATE CAVITATIONAL

Aspectul suprafetelor probelor după 165 minute de atac cavitational, Tab.5.2, sunt o certitudine a intensității distructive mai ridicate la aparatul T1 și dependenței sale de material. Puterea mai mare de distrugere este mai evidentă la materialele cu rezistență cavitacională scăzută (OL 370-3k, D-32-1 și alama navală) unde cavernele, produse prin eroziune, sunt exemplificative. La materialele cu rezistență cavitacională bună, foarte bună și excelentă, funcție de: gradul de aliere, tipul structurii, finetea structurii și nivelul proprietăților mecanice, diferențele nu sunt chiar așa de expresive.

La probele testate în aparatul T2 diferențele, dintre suprafetele erodate, ale diferitelor probe, nu sunt chiar așa de mari, datorită capacitații distructive mai reduse.

La toate probele, indiferent de aparat folosit, se observă ciupiturile din suprafetele erodate, ceea ce demonstrează caracterul de solicitare dinamică cu viteză foarte mare și de oboseala locală. Ciupiturile produse la probele testate în aparatul T2 par de dimensiuni mai mici și mai dese, dovedind că în timpul atacului sunt expulzați parti din graunti. Conform ipotezei emise de J.K. Steller [106], privind nivelul

Tab. 5.2 Aspecte ale suprafețelor probelor erodate cavitational

MATERIAL	Aparatul vibrator				
	magnetostriativ ( $T_1$ )		piezoceramic ( $T_2$ )		
	Timpul de atac cavitational				
	0 minute	165 minute	0 minute	165 minute	
1 DLC 15	2	3	4	5	
DL370-3K					
33MoCr11					
40Cr10					
18MoCrNi13					
Carbon IRNR					

Tab. 5.2 Aspecte ale suprafețelor probelor erodate cavitational (continuare)

1	2	3	4	5
D32-1				
Inox III RNR				
T07CUMoMn Ni Cr 165-Nb				
T09CUMoMn Ni Cr 185-Ti				
CuNiAl III RNR				
CuNiAl I RNR				
Alamo				

varfurilor de presiune exercitate pe suprafata de atac a probelor, este firesc sa se intampla asa datorita frecventei de vibratie mai mare si amplitudinii mai reduse, decat la aparatul vibrator T1, ruperea legaturilor intercristaline datorandu-se exclusiv oboselii.

#### 5.4 CONCLUZII

Din cele prezentate in acest capitol rezulta dependenta distrugerilor cavitationale de parametrii tehnico-functionalii ai aparatului vibrator si calitatea materialului.

Toate rezultatele arata ca aparatul vibrator T1 are o putere de distrugere mai mare decat aparatul T2.

Fiecare aparat vibrator este caracterizat prin:

- a) - puterea acustica (dependenta de puterea electrica de alimentare a generatorului electronic de ultrasunete [1]),
- b) - frecventa si amplitudinea vibratiilor,
- c) - diametrul probei,
- d) - natura si temperatura lichidului de lucru,
- e) - continutul de gaze din lichid.

Cum parametrii c), d) si e) sunt identici (vezi Cap.3) rezulta ca diferența dintre capacitatatile de distrugere ale celor două aparate este determinată de primii doi, a) și b).

De frecventa de oscilatie depinde numarul de bule ce se surpe in unitatea de timp. Experientele lui Okada-Hammitt [3,40] arata ca intensitatea distrugerilor devine maxima in jurul valorii  $f = 15 \text{ kHz}$ . Pentru frecvente mai mari sau mai mici nivelul acestei intensitati scade.

Din experientele lui Thiruvengadam [3,111] rezulta ca volumul distrugerilor creste cu cresterea amplitudinii vibratiilor.

Din analiza rezultatelor obtinute pe mai multe aparate vibratoare, IMP Gdansk, VSB Ostrava, Wuxi China [106], Michigan [32, 33], rezulta ca puterea acustica este factorul cu ponderea cea mai mare in eroziunea cavitationala.

Prin urmare, puterea de distrugere, mai mare, a aparatului T1, se datoreaza nivelului mai ridicat al amplitudinii ( $A = 47 \text{ m}$ ) si puterii acustice (respectiv puterii electrici de alimentare a generatorului electronic de ultrasunete,  $P_e = 500\text{W}$ ). Tab 1.3.

Cert este ca rezultatele obtinute pe ambele aparate sunt acoperitoare pentru situatiile reale din masinile industriale.

## CAP.6 CERCETARI DE EROZIUNE CAVITATIONALA ASUPRA UNOR MATERIALE SUPUSE TRATAMENTELOR DE DURIFICARE

Functionarea sistemelor hidraulice in absenta completa a cavitatiei implica adesea cheltuieli de investitii mari. In consecinta, se considera economica eliminarea influentei cavitatiei asupra performantelor hidraulice ale sistemului prin mentionarea unei anumite extensiuni a acestui fenomen [8,72, 128,130]. Se obtine, astfel, o functionare in conditii de "cavitate industriala acceptabila" care, cel mai adesea, inseamna uzuri cavitationale de mica extensiune, rezultate dupa etape lungi de exploatare. Pentru o anumita intensitate a cavitatiei uzurile pot fi diminuate prin alegerea unor materiale speciale. In aceasta categorie intra:

- otelul inoxidabil inalt aliat cu crom (12 : 25) % avand in componitie cantitati variabile de nichel (1- 5) %, molibden, vanadium, mangan si cupru [72, 77];

- aliaj de cupru (bronzuri denumite CuNiAl) cu bune proprietati mecanice si rezistenta cavitationala [11, 15, 128].

Cum elementele de aliere au costuri ridicate se cauta atat tehnologii de fabricatie cat si de reparatie, care sa diminueze cantitatea elementelor de innobilare [71, 72, 73].

Deoarece eroziunea cavitationala se manifesta intotdeauna pe suprafata frontierelor solide, ce ghideaza curgerea si apare pe arii limitate [90], pe plan international se incearca protejarea superficiala a acestor arii [72, 116, 117]. Aceasta protejare se realizeaza, cel mai des, prin diferite acoperiri, tratamente termice, chimice si mecanice.

### 6.1 EROZIUNEA CAVITATIONALA A OTELULUI 40Cr10 IMBUNATATIT

#### a) Materialul supus testarii

Aplicarea tratamentului termic de imbunatatire, celor trei probe testate la eroziune cavitationala in aparatul vibrator T1 [52], a dus la urmatoarele proprietati mecanice [81]:

$$R_m = 1090 \text{ N/mm}^2, \quad HB = 317 \text{ daN/mm}^2, \quad R_{p0.2} = 1025 \text{ N/mm}^2$$

Sporul realizat fata de proprietatile mecanice ale otelului de baza Tab.3.2, in stare netratata, este:

$$\Delta(R_m) = 25.8\%, \quad \Delta(HB) = 24.9\%, \quad \Delta(R_{p0.2}) = 22.9\%.$$

Atacul cavitational s-a realizat in apa distilata, la  $20 \pm 1^\circ\text{C}$ , in conformitate cu prevederile normelor ASTM [120].

Inaintea inceperii testarii, suprafetele de atac ale celor trei probe au fost lustruite ( $\text{Ra} = 0,4 \mu\text{m}$ ) si examineate la microscopul optic de marire 6,3x. Nu s-au observat fisuri sau alte defecte care sa ajute procesul de distrugere.

### b) Rezultate experimentale si analiza lor

Curba vitezei de eroziune cavitationala,  $v(t)$ , medie a celor trei probe, poate fi urmarita in fig. 6.1. In aceeasi figura este construita, spre comparatie si curba otelului de baza 40Cr10 (otelul etalon pentru LMHT).

Curba este definita prin doua polinoame cu coeficienti diferiti si o dreapta, conform metodei prezentate la Cap. 3, §3.2.2, utilizand calculatorul.

Dispersia punctelor experimentale fata de curba de aproximatie fiind mai mica  $\bar{v}_{n-1} = \pm 0,0021 \text{ mm/min}$ , decat in cazul materialului de baza,  $\bar{v}_{n-1} = \pm 0,0023 \text{ mm/min}$  [81], dovedeste imbunatatirea rezistentei la cavitatie, prin cresterea valorii proprietatilor mecanice si distributiei lor in mod uniform pe toata suprafata, de atac, a probei si realizarea unei structuri total diferite (sorbita de revenire [35a, 65, 114, 115]) de a metalului de baza (bainita + martensita, Tab. 3.2), compozitia chimica pastrandu-se.

Sorbita de revenire, obtinuta in urma tratamentului aplicat, este formata din ferita aliatata cu globule de cementita, respectiv carburi [65, 115]. In timpul eroziunii cava-

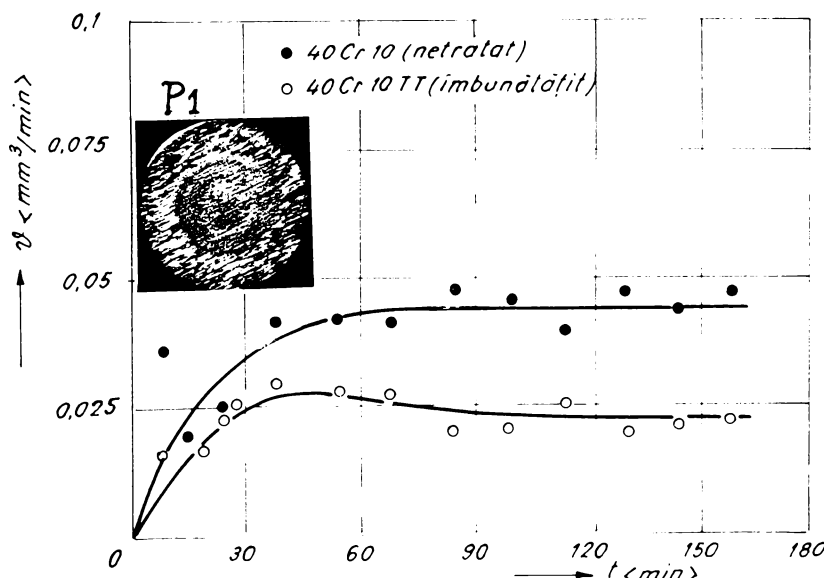


Fig. 6.1 Comparatie intre vitezele de eroziune cavitationala ale otelurilor 40Cr10 netratat si 40Cr10 imbutatit.

tionale carburile sunt expulzate in intregime, ducand la viteze in zona de stabilizare,  $\sqrt{s} = 0,022 \text{ mm}^3/\text{min}$ , de ordinul celor specifice otelurilor 41MoCr11 ( $\sqrt{s} = 0,02 \text{ mm}^3/\text{min}$ ) si 18MoCrNi13 ( $\sqrt{s} = 0,025 \text{ mm}^3/\text{min}$ ). Astfel, prin acest tratament se realizeaza o reducere a vitezei de eroziune cavitationala, fata de a otelului de baza ( $\sqrt{s} = 0,045 \text{ mm}^3/\text{min}$  [81]), cu 51 %.

Se constata ca timpul la care viteza incepe sa se stabilizeze are aceeasi valoare,  $t_2 = 82,5 \text{ min}$ . Deci acest timp depinde de material.

Prin urmare, aplicarea tratamentului termic de imbunatatire, pieselor solicitate cavitational, este benefica, contribuind la cresterea rezistentei la distrugere cavitationala.

## 6.2 EROZIUNEA CAVITATIONALA A OTELULUI NAVAL D 32-1 NITRURAT IONIC

### a) Materialul supus testarii

Otelul D 32-1 nitrurat ionic a facut obiectul unor contracte de cercetare stiintifica avind drept scop cunoasterea performantelor cavitationale in vederea utilizarii sale in constructia elicilor navale [128].

Nitrurarea ionica s-a aplicat pe toate suprafetele probelor.

Analiza chimica a materialului, prelevat din mai multe probe pe adancimi de maxim 0,5 mm, la suprafetele ce urmau a fi atacate, a evideniat urmatoarea componitie chimica:

C = 0,18 %, Cu = 0,35 %, Al = 0,04 %, Mn = 12,3 %, Si = 2,5 %, Cr = 0,2 %, Mo = 0,08 %, P = 0,04 %, Ni = 0,4 %, N = 9,5 %, Fe = rest.

Analiza chimica s-a efectuat la laboratorul de analize chimice din cadrul intrprinderii "S.C. Electrotimis S.A."

Duritatea masurata, la trei probe, pe suprafata de atac este HB = 224 daN/mm<sup>2</sup>. Nu s-au putut determina rezistenta mecanica la rupere, R<sub>m</sub>, si limita de curgere, R<sub>p0,2</sub>.

S-au testat 3 probe in apa marina standard [85], la 20 ± 1 °C, in aparatul vibrator T1 [52].

Suprafetele de atac au fost lustruite si analizate la microscopul optic, marire 6,3x. Nu s-au constatat defecte care sa conduca la scaderea rezistentei cavitationale.

### b) Rezultate experimentale si analiza lor

Pe baza pierderilor masice, utilizand metoda descrisa in Cap.3, s-a construit curba vitezei de eroziune cavitationala,  $\bar{v}(t)$ , medie a celor trei probe, fig.6.2. Aceasta este comparata cu a materialului de baza D 32-1 si otelului etalon 40Cr10, afisate in aceiasi figura.

Cu exceptia punctelor experimentale din primele minute ale atacului cavitational (ce nu caracterizeaza procesul in sine) restul au o dispersie , fata de curba,  $\bar{v}_{n-1} = \pm 0,0046 \text{ mm}^3/\text{min}$ , specifica materialelor cu buna comportare cavitationala (CuNiAl I-RNR, Carbon I-RNR, Inox austenito-feritic), inferioara otelului D 32-1 ( $\bar{v}_{n-1} = \pm 0,0056 \text{ mm}^3/\text{min}$ ).

Cresterea rezistentei la cavitatie, prin nitrurare ionica este enorma. Viteza de eroziune cavitationala  $\bar{v}_3$  scade de la 0,095  $\text{mm}^3/\text{min}$  (pentru D 32-1) la 0,038  $\text{mm}^3/\text{min}$  (realizand o reducere de 60 %), depasind si rezistenta cavitationala a otelului 40Cr10, fig.6.2. Aceasta performanta este efectul nitrurii (solutie solida a compusului  $\text{Fe}_{2-3}\text{N}$ ) in jur de  $8,2 \pm 11\%$  [35a] care ofera stratului tratat duritatea HB = 224 daN/mm<sup>2</sup>.

Modul in care evolueaza curba  $\bar{v}(t)$  in zona de stabilizare si se distribuie punctele fata de ea, arata ca in cele 165 min. de atac stratul nitrurat nu a fost depasit.

Timpul la care viteza se stabilizeaza creste de la 82,5 min. la 97,5 min [85]. Asta dovedeste ca orice adaos cantitativ important, de elemente chimice poate modifica comportamentul cavitational al materialului.

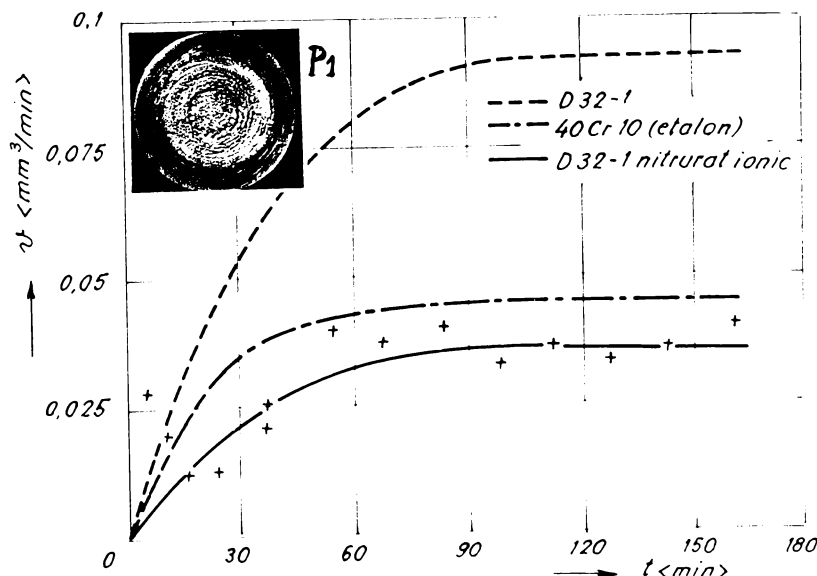


Fig. 6.2 Comparatie intre vitezele de eroziune cavitationala ale otelului D 32-1 (netratat si nitrurat ionnic) si otelului etalon 40Cr10.

Asadar, nitrurarea ionica, prin performantele cavitationale conferite pieselor, este indicata in aplicatiile practice pentru piesele ale caror dimensiuni permit aplicarea tratamentului.

### 6.3 EROZIUNEA CAVITATIONALA A OTELULUI D 32-1 DURIFICAT PRIN METALIZARE SI ECRUISARE

#### 6.3.1 Eroziunea cavitationala a otelului D 32-1 durificat prin metalizare

Printre preocuparile cercetatorilor, de majorare a rezistentei la uzura si coroziune cavitationala se inscriu si metodele propuse de un grup de cercetatori moldoveni condus de A.J. Mihailuk [61a]. In acest scop au fost confectionate la Institutul de Fizica al Acad. de Stiinte al R. Moldova un numar de probe din otel naval D 32-1 durificate superficial, prin metoda prelucrarii cu scantei electrice (P.S.E.), folosind un aliaj pe baza de cupru si aluminiu. Prin acest tratament s-a realizat o crestere a duritatii de  $HB = 250 \div 600 \text{ daN/mm}^2$  [61a], fata de a materialului de baza  $HB = 159 \text{ daN/mm}^2$  (Tab. 3. 2)

##### a) Materialul supus testarii

Au fost testate 7 probe durificate in mod diferit. In urma tratamentului aplicat suprafata supusa eroziunii cavitationale, examinata la microscopul optic, marire 6,3x, prezenta un aspect poros/fisurat si cu denivelari, fig. 6.3.

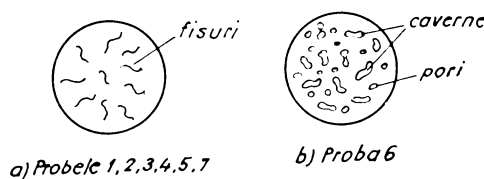


Fig.6.3 Aspectul suprafetelor probelor.  
inainte de atacul cavitational

Concluziile rezultate in urma examinarii probelor sunt sintetizate in Tab. 6.1.

Tab.6.1

Nr. probă	<i>Aspectul suprafetei de lucru înainte de atacul cavitational</i>	
	<i>culoare</i>	<i>aspect</i>
P1	<i>alb semilucios</i>	<i>fisuri și denivelări</i>
P2	<i>alb mat</i>	<i>fisuri și denivelări</i>
P3	<i>alb mat</i>	<i>fisuri și denivelări</i>
P4	<i>alb mat</i>	<i>fisuri și ușoare denivelări</i>
P5	<i>alb lucios</i>	<i>fisuri și ușoare denivelări</i>
P6	<i>galben</i>	<i>poros și denivelări</i>
P7	<i>alb lucios</i>	<i>fisuri și ușoare denivelări</i>

### b) Rezultate experimentale și analiza lor

Studiul rezistenței la cavitatie s-a facut pe aparatul vibrator magnetostrictiv cu tub de nichel T1 [52], la temperatura de ~20 °C și presiunea atmosferică, avand ca mediu de lucru apa marina standard realizata in mod artificial [19, 128].

Denivelarile și porii/fisurile suprafetei de atac au determinat pierderi masice mari inca din primele 5 minute ale eroziunii cavitationale, fig.6.4, iar la proba 6 s-a observat, cu ochiul liber, metalul de baza pe o suprafata relativ intinsa.

Testarea s-a efectuat pana la minutul 135, fig.6.4, datorita constantei pierderilor, in baza metodologiei acceptate si descrise in Cap.3

Dupa fiecare perioada de incercare, probele au fost examineate la microscop si s-a constatat:

1. - Dupa 5 minute de atac se observa pata de atac cavitational in care o mare parte din varfurile neregularitatilor erau erodate

2. - Dupa 45 minute, la toate probele, in pata erodata, nu mai exista metal depus prin tratament.

3. - Prin metoda alierii cu scantei electrice, intre zona de metal depus la suprafata probei si metalul de baza se formeaza o zona de amestec. Diferentele ce apar, dupa minutul 45, intre curbele  $V(t)$ , specifice otelului tratat si cea a metalului de baza (D 32-1), fig.6.4, arata ac atacul erozional nu a depasit stratul de amestec

4. - Suprafata erodata are un aspect mat-fibros, in unele locuri observandu-se eroziuni de tip pitting cu adancimea de  $1 \pm 1,5$  mm, fig.6.5.

Din fig. 6.4 rezulta o crestere a rezistenței la eroziune cavitationala, a suprafetei atacate, fata de cea a metalului de baza.

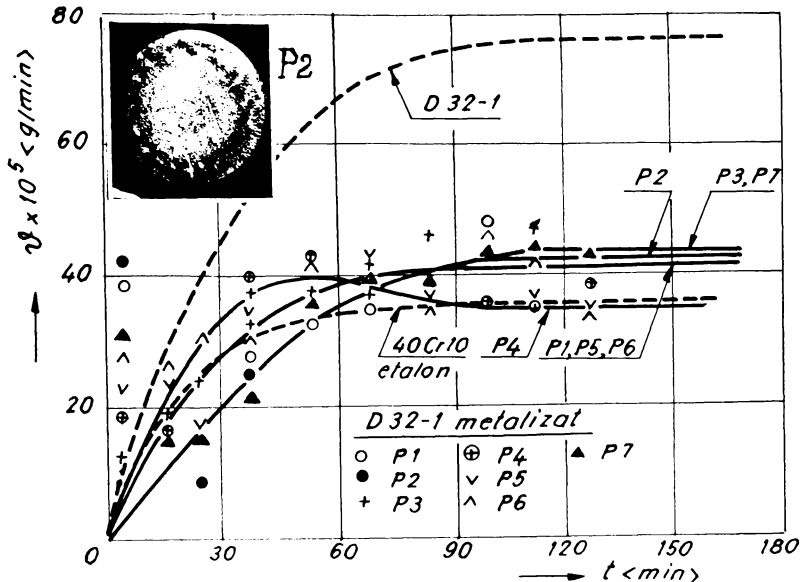


Fig.6.4 Comparatie intre vitezele de eroziune cavitationala ale ootelurilor D 32-1, D 32-1 metalizat si a otelului etalon 40Cr10.



Fig.6.5 Aspectul suprafetei probei erodata cavitational

Imbunatatirea comportamentului cavitational se datoreaza sporului de duritate realizat prin metalizare

Comparativ cu materialul etalon 40Cr10 acest tratament nu este satisfacator, din cauza suprafetei rezultate.

Durificarea superficiala prin metoda alienii prin scantei electrice asigura un spor al rezistentei materialului la eroziune cavitationala, insa pentru aplicabilitate practica, tehnologia de tratament trebuie perfectionata astfel incat sa se eliminate caracterul fisurant, care conduce la distrugerea rapida a metalului astfel depus.

### 6.3.2 Eroziunea cavitationala a otelului D 32-1 ecruisat

Investigarea comportarii cavitationale a otelului D 32-1 ecruisat a fost determinata de rezultatele obtinute in cadrul contractului de cercetare stiintifica [128], asupra unor probe, din acest otel, protejate prin vopsire si cu rasini epoxidice [78].

Cercetarile au evideniat un comportament cavitational total nesatisfacator al straturilor de vopsea si rasini epoxidice si unul complet diferit al materialului protejat [78], fata de al otelului naval D 32 - 1 [16]. Examinand, la microscopul optic, suprafetele metalice, dupa indepartarea straturilor de vopsea si rasini, s-a observat aspectul tipic al suprafetelor ecrusate prin sablare. In consecinta s-a pus problema investigarii, mai atente, a efectului sablarii asupra rezistentei cavitationale a otelului D 32-1 [83].

#### a) Materialul supus testarii

Cercetarile sunt efectuate in aparatul vibrator T1 [52], dupa metoda standard [120], in apa marina, realizata artificial, la  $20 \pm 1^{\circ}\text{C}$ . S-au testat 4 probe, sablate diferit, Tab.6.2.

Tab.6.2 Date privind probele sablate [78]

Nr. Probă	Durata sablării	Unghi de bombardament	Aspectul probei pe suprafața de lucru
1	1'20"	35°	rugos
2	1'20"	45°	rugos
3	45°	35°	lucios
4	45°	90°	lucios

Probele cu aspect rugos (1 si 2) prezintau pe suprafata de atac numeroase adancituri si ridicaturi. Ridicaturile aveau creste ascunse si contorsionate, care au fost usor rupte ca urmare a implozilor bulelor cavitationale. Desi, intre fabricatie si incercari probele au fost pastrate in exicator (atmosfera relativ uscata) pe suprafata probelor au aparut numeroase pete de rugina.

Probele cu aspect lucios (3 si 4) prezintau pe suprafata de atac doar adancituri. Si la aceste probe s-au observat pete de rugina, insa, cu mult mai reduse decat la lotul "rugos". In ambele cazuri oxidarea era mai mare decat la probele neecrusestate pastrate in aceleasi conditii.

## b) Rezultate experimentale si analiza lor

Curbele  $v(t)$ , pentru toate probele incercate, se pot urmari in fig.6.6. Constructia grafica s-a realizat cu calculatorul utilizand metoda descrisa la Cap. 3. In aceeasi figura s-au prezentat spre comparatie si curbele otelului D 32-1 si etalon 40Cr10.

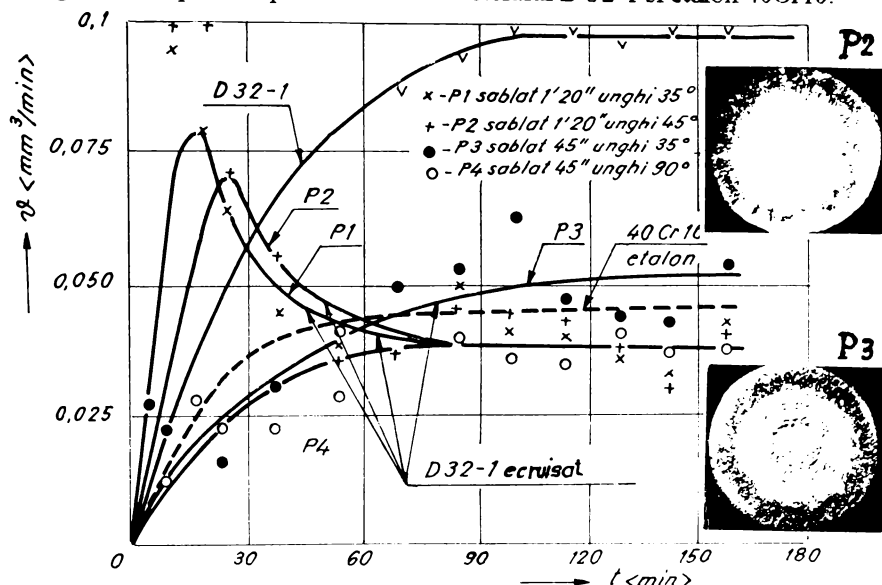


Fig.6.6 Comparatie intre vitezele de eroziune cavitationala ale otelurilor D 32-1 (ecruiusat si neecruiusat) si otelul etalon 40 Cr10

In cazul probelor sablate, la duree mai lungi de un minut, au aparut ridicaturi usor de indepartat prin actiunea implozilor cavitationale. Acest fenomen, in conditiile aparatului utilizat, a fost extrem de violent in primele 5 minute, cand viteza de eroziune a depasit  $0,07 \text{ mm/min}$ . In continuare viteza de eroziune scade rapid, iar dupa 75 minute de atac cavitational se atinge palierul.

In cazul probelor sablate pe dure de 45 secunde maniera generala de desfasurare a fenomenului se modifica viteza de eroziune cavitationala tinzand spre stabilizare, ajungand dupa 70 minute la un palier avand acelasi ordin de marime cu cel obtinut la probele sablate la 1 minut si 20 secunde.

Unghiul de bombardament nu prezinta influente semnificative asupra rezistentei la cavitatie.

Compararea celor doua metode de ecrusare este relativ dificila din cauza pierderilor masice din primele 60 minute. Aparent ecrusarea pe durata de 1 minut si 20 secunde da rezultate mult mai slabe decat cea efectuata pe durata de 45 secunde. Diferentele apar din cauza indepartarii crestelor ascunse care, in conditiile de laborator, duc la o dramatizare artificiala a situatiei. In cazul unor instalatii industriale diferentele vor fi mai putin perceptibile.

Recomandarea tratamentului pentru instalatii industriale necesita insa cercetari pentru o gama mai mare de materiale. Este posibil ca materiale cu rezistenta cavitationala foarte buna sa prezinte, prin ecruisare, imbunatatiri mai putin spectaculoase.

In raport cu otelul etalon 40Cr10 comportarea cavitationala este asemanatoare, distributia curbelor in zona de stabilizare a eroziunii fiind in domeniul dispersiei.

Din cele prezentate se desprind urmatoarele:

- Ecruisarea prin otelui D 32 -1, prin sablare, determina o crestere semnificativa a rezistentei la cavitatie.

- Pentru durete lungi de sablare rezistenta la cavitatie este foarte redusa in primele faze de atac cavitational. Dupa indepartarea asperitatilor, generate prin sablare, viteza de eroziune se reduce si ramane mai buna decat la probele netratate.

- Unghiul de bombardament nu influenteaza semnificativ rezistenta la cavitatie.

- Se impune continuarea cercetarilor privind efectul ecruisarii pentru o gama mai larga de materiale si procedee.

#### 6.4 CONCLUZII

Utilizarea tratamentelor de durificare a suprafetelor supuse atacurilor cavitationale este recomandata numai daca tehnologia este bine pusa la punct, astfel incat sa asigure suprafete netede si proprietati fizico-mecanice uniform distribuite.

Este necesara analiza mai multor metode de durificare superficiala, utilizate in aplicatiile practice, cum sunt: cementarea, sulfinizarea, calirea superficiala, metalizare cu inox, etc. Aceste metode trebuie comparate intre ele si recomandata aceea care ofera cele mai bune rezultate cavitationale, la un pret de cost accesibil.

De asemenea, o analiza metalografica a suprafetelor tratate, poate aduce elemente noi cu privire la desfasurarea procesului de distrugere si factorii ce contribuie la acest proces (tipuri de retele cristaline, raport constituenti structurali, etc.)

## CAP .7 STABILIREA EFECTULUI DE SCARA IN EROZIUNEA CAVITATIONALA

### 7.1 INTRODUCERE

Distrugerea materialelor prin eroziune cavitationala este foarte complexa si implica doua fenomene, fundamental distincte, care se interconditioneaza reciproc. Unul este de natura hidrodinamica, specific fenomenului cavitational si include actiunea hidraulica, chimica, electrochimica si termica a lichidului. Al doilea este de natura fizico-mecanica, caracterizeaza distrugerea materialului si depinde de parametrii sau caracteristici ( proprietati fizico-mecanice, constitutie si omogenitate structurala, tehnologie de elaborare si prelucrare, compozitie chimica, etc.).

Parametrii hidrodinamici, caracteristici fenomenului cavitational, depind de tipul masinii industriale si instalatiei de laborator. Astfel:

- la pompe si turbine hidraulice sunt: viteza, presiunea si temperatura lichidului [2, 4, 71, 72, 96],

- la elici navale sunt: viteza de inaintare, presiunea pe paleta, continutul de gaz, temperatura si natura apei [ 7, 26, 29, 45],

- la aparatele cu curent si camera de lucru strangulata sunt: viteza lichidului, presiunea, continutul de gaz, temperatura si natura lichidului [3, 33, 39, 40a, 41, 113],

- la aparatele cu disc rotitor imersat in lichid sunt: viteza curentului, presiunea din camera de lucru, continutul de aer, temperatura si natura lichidului, dimensiunile orificiilor si probelor [3, 39, 53, 106].

- la aparatele vibratorii sunt: amplitudinea si frecventa vibratiilor, temperatura si natura lichidului, diametrul probei, puterea acustica [3, 40, 52, 106].

Parametrii caracteristici materialului, cu influenta puternica asupra caracterului fizico-mecanic al eroziunii cavitationale, sunt [30a, 33, 40, 40a]:

YS - limita de curgere.

TS - rezistenta mecanica la rupere,

E - modulul de elasticitate longitudinal,

EL - alungirea,

BHN - duritatea Brinell,

UR - rezilienta finala (UR = (TS)/(2E)).

SE - energia de rupere.

Notatiile prezentate corespund normelor engleze si au urmatoarele corespondente din STAS-ul romanesc:

$$YS = R_{p0.2} \quad E = E \quad BHN = HB$$

$$TS = R_m \quad EL = A_s \quad SE = KCU$$

UR este o marime nestandardizata determinata analitic pe baza masuratorilor experimentale [3, 40a].

Corelarea parametrilor hidrodinamici cu cei mecanici poate conduce la o ecuatie generala care sa modeleze distrugerea cavitationala a materialelor. Acest obiectiv, pana azi, nu a putut fi realizat datorita complexitatii fenomenului si diversitatii factorilor ce intervin. Din aceste motive, efectul de scara constituie o problema in a carei rezolvare s-a pornit din aproape in aproape.

## 7.2 PRIMA ETAPA A REZOLVARII PROBLEMEI EFECTULUI DE SCARA IN EROZIUNEA CAVITATIONALA

Primii pasi in stabilirea unor legaturi intre parametrii hidrodinamici ai instalațiilor industriale, respectiv instalatiilor de laborator si ai materialului sunt curbele caracteristice experimentale de tipul:

- variația volumului cumulat de material erodat functie de timp  $V(t)$  [3, 9 - 18, 21, 72, 53, 54, 67, 70, 106, 113],
- variația masei cumulate de material erodat functie de timp  $m(t)$  sau  $\Delta G(t)$  [3, 133, 71, 73],
- variația vitezei de eroziune cavitationala functie de timp  $v(t)$ , unde  $v = \Delta V / \Delta t$  [3, 68, 80, 81], sau  $v = \Delta m / \Delta t$  [9 - 18, 53, 54, 69], sau  $v = \Delta G / \Delta t$  [3, 30, 33, 128].

Aceste curbe permit compararea materialelor dupa rezistenta la cavitatie si alegerea celui mai bun (vezi Cap. 3 si 6). Compararea materialelor testate in statiuni cu parametrii hidrodinamici diferiti, privind rezistenta cavitationala a celui mai bun, nu sunt elocvente din cauza necunoasterii ponderii acestor parametrii si a factorilor caracteristici materialului asupra distrugerii. Exemplificative in acest sens sunt rezultatele experimentale realizate in diferite aparate vibratorii, Tab.1.3, pe 5 materiale diferite, centralizate de J.K.Steller [106], care arata ca unul si acelasi material are comportari cavitationale diferite, fig. 7.1 si 7.2, precum si cele prezentate de autor in cadrul acestei lucrari.

Alti pasi sunt reprezentati de modelarea teoretica a curbelor experimentale. Contributii importante, in aceasta directie, oferite de literatura de specialitate le are Noskievici [67, 68, 69]. Dezavantajul modelelor propuse il constituie lipsa parametrilor hidrodinamici ai statiunii si fizico-mecanici ai materialului, astfel incat nu se pot constitui in relatii de efect de scara.

Plecand de la ideea ca in orice proces din natura un rol important in evolutia sa il prezinta modul de repartizare a energiilor dezvoltate, Thiruvengadam [3, 111, 113] defineste intensitatea distrugerii cavitationale pe baza energiei absorbite de material in timpul eroziunii:

$$I = \frac{E_o}{t \cdot A_e} = \frac{\Delta V \cdot S_e}{t \cdot A_e} = i \cdot \frac{S_e}{t} \quad (7.1)$$

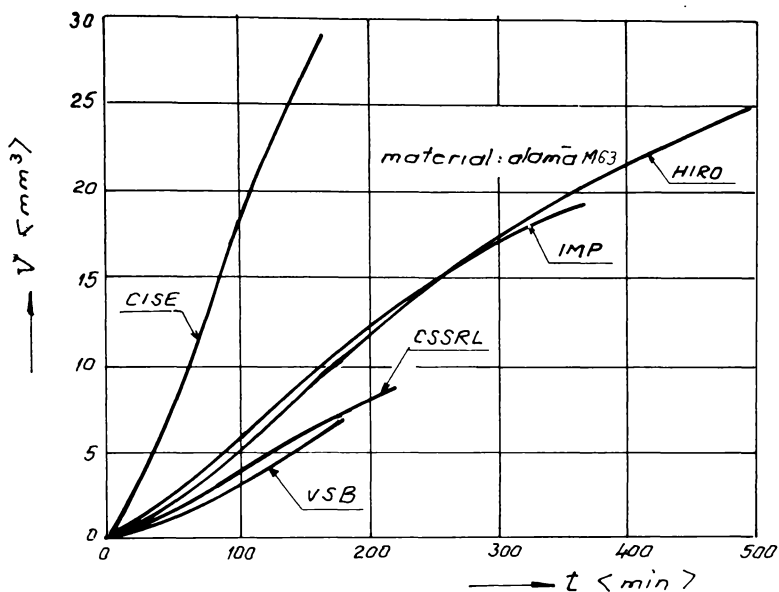


Fig. 7.1 Variatia volumului erodat cu timpul de atac cavitațional [106]

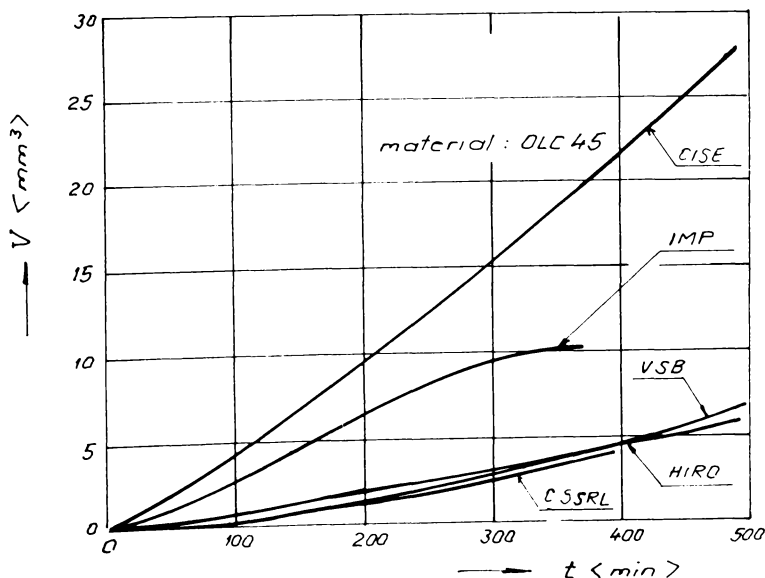


Fig. 7.2 Variatia volumului erodat cu timpul de atac cavitațional [106]

unde:

Ea - energia absorbita de materialul erodat,  
 $\Delta V$  - volumul erodat in timpul t,  
 Se - rezistenta la eroziune cavitationala,  
 t - durata atacului cavitational,  
 Ae - suprafata erodata cavitationala,  
 i - adincimea medie a eroziunii cavitationale.

Cu relatia (7.1) se poate determina energia absorbita de material necesara indepartarii volumului  $\Delta V$  dar nu si a intregii energii consumate in timpul eroziunii cavitationale (energia necesara deformatiilor elasto-plastice, etc.). Datorita imposibilitatii masurarii tuturor energiilor ce intervin in procesul distrugerii cavitationale, metoda lui Thiruvengadam [3, 111, 113] este pre putin utilizata.

Un salt in rezolvarea problemei efectului de scara il constituie stabilirea unor parametrii care sa exprime rezistenta cavitationala a materialului. Hammitt [39, 40, 40a], Garcia [32, 33] si Hobbs [41, 42] introduc viteza adancimii medii si maxime de patrundere, MDPR respectiv MDPRmax, iar Steller [3, 101, 102, 103] propune exprimarea efectului de scara prin durabilitatea cavitationala medie  $\sigma_{cav}$ . Ambii parametrii (MDPR si  $\sigma_{cav}$ ) sunt dependenti de tipul aparatului si se folosesc doar in ordonarea materialelor dupa rezistenta cavitationala [3, 12, 33, 82].

### 7.3 A DOUA ETAPA A REZOLVARII PROBLEMEI EFFECTULUI DE SCARA IN EROZIUNEA CAVITATIONALA

A doua etapa in rezolvarea efectului de scara in eroziunea cavitationala o constituie corelarea parametrului MDPR, sau inversului sau  $1/MDPR$ , cu diferite marimi ce intervin in procesul distrugerii cavitationale.

1. Hoff s.a [40a] coreleaza parametrul MDPR cu proprietatile mecanice ale materialului, marimile specifice probelor de eroziune si fluidului printr-o relatie de forma:

$$MDPR = \frac{\eta}{\varepsilon} \cdot \frac{A_p}{A_e} \cdot \frac{s_{eff}}{2} \cdot v^3 \quad (7.2)$$

unde:

$s_{eff}$  - densitatea lichidului.

$v$  - viteza de impact.

$\eta$  - coeficientul de transfer al energiei de la lichid la solid (dependent de caracteristicile materialului si parametrii fluidului).

$\varepsilon$  - parametrul caracteristic materialului,

$A_p$  - aria erodata,

$A_e$  - aria expusa.

Pentru parametrul  $\varepsilon$  literatura [30a, 33, 40, 40a] ofera o serie de relatii liniare si neliniare intre proprietatile specifice materialului, ca:

$$\varepsilon = C_0 + C_1 UR + C_2 SE \quad (7.3)$$

$$\varepsilon = C_0 + C_1 UR \quad (7.4)$$

$$\varepsilon = C_0 + C_1 SE \quad (7.5)$$

$$\varepsilon = \varepsilon_0 + C_1 TSE \quad (7.6)$$

$$\varepsilon = C_1 UR \quad (7.7)$$

$$\varepsilon = C_0 + C_1 UR + C_2 (UR) + C_3 (UR) \quad (7.8)$$

Coefficientii  $C_0$ ,  $C_1$ ,  $C_2$  si  $C_3$  sunt determinati din aproximarea rezultatelor experimentale prin metoda celor mai mici patrate. Valorile sunt dependente de material si aparatul de incercare utilizat.

2. Hammitt s-a [40, 40a] incearca sa coreleze parametrul eroziunii cavitationale,  $1/MDPR$ , cu fiecare proprietate individuala a materialului sau cu combinatii ale diferitelor proprietati. Pentru aplicatii practice recomanda relatia:

$$1/MDPR \propto \varepsilon = C_1 UR \quad (7.9)$$

$$1/MDPR \propto \varepsilon = C(BHN)^{1.8} \quad (7.10)$$

Aici  $C_1 = 0,811$  si  $C = 0,734$  [40a]. Relatia (7.10) este cea mai utilizata datorita usurintei determinarii duritatii Brinell.

3. Rao [95a] propune corelarea vitezei volumului erodat VLR cu caracteristicile mecanice UR si BHN sub forma:

$$1/MDPR = C_1 (UR)(BHN) \quad (7.11)$$

4. Sakai-Shima [95a] amplifica studiile lui Rao si Byrnside si considera ca distrugerea cavitationala a materialelor poate fi descrisa de marimea  $UR \times BHN \times E/Y$ . Folosind un numar mare de materiale, testate cavitational de Garcia [33] si Rao [95a] in medii si conditii diferite, propun corelarea parametrului eroziunii cavitationale  $1/MDPR$  cu parametrul adimensional  $\psi_n$  printr-o relatie de forma:

$$1/MDPR = A[1 - e^{-\beta\psi_n}] \quad (7.12)$$

Constantele A si B depind de temperatura si natura mediului de incercare (apa la diferite temperaturi, bismut, mercur), grupa de materiale (oteluri, aliaje de cupru si aluminiu) si tipul apparatului.

Parametrul  $\psi_n$  coreleaza principalele proprietati mecanice ale materialului intr-o relatie de tipul [95a]:

$$\psi_n = U_n H_n (E_n / Y_n) = T_n^2 H_n / Y_n \quad (7.13)$$

unde:

$$U_n = UR/UR_{st}, \quad H_n = BHN/BHN_{st}, \quad E_n = E/E_{st} \quad (7.14)$$

$$Y_n = Y/Y_{st}, \quad T_n = T/T_{st}, \quad UR = T^2/2E$$

Marimile notate cu "st" se refera la otelul 304 SS, etalon pentru apparatul vibrator din Michigan.

Sakai si Shima propun relatia (7.12) ca efect de scara in eroziunea cavitationala.

Verificarile efectuate de autorul acestei lucrari au demonstrat ca relatia propusa de Sakai-Shima nu permite transpunerea rezultatelor experimentale de la un apparat la altul.

Discutiile din Cap.1, paragraful 1.4.4, legate de aceasta relatie, arata necesitatea completarii cu influenta parametrilor tehnico-functionalii ai apparatului si corectarii coeficientilor din relatia (7.12) si exponentilor din relatia (7.13) pentru cresterea preciziei si nivelului de generalitate.

#### 7.4 A TREIA ETAPA A REZOLVARII PROBLEMEI EFECTULUI DE SCARA IN EROZIUNEA CAVITATIONALA

O alta directie urmata in rezolvarea efectului de scara o constituie corelarea parametrului eroziunii cavitationale  $1/MDPR$  cu parametrii functionali ai statiunii.

Steller J.K. [106, 107], analizand rezultatele cavitationale obtinute pe aceleasi materiale, in diferite laboratoare, stabileste urmatoarea relatie:

$$MDPR \approx A^\alpha f^\beta d^\gamma \quad \text{cu } \alpha \approx 1,2 \text{ si } \beta = 0,8 \quad (7.15)$$

Steller K. [103] arata ca intre rezistentele cavitationale ale aceliasi material testat in doua aparate vibratoare diferite, in conditii identice, exprimate prin  $1/MDPR$  si parametrii functionali ai aparatelor exista legatura:

$$\frac{MDPR_1}{MDPR_2} = \left( \frac{A_1}{A_2} \right)^\alpha \left( \frac{f_1}{f_2} \right)^\beta \left( \frac{d_1}{d_2} \right)^\gamma \quad (7.16)$$

Valorile exponentilor  $\alpha$ ,  $\beta$  si  $\gamma$  depind de tipul materialului sau grupa de materiale. Astfel [50a]:

- pentru otel inox 316 SS:  $\alpha = 1,2$ ;  $\beta = 0,58$ ;  $\gamma = -0,17$
- pentru 270 Ni:  $\alpha = 1,55$ ;  $\beta = 0,83$ ;  $\gamma = -0,53$
- pentru 6061-T651 Al:  $\alpha = 1,72$ ;  $\beta = 1,06$ ;  $\gamma = -0,14$

Valorile exponentilor sunt o expresie a capacitatii materialului de a absorbi, in timpul eroziunii cavitationale, energia dezvoltata si caracterizata numai de parametrii  $A, f$  si  $d$ .

## 7.5 A PATRA ETAPA A REZOLVARII PROBLEMEI EFECTULUI DE SCARA IN EROZIUNEA CAVITATIONALA

Deoarece, relatia lui Sakai-Shima (7.12) coreleaza rezistenta cavitationala cu proprietatile mecanice ale materialului si conditiile de incercare (natura si temperatura mediului cavitant), iar a lui Steller, (7.15), cu parametrii tehnico-functionalii ai aparatului vibrator, autorul lucrariiincearca imbinarea celor doua relatii in una singura. Atingerea acestui obiectiv si cresterea nivelului de generalitate al noii relatii impun cateva analize preliminarii privind valorile:

- a. - exponentilor  $\alpha$ ,  $\beta$  si  $\gamma$ ,
- b. - exponentilor  $r$ ,  $s$  si  $p$  din relatia parametrului relativ, cu forma de mai jos:

$$\psi^* n = U^n H^n (E_n / Y_n)^p \quad (7.17)$$

- c. - coeficientilor  $A^*$  si  $B^*$  din relatia generala:

$$(1/MDPR)_{M=1} = A^* [1 - e^{B^* \psi^*}] \quad (7.18)$$

### a.- Stabilirea exponentilor $\alpha$ , $\beta$ , $\gamma$ .

Uzand de rezultatele obtinute de :

- autor pentru 5 oteluri, 2 bronzuri si o alama navală testate în aparatul vibrator T1, Tab.3.2 și 3.9, 11 oteluri, 2 bronzuri si o alama navală testate în aparatul vibrtaor T2, Tab.3.2 și 3.12,

- Sisak s.a.[127, 133] si Kuzman, Potencz s.a. [52, 53] pentru 7 oteluri testate în aparatul vibrator T1, Tab.3.2 și 3.9.,

dupa mai multe incercari de corelare a rapoartelor  $(MDPR)_{T2}/(MDPR)_{T1}$  si  $(A^\alpha f^\beta d^\gamma)_{T1}/(A^\alpha f^\beta d^\gamma)_{T2}$ , prin metoda celor mai mici patrate, conform relatiei:

$$\frac{(MDPR)_{T_2}}{(MDPR)_{T_1}} = \frac{(A^\alpha f^\beta d^\gamma)_{T_2}}{(A^\alpha f^\beta d^\gamma)_{T_1}} \quad (7.19)$$

s-au obtinut urmatoarele valori:

$$\alpha = 4,32; \beta = 0,96; \gamma = -1,25 - \text{dupa modelul Steller} \quad (7.19a)$$

cu coeficientul negativ

$$\alpha = 4,45; \beta = 1,01; \gamma = 0,15 - \text{propunere Bordeas} \quad (7.19b)$$

Valorile exponentilor sunt o expresie a modului de participare a parametrilor A, f și d la transferul energiei către material în timpul atacului cavitational. Valorile pozitive arată că acești parametri asigură creșterea energiei transferate către material, iar valorile negative arată disiparea acestei energii. Aceasta este și motivul pentru care s-a căutat varianta cu toți exponentii pozitivi.

Transpunând rezultatele de la aparatul vibrator T2 la aparatul vibrator T1, Tab.7.1, prin relațile:

$$\left( \frac{1}{MDPR} \right)_{T_1, T_2} = \frac{(A^{4,32} f^{0,96} d^{-1,25})_{T_2}}{(A^{4,32} f^{0,96} d^{-1,25})_{T_1}} \cdot \left( \frac{1}{MDPR} \right)_{T_2} \quad (7.20a)$$

și

$$\left( \frac{1}{MDPR} \right)_{T_1, T_2} = \frac{(A^{4,45} f^{1,01} d^{0,15})_{T_2}}{(A^{4,45} f^{1,01} d^{0,15})_{T_1}} \cdot \left( \frac{1}{MDPR} \right)_{T_2} \quad (7.20b)$$

se constată că diferențele sunt nesemnificative, iar erorile se încadrează în banda de precizie definită la Cap.3. În plus trebuie avut în vedere că pentru aparatul T1, valorile parametrului  $1/MDPR$  reprezintă media a cel puțin trei valori (probe), iar în cazul aparatului vibrator T2 sunt date de o singura probă, ceea ce face să crească nivelul erorii.

Tab.7.1 Transpunerea rezultatelor experimentale de la aparatul vibrator T2 la aparatul vibrator T1

Nr. crt.	Material	$\frac{1}{MDPR}$ [hr/mm]		$\frac{1}{MDPR_{T_1-T_2}}$ rcf(21.a) [hr/mm]	$\sigma_{1,2}$ %	$\frac{1}{MDPR_{T_1-T_2}}$ rcf(21.b) [hr/mm]	$\sigma_{1,2}$ %	Bibliografie
		$T_1$	$T_2$					
1	DLC 15	48	93,3	48,6	-1,3	48,7	-1,4	[133]
2	DL 370 - 3K	16,2	22,97	12	25,9	19	25,9	[53]
3	33 Mo Cr 11	58,8	118,52	61,7	-4,9	61,8	-5,1	[133]
4	40 Cr 10	31	61,96	32,3	-4,2	32,3	-4,2	[81]
5	18 Mo Cr Ni 13	66,1	111,14	57,9	12,4	58,1	12,1	[80]
6	Carbon I RNR	28,03	52,89	27,5	1,9	27,6	1,5	[9]
7	D32 - 1	14,22	24,81	12,9	9,3	12,9	9,3	[15]
8	Inox III RNR	76	149,55	77,9	-2,5	78	-2,6	[16]
9	T07CuMoMnNiCr 165-Nb	83	178,52	92,9	-11,9	93,2	-12,3	[127]
10	T09CuMoMnNiCr 185-Ti	79,5	148,77	77,4	2,6	77,6	2,3	[127]
11	20 Cr 130	39,7	94,89	49,4	-24,4	49,5	-24,6	[133]
12	CuNiAl III RNR	76,3	166,07	86,5	-13,3	86,7	-13,6	[18]
13	CuNiAl I RNR	38,2	53,5	27,9	26,9	26,9	26,9	[18]
14	Alamă	16,4	36,66	19,1	-16,5	19,1	-16,5	[128]

hr - ore

Erorile prezentate in Tab.7.1 sunt determinate cu relatia:

$$\sigma_{ij} = \frac{\left(\frac{1}{MDPR}\right)_{T_1} - \left(\frac{1}{MDPR}\right)_{T_2}}{\left(\frac{1}{MDPR}\right)_{T_1}} \cdot 100 \quad [\%] \quad (7.21)$$

Admitand ca aparat vibrator standard pe cel de la Michigan si utilizand rezultatele lui Garcia [33] pentru sase oteluri, Tab.7.2, obtinute pe acest aparat (la  $f = 20$  kHz,  $A = 25,4 \mu\text{m}$ ,  $d = 14,3$  mm), transpunerea rezultatelor obtinute in aparatele T1 si T2 pentru 6 oteluri si a celor obtinute de Steller [106] pentru doua oteluri (la  $f = 8,1$  kHz,  $A = 50 \mu\text{m}$ ,  $d = 12,5$  mm), Tab.7.3, la aparatul standard, cu relatiile (7.22a) si (7.22b), arata ca rezultatele transpusse sunt in domeniul de varietate, Tab.7.4. Se constata, de asemenea, diferentele nesemnificative dintre valorile transpusse cu cele doua relatii.

$$\left(\frac{1}{MDPR}\right)_{M-i} = \frac{(A^{4,32} f^{0,96} d^{-1,25})_i}{(A^{4,32} f^{0,96} d^{-1,25})_M} \quad \left(\frac{1}{MDPR}\right)_i \quad (7.22a)$$

si

$$\left(\frac{1}{MDPR}\right)_{M-i} = \frac{(A^{4,45} f^{1,01} d^{0,15})_i}{(A^{4,45} f^{1,01} d^{0,15})_M} \quad \left(\frac{1}{MDPR}\right)_i \quad (7.22b)$$

Aici M - semnifica aparatul vibrator standard din Michigan,

i = T1, T2, G - semnifica aparatele vibratoare din LMHT si Gdansk (folosit de Steller [106]).

Relatiile (7.22a) si (7.22b) pot servi, in aceasta forma, la compararea otelurilor testate in conditii identice, in diferite aparate vibratoare, dupa rezistenta cavitationala.

### b.- Stabilirea exponentilor r,s,p

In Cap.1, paragraful 1.4.4.2, s-a aratat ca valorile exponentilor din relatia parametrului relativ  $\psi_n$ , (7.13), stabilita de Sakai-Shima, nu sunt pe deplin justificate, deoarece nu tin cont de aspectul local si dinamic (cu mare viteza) al solicitarii cavitationale de pe suprafata probei, expusa atacului, in conditiile unor variatii mari de temperatura (mii de grade celsius [2, 3]). Ele sunt stabilite mai mult din dorinta

Tab.7.2 Caracteristicile mecanice si cavitationale ale otelurilor testate de Garcia in aparatul vibrator de la Michigan [33]

Material	$R_m$ $N/mm^2$	$R_{p0,2}$ $N/mm^2$	$HB$ $daN/mm^2$	$\frac{1}{MDPR}$ $hr/mm$
Otel carbon	312,11	286,6	172	171,17
304 SS (etalon)	651,1	445,8	211,3	393,7.
316 SS	600,8	438,2	202,4	437,44
Mo - $\frac{1}{2} Ti$	1142,4	1036,3	263	237,44
Cb - Zr	408	406,5	134,6	269,54
Cb - Zr (A)	250,9	132,3	88,3	218,72

Tab.7.3 Caracteristicile mecanice si cavitationale ale otelurilor testate de Steller in aparatul vibrator de la Gdansk [106]

Material	$R_m$ ( $N/mm^2$ )	$R_{p0,2}$ ( $N/mm^2$ )	$HB$ ( $N/mm^2$ )	$\frac{1}{MDPR}$ ( $hr/mm$ )
DLC 45	729	419	184	41,66
Otel model	328	263	103	26,3

Tab.7.4 Comparatie intre valorile parametrului  $(1/M_{DPR})_{M-i}$

Nr crt.	Material	<i>Ref. (722. a)</i>	<i>Ref. (722. b)</i>	<i>Gabilingrafie</i>
		$(\frac{1}{MDPR})_{M-i}$	$(\frac{1}{MDPR})_{M-i}$	
1	DLC 15 ( $T_1$ )	256,8	256,3	[133]
2	33 MoCr 11 ( $T_1$ )	314,6	313,9	[133]
3	18 MoCr Ni 13 ( $T_1$ )	353,7	352,9	[80]
4	Inox III RNR ( $T_1$ )	406,6	405,8	[16]
5	T07CuMoMnNiCr165Nb ( $T_1$ )	444,1	443,1	[127]
6	T09CuMoMnNiCr185-Ti ( $T_1$ )	425,4	424,4	[127]
7	DLC 15 ( $T_2$ )	259,9	260	-
8	33 MoCr 11 ( $T_2$ )	330,1	330,2	-
9	18 MoCr Ni 13 ( $T_2$ )	309,6	309,7	-
10	Inox III RNR ( $T_2$ )	416,5	416,7	-
11	T07CuMoMnNiCr165-Nb ( $T_2$ )	497,2	497,4	-
12	T09CuMoMnNiCr185-Ti ( $T_2$ )	414,4	414,5	-
13	304 SS (M)	393,7	393,7	95,0
14	316 SS (M)	437,44	437,44	95,0
15	Mo - $\frac{1}{2}$ Ti (M)	437,44	437,44	95,0
16	Cb - Zr (M)	269,54	269,54	95,0
17	Cb - Zr (A) (M)	218,72	218,72	95,0
18	Otel carbon (M)	171,17	171,17	95,0
19	Otel model (G)	243,8	210,7	106
20	DLC 45 (G)	386	333,7	106

$T_1$  - aparat vibrator magnetostrictiv - LMHT

$T_2$  - aparat vibrator piezomagnetic - LMHT

M - aparat vibrator Michigan (teste Garcia [33])

G - aparat vibrator Gdansk (teste Steller [106])

obtinerii unei precizii de aproximare si distributii a punctelor experimentale acceptabile.

Admitand ca forma generala a parametrului relativ este de tipul:

$$n = \hat{U}_n H_n^s (E_n / Y_n)^p \quad (7.23a)$$

sau

$$\gamma^* n = T_n H_n Y_n^s \quad (7.23b)$$

sau

$$\gamma^* n = \left( \frac{R_m}{R_{me}} \right)^{2r} \left( \frac{HB}{HB_e} \right)^s \left( \frac{R_{p0,2e}}{R_{p0,2}} \right)^p - \text{cu notatiile STAS} \quad (7.23c)$$

se pot stabili noi valori pentru exponentii r,s,p, care sa asigure un grad de generalitate ridicat. Aici "e" semnifica otelul etalon.

Pentru  $r = s = p = 1$  se obtine relatia lui SaKai-Shima (7.13).

Necesitatea stabilirii altor valori pentru exponentii rezistentei mecanice la rupeere  $R_m = TS$ , duritatii  $HB = BHN$  si limitei de curgere  $R_{p0,2} = YS$ , este determinata de factori caracteristici procesului hidrodinamic.

Franc [30a] arata ca eroziunea cavitationala este un proces dinamic ce se desfasoara cu o viteza de deformatie  $\dot{\epsilon} = (10^{-2} - 10^5) \text{ s}^{-1}$ , situandu-se intre explozie si ruptura dinamica, fig. 7.3.

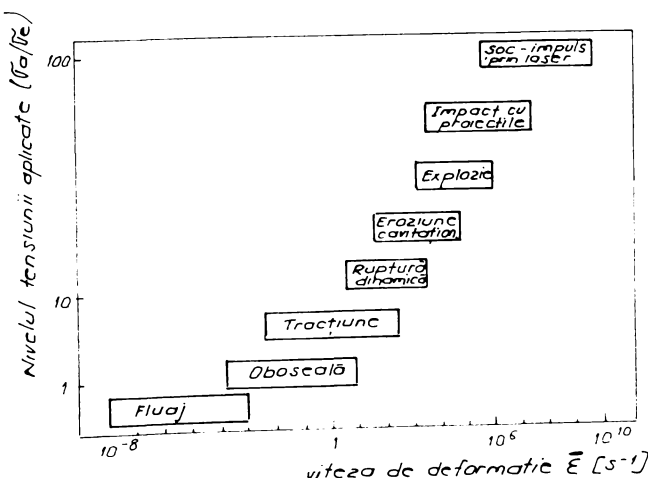


Fig. 7.3 Ordonarea solicitarilor dupa viteza de deformatie [30a]  
( $f_a$  - limita de elasticitate;  $f_a$  - rezistenta admisibila la intindere)

Safka [95b], Abbott [1a], George E. Dieter [34a] arata ca cu cresterea temperaturii, pentru aceeasi viteza de solicitare, rezistenta mecanica la rupere si limita de curgere scade.

Experientele lui Maekawa [58a], prin impactul suprafetelor solide cu proiectile de mare viteza, evidentiaza, de asemenea, scaderea rezistentei mecanice la rupere fata de valoarea determinata static.

De asemenea, solicitarea cavitationala, asa cum am mai precizat si in Cap.1, paragraful 1.4.4, are un caracter de oboseala locala, asemanatoare solicitarii angrenajelor cu roti dintate si rulmentilor cu bile.

Din cele prezentate mai sus rezulta ca exponentii  $r, p, s$  pot dobandi noi valori, mai mari pentru rezistenta mecanica la rupere si limita de curgere si mai mici pentru duritate, care sa asigure parametrului relativ  $\psi^*n$  un grad mai mare de generalitate, respectiv extinderea la un numar mai mare de materiale din aceeasi categorie.

Considerand ca material etalon inoxul 304 SS si raportand la el otelurile testate in aparatele vibratoare T1 si T2, Tab.3.2, si in aparatul vibrator din Gdansk , Tab.7.3, cu conditiile obtinerii unei corelari cat mai bune a parametrului  $(1/MDPR)_{M-1}$  cu  $\psi^*n$ , dupa multiple tatonari s-au stabilit urmatorii exponenti:

$$r = 1,1; \quad s = 0,55; \quad p = 1,1 \quad (7.24)$$

Forma parametrului relativ pentru oteluri este:

$$\psi^*n = U_n^{1/1} H_n^{0,55} \left( \frac{E_n}{Y_n} \right)^{1/1} \quad (7.25a)$$

sau

$$\psi^*n = \frac{T_n^{2,2} H_n^{0,55}}{Y_n^{1/1}} \quad (7.25b)$$

sau

$$\psi^*n = \left( \frac{R_m}{R_{mc}} \right)^{2,2} \left( \frac{R_{p,ce}}{R_{p,0,2}} \right)^{1/1} \left( \frac{H_B}{H_Bc} \right)^{0,55} - \text{cu notatiile STAS} \quad (7.25c)$$

In Tab.7.5 sunt afisate valorile parametrilor  $\psi^*n$  si  $\psi^*n$ , calculate cu relatia (7.13) stabilita de Sakai-Shima si (7.25a, b, c) stabilita de autor. Se observa ca noua relatie conduce la valori apropiate de ale parametrului  $\psi^*n$ , pentru materiale cu comportari cavitationale slabе ca: Cb - IZr(M), Cd - IZr(A)(M), otel carbon (M) si otel moale (G), si valori departate pentru materiale cu comportari cavitationale foarte bine si excelente ca: T07CuMoMnNiCr165-Nb, T09CuMoMnNiCr185-Ti, 304SS.

Tab.7.5 Comparatie intre efectele de scara Sakai-Shima si cel propus de Bordeasu

Nr crt.	Material	RELATIA				Bifilaric	
		(7.13)		(7.25c)			
		$\gamma_n$	$\alpha_{2j}\%$	$\gamma_n^*$	$\alpha_{2j}\%$		
1	DLC 15 ( $T_1$ )	0,557	19,9	0,644	23,4	[133]	
2	33 Mo Cr 11 ( $T_1$ )	0,886	21,4	0,863	16,6	[133]	
3	18 Mo Cr Ni 13 ( $T_1$ )	1,12	18,4	1,074	12,1	[80]	
4	Inox III RNR ( $T_1$ )	0,63	-18,6	0,703	-16,7	[16]	
5	T07CuMoMnNiCr 165-Nb( $T_1$ )	1,166	-1,3	1,207	-7,5	[127]	
6	T09CuMoMnNiCr 185- $\bar{t}_1$ ( $T_1$ )	0,902	-5,5	0,946	-9,5	[127]	
7	DLC 15 ( $T_2$ )	0,478	11,0	0,548	15,6	-	
8	33 Mo Cr 11 ( $T_2$ )	0,886	17,4	0,863	12,2	-	
9	18 Mo Cr Ni 13 ( $T_2$ )	1,12	28,4	1,074	22,8	-	
10	Inox III RNR ( $T_2$ )	0,63	-21,8	0,703	-19,8	-	
11	T07CuMoMnNiCr 165-Nb( $T_2$ )	1,166	-13,7	1,207	-20,6	-	
12	T09CuMoMnNiCr 185- $\bar{t}_1$ ( $T_2$ )	0,902	-3,1	0,946	-7,0	-	
13	304 SS (M)	1	5,7	1	0,03	[95.0]	
14	316 SS (M)	0,83	-12,4	0,834	-17,7	[95.0]	
15	Mo - $\frac{1}{2}$ $\bar{t}_1$ (M)	1,648	6,9	1,536	-1,9	[95.0]	
16	Cb - I Zr (M)	0,274	-35,6	0,309	-24,3	[95.0]	
17	Cb - I Zr (A) (M)	0,208	-37,1	0,287	-6,3	[95.0]	
18	Ofel carbon (M)	0,291	17,7	0,288	17,0	[95.0]	
19	Ofel maoile (G)	0,21	-31,1	0,266	-8,1	[106]	
20	DLC 45 (G)	1,136	23,1	1,242	19,5	[106]	

$T_1$  - aparat vibrator magnetostrictiv - LMHT

$T_2$  - aparat vibrator cu cristale piezoceramice LMHT

M - aparat vibrator Michigan

G - aparat vibrator Gdansk

316SS, Inox III-RNR. Aceasta variație poate conduce la obținerea unei curbe în condițiile unei precizii mai ridicate și dispersii reduse.

Nivelul scăzut al preciziei de aproximare ( $|a|_{\max} = 37,1\%$  - Tab. 7.5), dat de curba (7.12) a lui Sakai-Shima se datorează tocmai diferențelor prea mari între valorile parametrului  $\psi_n$ , corespunzătoare materialelor cu slabă rezistență cavitatională ( $C_b$  - I Zr (M); Otel carbon (M) și  $C_b$  - I Zr(A)(M))

### 3.- Stabilirea coeficientilor $A^*$ și $B^*$

Admitem ca relația finală propusă de Sakai-Shima ca efect de scara are forma generală de tipul:

$$(1/MDPR)_{M-i} = A^* \left(1 - e^{-B^* \psi_n^*}\right) \quad (7.26)$$

Punând condiția obținerii unei dispersii uniforme a punctelor  $[(1/MDPR)_{M-i}, n]$  respectiv  $[(1/MDPR)_{M-i}, \psi^* n]$ ,  $i = T1, T2, G$ , fata de curba definită de relația (7.25) ( $a_2 = \min$ ,  $a_2 = \min$ ), folosind metoda celor mai mici patrate, s-au obținut, pentru oteluri, următorii coeficientii:

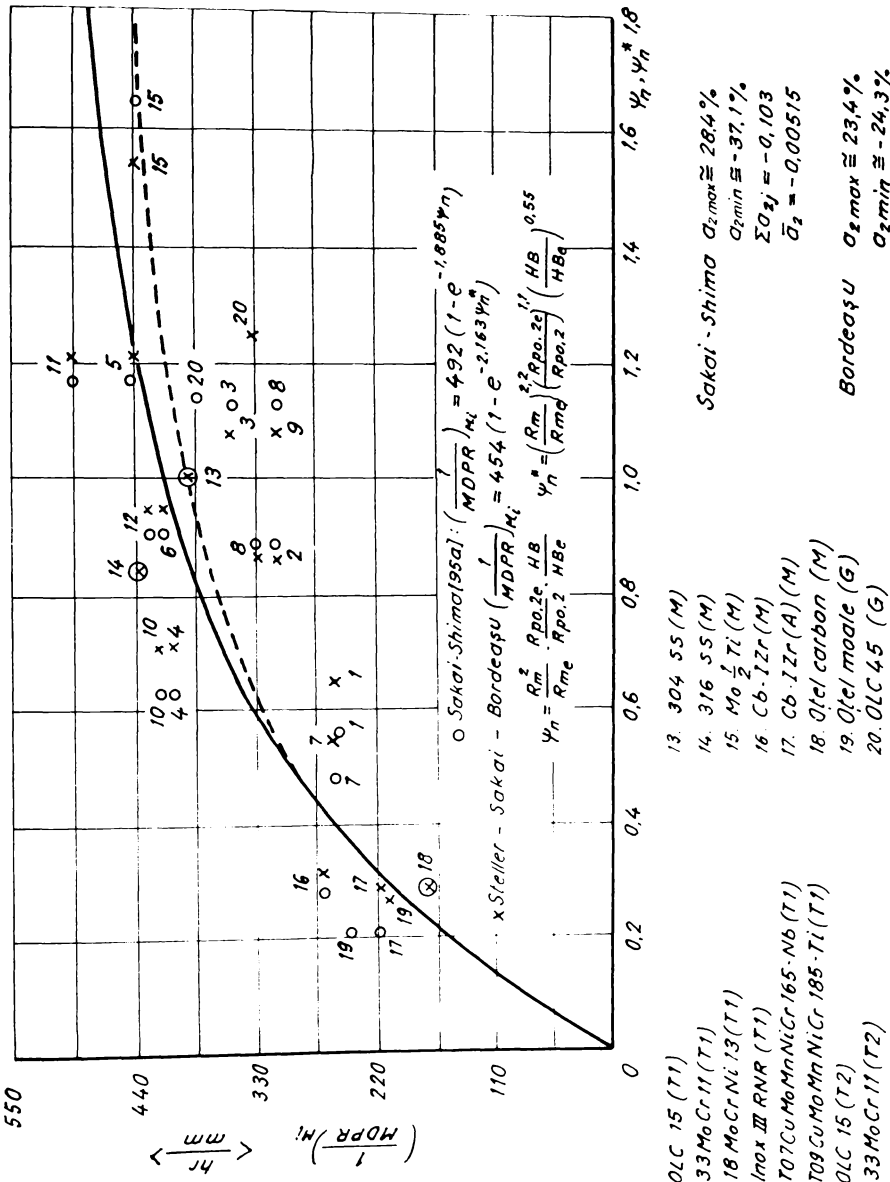
$$A^* = 445 \text{ și } B^* = 2,163 \quad (7.27)$$

In fig. 7.4 se prezintă corelarea parametrului eroziunii cavitacionales  $(1/MDPR)_{M-i}$  cu parametrii relativi  $\psi_n$  și  $\psi^* n$ .

Erorile date de curbele de aproximare, de ecuații (7.12) și (7.26), determinate cu relațiile (7.28), sunt afisate în Tab. 7.5.

$$\begin{aligned} \sigma_{2j} &= \frac{\left[ \left( \frac{1}{MDPR} \right)_{M-i, \text{rel}(7.26)} - \left[ \left( \frac{1}{MDPR} \right)_{M-i, \text{rel}(7.26)} \right] \right]_{\text{rel}(7.26)}}{\left[ \left( \frac{1}{MDPR} \right)_{M-i, \text{rel}(7.26)} \right]_{\text{rel}(7.26)}} \cdot 100 \text{ \%} \\ \bar{\sigma}_2 &= \frac{\sum_{j=1}^n \sigma_{2j}}{n} \end{aligned} \quad (7.28)$$

Se constată că relația stabilită de autor duce la o creștere a preciziei de măsurare cu  $\approx 13\%$ , iar nivelul dispersiei se reduce de aproximativ de 60 ori (cu relația (7.12) se obține  $\sum a_2 = -0,103 \text{ hr/mm}$ ,  $\bar{a}_2 = -0,00515 \text{ hr/mm}$  fata de  $\sum a_2 = -1,7 \cdot 10^{-3} \text{ hr/mm}$ ,  $\bar{a}_2 = -8,5 \cdot 10^{-3} \text{ hr/mm}$  obținute cu relația (7.26)). Aceste diferențe reflectă fidelitatea sporită a aproximării punctelor experimentale de curba descrisă de ecuația (7.26), stabilită de autor. În concluzie relația (7.26), poate servi ca efect de scara și are un nivel de aplicabilitate mai mare decât cea propusă de Sakai-Shima (7.12).



- Fig. 7.4 Rezistența la eroziune cavitatională după parametrii relativi n și  $\psi_n$
1. OLC 15 (T1)
  2. 33MoCr11 (T1)
  3. 18 Mo Cr Ni 13 (T1)
  4. Inox III RNR (T1)
  5. T07CuMoMnNiCr165-Nb (T1)
  6. T09CuMoMnNiCr185-Ti (T1)
  7. OLC 15 (T2)
  8. 33MoCr11 (T2)
  9. 18 Mo Cr Ni 13 (T2)
  10. Inox III RNR (T2)
  11. T07CuMoMnNiCr165-Nb (T2)
  12. T09CuMoMnNiCr185-Ti (T2)

## 7.6 CONCLUZII

1. S-a realizat o analiza mai atenta a parametrilor tehnico-functionali ai aparatului vibrator - caracteristici procesului hidrodinamic din aparat- si principalilor proprietati mecanice - caracteristice procesului mecanic al eroziunii cavitationale a materialului.

2. S-a studiat mai adanc relatia lui Steller  $MDPR = A^\alpha f^\beta d^\gamma$  si s-a aplicat la un numar de 20 materiale , dintre care 14 au fost testate in aparatele T1 si T2, din cadrul LMHT, permitand generalizarea valorilor exponentilor  $\alpha$ ,  $\beta$  si  $\gamma$ .

3. Admitand aparatul vibrator de la Michigan drept aparat standard (etalon) recunoscut de ASTM din SUA, s-a recalculat marimea 1/MDPR, obtinuta la aparatele din Gdansk si Timisoara, permitand compararea diferitelor materiale dupa rezistenta la cavitatie.

4. Analiza parametrului adimensional  $\Psi_n = U_n H_n E_n / Y_n$ , a condus la definirea unui alt parametru  $\Psi^*_n = U_n^r H_n^s (E_n / Y_n)^p$  care, prin valorile noilor exponenti, are un caracter mai general. Acest parametru caracterizeaza un material oarecare, din punct de vedere mecanic, in raport cu materialul standard cavitational (304SS) pentru aparatul vibrator din Michigan.

5. Imbinarea relatiilor stabilite de Steller (7.15) si Sakai-Shima (7.12) sub formele generale, prin noile valori ale exponentilor  $\alpha$ ,  $\beta$ ,  $\gamma$ ,  $r$ ,  $s$  si  $p$  au condus la o relatie similara cu cea data de Sakai-Shima, dar cu coeficienti noi  $A^*$  si  $B^*$ , cu valente superioare de generalitate si precizie, pentru grupa otelurilor.

## CAP.8 CONCLUZII

### 8.1 CONCLUZII GENERALE

Studierea eroziunii cavitationale, inceputa de peste 100 ani [3, 4, 30a, 40a, 50a], continua sa fie o problema de mare actualitate si este mult amplificata in ultimii ani [2, 54, 55, 58, 94, 106], ca urmare a ritmului ascendent de dezvoltare a masinilor hidraulice, echipamentelor hidromecanice si constructiilor de nave.

Numerouasele rezultate, obtinute in diverse statiuni de laborator, au impus necesitatea stabilirii unor relatii care sa le asigure o buna corelare, transpunerea de la o statiune la alta si in aplicatii practice.

Prezenta lucrare se incadreaza in eforturile de investigare experimentală a eroziunii cavitationale produse pe aparate vibratorii si de stabilire a unor relatii de efect de scara.

Indeplinirea obiectivelor propuse in tema a impus realizarea cercetarilor in conditii identice (apa distilata si marina standard la  $20 \pm 1^\circ\text{C}$ ) pe materiale provenite din aceleasi semifabricate si sarje, in doua instalatii de laborator, de acelasi tip.

Astfel s-a proiectat si realizat un aparat vibrator cu cristale piezoceramice, destinat distrugerii materialelor prin eroziune cavitationala, ai carui parametrii functionali ( $A = 32\mu\text{m}$ ,  $f = 20 \pm 0.2 \text{ kHz}$ ,  $d = 14\text{mm}$ ,  $P_e = 274.4 \text{ W}$ ) respecta normele ASTM [120]. Noul aparat este cele de-al doilea aparat vibrator, aflat in LMHT, alaturi de cel magnetostriktiv proiectat si realizat de C.P.I. ing. Potencz Iosif [52] ( $A = 47\mu\text{m}$ ,  $f = 7000 \pm 3\% \text{ Hz}$ ,  $d = 14 \text{ mm}$ ,  $P_e = 500 \text{ W}$ ).

In acesta actiune am beneficiat de rezultatele obtinute, pe aparatul magnetostriktiv T1 in cei peste 35 de ani de cercetari, de Sisak [133], Kuzman si Potencz [52, 53] si Popoviciu [90, 134] si personal am studiat alte 9 materiale in vechiul aparat si 14 in noul aparat T2. De asemenea, am uzat de unele rezultate obtinute de Garcia [32, 33] si Steller [106, 107].

Materialele analizate sunt destinate constructiei de turbine hidraulice, pompe, evacuatori de condens termodinamic, aparate hidraulice de comanda si distributie si elici navale.

Pentru obtinerea unor informatii precise, folosind drept criteriu compozitia chimica, materialele s-au grupat pe patru clase (oteluri carbon nealiate, oteluri aliate pentru constructii, inoxuri, bronzuri si alame navale). Aceasta grupare a condus la concluzii noi privind influenta rezistentei la eroziune cavitationala de factorii caracteristici materialului: tehnologie de elaborare, compozitie chimica, structura si constituenti structurali.

Astfel s-a evidențiat ca în cadrul fiecărei grupe există materiale cu comportări cavitationale diferite și ca ordonarea lor, după rezistența cavitationala, nu concorda cu

criteriile standard de clasificare [65, 115].

Testele au fost realizate după metoda clasică, rezultatele obținute fiind redată sub formă curbelor de viteza de eroziune  $v(t)$  ( $v = \Delta V / \Delta t = \Delta m / \Delta t$ ), ca mediu a cel puțin 3 probe. Toate sunt descrise prin două curbe polinomiale (una de gradul II și una de gradul IV), în zona de acumulare și atenuare și o dreaptă în zona de staționare a eroziunii cavitatională.

Forma curbelor obținute în cele două apărări a evidențiat dependența de tipul materialului și parametrii tehnico-funcționali ai aparatului.

Pe baza acestor curbe s-au determinat valorile parametrilor caracteristici eroziunii cavitatională (în special  $v_s$ ,  $v_{max}$ , MDPR,  $1/MDPR$ ,  $R_{1s}$  și  $R_{1max}$ ), ce au stat la baza discuțiilor.

Modul de descriere a curbelor a condus la stabilirea timpilor caracteristici  $t_1$ , pentru maximul vitezei de eroziune cavitatională,  $v_{max}$  și  $t_2$ , pentru începutul stabilizării vitezei de eroziune la valoarea  $v_s$ . Histogramele de frecvență ale acestor tempi, permit determinarea timpilor  $t_1$  și  $t_2$  pentru fiecare stațiune. Aceștia pot fi utilizati în modelele de descriere a vitezei de eroziune cavitatională, de forma celor stabilite de Noskiewic [67, 68, 69].

Pentru stabilirea duratei totale a atacului cavitational, din apărătele T1 și T2, s-au studiat curbele  $v(t)$  ale mai multor materiale, prezentate în literatură [91, 106, 107, 133] și s-a stabilit că funcție de durată la care începe stabilizarea vitezei  $t_2$ , aceasta poate fi  $\tau = (0,3 \div 3) t_2$ . Astfel, a rezultat că durata  $\tau = 165$  minute este necesară și suficientă pentru teste de eroziune cavitatională din apărătele T1 și T2.

Intrucât, în aplicațiile practice majoritatea pieselor sunt supuse diferențierelor acoperiri și tratamente de durificare superficială s-a studiat comportarea cavitatională a otelului D32-1 durificat prin ecruișare, metalizare și nitrurare ionica, respectiv a otelului 40Cr10 imbunatatit. Studiile au evidențiat sporirea performanțelor cavitatională și dependența lor de calitatea tratamentului aplicat, în special la ecruișare și metalizare.

În cadrul tezei s-a prezentat o metodă nouă, originală, de apreciere cantitativă a rezistenței cavitatională a materialelor testate în aparat vibratorii. Verificarea metodei, pe baza rezultatelor experimentale, obținute de Garcia la distrugerea cavitatională a 6 materiale în aparatul vibrator de la Universitatea din Michigan [32, 33] a arătat că limitele celor 5 domenii (superrezistență, excelentă, foarte bună, bună și slabă) au fost bine alese și că metoda poate fi aplicată și la alte apărări de acest tip.

La stabilirea relației de efect de scara s-au analizat toți parametrii coeficienții și exponentii din relațiile lui Sakai-Shima (7.12 și 7.13) [95a] și Steller (7.15) [106].

Folosind rezultatele obținute de Garcia, pentru 6 oteluri [32, 33], Steller pentru 2 oteluri [106, 107] și în LMIIT, pe cele două apărări, pentru 12 oteluri s-a reușit obținerea unor noi valori ale exponentilor  $\alpha$ ,  $\beta$ ,  $\gamma$ ,  $r$ ,  $s$ ,  $p$  și coeficienților  $A^*$  și  $B^*$  și imbinarea relațiilor lui Sakai-Shima și Steller în una singura, (7.26) cu forma similară celei stabilite de Sakai-Shima, (7.12).

Prin noua relație s-a creăat posibilitatea transpunerii rezultatelor de la un aparat vibrator la altul, folosind ca etaloane inoxul 304SS și aparatul vibrator de la laboratorul de cavitare al Universității din Michigan.

Rezultatele obtinute in cadrul tezei, si in special relativa de efect de scara, deschid noi drumuri in cercetarea eroziunii cavitationale si de cunoastere a altor factori care sa-i mareasca domeniul de aplicabilitate.

## 8.2 CONTRIBUTII PERSONALE SI ORIGINALE

1. S-a proiectat si realizat un aparat vibrator cu cristale piezoceramice, destinat distrugerii materialelor prin eroziune cavitationala, care respecta normele americane ASTM [120]. Parametrii optimi de functionare ai noului aparat sunt:  $A = 32 \mu\text{m}$ ,  $f = 20 \pm 0,2 \text{ kHz}$ ,  $d = 14 \text{ mm}$ ,  $P_{el} = 274,4 \text{ W}$ .

Pentru masurarea, verificarea si mentinerea in limitele standard a nivelului acestor parametrii, pe durata functionarii aparatului, s-au conceput si realizat dispozitivele si sistemele necesare. Astfel:

a. S-a proiectat si realizat un dispozitiv original, electromecanic, destinat masurarii amplitudinii vibratiilor la suprafata de atac a probei, produse in aparatul vibrator T2, indiferent de natura lichidului de lucru.

Amplitudinea masurata s-a verificat prin compararea rezultatelor experimentale, obtinute pe doua materiale (alamă si 33MoCr11), cu cele realizate in aparatele vibratorii din Michigan, VSB Ostrava si Wuxi din China, pe materiale cu caracteristici fizico-mecanice apropiate.

b. S-a realizat un generator electronic de ultrasunete, cu un sistem original de protectie la variatii de sarcini, pe baza unei scheme electronice originale, folosind componente din import, care asigura stabilitatea frecventei de  $20 \pm 0,2 \text{ kHz}$ , timp de 17 minute.

c. S-a conceput si realizat un sistem electric de masurare a puterii electrice de alimentare a etajului final al generatorului electronic de ultrasunete si blocului ultrasonic.

2. S-a perfectionat si dezvoltat aparatul vibrator magnetostrictiv cu tub de nichel T1, proiectat si realizat de C.P.I. ing. Potencz Iosif [52].

3. S-a elaborat un program original, in limbajul "TURBO-PASCAL", de calcul a transformatorilor acustici (concentratori si amplificatori de energie acustica), pentru patru tipuri de profile (cilindric, conic, exponential, cu raza de racordare) cu posibilitatea combinarii. Programul permite determinarea lungimii transformatorului acustic necesara obtinerii amplitudinii maxime de vibratie si a dimensiunilor transversale necesare protejarii transformatorului la solicitările mecanice.

4. S-a studiat comportarea cavitationala a 20 materiale in stare normalizata, impartite in patru grupe de calitate, un otel imbunatatit (40Cr10), un otel ecrusat, prin acelasi procedeu, in patru variante diferite (D 32-1), un otel nitrurat ionic (D 32-1) si un otel durificat superficial prin metalizare (D 32-1). Cele patru materiale tratate

si 9 din cele 20, fara prescriptii de tratament, au fost testate de autor in aparatul vibrator magnetostrictiv T1 (Fgn 450-5, Carbon I-RNR, D 32-1, 18MoCrNi13, 40Cr10, Inox III-RNR, CuNiAl I-RNR, CuNiAl III-RNR si alama navală) si 14 in aparatul vibrator cu cristale piezoceramice T2 (in plus fata de cele amintite s-au testat OL 370-3k, 20Cr130, T09CuMoMnNiCr185-Ti, T07CuMoMnNiCr165-Nb si 33MoCr11).

5. S-au determinat proprietatile mecanice Rm, Rp<sub>0.2</sub> si HB prin masurare, din STAS si literatura, pentru toate materialele analizate in lucrare, iar pe baza corelatiilor Rm( $v_s$ ), Rp<sub>0.2</sub>( $v_s$ ) si HB( $v_s$ ) s-au discutat tendintele influentei lor asupra rezistentei cavitationale.

6. S-a analizat influenta principalelor elemente chimice componente si de aliere (C, Cr, Ni, Mo, Mn, Si, S) asupra structurii materialului si comportarii sale cavitationale, exprimata prin viteza de stabilizare a eroziunii.

7. S-a investigat modul in care constituentii structurali (F, P, B, S, A, M), functie de gradul de finete, omogenitate si cota procentuala de participare (determinata, acolo unde a fost posibil, pe baza diagramelor de faze si tipurilor de structuri metalografice prezентate in literatura [35a, 64, 65, 114, 115]), tind sa influenteze rezistenta materialului la eroziune cavitationala.

8. S-a folosit o metoda originala de descriere a curbelor experimentale v(t), folosind doua polinoame cu grad si coeficienti diferiti (unul de gradul II si unul de gradul IV) si o dreapta, discutandu-se nivelul preciziei si dispersiei inregistrate la fiecare grupa de materiale.

9. S-au determinat frecventele timpilor t<sub>1</sub> si t<sub>2</sub> de aparitie a valorilor maxime si de inceput a stabilizarii vitezelor de eroziune cavitationala ( $v_{max}$  si  $v_s$ ), pentru fiecare aparat vibrator din LMIIIT.

10. S-a conceput o metoda originala de apreciere cantitativa a comportarii cavitationale a materialelor testate in aparatele vibratorii din cadrul LMIIIT, folosind ca parametru de referinta rezistenta normalizata la cavitate.

11. Plecand de la relatiile stabilite de Sakai-Shima [95a] si Steller [103, 106] s-a stabilit o noua relatie de efect de scara, cu valente superioare de generalitate si precizie, care permite transpunerea rezultatelor de la un aparat vibrator la altul.

Similara ca forma celei propuse de Sakai-Shima [95a] si Steller [103, 106] s-a stabilit o noua relatie de efect de scara, cu valente superioare de generalitate si precizie, care permite transpunerea rezultatelor de la un aparat vibrator la altul.

Similara ca forma celei propuse de Sakai-Shima, dar cu coeficienti diferiti, relatiile stabilita reprezinta o legatura armonioasa intre parametrul caracteristic eroziunii cavitationale 1/MDPR, parametrii functionali ai aparatului vibrator (A, f, d) si caracteristicile mecanice ale materialului exprimate prin parametrul adimensional

$y^{*n}$ .

Sub forma finala asigura corelarea a 20 oteluri testate in patru aparate (T1 si T2 din LMHT, aparat din Gdansk [106] si aparat din Michigan [33]), fata de 6, corelate de relatia lui Sakai-Shima si testate in acelasi aparat. De asemenea, se asigura reducerea erorii de aproximare cu 13% si nivelului de dispersie de 60 ori.

### 8.3 PROPUNERI

1. Se impune continuarea cercetarilor, in conditii identice, pe aliaje neferoase, provenite din aceleasi sarje si semifabricate, in vederea extinderii relatiilor de efect de scara.

2. Solicitarea cavitationala fiind un proces dinamic realizat cu viteza de deformatie foarte ridicata ( $10^4 - 10^5 \text{ s}^{-1}$ ) [30a] intr-un timp foarte scurt, determinarea proprietatilor mecanice  $R_m$ ,  $R_{p0,2}$ , si HB, in aceste conditii, poate conduce la noi valori ale exponentilor  $r$ ,  $s$  si  $p$  din relatia parametrului relativ  $\psi^n$ , apropiind-ul mai mult de realitate.

De asemenea, utilizarea unei noi proceduri in determinare parametrilor  $MDPR_{max}$  si  $MDPR$ , indiferent daca  $MDP(t)$  este sau nu o dependenta liniara, conduce la noi valori ale exponentilor  $\alpha$ ,  $\beta$ ,  $\gamma$  si coeficientilor  $A^*$  si  $B^*$ . In acest mod se poate o noua relatie de efect de scara cu un grad mai mare de generalitate.

## Bibliografie

- [1]. Amza. Gh., si altii - Sisteme ultraacustice, Editura Tehnica, Bucuresti 1988.
- [1a]. Abbott B.W., Cornish R.H., Weil N.A., - Techniques for Studying Strain Rate Effects in Brittle Materials, Journal of Applied Polymer Science, Vol.8, p. 151- 167, 1964. Chicago Illinois.
- [2]. Anton I., - Turbine hidraulice., Editura Facla, Timisoara, 1979.
- [3]. Anton I., - Cavitatia, Vol I, Editura Academiei RSR, Bucuresti, 1984.
- [4]. Anton I., - Cavitatia, Vol II, Editura Academiei RSR, Bucuresti, 1985.
- [5]. Badarau E., Grumazescu M si altii- Ultraacustica, Fizica si Tehnica, Editura Tehnica, Bucuresti, 1967.
- [5a]. Balasoiu V., Bordeasu I., Balasoiu B., - Etapes de projects du sistemes d'asservisement hydraulique, Buletinul stiintific si Tehnic, Universitatea Tehnica, Timisoara, 1994
- [6]. Benanti A., Pighini U., - Cavitation, erosion dimensional analysis.,
- [7]. Byarne E., - Propeller induced hull pressure pulses and vibration due to cavitation, International Conference, Cambridge, 1992.
- [8]. Bogaciow I. N., Miut R I., Vekslev I. G., - Rezistenta cavitationala a otelurilor austenito - feritice (in limba rusa), Energomasinostroenie, Nr. 9, Leningrad, 1963.
- [9]. Bordeasu Il., - Le comportament a la cavitation de l'acier carbon categorie I - RNR, Buletinul Stiintific si Tehnic al Universitatii Tehnice , Timisoara, Vol 37 (51), 1992.
- [10]. Bordeasu Il., The cavitatin resistance of High - Strenght full structurall steel D 32, with the method of electric sparks, Buletin Stiintific si Tehnic, Universitatea Tehnica, Timisoara, Vol 38 (52), 1993.
- [11]. Bordeasu Il, - Eroziunea cavitationala a materialelor folosite in realizarea elicelor navale, Analele Universitatii din Oradea , fascicola Mecanica, Oradea, 1992.
- [12]. Bordeasu Il, Popoviciu M., - Durabilitatea cavitationala a otelurilor folosite in fabricarea pieselor solicitate cavitational, Analele Universitatii din Oradea , fascicola Mecanica, Oradea, 1993.

- [13]. Bordeasu I., Baya Al., Popoviciu M., Anton L., - Contributions Concerning Determination Periods of Cavitation Erosion, Bul. St. al Universitatii "Politehnica" din Timisoara, Vol 41(55), fascicola 2, 1996.
- [13a]. Bordeasu II, - Acoustic power influence to the erosional cavitation speed, Buletinul stiintific si tehnic al Universitatii "Politehnica" Timisoara, Vol 42 (56), 1997.
- [14]. Bordeasu Il. si altii., - Contributions concernant las destruction de l' acier inoxydables par erosion cavitationnelle, Buletin Stiintific, Universitatea "Politehnica" Timisoara, vol 41 (55), 1996.
- [15]. Bordeasu Il., Miu V., Popoviciu M., - Comparatie intre comportarea cavitationala a otelului D - 32 si aliajului de cupru utilizat pentru realizarea elicelor navale, Sesiunea de comunicari stiintifice a tinerilor absolventi, Timisoara, 1989.
- [16]. Bordeasu Il., Popoviciu M., - Comportarea cavitationala a otelului inoxidabil utilizat la elicele navale, Conferinta de Masini hidraulice, Vol III, Timisoara, 1990.
- [17]. Bordeasu Il, Popoviciu M., - Comportarea cavitatiopnala a fontei cu grafit nodular, Conferinta de Masini hidraulice, Vol III, Timisoara, 1990.
- [18]. Bordeasu Il., Popoviciu M., Miu V., - Rezistenta la cavitatie a bronzurilor utilizate pentru elicele navale, Conferinta de Masini Hidraulice si Hidrodinamica, Vol III, Timisoara, 1990.
- [19]. Bordeasu Il., Popoviciu M ., - Rezistenta la cavitatie a otelului naval D - 32 tratat prin metoda alierii cu scintei electrice, Sesiunea de comunicari stiintifice "Nouati in domeniul tehnologiilor si utilajelor pentru prelucrari la cald, Universitatea" Transilvania" Brasov, 1993.
- [20]. Bordeasu Il., Popoviciu M., - Comportarea la cavitatie a unor materiale utilizate in constructia aparatorilor hidraulice de comanda si reglare, Conferinta Internationala de Sisteme Hidropneumatice de Actionare, Vol III, Timisoara, 1995.
- [21]. Brehme H., - Kavitationsschaden an Schiffsspropellern, Sonderdruck aus der Werkzeitung "Deutsche Werft", Hamburg, 1966.
- [22]. Buzdugan Gh., - Rezistenta materialelor, Editura Tehnica, Bucuresti, 1974.
- [23]. Chirita S., - Probleme de matematici superioare, Editura Didactica si Pedagogica, Bucuresti, 1989.
- [23a]. Crudu I., s.a.,- Atlas reductoare cu roti dintate, E.D.P., Bucuresti,1982.
- [24]. Crawford A E., - Tehnique de ultrasons, Dunod, Paris, 1959.
- [25]. Deutsch I., - Rezistenta materialelor, Editura Didactica si Pedagogica, Bucuresti , 1979.

- [26]. Dumitrescu S si altii, - Calculul elicei, Editura Academiei Romane, Bucuresti, 1990.
- [27]. Dorey J. M., Rarcalou T., - Similitude en erosion de cavitation: Essais sur un roue de pompe en eau et en sodium , Rapport EDF/ DER Departament Machines Catou, 1993.
- [28]. Esminger D., - Ultrasonics the low and high intensity applications, New York, 1975.
- [29]. Emerson A, Patience G., - The prediction and prevention of cavitation erosion of marine propellers, Cavitation, Edinburg, 1974.
- [30]. Frank J. P., Michel J. M., Nguyen Trong H., - An experimental investigation of scale effects in cavitation erosion, International Conference, Cambridge, 1992.
- [30a]. Franc J.P., e.a. - La Cavitation, Mecanismes physiques et aspects industriels, Press Universitaires de Grenoble, 1995.
- [31]. Gal C., si altii- Proiectarea asistata de calculator a ghidurilor de unda pentru ultrasunete , Sesiunea de comunicari stiintifice a tinerilor absolventi, Timisoara, 1988.
- [32]. Garcia R., Hammitt F. G., Nystrom R. E. , - Corelation of cavitation damage with other material and fluid properties, Erosion by Cavitation or Impingement, ASTM, STP 408 Atlantic City, 1960.
- [33]. Garcia R., - Comprehensive Cavitation damage Data for Water and Various Liquid Metals Including Correlation with Material and Fluid Properties, Technical Raport Nr. 6, The University of Michigan, 1966.
- [34]. Gatperin M.I., Kirillova M. P., Siro I. I., Pilaev N. I. I., Pavisenie nadijnosti ghidroturbin, Energomasinostroenie, G, 1979.
- [34a]. George E, Dieter, Jr. - Mechanical Metallurgi, McGraw-hill Book Company, Inc, New York, 1961.
- [35]. Geru N., si altii., - Analiza structurii materialelor metalice, Editura Tehnica, Bucuresti, 1991.
- [35a]. Geru N.- Metalurgie fizica,E.D.P., Bucuresti,1981.
- [36]. Ghersghel D. A. si altii - Aparate cu ultrasunete, Editura Tehnica, Bucuresti, 1984.
- [37]. Grist E., - Net Positive Suction Head Requirements for Avoidance of unacceptable Cavitation Erosion in Centrifugal Pumps, Cavitation, Conference, mechanical Engineering, Edinburgh, 1974.
- [38]. Hamazaki U., - Cavitation erosion on the back of Pelton turbine bucket, Symposium Cavitation and Hydraulic Machinery, Sendai, 1962.
- [39]. Hammitt F. G., Nath A., De. M. K. - Erosion of ferrous and aluminum alloys in cavitating venturi, Report No. UMICH 014456-53 - I, University, Michigan, 1980.

- [40]. Hammitt F. G., De M., He J., Okada T., Sun B-H., - Scale effects of cavitation including damage scale effects, Report No. UMICH, 014456 - 75 - I, Conf. Cavitation, Michigan, 1980.
- [40a]. Hammitt F.G., - Cavitation and Multiphase Flow Phenomena, McGraw Hill International Book Company, 1980.
- [40b]. Hammitt F.G., Bhatt N.R., - Cavitation Damage resistance of Hardened Steels, Univ. Michigan, 1970, p.1-36.
- [41]. Hobbs J. M., - Experience with a 20 - KC Cavitations erosion test, Erosion by Cavitations or Impingement, ASTM STP 408, Atlantic City, 1960.
- [42]. Hobbs J. M. , - Vibratory cavitation erosion testing at nel, Conference Machinery Group, Edinburgh, 1974.
- [43]. Hooper L. J., - Experimental Investigation of Initiationof Cavitation Behind an Accelerated Circular Disc, IAHR Symposium on Cavitation and Hydraulic Machinery Sendai, 1962.
- [44]. Hrelescu M., - Cercetari asupra alierii otelului moale in arcul cu elemente care sa confere metalului de la rezistenta la cavitate, Teza de doctorat, Timisoara, 1967.
- [45]. Ito T., - An Experimental Investigation into the Unsteady Cavitation of Marine Propellers, IAHR Symposium on Cavitation and Hydraulic, Machinery, Sendai, 1962.
- [46]. Jiu - gen Ite., Hammitt F. G., - Comparation of cavitation erosion test results from venturi and vibratory facilities, Report No. UMICH 014456 - 73- I, University of Michigan, 1981.
- [47]. Karimi A., Leo W.R. - Phenomenological model for cavitation erosion rate Computation Material Science and Engineering, 95 (1987), 1 i 14.
- [48]. Karimi A., Heuze J. L., - Erosion de cavitation d' alliages amortissants a base de magnese et de cuivre, La Houille Blanche, Nr. 7/8 - 1992.
- [49]. Kasai T., Takamatu Y., - Cavitation Aspects and Suction Performances of Centrifugal Pumps, IAHR Symposium on Cavitation and Hydraulic Machinery, Sendai, 1962.
- [50]. Kerry P. R., James R. D., - International Cavitation Erosion Test, Result sumary, University of Hull, 1991.
- [50a]. Knapp R., a. o., - Cavitation, McGraw-Hill, Book Company, Monographs, 1970, p.405 - 407.
- [51]. Krianii P. I., - Lopasti ghidroturbin, Masghiz, Moskva, 1958.
- [51a]. Crudu I. s.a., - Atlas reductoare cu roti dintate, E.D.P., Bucuresti, 1982.

- [52]. Kuzman A. F., Potentz I., - Rezistenta la eroziune cavitationala a unor oteluri indigene, Buletinul Stiintific si Tehnic al Institutului Politehnic "Traian Vuia" Timisoara, Tom 23(37), Fascicula 1 - 1978.
- [53]. Kuzman A.F., Potentz I., Trusulescu M., Mitelea I., - Rezistenta la eroziune cavitationala a unor oteluri indigene, Influanta tratamentului termic, Buletinul Stiintific si Tehnic a Institutului Politehnic, " Traian Vuia" Timisoara, Tom 22 (36), Fascicula 1 - 1977.
- [54]. Kuzman - Anton A.F., - Influanta unor proprietati fizice ale lichidului asupra incipientei si eroziunii cavitationale, Teza de doctorat, Timisoara, 1992.
- [55]. Lecoffre Yves., - Erosion and cavitation types, La Houille Blanche Nr. 7/8 - 1992.
- [56]. Leith W. C., Mc Ilquahm W. S., - Accelerated cavitation erosion and sand erosion, American Society for Testing and Materials, 1961.
- [57]. Louis H., Tai P. T., Wehlage T., Yabuki A., - Cavitatio erosion prediction by quantification of surface integrity, International Conference, Cambridge, 1992.
- [58]. Lusch P. A., Ewunkem A. E., - Cavitation erosion of engineering materials, International Conference, Cambridge, 1992.
- [58a]. Maekawa I., - Characteristic Properties of Impact Strength of Materials and The New Evaluating Method, Proc. ISIE, Sendai, 1992, II,587-594
- [59]. Manen Van J. D., - Bent Trailing Edges of Propeller Blades of High Powered Single Screw Ships, IAHR Symposium on Cavitation and Hydraulic Machinery, Sendai, 1962.
- [60]. Mansell C. J., - Impeller cavitation damage on a pump operating below its rated discharge, Cavitation Conference, Edinburg, 1974.
- [61]. Matsumura M., Oka Y. I., Sakamoto A., - Quantitative prediction of erosion damage to matallic materials exposed to cavitation attak., International Conference, Cambridge, 1992.
- [61a]. Mihailiuk A.J., Revenco V.G., Natarov N.N. - Majorarea rezistentei la uzura si coroziune a cuprului prin metoda alierii prin scantei electrice, Institutul de Fizica al A.S. a R. Moldova, Chisinau, 1992.
- [62]. Mitelea I., Popoviciu M., Bordeasu Il., - La resistance a l'erosion cavitationalle des joints soudes en aciers inoxidables martensitiques, Buletin stiintific si Tehnic, Universitatea Tehnica Timisoara, Vol 37 (51), 1992.
- [63]. Mitelea I si altii., - Materiale si tratamente termice pentru structuri sudate, Editura de Vest, Timisoara, 1992.
- [64]. Mitelea I., Budau V., - Studiul metalelor, Indreptar tehnic, Editura Facla, Timisoara, 1987.

- [65]. Mitelea I., - Studiul metalelor, Litografia Institutului Politehnic "Traian Vuia" Timisoara, 1983.
- [66]. Morton C. J. si altii .., - The condating of cavitation erosion by the use of cold applied tough coating, Simposium, Belgrad, 1990.
- [67]. Noskiewic J., - The extend mathematical model of cavitation and erosion wear, Proc 6 th, International Conference on Erosion by Liquid and Solid Impact, Cambridge, 1983.
- [68]. Noskiewic J., - Mathematical Model for Cavitation damage dynamics of matherial (in german) Zeszyty naukowe Politechniki Slaskiej, Gliwice, Poland, Energetyka. 2.66, 1978.
- [69]. Noskiewic., - Vyhodnoceni Kavitačního opotrebení materiálu C7, Hydro - Turbo, 1976.
- [70]. Kado T. si altii - Cavitation erosion in vibratory and venturi facilities, University of Michigan, Departament of Mechanical Enginering, Report. No UMICH 014456 - 56 - J, 1980.
- [71]. Orakelasvili M. M.,- Iznosostoikost reaklivnih ghidroturbin, Gosenergoizdat, 1960.
- [72]. Palaev N. I., Edel Iu. U., - Kavitačia v ghidroturbinah, Masinostroenie, Leningrad, 1974.
- [73]. Perenik A.D., - Problema kavitačii, Sudpromghiz, 1963.
- [74]. Perara Fr., Avellan Fr., - Cavitation erosion :statistical analisis of transient cavities, International Symposium Cavitation, CAV' 95, Deauville, France, 1995.
- [75]. Pilic - Rabadan L- Investigation of materials of Yugoslav production in designing hydraulic turbo - machines affected by cavitation, Turboinstitut, Ljubljana, 1984.
- [76]. Pilic - Rabadam L., Djordjevic V., - Utjecaj slanosti na brzinu erozije kavitačijom domaćih materijala za gradnju brodskih vijaka , VI Simpozijum Teorija i Praksa Brodogradnje, Sveska 2, Beograd, 1984.
- [77]. Popoviciu M., - Tehnologia fabricatiei si montajului masinilor hidraulice, Litografia Institutului Politehnic "Traian Vuia"Timisoara, 1981.
- [78]. Popoviciu M., Bordeasu Il., - Consideratii privind unele metode de protejare a suprafetelor metalice supuse la eroziune cavitationala, Sesiunea de comunicari stiintifice , Conceptie. Tehnologie si Management in Constructia de Masini, Vol VIII, Iasi, 1992.
- [79]. Popoviciu M., Bordeasu Il., Cavitation resistance evalution for materials used in ship propellers and hydraulic turbine manufacturing, Buletinul Stiintific si Tehnic al Universitatii Tehnice, Timisoara, Vol 39 (53), Fascicula 1-2, 1994.
- [80]. Popoviciu M., Bordeasu Il., - Cavitation erosion of 18MoCrNi13 Steel used for manufacturing the distributor valve, Conferinta

Internationala de Sisteme Hidropneumatice de Actionare, Vol I, Timisoara, 1995.

[81]. Popoviciu M., Bordeasu Il., - A standard material for cavitation erosion tests, Hydraulic Machinery and Hydrodynamics, Vol II, Timisoara, 1994.

[82]. Popoviciu M., Bordeasu Il., - Durabilitatea cavitationala a otelurilor folosite pentru fabricarea elicelor navale, Sesiunea de Comunicari Stiintifice "Noutati in domeniul tehnologiei si utilajelor pentru prelucrari la cald" Brasov, 1993.

[83]. Popoviciu M., Bordeasu Il., Miu V., - Cercetari cavitationale asupra otelului D - 32 ecrusat, Conferinta de Masini Hidraulice si Hidrodinamica, Vol III, Timisoara, 1990.

[84]. Popoviciu M., Bordeasu Il., - Comparatie intre rezistenta cavitationala in apa distilata si apa potabila a unui otel obisnuit, Conferinta de Masini Hidraulice si Hidrodinamica, Vol III, Timisoara, 1990.

[85]. Popoviciu M., Bordeasu Il., - Comportarea cavitationala a otelului naval de inalta rezistenta supus la diferite tratamente superficiale, Conferinta de Masini Hidraulice, Vol III, Timisoara, 1990.

[86]. Popviciu M., Bordeasu Il., - A quantitative method of estimating the cavitation behaviour of materials tested in a magnetostrictive facility, Buletin Stiintific , Universitatea Politehnica "Timisoara", Vol 41 (55), 1996.

[87]. Popoviciu M, Bordeasu Il., - Contributions concernant les influences des proprietes mecaniques des materiaux sur la vitesse d'erosion cavitationalle, Buletin Stiintific si Tehnic,Universitatea Tehnica, Timisoara, Vol 40(51), 1993.

[88]. Popoviciu M., Bordeasu Il., - Considerations upon the stating of cavitation Average service life of Nodular Cast from Castings and the copper Allays utilized for naval propellers, Buletinul Stiintific si Tehnic al Universitatii Tehnice, Timisoara, Vol 40(51), 1993.

[89]. Popoviciu M., Bordeasu Il., - Le comportament a la cavitation des materiaux couramment utilises pour la fabrication des helices navales, Bulatinul Stiintific si Tehnic, universitatea Tehnica Timisoara, Vol 37 (51), 1992.

[90]. Popoviciu M., Kuzman A. F., -Contributions to the study of cavitation erosion on Kaplan turbine runners, Conference "Hydroforum ", Gdansk, 1985.

[91]. Preiser H. S. si altii. , - Cavitation Damage Research Facilities for High Temperature Liquid Alkali Metal Studies, ASM, Atlantic City, 1964.

- [92]. Rabotnov B. A., - Voprosi Kavitationnoi stoikosti poverolnolo gaslnih ghidroturbini, Gosenergoizdat, 1961.
- [93]. Radoi M, Deciu E., - Mecanica, Editura Didactica si Pedagogica, Bucuresti, 1981.
- [94]. Richman R.H., Mc. Naughton W.P., Rao A. S., - Cyclic deformation and phase transformation in cavitation erosion of alloys, International Conference, Cambridge, 1992.
- [95]. Roman J.M., Finet L., - Etude et tenue de quelques materiaux a la cavitation, La Houille Blanche, Nr. 7/8 - 1992.
- [95a]. Sakai I. Shima A.- On a New Representative Equatton for Cavitation Damage Resistance of materials, Report No. 385,Tokyo,1987.
- [95b]. Safta V., - Comportarea otelurilor cu continut scazut de carbon la solicitari triaxiale neomogene de tractiune, Teza de doctorat, Timisoara, 1970.
- [96]. Sebestyen G., Sturteczky F., - Investigation of erosion characteristics of cavitation in pumps, Procedings of the Fourth Conference on Fluid Machinery, Budapest, 1972.
- [97]. Shalnev K.K., Varga I.I., Sebestyen D., - Investigation of the scale effects of cavitation erosion, Vol 260, Philosophical Transactions of the Royal Society, London, 1966.
- [98]. Scheffel M. si altii - Dispozitive cu ultrasunete, Partea a II a, Editura Tehnica, Bucuresti, 1989.
- [99]. Simoneanu R., - Cavitation pit counting and steady - state erosion rate, International Symposium on Cavitation, CAV '95, Deauville, France, 1995
- [100]. Starikii V. G., - Zavisimot Kavitationnoi erozii materialo ot ego napriojennago, sostoiania. Energomasinostroenie, Z, 1969.
- [101]. Steller K., Reymann Z., Krzysztoowicz T., - Evaluation of the resistance of materials to the cavitation erosion, Procedings of the fifth Conference on Fluid Machinery, Vol 2, Akad Kiado, Budapest, 1975.
- [102]. Steller K., - Prediction of cavitation damage in hydraulic turbomachinery, Proc of the seventh Conference on Fluid Machinery, Vol 2, Budapest, 1983.
- [103]. Steller K., Steller J., - On prediction of cavitation and its erozive effects in hydraulic turbomachinery, Proceedings Conference, Turbinstitut, Ljubljana, 1984.
- [104]. Steller K., - Charge of of the relative material resistance due to the change of cavitation conditions. Proceedings of the sixth Conference on Fluid Machinery, Vol 2, Budapest, 1979.

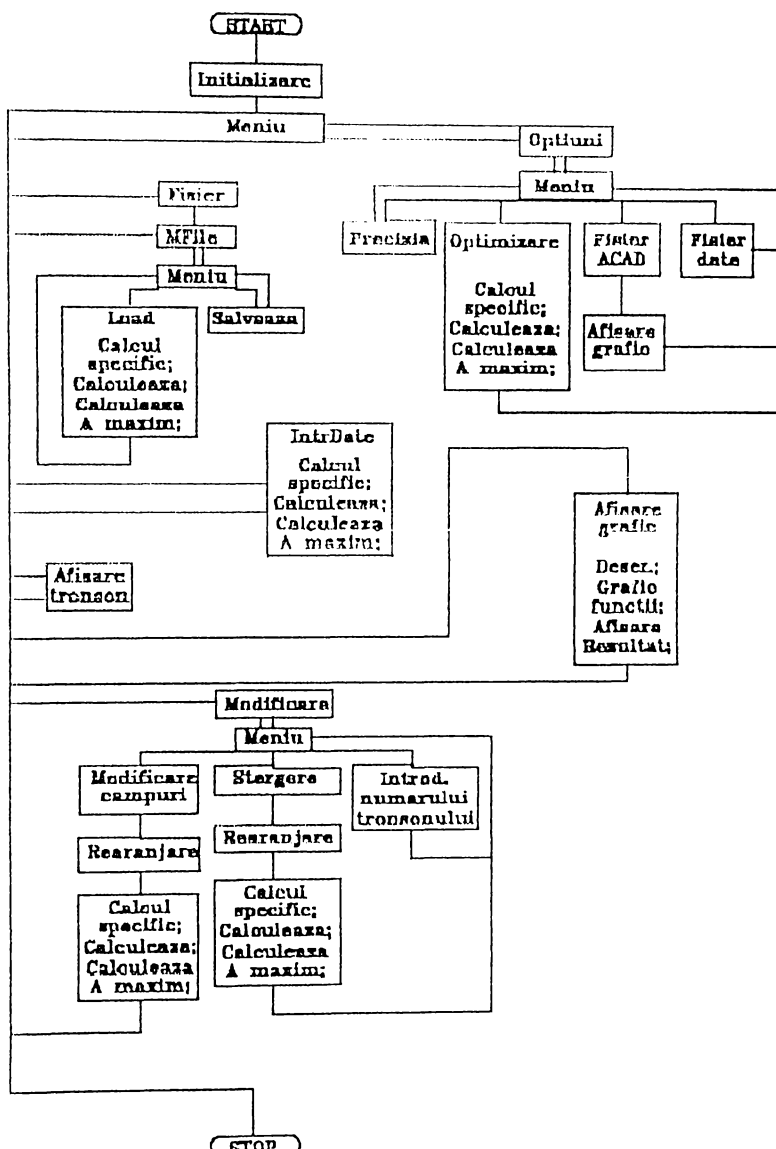
- [105]. Steller K., Bugola R., Steller J., - Cavitation Roads and their erosive effects, 2 - emes, Journees Cavitation, Paris, 1992.
- [106]. Steller J. K. - International cavitation erosion test - test facilities and experimental results, 2 - emes Journees Cavitation, Paris, March, 1992.
- [107]. Steller J. K. - Dzialalnosc naukowa zakladu dinamiki cieczy Instituta Maszyn Przeptywowych Pan W Latach 1970 - 1972, Warszawa - Poznan, 1974.
- [108]. Steller J. K., - International cavitation erosion test - summary of results, International Conference, Cambridge, 1992.
- [109]. Taniguchi K., Tanabayashi H., - Cavitation Tests on a Series of Supercavitating Propellers, IAHR Symposium Cavitation and Hydraulic Machinery, Sendai, 1962.
- [110]. Tanasescu F.T. si altii., - Agenda Tehnica, Editura Tehnica, Bucuresti, 1990.
- [111]. Thiruvengadam A., Preiser H. S., - On testing materials for cavitation damage resistance, Report. 233 - 3, 1963.
- [112]. Tudor Gh., Crivat N., - Analiza matematica si matematici speciale, Litografia Institutului Politehnic "Traian Vuia" Timisoara, 1984.
- [113]. Thiruvengadam A., - Cavitation erosion, Applaid Mechanic, Vol 24, Nr. 3, 1971.
- [114]. Trusulescu M., Cucuruz R.L., Raduta A., - Studiul metalelor, Analize si incercari, Litografia Universitatii Tehnice, Timisoara, 1992.
- [115]. Trusulescu M., - Studiul metalelor, Editura Didactica si Pedagogica, Bucuresti, 1977.
- [116]. Veerabhadra Rao P., Syamala Rao B. C., Lakshmana Rao N.s. - Erosion and Cavity Characteristics in Rotating Components, J.T.E.V.A, Vol 8, No. 3. 1980.
- [117]. Van der Meulen ., - Cavitation erosion of a ship model propeller, ASME for Testing Materials, 1970.
- [118]. Walsh W. J., Hammitt F. G. - Cavitation and erosion damage measurements with radioizotopes, International Report, No 8, Proiect. 03424, 1961.
- [119]. Yamazak T.. - Cavitation Erosion on the Back of Pelton Turbine Bucket, IAHR Symposium on Cavitation and Hydraulic Machinery, Sendai, 1962.
- [120]. \*\*\* Standard method of vibratory cavitation erosion test ASTM , Standard G 32 - 85.
- [121]. \*\*\* Registrul naval roman, Reguli pentru clasificarea si constructia navelor maritime, Vol V, Bucuresti, 1986.
- [122]. \*\*\* STAS 500/2 - 80.

- [123]. \*\*\* STAS 600 - 82.
- [124]. \*\*\* STAS 3583 - 80.
- [125]. \*\*\* STAS 791 - 86.
- [126]. \*\*\* STAS 880 - 86.
- [126a]. \*\*\* GOST 4025-68

## CONTRACTE

- [127]. Anton I., Kuzman A.F., s.a., - Studii si cercetari pentru determinarea comportarii la cavitatie a otelurilor marca T07CuMoMnNiCr165-Nb si T09CuMoMnNiCr185-Ti destinate turnarii rotoarelor monobloc pentru turbinele Francis, Contr. Cercet. St. 96/1985.
- [128]. Popoviciu M., Miu V., **Bordeasu I.**, - Studiul comportarii la eroziune cavitationala a unor materiale utilizate in constructia elicelor navale, Contr. Cercet. St. 165/1989
- [129]. Popoviciu M., **Bordeasu I.**, - Incercarea rezistentei la cavitatie a otelului carbon placat cu tabla de alama si otel inoxidabil prin lipire cu adeziv, Contr. Cercet. St. 95/1991.
- [130]. Popoviciu M., **Bordeasu I.**, - Incercarea rezistentei la cavitatie a otelului naval D-32 cu tratament de suprafata, Act Aditional 35/1992 la C.C.S. 95/1991
- [131]. Popoviciu M., Balasoiu V., Raszga C., Baya A., **Bordeasu I.**, Anton L., - Conducerea automatizata si comportarea in exploatare a sistemelor hidraulica de actionare si de forta, Grant 4004/1995.
- [132]. Popoviciu M., Balasoiu v., Raszga C., Baya a., **Bordeasu I.**, Anton L., Conducerea automatizata si comportarea in exploatare a sistemelor hidraulice de actionare si de forta, Grant 4004/1996.
- [133]. Sisak e., s.a., - studiu de imbunatatire a evacuatoarelor de condens termodynamic, Reconsiderarea critica a materialelor utilizate pentru evacuator, Contr. Cercet. St. 51/1975.
- [134]. Popoviciu M., s.a., - Studiul experimental al rezistentei la eroziune cavitationala a doua materiale utilizate in constructia de turbine hidraulice Contr. Cercet. St. 81/1978

## ANEXĂ



```
Program de calcul al concentratorilor amplificatori de unde;
Uses Dos,Crt,Graph,ForUltra;
Const MaxTronsoane=10;
      MaxNrPasi=1000;

{Meniu principal :
 -"Introducere date"      = se introduc toate datele referitoare
                             la tronsonul NrElem (pana la 10);
 -"Precizia de afisare"   = in functie de rezultatele obtinute
                             se pot modifica preciziile de afisare
                             a partii intregi respectiv a celei zecimale;
ATENTIE : Daca precizia este prea mica , atunci calculatorul rotuneste rezultatul si pot aparea erori !
- "Modificare"           = modificarea datelor referitoare la un tronson;
- "Fisier"                :
- "Load"                  = inregistreaza in memoria calculatorului datele salvate anterior intr-un director fiu al directorului curent;
- "Save"                  = salveaza in directorul specificat datele introduse in sesiunea curenta;
- "Optiuni"               = face calculele pentru tronsonul NrElem;
- "Grafic"                = se afiseaza graficul daca variabila de tip <boolean> Se_poate_afisa este <true>;
- "Exit"                  = parasirea programului;
OBSEERVATII :

}

MenPrinc:MenType=((Name:'Fisier'          ;Active:True),
                   (Name:'Introducere Date' ;Active:True),
                   (Name:'Afisare tabel'    ;Active:True),
                   (Name:'Modificare'       ;Active:True),
                   (Name:'Optiuni'          ;Active:True),
                   (Name:'Grafic'           ;Active:True),
                   (Name:'eXit'              ;Active:True));

{Selectare tipurilor de tronsoane}
MenSec:MenType=((Name:'Cilindric'  ;Active:True),
                 (Name:'Conic'        ;Active:True),
                 (Name:'Exponentional';Active:True),
                 (Name:'Racordare'   ;Active:True),
                 (Name:'';Active:False),
                 (Name:'';Active:False),
                 (Name:'';Active:False));

{Tipuri de tronsoane}
tp_cil=1;
tp_con=2;
tp_expi=3;
tp_rac=4;

{Dimensiuni maxime in milimetri ale segmentului afisat}
Lungime_oriz=500; {mm}
Lungime_vert=70 ; {mm}

{Precizia de afisare}
Intregi:Byte=5;
Zecimale:Byte=4;

Type TipulDeBaza=Record
      Diam1,          {Echivalent d0}
      VitSunet,        {Echivalent c}
      Frecventa,       {Echivalent f}
```

```
ModElast,      {Echivalent E}
IncCalcul     {Echivalent dx}
:Real;
PasI,PasF:Integer;
calculat:Boolean;
Case Tip:Byte of
  tp_con:(D2,tgAlfa,Alfa:Real);
  tp_exp:(Diam2,Beta:Real);
  tp_rac:(RazaProf:Real);
End;

Var {Variabile utile calculului}
  NrUnde:Real;           {Echivalent k}
  NumarPasi,             {Numarul de pasi pe tronsonul curent}
  PasulInitial,          {Pasul de plecare pe tronsonul curent}
  NumarPasiRamasi,       {Pasi ramasi pana la MaxNrPasi}
  PasulFinal..MaxNrPasi; {Pasul final pe ultimul tronson (echiv.
                         cu pasul final pe intregul segment)
  PasulInitialAnterior:0..MaxNrPasi; {Pentru facilitarea modificarilor}
  NrElem:0..MaxTronsoane; {Numarul elementului curent}
  Lungime:Real;           {In cadrul procedurii Afisare_rezultat
                         contine pe rand lungimile tuturor tron-
                         soanelor; in rest (dupa apelarea acestei
                         proceduri) contine lungimea totala a seg-
                         mentului studiat}
  NulRotire:Integer;      {Punctul de maxim al amplitudinii}

Var Se_Poate_Afisa,optim:Boolean;
Matrice:Array[1..MaxTronsoane] of TipulDeBaza;
A:Array[1..3,1..MaxNrPasi+2] of Real;
  {campul 1: -reprezinta A
   campul 2: -reprezinta A'
   campul 3: -A[3,i] reprezinta diametrul segmentului la pasul i}
Rotire: Array[1..MaxNrPasi+2] of Real;
G: Array[1..10,1..2] of Real;
  {campul 1: -G[i,1] reprezinta numarul de pasi pe tronsonul i
   campul 2: -G[i,2] reprezinta incremental de calcul pe tronsonul i}

F: Array[1..MaxNrPasi+2] of Real;
InfoA:Record
  Amax:Real;
  pas:Integer;
  Lungime:Real;
End;
InfoB:Boolean;
DrawFile:Record
  Name:String[8+4];
  Fis:Text;
  Done:Boolean;
.
WorkFile:String;

Procedure Afiseaza(i:Byte;show:Boolean;Var f:Text);Forward;
Procedure IntraDate(Nr:Byte);Forward;
Procedure Calculeaza(Nr:Byte;yn:Boolean);Forward;
Procedure Calculeaza_A_Max(Nr :Byte;yn:Boolean);Forward;
Procedure Calcul_Specific(Cod:Integer;Nr:Byte);Forward;
Procedure Modificare;Forward;
Procedure Calc(i:Byte;yn:Boolean);Forward;
Procedure ResarcireFisier(cod:Byte);Forward;
Procedure AfisareElement(Rt:Byte);Forward;
Procedure Afisare_Grafic(yn:Boolean);Forward;
Procedure Initializare;Forward;
```

```

Function Se_poate_desena:Boolean;Forward;
Function GetPasi:Integer;Forward;

{Partea de program propriu-zisa }

Function GetPasi;
Var pasi,i:Integer;
Begin
pasi:=0;
For i:=1 To NrElem Do
Inc(pasi,Matrice[i].PasF-Matrice[i].PasI);
GetPasi:=pasi;
End;

Procedure TableJ(i:Byte);
Begin
End;

Procedure Calculeaza;
Label Corespunde_504;
Var i,OZN_I1,Dela:Integer;
dx,Foata:Real;
Begin
OZN_I1:=-1;
dx:=Matrice[Nr].IncCalcul;
G[Nr,1]:=Matrice[Nr].PasF-Matrice[Nr].PasI;
G[Nr,2]:=dx;
ClrScr;
Corespunde_504: {Label}
If yn Then Begin
GotoXY(35,10);
writeln('Calculez ...');
End;
Park;
Dela:=Matrice[Nr].PasI;
If Nr=1 Then Inc(Dela);

For i:=Dela To Matrice[Nr].PasF Do
Begin

If OZN_I1*i=3 Then Begin
A[2,1]:=A[2,2];
i:=0;
OZN_I1:=0;
Goto Corespunde_504;
End;

If yn Then Begin
GotoXY(1,1);
writeln('=> ',MaxNrPasi-i:6);
End;
a[1, i+1]:= a[1, i] + dx * a[2, i];
a[1, i+2]:=(2-dx*f[i])*a[1, i+1]+(1-dx*f[i])+dx*dx*NrUnda*NrUnda;
a[2, i+1]:=(a[1, i+2]-a[1, i+1])/dx;
a[2, i+3]:= a[2, i+1]*a[2, i+1]*a[2, i+1]-4;
{ ... - pi * a[2, i+1] * a[2, i+1] * a[2, i+1] - 4 }
End;
End;

Procedure InterDate(Nr:Byte);
Var NumarPasi:Integer;
Procedure Cati_Pasi;

```

```

Begin
  ClrScr;
  Write('Introduceti numarul de pasi pe tronsonul ales (<',1000-GetPasi,'): ');
  Readln(NumarPasi);
  Matrice[Nr].PasF:=Matrice[Nr].PasI+NumarPasi;
  If Matrice[Nr].PasF>MaxNrPasi Then Eroare;
  End;

  Var I Real;
  Begin
    ClrScr;
    If Nr      >MaxTronsoane Then Begin
      ClrScr;
      Writeln('Numarul de tronsoane maxim este ', MaxTronsoane);
      Wait .
      Exit;
      End;
    If Nr=1 Then Matrice[Nr].PasI:=Matrice[Nr-1].PasF
      Else Matrice[Nr].PasI:=0;
    Writeln('Introducerea datelor pentru tronsonul nr. ',Nr,' :');
    With Matrice[Nr] do
      Begin
        {Introducere lui :Frecventa , ModElast , VitSunet}
        Input(10,2,'Frecventa de rezonanta (f,[kHz]): ',Frecventa);
        Frecventa:=1000*Frecventa;

        Input(10,3,'Viteza sunetului in materialul ghidului (c,[m/s]): ',VitSunet);

        Input(10,4,'Modulul de elasticitate (E,[N/m]): ',ModElast);

        Input(10,5,'Incrementul de calcul (dx,[mm]): ',IncCalcul);
        IncCalcul:=IncCalcul/1000;

        Input(10,6,'Diametrul initial [mm]: ',Diam1);
        Diam1:= Diam1/1000;

        NrUnda:=2*Pi*Frecventa/VitSunet;
        I:=0;
        NumarPasiRamasi:=MaxNrPasi-Pasi;
        Writeln('Numarul de pasi de calcul : ',NumarPasiRamasi);
        Wait;

        Case Meniu('Selectati forma ghidului',MenSec) of
          tp_cil:Begin
            Tip:=tp_cil;
            Cati_Pasi;
            End;

          tp_con:Begin
            ClrScr;
            Tip:=tp_con;

            Write('Diametrul final/Lungime [mm] = ');
            Read(D2);
            GotoXY(WhereX+1,WhereY);
            Write(' / ');
            Read(l);
            l:=l/1000;
            D2:=D2/1000;
            tgAlfa:=(D2-Diam1) / (2*l) ;
            Write('Alfa = ',ArcTan(tgAlfa)*180/Pi,'grd.');
            Alfa:=2*tgAlfa/Diam1;
            NumarPasi:=Round(Int(l/(IncCalcul)));

```

```
PasF:=PasI+NumarPasi;
If PasF>MaxNrPasi Then Eroare;
End;

tp_exp:Begin
  ClrScr;
  Tip:=tp_exp;

  Write('Diametrul final/Lungime [mm] = ');
  Read(Diam2);
  GotoXY(WhereX+1,WhereY);
  Write(' / ');
  Read(l);
  l:=l/ 1000;
  Diam2:=Diam2/1000;
  NumarPasi:=Round(Int(l/IncCalcul));
  Beta:=ln(Diam2/Diam1)/(-1);
  Write('Beta = ',Beta);
  PasF:=PasI+NumarPasi;
  If PasF>MaxNrPasi Then Eroare;
End;

tp_rac:Begin
  ClrScr;
  Tip:=tp_rac;
  Input(10,10,'Raza profilului [mm] : ',RazaProf);
  RazaProf:=RazaProf/1000;
  NumarPasi:=Abs(Round(RazaProf/(IncCalcul)));
  PasF:=PasI+NumarPasi;
  End;
End;
Calcule_Specific(Matrice[Nr].Tip*1000,Nr);
Calcule_Specific;
End;

Procedure Calcul_Specific;
Var i:Integer;
    dg,l:Real;
    R:Real,
Begin
Dg:=Matrice[Nr].Diam1;
With Matrice[Nr] Do
  If PasI<0 Then
    A[2,Pasi+1]:=A[2,Pasi+1] * A[3,Pasi] * A[3,Pasi] / dg / dg;
  With Matrice[Nr] Do
Case cod of
  1000:For i:=PasI+1 to PasF+1 do
    Begin
      F[i]:=0;
      A[3,i]:=dg;
    End;

  2000:Begin
    l:=0;
    If PasF>MaxNrPasi Then Eroare;
    For i:=PasI + 1 To PasF +1 Do
      Begin
        l:=l+IncCalcul;
        F[i]:=2*Alfa/(1-Alfa*l);
      End;
  End;
End;
```

```
A[3,i]:=Diam1+2*l*tgAlfa;
End;
End;
```

-211-

```
3000:Begin
  l:=0;
  If PasF>MaxNrPasi Then Eroare;
  For i:= PasI +1 To PasF +1 Do
    Begin
      F[i]:=-2*Beta;
      l:=l+IncCalcul;
      A[3,i]:=Dg*Exp(-beta*l);
    End;
  End;

4000:Begin
  l:=0;
  If PasI=0 Then A[2,PasI+1]:=0;
  R:=Abs(RazaProf);
  i:=PasI;
  While (l<Abs(RazaProf)) and (i<MaxNrPasi) Do
    Begin
      l:=l+IncCalcul;
      Inc(i);
      If RazaProf< 0 Then
        If Abs(RazaProf)>l Then
          Begin
            F[i]:=4*(l-R)/(Diam1-2*.Sqrt(1*(2*R-1)))/Sqrt(1*(2*R-1));
            A[3,i]:=Diam1-2*Sqrt(1*(2*R-1));
          End;
      If RazaProf>=0 Then
        If Abs(RazaProf)> l Then
          Begin
            F[i]:=4*l/(Diam1+2*R-2*Sqrt(Sqr(Abs(R))-Sqr(l)))/Sqrt(Sqr(Abs(R))-Sqr(l));
            A[3,i]:=Diam1+2*R-2*Sqrt(Sqr(Abs(R))-Sqr(l));
          End;
      End;
      A[3,i+1]:=A[3,i];
    End;
  End;
End;
```

```
Procedure Rearanjare(ElStart:Byte);
Var i:Byte;
  NrPasi:Integer;
Begin
For i:=ElStart To NrElem Do
  Begin
    NrPasi:=Matrice[i].PasF-Matrice[i].PasI;
    Matrice[i].PasI:=Matrice[i-1].PasF;
    Matrice[i].PasF:=Matrice[i].Pasi+NrPasi;
  End;
End;
```

Procedure Cati\_Pasi;

```
Var pi,pf,NumarPasi:Integer;
Procedure Cati_Pasi;
Begin
  ClrScr;
  Write('Introduceti numarul de pasi pe tronsonul ales (<',1000-GetPasi,'): ');
  Readln(NumarPasi);
```

```

Pf:=Pi*NumarPasi;
If Pf>MaxNrPasi Then Eroare;
End;

Const
  PrevMeniu:MenType = ((Name:'Modific tronsonul';Active:True),
                        (Name:'Sterg tronsonul';Active:True),
                        (Name:'Numarul tronsonului';Active:True),
                        (Name:'exit';Active:True),
                        (Name:'';Active:False),
                        (Name:'';Active:False),
                        (Name:'';Active:False));
  Cadruri:MenType=((Name:'Diametrul int';;';Active:True),
                    (Name:'Viteza sunetului';Active:True),
                    (Name:'Frecventa de rez.';Active:True),
                    (Name:'Modulul de elasticitate';Active:True),
                    (Name:'Incrementul de calcul';Active:True),
                    (Name:'Tipul (forma) ghidului';Active:True),
                    (Name:'eXit';Active:True));
  Camp_Tip:MenType=((Name:'Tipul cilindric';Active:True),
                     (Name:'Tipul conic';Active:True),
                     (Name:'Tipul exponential';Active:True),
                     (Name:'Tipul racordare';Active:True),
                     (Name:'';Active:False),
                     (Name:'';Active:False),
                     (Name:'';Active:False));
Var Nr:Integer;
  Procedure ModifPas(q:Byte);
Begin
  NumarPasi:=Matrice[q].PasF-Matrice[q].PasI;
  If Nr=1 Then Matrice[q].PasI:=Matrice[q-1].PasF Else
    Matrice[q].PasI:=0;
  Matrice[q].PasF:=Matrice[q].PasI+NumarPasi;
End;

Const Coduri:Array[1..4] Of Word=(1000,2000,3000,4000);
Var s:String;
    i:Integer;
    ok:Boolean;
    l:Real;
    trans:TipulDeBaza;
Begin
  Nr:=NrElem;
  ok:=False;
  Repeat
    Str(Nr,s);
    Case Meniu('Tronsonul '+s,PrevMeniu) Of
      1:ok:=true;
      2:Begin
        ClrScr;
        Writeln('Elimin elementul nr ',Nr);
        For i:=Nr To NrElem-1 Do
          Begin
            Matrice[i]:=Matrice[i+1];
            {ModifPas(i);}
          End;
      End;
      3:Begin
        Rearanjare(1);
        Dec(NrElem);
        Nr:=Nr-1;
      End;
    End;
  Until ok;

```

```
For i:=-1 To NrElem Do
  Begin
    Calcul_Specific(Matrice[i].Tip*1000,i);
    Calc(i,False);
  End;

End;
3:Repeat
  ClrScr;
  Write('Introduceti numarul tronsonului de modificat (<',MaxTronsoane,'): ');
  Readln(Nr);
  If Nr>MaxTronsoane Then Begin
    Writeln('Prea mare');
    Wait;
    End;
  Until i >= MaxTronsoane;
4:Exit;
End;
Until ok;
Str(Nr,s);
NumarPasi:=Matrice[Nr].PasF-Matrice[Nr].PasI;
If Nr>1 Then pi:=Matrice[Nr-1].PasF Else pi:=0;
Matrice[Nr].PasI:=pi;
Matrice[Nr].PasF:=pi+NumarPasi;
ok:=False;
Repeat
With Matrice[Nr] Do
Case Meniu('Selectati campul de modificat pentru tronsonul '+s,Campuri) Of

1:Begin
  Input(5,3,Campuri[1].Name+' :',Diam1);
  Diam1:=Diam1/1000;
End;
2:Input(5,3,Campuri[2].Name+' :',VitSunet);
3:Begin
  Input(5,3,Campuri[3].Name+' :',Frecventa);
  Frecventa:=1000*Frecventa;
End;
4:Input(5,3,Campuri[4].Name+' :',ModElast);
5:Begin
  Input(5,3,Campuri[5].Name+' :',IncCalcul);
  IncCalcul:=IncCalcul/1000;
End;
6:Case Meniu('Selectati tipul ghidului',Camp_Tip) Of
  tp_cil:Begin
    Tip:=tp_cil;
    Cat_i_Pasi;
    PasF:=pf;
  End;

  tp_con:Begin
    ClrScr;
    Tip:=tp_con;

    Write('D2/x [mm] = ');
    Read(D2);
    GotoXY(WhereX+1,WhereY);
    Write(' / ');
    Read(l);
    l:=-l/1000;
    D2:=D2/1000;
    tgAlfa:=(D2-Diam1) / 2;
    Write('Alfa = ',ArcTan(tgAlfa)*180/Pi,' grd.');
    NumarPasi:=Round(Int(l/(IncCalcul)));
  End;
```

```

PasF:=PasI+NumarPasi;
If PasF>MaxNrPasi Then Eroare;
End;

tp_exp:Begin
  ClrScr;
  Tip:=tp_exp;

  Write('D2/x [mm] = ');
  Read(Diam2);
  GotoXY(WhereX+1,WhereY);
  Write(' / ');
  Read(l);
  l:=l/ 1000;
  Diam2:=Diam2/1000;
  NumarPasi:=Round(Int(l/IncCalcul));
  Beta:=ln(Diam2/Diam1)/(-1);
  Write('Beta = ',Beta,' grd.');
  PasF:=PasI+NumarPasi;
  If PasF>MaxNrPasi Then Eroare;
End;

tp_rac:Begin
  ClrScr;
  Tip:=tp_rac;
  Input(10,10,'Raza profilului [mm] : ',RazaProf);
  RazaProf:=RazaProf/1000;
  NumarPasi:=Abs(Round(RazaProf/(IncCalcul)));
  PasF:=PasI+NumarPasi;
End;
End;
7:ok:=True;
End;
Until ok:
{
For i:=Matrice[Nr].PasI+1 To Matrice[Nr].PasF Do
Begin
  A[1,i]:=0;
  A[2,i]:=0;
  A[3,i]:=0;
  F[i]:=0;
End;
}
G[Nr,1]:=0;
G[Nr,2]:=0;
Rearanjare(Nr);
For i:=Nr To NrElem Do
Begin
  Calcul_Specific(Coduri[Matrice[i].Tip],i);
  Calc(i,False);
End;
End;

```

```

Procedure Afiseaza(i:Byte;show:Boolean; Var f:Text);

Procedure Writeln(S:String;Rez:Real;T:String);
Begin
  Writeln(f,s,Rez:Intregi:Zecimale,' ',T);
End;

```

```

Begin
If Not Matrice[i].calculat Then Exit;
ClrScr;

Writeln(f,'DATELE TRONSONULUI NR. ',i);
Writeln(f,'');
Writeln(f,'TIPUL TRONSONULUI : ',MenSec[Matrice[i].Tip].Name);
Writeln(f,'');

With Matrice[i] do
Begin

'WriteIm('Viteza sunetului in materialul ghidului : ',VitSunet,'m/s');
WriteIm('Frecventa de rezonanta : ',Frecventa,'Hz');

Writeln('Modulul de elasticitate : ',ModElast,'N/m²');

Writeln('Incrementul de calcul : ',Milim(IncCalcul),'mm');

Writeln('Diametrul initial : ',Milim(Diam1),'mm');

WriteIn(f,'Pasul initial : ',PasI,'');

Writeln(f,'Pasul final : ',PasF,'');

Writeln('Lungimea tronsonului : ',(PasF-PasI)*Milim(IncCalcul),'mm');

Case Tip of
tp_cil:;
tp_con:Begin
Writeln('Alfa : ',Alfa,'grd.');
Writeln('Diametrul final : ',Milim(D2),'mm');
End;
tp_exp:Begin
Writeln('Constanta beta : ',Beta,'');
Writeln('Diametrul final : ',Milim(Diam2),'mm');
End;
tp_rac:Begin
Writeln('Raza profilului : ',Milim(RazaProf),'mm');
End;
End;
If show Then
Begin
Park;
Wait;
End
End;

Procedure ChangePrecizia;
Begin
Clrscr;
Writeln('In acest moment ptr.: -partea intreaga :',Intregi);
Writeln(' -partea zecimala :',Zecimale);
Writeln('');
Write('Introduceti precizia de afisare a partii intregi :');Readln(Intregi);
Write('Introduceti precizia de afisare a partii zecimala :');Readln(Zecimale);
End;

Procedure Calculeaza_A_Max;
Var {Numai OZN - uri}
  dx,x,h,yx,der,nd,dd,y,bb,yy:Real;
  j,i:Integer;

```

```
  s:='';{.dat';
  {$I }
  Assign(f,s);
  Rewrite(f);
  If IOResult<>0 Then Begin
    Writeln('Eroare la creearea fisierului');
    Wait;
    {$I+}
    Goto AskMe;
  End
  Else Begin
    Writeln(f,'DATELE REFERITOARE LA TRONSOANELE FISIERULUI ',WorkF
    For i:=1 To 3 Do
      Writeln(f);
    For i:=1 To NrElem Do
      Begin
        Afisaza(i,f,ok,inf);
        Writeln(f);
        Writeln(f);
      end;
      Close(f);
    End;
  {$I+}
  End;
  ok:=true;
End;
Until ok;
End,
```

Var i:Byte;
 ok:Boolean;

```
Procedure Initializare;
Var i:Byte;
Begin
  Se_Poate_Afisa:=False;
  NrElem:=0;
  PasuInitial:=0;
  PasuFinal:=0;
  ok:=False;
  optim:=False;
  A[1,1]:=1;
  A[2,1]:=0;
  InfoB:=False;
  WorkFile:='';
  DrawFile.Name:='';
  DrawFile.Done:=False;
  For i:=1 To MaxTronsoane Do Matrice[i].PasI:=0;
End;
```

```
Procedure Prezentare;
Begin
  Clrscr;
  GotoXY(2,5);
  Writeln('PROGRAM DE CALCUL AL CONCENTRATORILOR AMPLIFICATORI DE UNDE');
  GotoXY(50,15);
  Writeln('De Brostean Marian L.');
  GotoXY(1,20);
  Writeln('ATENTIE ! Pentru a obtine graficul la imprimanta este necesar programul ');
  Writeln('<AUTOCAD>; cu instructiunea "SCRIPT"+Space+Numele_fisierului se va vizua-');
  Writeln('liza graficul facut cu acest program !');
  Wait;
```

End;

- 217 -

```
Begin
ClrScr;
Prezentare;
Initializare;
Repeat
MenPrinc[6].Active:=Se_poate_desena;
Case Meniu('Meniul principal',MenPrinc) of
2:Begin
  Inc(NrElem);
  IntrDate(NrElem);
  End;
3:Begin
  ClrScr;
  Write('Introduceti numarul tronsonului ');
  Readln(i);
  Afiseaza(i,True,OutPut);
  End;
4:Modificare;
1:MFile(true);
5:Optiuni;
6:Afisare_Grafic(False);
7:ok:=True;
End;
Until ok;
ClrScr;
MFile(False);
End.
```

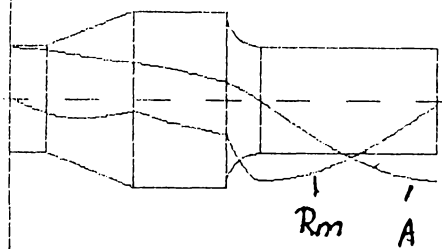
.....

```
Begin
ClrScr;
Prezentare;
Initializare;
Repeat
MenPrinc[6].Active:=Se_poate_desena;
Case Meniu('Meniul principal',MenPrinc) of
2:Begin
  Inc(NrElem);
  IntrDate(NrElem);
  End;
3:Begin
  ClrScr;
  Write('Introduceti numarul tronsonului ');
  Readln(i);
  Afiseaza(i,True,OutPut);
  End;
4:Modificare;
1:MFile(true);
5:Optiuni;
6:Afisare_Grafic(False);
7:ok:=True;
End;
Until ok;
ClrScr;
MFile(False);
End.
```

.....

```
Begin
ClrScr;
Prezentare;
Initializare;
```

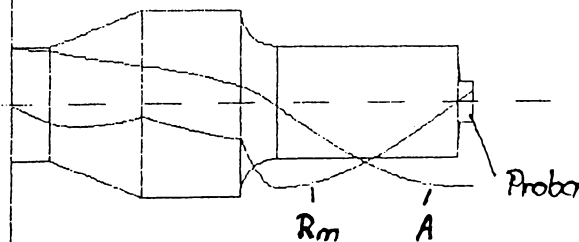
Tronsonul 1 = 15.5000 mm  
Tronsonul 2 = 43.0000 mm  
Tronsonul 3 = 76.0000 mm  
Tronsonul 4 = 88.5000 mm  
Tronsonul 5 = 161.5000 mm



a)

Tronsonul 1 = 15.5000 mm  
Tronsonul 2 = 43.0000 mm  
Tronsonul 3 = 76.0000 mm  
Tronsonul 4 = 88.5000 mm  
Tronsonul 5 = 161.5000 mm

Tronsonul 6 = 154.5000 mm

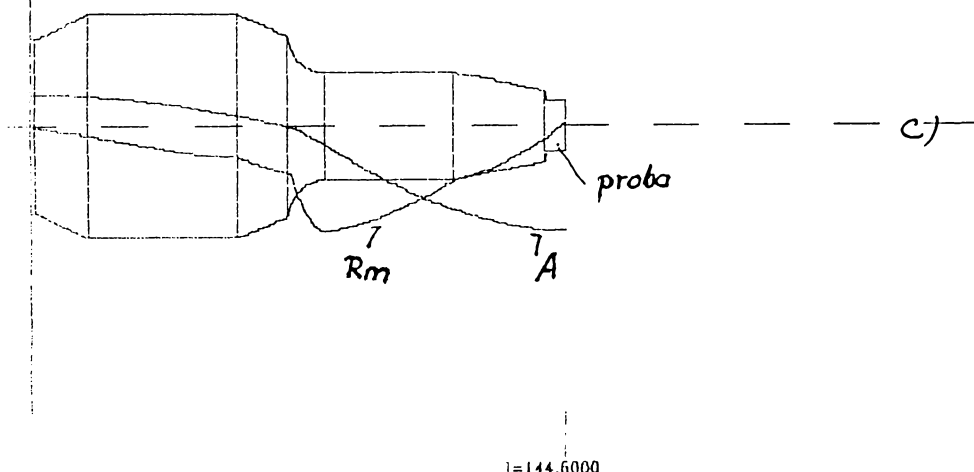


b)

1 - 1000.0000

Tronsonul 1 = 1.0000 mm  
Tronsonul 2 = 15.0000 mm  
Tronsonul 3 = 33.0000 mm  
Tronsonul 4 = 69.0000 mm  
Tronsonul 5 = 78.0000 mm

Tronsonul 6 = 114.0000 mm  
Tronsonul 7 = 130.0000 mm  
Tronsonul 8 = 140.0000 mm



l=144.6000